

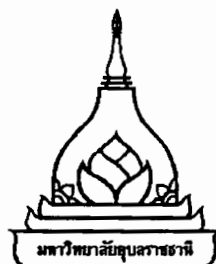
นี้โฉมที่บรรจุสารสกัดตรีผลเพื่อส่งเสริมการเจริญของเต้านม

รนิสสา รามฤทธิ์

วิทยานิพนธ์นี้เป็นส่วนหนึ่งของการศึกษาตามหลักสูตรปริญญาโทสาขาวิชาสตรมหารบัณฑิต
สาขาวิชาเภสัชภัณฑ์และผลิตภัณฑ์ธรรมชาติ คณะเภสัชศาสตร์
มหาวิทยาลัยอุบลราชธานี

ปีการศึกษา 2557

ลิขสิทธิ์เป็นของมหาวิทยาลัยอุบลราชธานี



TRIPHALA EXTRACT LOADED NIOSOMES FOR HAIR GROWTH
PROMOTION

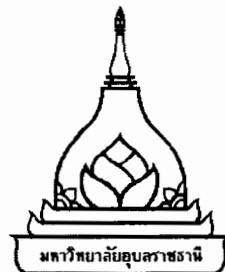
THANISSA RAMRIT

A THESIS SUBMITTED IN PARTIAL FULFILLMENT OF THE REQUIREMENTS
FOR THE DEGREE OF MASTER OF PHARMACY IN PHARMACEUTICAL AND
NATURAL PRODUCTS

FACULTY OF PHARMACEUTICAL SCIENCES
UBON RATCHATHANI UNIVERSITY

ACADEMIC YEAR 2014

COPYRIGHT OF UBON RATCHATHANI UNIVERSITY



ใบรับรองวิทยานิพนธ์
มหาวิทยาลัยอุบลราชธานี
ปริญญาเกียรติศาสตรมหาบัณฑิต
สาขาวิชาเกษตรศาสตร์และผลิตภัณฑ์ธรรมชาติ คณะนาสัชศาสตร์

เรื่อง นิโอโซมที่บรรจุสารสกัดตรีผลไม้เพื่อส่งเสริมการเจริญของเส้นผม

ผู้วิจัย นางสาวนิสสา รามฤทธิ์

คณะกรรมการสอบ

ผู้ช่วยศาสตราจารย์ ดร.วิริษฎา ศิลาอ่อน	ประธานกรรมการ
รองศาสตราจารย์ ดร.วันดี รังสีวิจิตรประภา	กรรมการ
ดร.บัญชา ยิ่งงาม	กรรมการ
ผู้ช่วยศาสตราจารย์ ดร.ไชยวัฒน์ ไชยสุต	กรรมการ

อาจารย์ที่ปรึกษา

	อาจารย์ที่ปรึกษา
(รองศาสตราจารย์ ดร.วันดี รังสีวิจิตรประภา) 	อาจารย์ที่ปรึกษาร่วม (ดร.บัญชา ยิ่งงาม)

.....
.....
(ผู้ช่วยศาสตราจารย์ ดร.ชุตินันท์ ประสิทธิ์ภูริปเปรza) (รองศาสตราจารย์ ดร.อริยากรณ์ พงษ์รัตน์)
คณะบดีคณะเภสัชศาสตร์

รักษาราชการแทนรองอธิการบดีฝ่ายวิชาการ

ลิขสิทธิ์เป็นของมหาวิทยาลัยอุบลราชธานี

ปีการศึกษา 2557

กิตติกรรมประกาศ

ผู้วิจัยขอกราบขอบพระคุณรองศาสตราจารย์ ดร.วันดี รังสิวิจิตรประภา ที่ปรึกษาวิทยานิพนธ์ ผู้ให้คำปรึกษา คำแนะนำ ข้อเสนอแนะ ความช่วยเหลือในการจัดทำวิทยานิพนธ์ การตรวจทานแก้ไข จนได้รูปเล่มวิทยานิพนธ์ฉบับสมบูรณ์เล่มนี้ ขอกราบขอบพระคุณ ดร.บัญชา ยิ่งงาม ที่ให้ความช่วยเหลือคำแนะนำ ข้อเสนอแนะ ในการทำปฏิบัติการ รวมถึงความช่วยเหลือในการตรวจทานวิทยานิพนธ์ ขอขอบพระคุณผู้ช่วยศาสตราจารย์ ดร.วริษฐา ศิลาอ่อน ประธานกรรมการสอบวิทยานิพนธ์ ผู้ช่วยศาสตราจารย์ ดร.ไชยวัฒน์ ไชยสุต กรรมการสอบวิทยานิพนธ์ และขอขอบพระคุณอาจารย์ คณะเภสัชศาสตร์ ทุกท่านที่ช่วยกรุณาประสิทธิ์ประสานวิชาความรู้ ที่เป็นประโยชน์อย่างยิ่งในการจัดทำวิทยานิพนธ์ในครั้งนี้ ขอกราบขอบพระคุณเงินทุนอุดหนุนจากสำนักงานกองทุนสนับสนุนวิจัย (สกว.) สาขาวิทยาศาสตร์และเทคโนโลยี และบริษัทออร์แกนิก ไว้ด้วย จำกัด ภายใต้การเชื่อมโยงภาคการผลิตกับงานวิจัย ทุน สกว. อุตสาหกรรม ที่ให้ความอนุเคราะห์ค่าใช้จ่ายตลอดการวิจัย ขอบคุณ นักวิทยาศาสตร์ พี่ๆ น้องๆ ที่ให้ความช่วยเหลือในการทำวิจัยครั้งนี้ และขอบคุณเป็นพิเศษสำหรับ Mr.Hosam Elmetaher ที่เป็นแรงบันดาลใจให้เรียนในหลักสูตรนี้

ธนิศา รามฤทธิ์

ผู้วิจัย

บทคัดย่อ

เรื่อง	: นีโอไซมที่บรรจุสารสกัดตรีผลาเพื่อส่งเสริมการเจริญของเส้นผม
ผู้จัด	: อนิสา รามฤทธิ์
ชื่อปริญญา	: เภสัชศาสตรมหาบัณฑิต
สาขาวิชา	: เภสัชภัณฑ์และผลิตภัณฑ์ธรรมชาติ
อาจารย์ที่ปรึกษาหลัก	: รองศาสตราจารย์ ดร.วันดี รังสีวิจิตรประภา
อาจารย์ที่ปรึกษาร่วม	: ดร.บัญชา อิ่งงาม
คำสำคัญ	: นีโอไซม, ตรีผลา, การเจริญของเส้นผม, 5A-รีดักเทส, ฤทธิ์ต้านอนุมูลอิสระ

ตรีผลาเป็นคำรับยาอายุรเวทที่ใช้รักษาอาการห้องผูก ภาวะดีซ่าน ภาวะโลหิตจาง หอบหืด อาการไข้ และแพลงในกระเพาะอาหารรึรัง ตรีผลาประกอบด้วยผลไม้ 3 ชนิด คือ สมอไทย สมอพิเกก และมะขามป้อม ในอัตราส่วนที่เท่ากัน โดยน้ำหนัก เมื่อเร็ว ๆ นี้ มีรายงานการศึกษาว่า สารสกัดแต่ละชนิด สามารถยับยั้งเอนไซม์ 5A-รีดักเทสได้ แต่ยังขาดข้อมูลสนับสนุนกลไกการออกฤทธิ์ของสารสกัดตรีผลาที่ช่วยหยุดการหลุดร่วงของเส้นผม งานวิจัยนี้จึงมีวัตถุประสงค์เพื่อศึกษากลไกการออกฤทธิ์ของสารสกัด ตรีผลาในการยับยั้งการหลุดร่วงของเส้นผม พัฒนาคำรับนีโอไซมที่บรรจุสารสกัดตรีผลา และศึกษาฤทธิ์กระตุ้นการออกของเส้นผมของสูตรคำรับนีโอไซม การเตรียมสารสกัด นำผลไม้ 3 ชนิด สกัดด้วยเอทานอล 95% ด้วยวิธีการหมัก จากนั้น วิเคราะห์สารสำคัญในสารสกัดตรีผลา และสารสกัดแต่ละชนิด โดยใช้กรด แฟลลิกและกรดเออลายจิกเป็นสารเครื่องหมาย การศึกษาเปรียบเทียบปริมาณสารประกอบฟีนอลิก โดยรวม ด้วยวิธี Folin-Ciocalteu และทดสอบฤทธิ์ต้านอนุมูลอิสระด้วยวิธี ABTS⁺, DPPH⁺ และ FRAP ทดสอบกลไกของตรีผลาในการยับยั้ง 5A-รีดักเทส พัฒนาและศึกษาสภาวะที่เหมาะสมเพื่อเตรียมนีโอไซม ด้วยวิธีตอบสนองพื้นผิว ศึกษาการปลดปล่อยและการซึมผ่านผิวหนังของสารเครื่องหมายจากระบบ นำส่งนีโอไซมโดยการใช้ถุงไดอะไลซีส และวิธี Franz diffusion cell ตามลำดับ ทดสอบความคงตัวของ คำรับที่ 4, 25 และ 45 องศาเซลเซียส 90 วัน ทดสอบฤทธิ์ในการกระตุ้นการออกของเส้นขนในหนูถีบจักร สายพันธุ์ C57BL/6Mlac และทดสอบการระยะเคืองผิวหนังในกระต่ายขาวสายพันธุ์ New Zealand ผล การศึกษา พบว่า สารสกัดตรีผลามีปริมาณสารประกอบฟีนอลิกทั้งหมด เท่ากับ 888.02 ± 29.52 มิลลิกรัม สมมูลแฟลลิกต่อกรัมสารสกัด และ 692.13 ± 23.00 มิลลิกรัมสมมูลเออลายจิกต่อกรัมสารสกัด มีปริมาณสารกรดแฟลลิกและกรดเออลายจิก เท่ากับ 105.93 ± 0.39 และ 8.06 ± 0.03 มิลลิกรัมต่อกรัมสารสกัด สารสกัดตรีผลามีฤทธิ์ต้านอนุมูลอิสระเท่ากับ 318.06 ± 3.59 และ 484.27 ± 12.98 มิลลิกรัมสมมูลวิตามินซีต่อกรัมสารสกัด และ 56.11 ± 0.41 ไมโครโมลาร์เพอริกริโอกอนต่อกรัมสารสกัด (ABTS⁺, DPPH⁺ และ

FRAP) ตามลำดับ สารสกัดตรีผลสามารถยับยั้งเอนไซม์ 5A-รีดักเทส เท่ากับ 56.46 ± 3.02 มิลลิกรัม สมมูลพินาสเทโรไดร์ต่อกรัมสารสกัดหยาบ สภาวะที่เหมาะสมในการเตรียมนีโอโซมคือ ปริมาณไขมันทั้งหมดเท่ากับ 50 มิลลิโนลาร์ ปริมาณคอเลสเทอรอลร้อยละ 10 ของไขมันรวม และปริมาณสารสกัดร้อยละ 0.10 ให้ขนาดอนุภาคนีโอโซมเท่ากับ 180.10 ± 16.34 นาโนเมตร และร้อยละการกักเก็บสารฟีนอลิกทั้งหมดในสารสกัด เท่ากับ 46.43 ± 4.20 ขนาดอนุภาคนีโอโซมไม่มีการเปลี่ยนแปลงอย่างมีนัยสำคัญทางสถิติที่ 4, 25 และ 45 องศาเซลเซียส เป็นเวลา 90 วัน ร้อยละการกักเก็บกรดแกแลติกและเอลลาจิกเท่ากับ 44.16 ± 0.03 และ 79.21 ± 0.06 ตามลำดับ การศึกษาการปลดปล่อยกรดแกแลติกและเอลลาจิกพบว่า ที่เวลา 24 ชั่วโมง โดยนีโอโซมช่วยเพิ่มอัตราการปลดปล่อยกรดแกแลติกและเอลลาจิกจากระบบนำส่งนีโอโซมเมื่อเทียบกับสารละลาย กรดแกแลติกและเอลลาจิกสามารถซึมผ่านชั้นผิวนัง เท่ากับ 218.64 ± 0.31 และ 17.00 ± 0.01 ไมโครกรัมต่อตารางเซนติเมตร และซึมผ่านชั้นผิวนังกำพร้าและหนังแท้เท่ากับ 0.39 ± 0.11 และ 17.25 ± 2.11 ไมโครกรัมต่อตารางเซนติเมตร และซึมผ่านชั้นหนังกำพร้าและหนังแท้เท่ากับ 0.29 ± 0.13 และ 3.12 ± 0.56 ไมโครกรัมต่อตารางเซนติเมตร ตามลำดับ สารสกัดตรีผลอาที่กักเก็บในนีโอโซมความเข้มข้นร้อยละ 1, 2.5 และ 5 สามารถกระตุ้นการออกของเส้นขนในหนูถีบจักร สายพันธุ์ C57BL/6Mlac โดยเพิ่มอัตราการออกของเส้นขน ทำให้เส้นขนยาวเร็วกว่ากลุ่มที่ทดสอบด้วยไม่นอกซิดิล และเมื่อศึกษาเนื้อเยื่อผิวนังในหนูถีบจักร พบร่วมว่า สารสกัดตรีผลอาที่กักเก็บในนีโอโซมความเข้มข้นร้อยละ 2.5 เพิ่มขนาดและจำนวนเซลล์รากขนได้มากกว่ากลุ่มควบคุม อย่างมีนัยสำคัญทางสถิติ ($p < 0.05$) และสารสกัดตรีผลอาที่กักเก็บในนีโอโซมไม่พบรการระคายเคืองผิวนัง สรุปผลการศึกษาสูตรตำรับนีโอโซมที่บรรจุสารสกัดตรีผลสามารถกระตุ้นการออกและลดการหลุดร่วงของเส้นผมด้วยกลไกการต้านอนุมูลอิสระและการยับยั้งเอนไซม์ 5A-รีดักเทส

ABSTRACT

TITLE : TRIPHALA EXTRACT LOADED NIOSOMES FOR HAIR GROWTH PROMOTION
AUTHOUR : THANISSA RAMRIT
DEGREE : MASTER OF PHARMACY
MAJOR : PHARMACEUTICAL AND NATURAL PRODUCTS
ADVISOR : ASSOC. PROF. WANDEE RUNGSEEVIJITPRAPA, Dr.rer.nat.
CO-ADVISOR : BANCHANGNGAM, Ph.D.
KEYWORDS : NIOSOMES, TRIPHALA, HAIR GROWTH PROMOTION, 5α -REDUCTASE, ANTIOXIDANT ACTIVITY

Triphala is an Ayurvedic medicine that is frequently used to treat constipation, jaundice, anemia, asthma, fever and chronic ulcers. The preparation contains fruit from *Terminalia chebula*, *Terminalia bellirica*, and *Phyllanthus emblica* in equal weight proportions. Recently, there have been reports that the fruit extracts could inhibit hair loss, yet there has been no specific information on Triphala and its activities to hair loss inhibition. The purposes of this study are to investigate the mechanism in Triphala extracts associated with hair loss inhibition, develop Triphala extract loaded niosomes and investigate the hair growth promotion of the formulations. Fruits from *T. chebula*, *T. bellirica*, and *P. emblica* were extracted in 95 % ethanol through the maceration process and the active content of Triphala and its individual were analyzed using gallic acid and ellagic acid as the standard markers. A comparative study was done on the total phenolic content and antioxidant activity of Triphala and each fruit extract was analyzed by using ABTS⁺, DPPH[•] and FRAP methods. The mechanism in Triphala that effected the inhibition of 5α - reductase activity was investigated *in vitro*. Niosome formulations loaded Triphala extract was developed and optimized by using the response surface methodology. *In vitro* drug release study was investigated using dialysis bags and the skin penetration was analyzed using Franz diffusion cells. The stability of niosomes's formulation was conducted at 4, 25 and 45 °C for 90 days.

The stimulation of triphala extract on hair growth promotion and skin irritation was investigated in C57BL/6Mlac mice and New Zealand white rabbits, respectively. Results showed that the Triphala extract contained a total phenolic content of 888.02 ± 29.52 mg GAE/g sample and 692.13 ± 23.00 mg EAE/g sample. The Triphala extract also exhibited a gallic acid content of 105.93 ± 0.39 and ellagic acid content of 8.06 ± 0.03 mg/g sample. Antioxidant activities in the Triphala extract was 318.06 ± 3.59 , 484.27 ± 12.98 mg vit C/g sample (ABTS, DPPH assay) and 56.11 ± 0.41 μ mol/g sample (FRAP assay). Triphala extract inhibited 5α - reductase 56.46 ± 3.02 mg finasteride/g crude extract. Optimize formulation of niosomes loaded Triphala extract was 50 mM total lipid, 10% cholesterol and 0.10% plant extract. The obtained niosomes had an average vesicle size of 180.10 ± 16.34 nm and exhibited the entrapment efficiency of total phenolic content at $46.43\pm4.20\%$. Niosomes vesicle size showed no significant alteration following a stability study at 4, 25 and 45°C for 90 days. The entrapment efficiency value for gallic acid was 44.16 ± 0.03 and $79.21\pm0.06\%$ for ellagic acid. In vitro drug released in gallic acid and ellagic acid from niosomes were enhanced compared to the release in extract solutions. The skin penetration of gallic acid and ellagic acid from the loaded niosomes at 24 hours was 218.64 ± 0.31 and 17.00 ± 0.01 $\mu\text{g}/\text{cm}^2$, respectively while the levels were 0.39 ± 0.11 , 17.25 ± 2.11 $\mu\text{g}/\text{cm}^2$ for stratum corneum and 0.29 ± 0.13 , 3.12 ± 0.56 $\mu\text{g}/\text{cm}^2$ for epidermis and dermis, respectively. The concentration 1, 2.5 and 5 % Triphala extract loaded niosomes could promote hair growth in C57BL/6Mlac more effectively than the 2%w/v minoxidil solution. The concentration of 2.5% Triphala extract loaded niosomes significantly increased the number and size of hair follicle compared to the negative and positive control groups ($p<0.05$). Triphala extract loaded niosomes displayed no signs of skin irritation. In conclusion, Triphala extract loaded niosomes can promote hair growth and inhibit hair loss through antioxidant activity and 5α - reductase inhibition.

สารบัญ

	หน้า
กิตติกรรมประกาศ	ก
บทคัดย่อภาษาไทย	ข
บทคัดย่อภาษาอังกฤษ	ง
สารบัญ	ฉ
สารบัญตาราง	ณ
สารบัญภาพ	ภ
บทที่ 1 บทนำ	
1.1 ความเป็นมาและความสำคัญของปัญหา	1
1.2 วัตถุประสงค์	3
1.3 ขอบเขตงานวิจัย	3
1.4 ประโยชน์ที่คาดว่าจะได้รับ	3
บทที่ 2 บททวนวรรณกรรม	
2.1 อุบัติการณ์การเกิดภาวะผู้ร่วง	5
2.2 สาเหตุภาวะผู้ร่วงผิดปกติ	5
2.3 วิวัฒนาชีวิตการออกของเส้นผม	6
2.4 การศึกษาการกระตุ้นการออกของเส้นผมในสัตว์ทดลอง	7
2.5 ยาที่ใช้ในการรักษาภาวะผู้ร่วง	7
2.6 กลไกการกระตุ้นการเจริญของเส้นผม	10
2.7 ทฤษฎีการแก่ (ageing theory)	19
2.8 การศึกษาการกระตุ้นการเจริญของเส้นผม	19
2.9 สมุนไพรที่ใช้ในการรักษาผู้ร่วง	20
2.10 สารสกัดพืชที่ใช้ในการศึกษา	21
2.11 ฤทธิทางชีวภาพของพิษกัดตรีผลลัพธ์รับส่งเสริมการเจริญของเส้นผม	23
2.12 การนำส่งผ่านทางรูขุมขน	24
2.13 ข้อจำกัดของการใช้สารสกัดจากธรรมชาติ และการใช้ในรูปแบบนีโอดีซิม	25

สารบัญ (ต่อ)

	หน้า
2.14 ระบบนำส่งนีโอโซม	25
2.15 ปัจจัยที่มีผลต่อการตั้งตัวรับนีโอโซม	27
2.16 การประเมินคุณลักษณะของนีโอโซม	28
2.17 โครงสร้างของผิวน้ำ	31
2.18 โครงสร้างและชนิดของเส้นผม	32
2.19 ช่องทางการซึมผ่านของสารทางผิวน้ำ	33
2.20 การศึกษาลักษณะการดูดซึมของตัวรับนีโอโซม	34
2.21 การทดสอบการระบายเคือง	35
บทที่ 3 วิธีดำเนินการวิจัย	
3.1 วัสดุและสารเคมี	36
3.2 วิธีการดำเนินการวิจัย	37
บทที่ 4 ผลการศึกษา และการอภิปรายผล	
4.1. การวิเคราะห์ปริมาณสารประกอบฟีโนอลิก (total phenolic compounds)	51
4.2. การตรวจวิเคราะห์ปริมาณสารเครื่องหมายในสารสกัด	52
4.3. การทดสอบฤทธิ์ต้านอนุมูลอิสระของสารสกัด	57
4.4. การทดสอบฤทธิ์ในการยับยั้ง 5 α -reductase	58
4.5. การศึกษาปัจจัยที่มีผลต่อการเตรียมตัวรับนีโอโซม	64
4.6. การวิเคราะห์หาร้อยละการเก็บกักสารเครื่องหมายในนีโอโซม	84
4.7. การศึกษาการปลดปล่อยสาร gallic acid และ ellagic acid จากระบบนำส่งนีโอโซม	86
4.8. การศึกษาการซึมผ่านผิวของ gallic acid และ ellagic acid จากระบบนำส่งนีโอโซม ด้วยหนังสุกรแรกเกิต	88
4.9. การทดสอบความคงตัวของตัวรับนีโอโซม	92
4.10. การทดสอบฤทธิ์ในการกระตุ้นการงอกของเส้นผมในหนูถีบจักรสายพันธุ์ C57BL/6Mlac	97

สารบัญ (ต่อ)

	หน้า
4.11. ทดสอบการระคายเคืองผิวหนัง (skin irritation) ในกระต่ายขาว สายพันธุ์ New Zeland	105
บทที่ 5 สรุปผลการศึกษา และข้อเสนอแนะ	
5.1 สรุปผลการศึกษา	107
5.2 ข้อเสนอแนะ	111
เอกสารอ้างอิง	112
ภาคผนวก	128
ประวัติผู้วิจัย	131

สารบัญตาราง

ตารางที่	หน้า
2.1 สารสกัดพืชที่มีฤทธิ์ในการยับยั้ง 5a-reductase II	11
2.1 สารสกัดพืชที่มีฤทธิ์ในการกระตุ้นการสร้าง cytokines และ growth factors	13
2.2 สารสกัดพืชที่มีฤทธิ์ต่อวงซีวิตการเจริญของเส้นผม	14
2.3 สารสกัดพืชที่มีฤทธิ์กระตุ้น dermal papilla cell และ hair follicle	16
2.4 กลไกการกระตุ้นการเจริญของเส้นผม	20
3.1. ระบบ gradient elution ของวัตถุภาคเคลื่อนที่	39
3.2. ปริมาณสารลดแรงตึงผิว และปริมาณคอเลสเตอรอล จากการคำนวณปริมาณไขมันทั้งหมด	44
3.3. ปริมาณคอเลสเตอรอล และปริมาณสารลดแรงตึงผิว ที่มีผลต่อขนาดอนุภาคน้ำโוזม และร้อยละการกักเก็บสารสกัดพืช	44
3.4. ปริมาณสารสกัดที่มีผลต่อขนาดอนุภาคน้ำโوزม และร้อยละการกักเก็บสารสกัดพืช	45
3.5. เกณฑ์การให้คะแนนการอักของเส้นผม (hair growth score) ของหนูถีบจักร สายพันธุ์ C57BL/6Mlac	48
3.6. เกณฑ์ในการประเมินภาระกายเคืองผิว	49
3.7. ดัชนีภาระกายเคืองผิว (primary irritation index)	49
4.1. การทดสอบฤทธิ์ต้านอนุมูลอิสระของสารสกัด	57
4.2. ร้อยละการกักเก็บสารสกัดในน้ำโوزมจากการศึกษาปัจจัยต่าง ๆ	73
4.3. ขนาดอนุภาคน้ำ ค่าการกระจายอนุภาคน้ำ ค่าประจุไฟฟ้าที่ผิวน้ำภาคร ร้อยละการกักเก็บสารสกัด ที่ได้จากการศึกษาปัจจัยต่างเบื้องต้น	74
4.4. ค่าประจุไฟฟ้าของสารสกัดตระผลความเข้มข้นต่าง ๆ ในน้ำประชาจากไօօօօ (n=3)	75
4.5. ขนาดอนุภาคน้ำโوزม และร้อยละการกักเก็บสารสกัดพืชที่ได้จากการทดลองด้วยวิธี RSM-CCD, โดยการแสดงผลจากค่าเฉลี่ย	76
4.6. ผลการวิเคราะห์ความแปรปรวนของ regression coefficient ของขนาดอนุภาคน้ำ และร้อยละการกักเก็บสารสกัด	78
4.7. ผลการวิเคราะห์ความแปรปรวนของสมการพหุนามกำลังสองของขนาดอนุภาคน้ำ และร้อยละการกักเก็บสารสกัด	79

สารบัญตาราง (ต่อ)

ตารางที่		หน้า
4.8	กำหนดเกณฑ์ระดับปัจจัยที่มีผลต่อค่าตอบสนองเพื่อวิเคราะห์หาค่าที่เหมาะสม	80
4.9	เปรียบเทียบค่าที่ได้จากการทดลองกับค่าที่ได้จากการทำนายภายใต้สภาวะที่เหมาะสม ($n=3$)	83
4.10	คุณสมบัติทางกายภาพของตารับนีโอโซมเมื่อกีบไว้ที่ 4, 25 และ 45 °C	93
4.11	ร้อยละการกักเก็บปริมาณ total phenolic content เมื่อกีบไว้ที่ 4, 25 และ 45°C เป็นเวลา 90 วัน	93
4.12	คุณสมบัติทางกายภาพสารสกัดตรีฟลานีโอโซมความเข้มข้นต่าง ๆ เมื่อกีบไว้ที่ 25°C	95
4.13	ร้อยละการกักเก็บ gallic acid และ ellagic acid ของสารสกัดตรีฟลานีโอโซมความเข้มข้นต่าง ๆ	95
4.14	ระดับคะแนนการระคายเคืองผิวในกระต่ายขาวสายพันธุ์ New Zealand	106
4.15	ระดับการระคายเคืองผิวในกระต่ายขาวสายพันธุ์ New Zealand	106

สารบัญภาพ

ภาพที่	หน้า
2.1 วงศ์ชีวิตการเจริญของเส้นผม	6
2.2 สูตรโครงสร้าง finasteride	7
2.3 กลไกการออกฤทธิ์ของ finasteride	8
2.4 สูตรโครงสร้าง minoxidil	9
2.5 โครงสร้างของเส้นผม	33
2.6 ช่องทางการซึมผ่านของยาทางผิวน้ำ	34
2.7 กลไกที่คาดว่าจะเป็นการออกฤทธิ์ของสารสกัดตระพลา	35
4.1 ปริมาณสารประกอบฟีโนลิกที่พบในสารสกัด <i>T. bellirica</i> , <i>T. chebula</i> , <i>P. emblica</i> และ <i>triphalia</i>	51
4.2 โครมาโทแกรมสารมาตรฐาน gallic acid และ ellagic acid	53
4.3 โครมาโทแกรม (A) <i>T. chebula</i> , (B) <i>T. bellirica</i> , (C) <i>P. emblica</i>	54
4.4 โครมาโทแกรมสารสกัดตระพลา	55
4.5 ปริมาณ gallic acid และ ellagic acid ที่พบในสารสกัดแต่ละชนิด	56
4.6 สูตรโครงสร้าง (A) gallic acid และ (B) ellagic acid	58
4.7 โครมาโทแกรม (A) complete reaction control และ (B) enzyme blank	59
4.8 โครมาโทแกรม 0.5 μM finasteride	60
4.9 โครมาโทแกรม (A) <i>T. chebula</i> , (B) <i>T. bellirica</i> และ (C) <i>P. emblica</i>	61
4.10 โครมาโทแกรมสารสกัดตระพลา	62
4.11 ฤทธิ์ในการยับยั้งการทำงานเอนไซม์ 5α-reductase ของสารสกัดชนิดต่าง ๆ	63
4.12 ขนาดอนุภาคนีโอโซเมที่เกิดจากสารลดแรงตึงผิวนิดไม่มีประจุ	65
4.13 ร้อยละการกักเก็บสารสกัดที่เกิดจากสารลดแรงตึงผิวนิดไม่มีประจุ	65
4.14 ร้อยละการกักเก็บสารสกัดที่เกิดจากปริมาณไขมันทั้งหมด	67
4.15 ขนาดอนุภาคนีโอโซเมที่เกิดจากปริมาณไขมันทั้งหมด	67
4.16 ขนาดอนุภาคนีโอโซเมที่เกิดจากปริมาณคอเลสเตอรอลต่าง ๆ	69
4.17 ร้อยละการกักเก็บสารสกัดที่ได้จากการปริมาณคอเลสเตอรอลต่าง ๆ	69

สารบัญภาพ (ต่อ)

ภาพที่		หน้า
4.18	ขนาดอนุภาคนีโอโซมที่เกิดจากปริมาณสารสกัดความเข้มข้นต่าง ๆ	71
4.19	ร้อยละการกักเก็บสารสกัดที่ได้จากการปริมาณสารสกัดความเข้มข้นต่างๆ	71
4.20	กราฟสามมิติ และกราฟโครงสร้าง (A) การตอบสนองของขนาดอนุภาคที่เกิดจากปริมาณคอลเลสเทอรอล (X_2) กับปริมาณไขมันทั้งหมด (X_1), (B) การตอบสนองของขนาด อนุภาคที่เกิดจากปริมาณสารสกัด (X_3) กับปริมาณไขมัน X_1), (C) การตอบสนองของขนาดอนุภาคที่เกิดจากปริมาณสารสกัด (X_3) กับปริมาณคอลเลสเทอรอล (X_2)	81
4.21	กราฟสามมิติ และกราฟโครงสร้าง (A) การตอบสนองของร้อยละการกักเก็บสารสกัดที่เกิดจากปริมาณคอลเลสเทอรอล(X_2) กับปริมาณไขมันทั้งหมด (X_1), (B) การตอบสนองของร้อยละการกักเก็บสารสกัดที่เกิดจากปริมาณสารสกัดพีซ (X_3) กับปริมาณไขมันทั้งหมด (X_1), (C) การตอบสนองของร้อยละการกักเก็บสารสกัดที่เกิดจากปริมาณสารสกัดพีซ (X_3) กับปริมาณคอลเลสเทอรอล (X_2)	82
4.22	ร้อยละการกักเก็บ gallic acid และ ellagic acid	84
4.23	ร้อยละการกักเก็บ gallic acid และ ellagic acid สูตรคำรับนีโอโซมความเข้มข้น 1, 2.5 และ 5%	85
4.24	การปลดปล่อยสารเครื่องหมายจากระบบนำส่งนีโอโซมกับสารละลาย (A) สารเครื่องหมาย gallic acid, (B) สารเครื่องหมาย ellagic acid	87
4.25	ปริมาณสารเครื่องหมายที่ซึมผ่านชั้นผิวนัง (A) สารเครื่องหมาย gallic acid, (B) สารเครื่องหมาย ellagic acid	89
4.26	ปริมาณ gallic acid และ ellagic acid ที่ซึมผ่านไปในชั้น stratum corneum	90
4.27	ปริมาณ gallic acid ที่ซึมผ่านไปในชั้น epidermis และ dermis	91
4.28	ภาพถ่ายการเจริญของเส้นขนในหนูนูถีบจักรเพศผู้ สายพันธุ์ C57BL/6Mlac	98
4.29	การเจริญของเส้นขนในหนู C57BL/6Mlac mice ประเมินตามเกณฑ์การเจริญของเส้นผม	101

สารบัญภาพ (ต่อ)

ภาพที่	หน้า
4.30 ภาพตัดขวางผิวหนังหนูถีบจักรเมื่อ (ก) กลุ่มควบคุม (1g; ไม่ทำสารได้ 2g; นีโอโซมเปล่า) (ข) 2% minoxidil solution (ค) 1% triphala solution (ง) 1% tirphala niosomes (จ) 2.5% tirphala niosomes (ฉ) 5% tirphala niosomes ภายใต้กล้องจุลทรรศน์กำลังขยาย 100 เท่าในสับดาห์ที่ 4 ของการทดลอง	102
4.31 ภาพตัดตามยาวผิวหนังของหนูถีบจักรเมื่อ (ก) กลุ่มควบคุม (1g; ไม่ทำสารได้ 2g; นีโอโซมเปล่า) (ข) 2% minoxidil solution (ค) 1% triphala solution (ง) 1% tirphala niosomes (จ) 2.5% tirphala niosomes (ฉ) 5% tirphala niosomes ภายใต้กล้องจุลทรรศน์กำลังขยาย 40 เท่า ในสับดาห์ที่ 4 ของการทดลอง	103
4.32 จำนวน hair follicle ในหนูถีบจักรเพศผู้สายพันธุ์ C57BL/6Mlac เมื่อทดสอบด้วยสารทดสอบต่าง ๆ	104

บทที่ 1

บทนำ

1.1 ความเป็นมาและความสำคัญของปัญหา

จากคำแคลงนอยบายของคณะกรรมการรัฐมนตรีที่ได้กล่าวว่า ยุทธศาสตร์การพัฒนาประเทศตามแผนพัฒนาเศรษฐกิจและสังคมแห่งชาติฉบับที่ 11 เพื่อการพัฒนาประเทศ โดยให้ความสำคัญกับการการส่งเสริมการลดปัจจัยเสี่ยงด้านสุขภาพอย่างเป็นองค์รวม โดยสร้างเสริมสุขภาวะคนไทยให้มีความสมบูรณ์แข็งแรงทั้งร่างกายและจิตใจ พัฒนาความรู้และทักษะในการดูแลสุขภาพของคนไทยครอบครัว ชุมชน สร้างการมีส่วนร่วมในการพัฒนาอยบายสาธารณะที่เอื้อต่อสุขภาพ ควบคู่กับการพัฒนาระบบบริการสาธารณสุขให้มีคุณภาพ พร้อมทั้งการส่งเสริมการแพทย์ทางเลือก การพัฒนาระบบฐานข้อมูลสุขภาพของประเทศไทย โครงการวิจัยนี้ได้เล็งเห็นความสำคัญในด้านปัญหาสุขภาพของประชาชน ซึ่งเป็นปัญหาสุขภาพที่มีผลต่อสุขภาพจิต จึงได้หยิบยกการแก้ไขปัญหาสุขภาพในการลดและแก้ปัญหามนร่วงในประชาชน ซึ่งเป็นปัญหาสุขภาพประการหนึ่งที่มีผลเสียต่อสุขภาพจิตของประชาชนจำนวนมาก

ผู้ร่วงแม้จะไม่เป็นปัญหาสุขภาพที่เป็นอันตรายถึงแก่ชีวิต แต่เป็นอาการที่ส่งผลเสียต่อสุขภาพจิตและบุคลิกภาพของบุคคลจำนวนมากโดยตรง ประชากรทั่วโลกมีอาการภาวะผู้ร่วงประมาณร้อยละ 0.2 ถึง 2 (Olsen, 1993) หากอาการดังกล่าวลุก浪จนกลายเป็นศีรษะล้าน ก่อให้เกิดเป็นปมด้อยไปตลอดชีวิต ผู้ประสบปัญหาดังกล่าวอาจเกิดภาวะเครียด วิตกกังวล ซึมเศร้า และเสียบุคลิกภาพ จึงเป็นผลให้บุคคลเส่วงหายิ่งการรักษาและป้องกันอาการดังกล่าวอย่างมาก สาเหตุของผู้ร่วงเกิดได้หลายสาเหตุ เช่น กรรมพันธุ์ ฮอร์โมนเพศ โรคติดเชื้อ โรคเรื้อรัง การอักเสบในการรักษาโรคผู้ร่วง ยังมีความสับสนจากการใช้ยา.rักษาในปัจจุบันอยู่มาก เนื่องจากผู้ใช้ไม่ทราบสาเหตุแท้จริงของการผู้ร่วงดังกล่าว อย่างไรก็ตาม ผู้ร่วงที่เกิดจากพันธุกรรม (androgenic alopecia) เป็นภาวะผู้ร่วงที่พบบ่อยที่สุด ในเพศชาย ภาวะนี้เรียกว่าผู้ร่วงศีรษะล้านในผู้ชาย (male pattern baldness) โดยจะเริ่มเกิดในวัยรุ่นตอนปลาย (Nicole et al., 2008) ทั้งนี้ผู้ร่วง androgenic alopecia มีความรุนแรงมากน้อยต่างกันไปในแต่ละบุคคล พบได้ทั้งแบบอาการผู้ร่วงหรือเส้นผมค่อย ๆ บางลงจนหลุดร่วงไป แต่ในเพศหญิงภาวะโรคนี้มักจะไม่มีอาการ และจะเกิดในลักษณะผูกบางลง ทั้งนี้อาการ ในทางคลินิกในชายและหญิงจะเริ่มต้นเมื่ออายุ 30 ปี กลไกหลักที่รับ

อาการผื่นรุ่งแบบนี้ยังไม่แน่ชัด แต่คาดว่าเกิดจากอิทธิผลของฮอร์โมนเพศชาย ไดไฮดรอเตสโตรีโนน (dihydrotestosterone; DHT)

ยารักษาผื่นรุ่งที่ผ่านการยอมรับจากองค์การอาหารและยา (Food and Drug Administration; FDA) ในปัจจุบันมี 2 ชนิด คือ minoxidil และ finasteride สำหรับ minoxidil เดิมใช้เป็นยาลดความดันโลหิต แต่มีผลข้างเคียงคือ สามารถกระตุ้นการอกของเส้นผม จึงนำมาใช้เพื่อลดภาวะผื่นรุ่ง การใช้ยานี้ต้องระวังการใช้ในกลุ่มผู้ป่วยที่มีความดันโลหิตต่ำ และอาจเกิดอาการข้างเคียง คือ ระคายเคืองบริเวณที่ทา คัน หนังศีรษะแห้ง และเกิดผื่นแดงได้ นอกจากนี้แล้วยังก่อให้เกิดอาการข้างเคียงทั้งระบบ คือ วิงเวียน หัวใจเต้นเร็ว ซึ่งเป็นอาการข้างเคียงที่รุนแรง (Abramowicz, 1998) ส่วน finasteride เป็นยา.rักษาต่อมลูกหมากโดย มีคุณสมบัติดการหลุดร่วงของเส้นผมโดยจับกับเอนไซม์ 5A-reductase II ที่บริเวณเส้นผม ทำให้ผมหลุดร่วงน้อยลง และเร่งการอกของเส้นผม ผลข้างเคียงของยานี้คือ ความต้องการทางเพศลดลง อวัยวะเพศไม่แข็งตัว ปริมาณอสุจิลดลง เด็กโต เจ็บไข้ปอด การเจริญของกล้ามเนื้อผิดปกติและทำให้ป้าดกล้ามเนื้อรุนแรง (Lacy et al., 2008) นอกจากนี้การใช้ยาดังกล่าวต้องใช้อย่างต่อเนื่อง เพราะหากหยุดใช้อาจจะทำให้กลับมาสู่ภาวะผื่นรุ่ง ดังเดิม

ดังนั้น การใช้สมุนไพรเพื่อรักษาโรคและพื้นฟูสุขภาพ จึงได้รับความสนใจอย่างมากในปัจจุบัน ด้วยเหตุผลประการหนึ่งเนื่องจากความปลอดภัย ที่มีมากกว่ายาสังเคราะห์ทางเคมี รวมทั้งเป็นภูมิปัญญาชาวบ้านที่สืบทอดต่อกันมา ผนวกกับความหลากหลายทางชีวภาพอย่างยิ่งของพืชสมุนไพร ภายในประเทศไทย จึงทำให้มีการวิจัยครั้งนี้ให้ความสนใจในการทดลองใช้ตัวรีผลลัพธ์ซึ่งประกอบด้วยผลสมอไทย ผลสมอพีเกก และผลมะขามป้อม มุ่งเน้นศึกษาถกลักษณะการยับยั้งสาเหตุการหลุดร่วงของฮอร์โมน และจากการศึกษาพบว่า สารสกัดสมุนไพรจากมะขามป้อม สมอไทย และสมอพีเกก สามารถยับยั้งเอนไซม์ 5A-reductase II (Kumar et al., 2011 และ Kumar et al., 2012) ได้ และยังไม่มีการศึกษาการนำสารสกัดของสมุนไพรทั้งสามชนิดที่อยู่ในตัวรับตัวรีผลลามาใช้เพื่อกระตุ้นการเจริญของเส้นผม ดังนั้นการศึกษาในครั้งนี้มีความเป็นไปได้สูงมากที่จะนำตัวรับตัวรีผลลามาพัฒนาเป็นเครื่องสำอางเพื่อลดการหลุดร่วง และกระตุ้นการเจริญของเส้นผม

งานวิจัยนี้เป็นการศึกษาฤทธิ์ของตัวรีผลลัพธ์ซึ่งเป็นยาอายุวัฒนะในการรักษาแบบอายุรเวทของอินเดีย โดยรูปแบบดังเดิมนั้นจะเป็นการนำผลไม้ 3 ชนิดคือ ผลของสมอไทย สมอพีเกก และมะขามป้อม ผสมกันในอัตราส่วน 1:1:1 โดยน้ำหนัก แล้วจึงนำไปรับประทาน แต่ตัวรีผลลามาในงานวิจัยนี้ เป็นการนำผลไม้แต่ละชนิดมาสกัด เพื่อให้ง่ายต่อการทดสอบฤทธิ์ของสารสกัดแต่ละชนิด จากนั้นจึงนำสารสกัดของผลไม้แต่ละชนิดมาผสมกันในอัตราส่วน 1:1:1 โดยน้ำหนัก สารสกัดตัวรีผลลามาก็ นำมาใช้ในรูปแบบตามธรรมชาติ จะมีปัญหาการซึมผ่านผิวนัง เนื่องจากสารสำคัญที่อยู่ในสารสกัดตัวรีผลลามาโดยเฉพาะสาร gallic acid เป็นสารที่สามารถละลายน้ำได้ และมีปริมาณจำกัด เพื่อแก้ไข

ปัญหาดังกล่าว จึงเลือกเตรียมตำรับให้อยู่ในรูปแบบอนุภาคนีโอโซม เพื่อช่วยในการนำส่งสารสกัดไปยังเป้าหมายการออกฤทธิ์ และช่วยในการซึมผ่านผิวนังได้ดีขึ้น เนื่องจากอนุภาคนีโอโซมประกอบด้วยโครงสร้างที่เป็น lipid bilayer สามารถกักเก็บห้องสารที่ละลายน้ำได้และละลายในไขมัน (อรัญญา มโนสร้อย, 2550)

1.2 วัตถุประสงค์

- 1.2.1 เพื่อศึกษาถลกไก่การออกฤทธิ์ของสารสกัดตรีผลในการยับยั้งการหลุดร่วงของเส้นผม
- 1.2.2 พัฒนาตำรับนีโอโซมที่บรรจุสารสกัดตรีผล
- 1.2.3 ศึกษาฤทธิ์กระตุ้นการอกร่องเส้นผม และการระคายเคืองต่อผิวนังของผลิตภัณฑ์ในสัตว์ทดลอง

1.2 ขอบเขตงานวิจัย

ส่วนที่ 1 การพัฒนาสูตรตำรับนีโอโซมโดยการใช้วิธีการตอบสนองพื้นผิว (response surface method; RSM) เพื่อหาสูตรตำรับที่เหมาะสม (optimized formulation) ที่ให้ขนาดอนุภาคอยู่ในช่วง 100 – 400 nm ที่ให้ร้อยละการกักเก็บสารสกัดในนีโอโซมมากที่สุด และศึกษาความคงตัวของสูตรตำรับ

ส่วนที่ 2 นำสูตรตำรับนีโอโซมที่เหมาะสมจากส่วนที่ 1 มาพัฒนาต่อเพื่อให้ได้ร้อยละการกักเก็บสารสำคัญในปริมาณที่สูงขึ้น ศึกษาการปลดปล่อยสารเครื่องหมายจากระบบนำส่งนีโอโซม ศึกษาการซึมผ่านผิวนังสูกรแรกเกิดของสารเครื่องหมายจากระบบนำส่งนีโอโซม ศึกษาถลกไก่การยับยั้งการหลุดร่วงของเส้นผม และศึกษาคุณสมบัติการกระตุ้นการเจริญของเส้นผม และทดสอบการระคายเคืองผิวนังในสัตว์ทดลอง

1.4 ประโยชน์ที่คาดว่าจะได้รับ

1.4.1 เพิ่มนูคล่าของสมุนไพรไทย โดยนำมาพัฒนาในรูปแบบเครื่องสำอางน่าโน และเป็นแนวทางเลือกใหม่สำหรับผู้ประสบปัญหา ผมหลุดร่วง ผมบาง

1.4.2 ลดการนำเข้าสารเคมีหรือผลิตภัณฑ์รักษาผมร่วงจากต่างประเทศ ทำให้เงินตราไม่ไหลออกไปยังต่างประเทศ เป็นการช่วยเศรษฐกิจของชาติ

1.4.3 ทราบข้อมูลทางด้านความปลอดภัยและประสิทธิภาพของสมุนไพรไทย ในการลดผมร่วง และเร่งการอกร่องเส้นผม อันเป็นข้อมูลที่มีประโยชน์สำหรับผู้บริโภค นักวิจัย และผู้ผลิต ในการส่งเสริมให้เป็นผลิตภัณฑ์ระดับชาติต่อไป

1.4.4 ได้ผลิตภัณฑ์เครื่องสำอางรูปแบบอนุภาคนาโนตันแบบ ในการพัฒนาเพื่อผลิตในเชิงอุตสาหกรรม

บทที่ 2

พหุทวนวรรณกรรม

2.1 อุบัติการณ์การเกิดภาวะผมร่วง

ภาวะผมร่วงเป็นภาวะความผิดปกติอย่างหนึ่งของผิวหนัง พบระยะรอยละ 0.2 ถึง 2 ของประชากรโลก (Betolino, 2000; Olsen, 1993; Madoni and Shapiro, 2000) แม้จะไม่เป็นปัญหาสุขภาพที่เป็นอันตรายถึงแก่ชีวิต แต่ส่งผลเสียต่อสุขภาพจิตและบุคลิกภาพ ทำให้เกิดความกังวล ความเครียด androgenic alopecia ภาวะผมร่วงที่เกิดจากพันธุกรรมชนิดที่ขึ้นกับฮอร์โมนเพศชาย พbmมากที่สุด ซึ่งส่งผลกระทบทั้งในผู้ชายและผู้หญิง ปัญหาผมร่วงร้อยละ 14 เริ่มมีอาการ ในผู้ชาย อายุ 15 -17 ปี ที่มีสุขภาพแข็งแรง ร้อยละ 30 พbmในผู้ชายที่มีอายุน้อยกว่า 30 ปี และร้อยละ 50 พbm ในผู้ชายที่มีอายุมากกว่า 50 ปี และในผู้หญิงพบเกือบร้อยละ 50 (Trancik et al., 2001)

2.2 สาเหตุภาวะผมร่วงผิดปกติ

2.2.1 androgenetic alopecia เป็นผมร่วงที่เกิดจากพันธุกรรม เส้นผมมีระยะอนาคต (anagen) สั้นลง เส้นผมมีขนาดเล็กลง เรียกว่า follicular miniaturization ซึ่งเส้นผมยังคงเจริญได้ทั้ง 3 ระยะ แต่อีก 2 ระยะ ยาวขึ้น เทียบเวลา anagen : telogen จาก 12:1 เป็น 5:1 ทำให้ขนาดของผมใหม่จะสั้นและเล็กลงเรื่อยๆ และมีเส้นผมในระยะเทโลเจน (telogen) ร่วงมากขึ้นกระบวนการ follicular miniaturization เกิดจากฮอร์โมนเพศชาย testosterone เมื่อเข้าสู่กระเพาะเสือด ไหลเวียนทั่วร่างกาย ที่หนังศีรษะฮอร์โมนนี้จะเปลี่ยนเป็นได้ DHT โดยเอนไซม์ 5 α -reductase เป็นกระบวนการธรรมชาติ จากนั้น DHT จับกับแอนโตรเจนรีเซฟเตอร์ (androgen receptor) ที่ hair follicle ออกฤทธิ์ยับยั้งกระบวนการสร้างเส้นผมปกติ ทำให้เส้นผมใหม่ที่อกมีขนาดเล็กลงเรื่อยๆ (จาก 0.08 mm เหลือน้อยกว่า 0.06 mm) และบางลงเรื่อยๆ รวมทั้งสีซีดลง จนในที่สุดเกิดภาวะผมบางและศีรษะล้าน

2.2.2 alopecia areata ผมจะร่วงเป็นหย่อม ๆ มักเป็นรูปกลมหรือรี สาเหตุยังไม่ทราบแน่ชัด ปัจจุบันเชื่อว่าเกิดจากภูมิคุ้มกันผิดปกติ เช่นที่เซลล์รากผม โดยสุขภาพร่างกายปกติ ผมอาจร่วงหย่อมเดียวหรือหลายหย่อมก็ได้ ในรายที่เป็นมากอาจมีผมร่วงได้ทั้งศีรษะ หรือมีผมร่วงบริเวณอื่นของร่างกายร่วงด้วย บางครั้งหายเองได้ภายใน 1 ปี หรือบางที่สามารถกลับมาเป็นใหม่ได้อีก การรักษา

นี้มีหลายวิธี เช่น ฉีดยาในกลุ่มสเตียรอยด์ที่บริเวณผู้ร่วงทุก 3 ถึง 4 สัปดาห์ อาจใช้ยาทาในกลุ่มสเตียรอยด์ หรือยาทา minoxidil เป็นต้น

2.2.3 telogen effluvium เป็นภาวะผู้ร่วงที่เกิดภายหลังจากมีภาวะเครียดที่รุนแรงต่อร่างกาย หรือจิตใจ เช่น การเจ็บป่วย ไข้สูง การผ่าตัด หลังคลอดบุตร เป็นต้น มักเกิดผู้ร่วงหลังเหตุการณ์ดังกล่าวประมาณ 2 ถึง 3 เดือน เมื่อพ้นสภาพความเครียดดังกล่าว เส้นผมจะอกใหม่เป็นปกติภายใน 6 เดือน ถึง 1 ปี

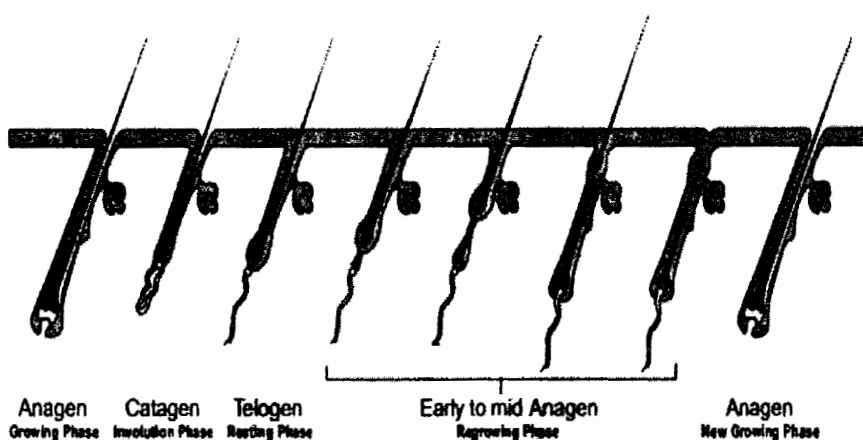
2.3 วัฏจักรชีวิตการอกของเส้นผม (hair cycle)

เส้นผมจะมีการอกในช่วงเวลาหนึ่งแล้วจะหยุดออก หลุดร่วงไป หลังจากนั้นจะกลับมาอกรใหม่เป็นวงจร แบ่งเป็น 3 ระยะ ดังแสดงในภาพที่ 2.1 (Andrea et al., 1995)

2.3.1 ระยะเจริญ (anagen phase) เป็นระยะเวลาการอกของเส้นผม ซึ่งมีระยะเวลานานประมาณ 3 ปี หรืออาจถึง 7 ปี เมื่อคนเรารอยามากขึ้นระยะอนาเจนจะสั้นลงเรื่อยๆ ในระยะนี้ผมของคนเราจะงอกเร็วประมาณ 1 เซนติเมตรต่อเดือน

2.3.2 ระยะหลุด (catagen phase) เป็นระยะหยุดการอกของเส้นผม ในระยะนี้ส่วนของเนื้อเยื่อ dermal papilla จะแยกออกจาก matrix ทำให้เส้นผมขาดอาหารมาเลี้ยง ทำให้ต่อมผมหดเล็กลง แล้วจะหยุดทำงานนานประมาณ 1 สัปดาห์ หลังจากนั้นจะเข้าสู่ระยะเทโลเจน

2.3.3 ระยะพัก (telogen phase) เป็นระยะพักซึ่งมีระยะเวลาประมาณ 3 เดือน ในระยะนี้ผมจะหลุดร่วงออกไป ซึ่งปกติแล้วต่อมผมมีประมาณ 100,000 ต่อม ในจำนวนนี้ประมาณร้อยละ 10 จะอยู่ในระยะเทโลเจนในทุกช่วงของชีวิตคนเรา จึงทำให้มีผู้เสียหายร่วงไม่พร้อมกัน



ภาพที่ 2.1 วงชีวิตการเจริญของเส้นผม

ที่มา: Andrea et al., 1995

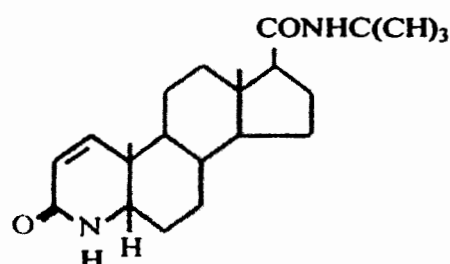
2.4 การศึกษาการกระตุ้นการอักของเส้นผมในสัตว์ทดลอง

การศึกษาการกระตุ้นการอักของเส้นผมในสัตว์ทดลอง โดยการทดสอบฤทธิ์ในหนูถีบจักรสายพันธุ์ C57BL/6Mlac เพศผู้ อายุ 7-8 สัปดาห์ ซึ่งเป็นสายพันธุ์ที่นิยมนำมาศึกษาฤทธิ์ในการกระตุ้นการเจริญของเส้นผม (Datta et al., 2009) เนื่องจากมีข้อสืดทำให้สังเกตการเจริญของเส้นขนได้ง่าย มีวงชีวิตการเจริญของเส้นผมคล้ายกับในมนุษย์ การทดสอบจึงเลือกศึกษาในเพศผู้เนื่องจาก การทดสอบนี้ต้องการทราบฤทธิ์ในการยับยั้งการทำงานของเอนไซม์ 5α -reductase II ซึ่งเป็นเอนไซม์ที่เปลี่ยน testosterone ให้เป็น dihydrotestosterone เป็นแอนโดรเจนที่มีฤทธิ์แรง ที่ทำให้เกิดผมร่วง หนูที่ใช้ในการศึกษาครมีอายุหนูอยู่ในช่วง 7-8 สัปดาห์ เนื่องจากเป็นช่วงที่มีวงชีวิตการเจริญของเส้นขนอยู่ในระยะเทโลเจนเป็นช่วงที่เหมาะสมในการศึกษาฤทธิ์ในการกระตุ้นการเจริญของเส้นผมจากระยะเทโลเจน เข้าสู่ระยะอนาเจน และการศึกษาส่วนใหญ่ทำการทดสอบที่ 4 สัปดาห์ (Kumar et al., 2011; Kumar et al., 2012 และ Lee et al., 2010) เนื่องจากเป็นช่วงเวลาที่เส้นขนในสัตว์ทดลองงอกเต็มที่ที่ทดสอบ

2.5 ยาที่ใช้ในการรักษาภาวะผมร่วง

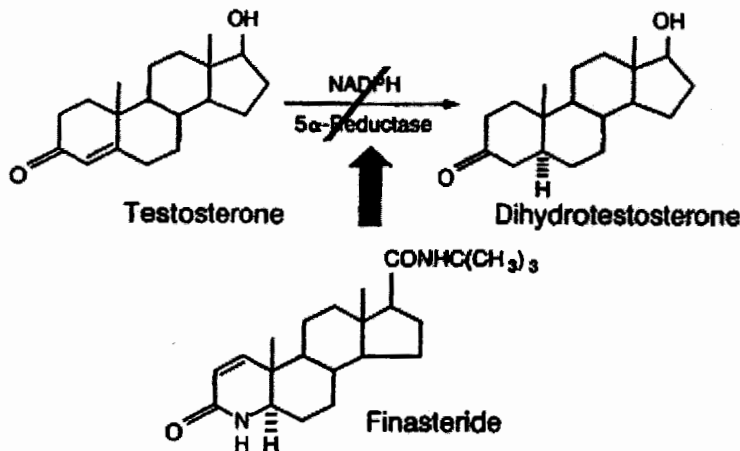
ยาที่ได้รับการรับรองจากองค์กรอาหารและยา เพื่อใช้ในการรักษา ผมร่วง มี 2 ชนิด (Muller et al., 2001) คือ

2.5.1 finasteride มีจานวนยาเม็ดรับประทาน ขนาด 5 mg ออกฤทธิ์โดยการลดระดับฮอร์โมน dihydrotestosterone โดยการยับยั้งการทำงานของเอนไซม์ 5α -reductase II ทำให้ระดับของ dihydrotestosterone ในกระแสเลือดและบริเวณเซลล์สร้างเส้นผมลดลงกว่าร้อยละ 60 จึงสามารถช่วยป้องกันไม่ให้เส้นผมมีขนาดเล็กลง และยังอาจทำให้เส้นผมมีขนาดใหญ่ขึ้น ซึ่งผลการรักษา มีความแตกต่างกันขึ้นอยู่กับการตอบสนองของยาในแต่ละคน จากรายงานทางการแพทย์ระบุว่า finasteride ทำให้ผมหยุ่นร่วง หรือผมขึ้นใหม่ได้อยู่ระหว่างร้อยละ 66-88 สูตรโครงสร้าง กลไกการออกฤทธิ์ แสดงดังภาพที่ 2.2 และ 2.3



ภาพที่ 2.2 สูตรโครงสร้าง finasteride

ที่มา: Drake et al., 1994



ภาพที่ 2.3 กลไกการออกฤทธิ์ของ finasteride

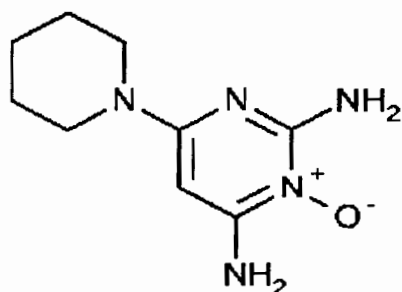
ที่มา: Drake et al., 1994

การศึกษาของ Kaufman et al., (1998) โดยใช้ finasteride 1 mg ในผู้ชายอายุ 18-41 ปี พบว่า จำนวนเส้นผมเพิ่มขึ้น 16.9 และ -4.1 เส้นต่อตารางเซนติเมตร ใน finasteride 1 mg และยา หลอก ตามลำดับ และเมื่อเปรียบเทียบกับการเจริญของเส้นผมเพิ่มขึ้นอย่างต่อเนื่อง เมื่อ รักษาที่ 24 เดือน เส้นผมยาวขึ้นและหนาขึ้นร้อยละ 50 และ 66 ในผู้ชายอายุ 18 - 41 ปี ใน 1 ปี และ 2 ปี ตามลำดับ เมื่อเปรียบเทียบกับการใช้ยาหลอกพบร้อยละ 7 ใน 1 ปี และ 2 ปี ส่วนในผู้ชาย อายุ 41-60 ปี พบร้อยละ 39 และ 3 เมื่อมีการใช้ finasteride เปรียบกับยาหลอกที่ 2 ปี

การศึกษาของ Drake et al., (1994) การใช้ยา finasteride ในผู้ป่วย 249 คน ขนาดยาที่ใช้ 0.01-5 มิลลิกรัมต่อวัน พบว่า ระดับ DHT ในกระแสเลือดและที่หนังศีรษะลดลง และหลังใช้ขนาด 0.2 มิลลิกรัมต่อวัน 6 สัปดาห์ ลดระดับ DHT ที่หนังศีรษะได้ร้อยละ 60 – 70 อย่างมีนัยสำคัญทาง สถิติ ($p < 0.05$) ไม่มีผลต่อระดับฮอร์โมน testosterone ในกระแสเลือด ขนาดยาที่ แนะนำคือ 0.2 – 1 มิลลิกรัมต่อวัน สำหรับการรักษาภาวะผมร่วงที่เกิดจากฮอร์โมนเพศชาย

อาการข้างเคียงของการใช้ finasteride คือ หย่อนสมรรถนะทางเพศ ความต้องการทางเพศ ลดลง ปริมาณอสุจิลดลง อวัยวะเพศไม่แข็งตัว เต้านมโต โดยพบว่า ผู้ป่วยร้อยละ 3 ที่ใช้ยาจะมี อาการข้างเคียงดังกล่าว และต้องใช้อย่างน้อย 3 เดือน เพื่อกระตุ้นการเจริญของเส้นผม และใช้ ต่อเนื่อง 12 เดือน หากหยุดการใช้ยาจะทำให้ผมร่วงเหมือนเดิม (Kaufman et al., 1998) และ finasteride ไม่มีอำนาจในรูปแบบทา เนื่องจากกลไกการออกฤทธิ์ของ finasteride ยังคงเอนไซม์ 5α -reductase II ที่ hair follicle แต่ที่ผิวหนังเป็นเอนไซม์ 5α -reductase I

2.5.2 minoxidil มีจำหน่ายในรูปแบบยาเม็ด ขนาด 2.5 และ 10 mg และรูปแบบใช้ภายนอก ความเข้มข้นร้อยละ 2 และ 5 รูปแบบที่นิยมใช้รักษาภาวะผมร่วงคือ รูปแบบใช้ภายนอก ความเข้มข้นร้อยละ 2 และ 5 เดิมเป็นยาลดความดันโลหิต แต่พบว่าทำให้เส้นผมงอกได้ กลไกการทำงาน ยังไม่ทราบแน่ชัด ยาถูกเปลี่ยนเป็น minoxidil sulfate โดยเอนไซม์ sulfotransferase ที่อยู่ บริเวณหนังศรีษะ minoxidil เพิ่มระดับของ minoxidil ทำให้รากผมยาวนานขึ้น และทำให้เซลล์เส้นผมมีขนาดใหญ่ขึ้น โดย minoxidil มีสูตรโครงสร้าง ดังแสดงในภาพที่ 2.4



ภาพที่ 2.4 สูตรโครงสร้าง minoxidil

ที่มา: Balakrishnan et al., 2009

การทดสอบโดยการเลี้ยงเซลล์ human epidermal ด้วย 5% minoxidil solution พบร้า เซลล์สามารถเจริญอยู่ได้นานมากกว่าเซลล์ในกลุ่มควบคุม (Baden et al., 1983) โดย minoxidil เพิ่มการเจริญของเซลล์ dermal papilla เพิ่มระดับของ Erk และ Akt phosphorylation ซึ่งอัตรา การเพิ่มของ Bcl-2/Bax ทำให้ระยะонаเจนยาวนานขึ้น ป้องกันการตายของเซลล์ที่เกิดจาก กระบวนการ apoptotic และทำให้เซลล์รากผมยาวขึ้น

การทดสอบยา minoxidil ที่ทางของลิงสามที่ไม่มีขน (Uno et al., 1986) พบร้า minoxidil เพิ่มสัดส่วนของ hair follicle ในระยะonaเจน ลดจำนวนของ hair follicle ในระยะเทโลเจน และ เพิ่มขนาดของ hair follicle

การศึกษาของ Abell (1988) ทดสอบการใช้ minoxidil ในผู้ชายที่หัวล้าน พบร้า อัตราส่วนของ ระยะonaเจนต่อระยะเทโลเจน เพิ่มขึ้นหลังจากใช้ 12 เดือน โดย minoxidil เพิ่มขนาดของเส้นผม เมื่อใช้ไปแล้ว 4 เดือน จากขนาด 0.029 mm เพิ่มเป็น 0.043 mm ใน 12 สัปดาห์ และเพิ่มเป็น 0.042 mm ใน 24 สัปดาห์

การศึกษาของ Olsen et al., (2002) ทำการศึกษาเปรียบเทียบการใช้ 5 และ 2% minoxidil เปรียบเทียบกับยาหลอกในผู้ชายที่มีปัญหาผมร่วง พบร้า การใช้ 5% minoxidil จำนวนเส้นผมเพิ่มขึ้น 18.6 เส้นต่อตารางเซนติเมตร 12.7 เส้นต่อตารางเซนติเมตร ใน 2% minoxidil และ 3.9 เส้นต่อ

ตารางเซนติเมตรในยาหลอก เมื่อใช้ไปแล้ว 48 สัปดาห์ และเมื่อดูภาพถ่ายพบรการเพิ่มจำนวนการเจริญของเส้นผมร้อยละ 57.9, 40.8 และ 23.2 ใน 5, 2% minoxidil และยาหลอกที่ 1 ปี

ข้อเสียของ minoxidil คือ รบกวนต่อการใช้ชีวิตประจำวัน เช่น หลังการใช้ทำให้เกิดการคันระคายเคืองหนังศีรษะ ซึ่งเป็นอาการซ้างเคียงจากการใช้ยา ราคาแพง ไม่อุ้ยในประกันสุขภาพ เพราะการใช้ในด้านนี้เกี่ยวกับความงาม ไม่ได้ใช้เพื่อรักษาโรคความดันโลหิตสูง จึงไม่ได้รวมอยู่ในประกันสุขภาพ และมีอาการซ้างเคียงจากการใช้ยา เช่น ระคายเคืองหนังศีรษะ คันหนังศีรษะ หนังศีรษะแห้ง เป็นผื่นแดง ปวดศีรษะ วิงเวียน หัวใจเต้นผิดจังหวะ พบร 5% minoxidil มากกว่า 2% minoxidil แม้ว่าจะใช้เป็นยาทา แต่มีบางส่วนที่สามารถดูดซึมเข้าสู่กระเพาะเลือดได้ ทำให้หลอดเลือดขยายตัว จึงไม่แนะนำให้ใช้ในผู้ป่วยที่มีปัญหาเกี่ยวกับหัวใจ

ทั้ง finasteride และ minoxidil ต้องใช้อย่างต่อเนื่องเพื่อให้ผลการรักษามีประสิทธิภาพ และควรจะใช้ประมาณ 12 เดือนเพื่อตัดสินใจเกี่ยวกับประสิทธิผลของยา หากหยุดการใช้ยาจะทำให้ผลการรักษาลดลง 4-6 เดือน (Olsen, 1987) และความหนาแน่นของเส้นผมลดลง

2.6 กลไกการกระตุ้นการเจริญของเส้นผม

กลไกการกระตุ้นการเจริญของเส้นผม ประกอบด้วย การยับยั้งการทำงานของเอนไซม์ 5α-reductase II ที่บริเวณรากผม ทำให้ testosterone ไม่สามารถเปลี่ยนเป็น DHT ได้ การเพิ่มการให้เลวี่ยนเลือดไปเลี้ยงหนังศีรษะ ทำให้เส้นผมมีความหนาและแข็งแรง กระตุ้นการทำงานของเซลล์รากผม กระตุ้นวงชีวิตการเจริญของเส้นผม เช่น ทำให้เส้นผมเข้าสู่ระยะอนาคตจากเทโลเจนเร็วขึ้น ทำให้ระยะอนาคตนานขึ้น กระตุ้นการสร้างไซโตโค การสร้าง growth factors กลไกการกระตุ้นการเจริญของเส้นผม ประกอบด้วยกลไกต่าง ๆ

2.6.1 ยับยั้งเอนไซม์ 5α-reductase II

การยับยั้งเอนไซม์ 5α-reductase II ทำให้ testosterone ไม่สามารถเปลี่ยนเป็น DHT ซึ่ง DHT เป็นแอนโดรเจนที่มีฤทธิ์แรง และเป็นสาเหตุที่ทำให้ผมร่วง สารจากธรรมชาติที่มีฤทธิ์ในการยับยั้งเอนไซม์ 5α-reductase II แสดงดังตารางที่ 2.1 การศึกษากลไกการออกฤทธิ์ของสารสกัดพืชที่มีฤทธิ์ในการยับยั้ง 5α-reductase II เป็นกลไกที่มีประสิทธิภาพสูงสุด เนื่องจากไม่มีแอนโดรเจนไปกระตุ้นให้เกิดผมร่วง

ตารางที่ 2.1 สารสกัดพืชที่มีฤทธิ์ในการยับยั้ง 5 α -reductase II

ชื่อพุษศาสตร์, สารสำคัญ	รูปแบบที่ ใช้	ขนาดที่ใช้	การทดสอบ	ผลการศึกษา	อ้างอิง
<i>Carthamus tinctorius</i> L.	extract	1%w/w	male Sprague-Dawley rats male C56BL/6Mlac mice	สามารถยับยั้ง 5 α -reductase ได้ เท่ากับ 24.30 ± 1.64 mg finasteride/g crude extract	Kumar et al., 2012
<i>Phyllanthus emblica</i> L.	extract	1%w/w		สามารถยับยั้ง 5 α -reductase ได้ เท่ากับ 218.99 ± 0.40 mg finasteride/g crude extract	
<i>Ocimum basilicum</i> L.	extract		male Sprague-Dawley	สามารถยับยั้ง 5 α -reductase ได้ เท่ากับ 217.59 ± 1.00 mg finasteride/g crude extract	Kumar et al., 2011
<i>Oryza sativa</i> L.	extract			สามารถยับยั้ง 5 α -reductase ได้ เท่ากับ 216.72 ± 0.95 mg finasteride/g crude extract	
<i>Ecklonia cava</i> Hassk.	extract	0.5% <i>E. cava</i> enzymatic extract	Male Wistar rats, Female C57BL/6 male Sprague-Dawley rats	Eckol และ dieckol มีฤทธิ์ใน การยับยั้ง 5 α -reductase ขึ้นกับ ขนาดที่ได้รับ	Kang et al., 2012

ตารางที่ 2.1 สารสกัดพืชที่มีฤทธิ์ในการยับยั้ง 5 α -reductase II (ต่อ)

ชื่อพุชศาสตร์, สารสำคัญ	รูปแบบที่ ใช้	ขนาดที่ใช้	การทดสอบ	ผลการศึกษา	อ้างอิง
Epigallocatechin-3-gallate(EGCG) from green tea	pure EGCG	10% EGCG	Human hair follicles	EGCG กระตุ้นการเจริญของ hair growth และยับยั้งการด้ายของ dermal papilla cell	Kwon et al., 2007
<i>Thujae occidentalis</i> L.	extract	1% TOS extract	fuzzy rat B6CBAF1/j hybrid mouse	สารสกัด TOS ยับยั้ง 5 α -reductase type 2 (IC = 2.6 mg/ml) ได้ดีกว่า γ -linolenic acid แต่ต่ำกว่า finasteride ความรุนแรงของผู้ร่วงที่ได้รับการรักษาด้วย TOS และ cyproterone acetate เกิดน้อยกว่าก่อคุณที่ได้รับ	Park et al., 2003
<i>Polygonum multiflorum</i> Thunberg.	extract		male Sprague-Dawley rats	มีฤทธิ์แรงในการยับยั้ง 5 α -reductase	Chul-Ho et al., 2010
<i>Sophora flavescens</i> Ait.	extract	1% <i>S. flavescens</i>	female C57BL/6	ยับยั้ง 5 α -reductase II.	Roh et al., 2002

2.6.2 เพิ่มการสร้าง cytokines และ growth factors

cytokines และ growth factors ทำหน้าที่ในการควบคุมการสร้างรูปร่างเส้นผมและการเจริญของเส้นผม เช่น epidermal growth factor (EGF), transforming growth factor- α (TNF- α), (TNF- β), keratinocyte growth factor (KGF), insulin-like growth factor-I (IGF-I),

interleukin-1 (IL-1), basic fibroblast growth factor (Bfgf), vascular endothelial growth factor (VEGF) และ hepatocyte growth factor (HGF) มีความสำคัญในการกระตุ้นการเจริญของเส้นผม สารจากธรรมชาติที่มีฤทธิ์ในการกระตุ้นการสร้าง cytokines และ growth factors แสดงดังตารางที่ 2.2 การศึกษาโดยการเพิ่มการสร้าง cytokines และ growth factors เป็นวิธีการศึกษาที่น่าสนใจ เนื่องจากสารเหล่านี้อยู่ในร่างกาย และควบคุมการสร้างรูปร่างของเส้นผมและการเจริญของเส้นผม

ตารางที่ 2.2 สารสกัดพิชที่มีฤทธิ์ในการกระตุ้นการสร้าง cytokines และ growth factors

ชื่อพุษศาสตร์ สารสำคัญ	รูปแบบที่ ใช้	ขนาดที่ใช้	การทดสอบ	ผลการศึกษา	อ้างอิง
Capsaicin	Injection	1mg/kg	male C57BL/6 mice	เพิ่มการสร้าง dermal GF-I	Harada et al., 2007
Capsaicin + Isoflavone	Injection	1mg/kg	male C57BL/6 mice	ระดับ IGF-I ในเลือดเพิ่มในอาสาสมัคร 31 คน ภายใน 5 เดือน	
Capsaicin + Isoflavone	Oral	6mg/day+ 75mg/day	Human volunteers with alopecia		
Raspberry ketone	Solution	0.01 % 0.01%	Male C57BL/6 mice BALB/c mouse Human volunteers with alopecia	เพิ่ม dermal IGF-I มีการเจริญของเส้นผม ในอาสาสมัคร 5 คน ภายใน 5 เดือน	Harada et al., 2008
<i>Chamaecyparis obtusa</i>	essential oils	1% solution <i>C. obtusa</i> extract	Male C57BL/6 mice Cell culture	กระตุ้น VEGF mRNA expression, กระตุ้น VEGF	Lee et al., 2010

ตารางที่ 2.2 สารสกัดพืชที่มีฤทธิ์ในการกระตุ้นการสร้าง cytokines และ growth factors (ต่อ)

ชื่อพุษศาสตร์ สารสำคัญ	รูปแบบที่ ใช้	ขนาดที่ใช้	การทดสอบ	ผลการศึกษา	อ้างอิง
<i>Sophora flavescens Ait.</i>	extract	1% <i>S. flavescens</i> extract in 50% ethanol	female C57BL/6	กระตุ้น IGF-1 และ KGF mRNA ใน Dermal papilla cells.	Roh et al., 2002

2.6.3 ออกฤทธิ์ต่อวงชีวิตการเจริญของเส้นผม

วงชีวิตการเจริญของเส้นผม ประกอบด้วย 3 ระยะ คือ อนาเจน เป็นระยะที่มีการเจริญ ของเส้นผม ใช้เวลา 2-6 ปี ระยะคาเอเจน เป็นระยะที่เส้นผมหยุดการเจริญ และระยะเทโลเจนเป็น ระยะพัก การกระตุ้นการเจริญของเส้นผม โดยทำให้ระยะอนาเจนยาวนานขึ้น หรือทำให้ระยะ เทโลเจนเข้าสู่ระยะอนาเจนเร็วขึ้น สารจากธรรมชาติที่มีออกฤทธิ์ต่อวงชีวิตการเจริญของเส้นผม แสดงดังตารางที่ 2.3 การศึกษากลไกการกระตุ้นการเจริญของเส้นผมที่ออกฤทธิ์ต่อวงชีวิตการเจริญ ของเส้นผมมีการศึกษามากที่สุด เพราะการทดสอบส่วนใหญ่ทำในหนู ซึ่งหนูที่ใช้ทดสอบมีเส้นขนสีดำ เส้นขนอยู่ในระยะเทโลเจน ซึ่งง่ายต่อการศึกษาและการติดตาม

ตารางที่ 2.3 สารสกัดพืชที่มีฤทธิ์ต่อวงชีวิตการเจริญของเส้นผม

ชื่อพุษศาสตร์ สารสำคัญ	รูปแบบที่ ใช้	ขนาดที่ใช้	การทดสอบ	ผลการศึกษา	อ้างอิง
<i>Asiasari radix</i>	Solution	1 % solution	female C57BL/6 and C3H mice	กระตุ้นให้เข้าสู่ ระยะอนาเจนเร็ว ขึ้น เพิ่มความเข้ม ^{ของสีและขนาด} ของเส้นผม เพิ่มการนำเข้า cysteine	Roh et al., 2005
<i>Eclipta alba</i> Hassk.	Extract	1.6 mg/15 cm^2 and 3.2 mg/15 cm^2	C57BL/6 mice	เพิ่มความหนาและ การเกิดของ follicles ในชั้น subcutaneous เปลี่ยน follicles	Datta et al., 2009

ตารางที่ 2.3 สารสกัดพืชที่มีฤทธิ์ต่อวงชีวิตการเจริญของเส้นผม (ต่อ)

ชื่อพุษศาสตร์ สารสำคัญ	รูปแบบที่ ใช้	ขนาดที่ใช้	การทดสอบ	ผลการศึกษา	อ้างอิง
				จากระยะเทโลเจน เข้าสู่ร่างกายผ่านทาง 87.5% ในกลุ่มที่ ได้รับการรักษาด้วย สารสกัด <i>E. alba</i> 3.2 mg/15 cm ²	
<i>Fructus panax ginseng</i>	Extract	1 mg/ml FPG extract	Male C57BL/6 mice	กระตุ้นการเจริญ ของ hair follicles กระตุ้นการเจริญ ของเส้นผมจาก ระยะเทโลเจนให้ เข้าสู่ร่างกายผ่าน เร็วขึ้นในหนู C57BL/6	Park et al., 2011

2.6.4 กระตุ้นการเจริญของเซลล์เดอร์มัค แบปปิลลา (dermal papilla cell) และรูขุมขน (hair follicle)

การกระตุ้นการทำงานของ dermal papilla cell จะช่วยกระตุ้นให้เส้นผมเจริญได้
เนื่องจาก dermal papilla เป็นส่วนที่มีเส้นเลือด อาหารมหาล่อเลี้ยง สารจากธรรมชาติที่มีฤทธิ์
กระตุ้นเซลล์ dermal papilla และ hair follicle แสดงดังตารางที่ 2.4 การกระตุ้นการเจริญของ
dermal papilla และ hair follicle



ตารางที่ 2.4 สารสกัดพืชที่มีฤทธิ์กระตุ้น dermal papilla และ hair follicle

ชื่อพุษศาสตร์ สารสำคัญ	รูปแบบที่ ใช้	ขนาดที่ใช้	การทดสอบ	ผลการศึกษา	อ้างอิง
<i>Ecklonia cava</i>	Extract	0.5% <i>E. cava</i> enzymatic extract	Male Wistar rats Female C57BL/6 male spargue-Dawley (SD) rats	สารสกัดของ <i>E. cava</i> enzymatic เพิ่มการเจริญของ dermal papilla cells	Kang et al., 2012
Epigallocatechin-3-gallate (EGCG) from green tea	Pure EGCG	10% EGCG	Human hair follicles	EGCG กระตุ้นการเจริญของ human hair growth และยับยั้งการตายของ dermal papillar cell	Kwon et al., 2007
Medicine plant extracts	lotion of medicinal plants extract	0.0 -1.0 %	68 patients alopecia, 16 Healthy patients	กระตุ้นการทำงานของ hair follicle ที่ไม่ทำงานให้ทำงานดีขึ้น	Eskander et al., 2012
<i>Polygonum multiflorum</i> Thunberg.	Extract	4.7mg/12 cm ²	C57BL/6 mice	เพิ่มจำนวนและขนาดของ hair follicles กระตุ้นการเจริญของเส้นผมจากระยะเกโลเจนให้เข้าสู่ระยะอนาเจนเร็วขึ้นในหนู C57BL/6	Park et al., 2011

ตารางที่ 2.4 สารสกัดพืชที่มีฤทธิ์กระตุ้น dermal papilla และ hair follicle (ต่อ)

ชื่อพุทธศาสตร์ สารสำคัญ	รูปแบบที่ ใช้	ขนาดที่ใช้	การทดสอบ	ผลการศึกษา	อ้างอิง
<i>Hibiscus rosa-sinensis</i> Linn.	Extract	1% petroleum ether extract of leaves and flowers	Female Wistar albino rats	กลุ่มที่ได้รับสาร สกัดจากใบเส้นผม มีความยาวมากกว่า (67%) กลุ่มที่ได้รับสาร สกัดจากดอก (60%)	Adhirajan et al., 2003
<i>Glycyrrhiza glabra</i> L.	Extract	2% petroleum ether root extract of <i>G. glabra</i>	Female Wistar albino rats	กลุ่มที่ได้รับสาร สกัดจากรากของ <i>G. glabra</i> เส้นผม มีความยาวมากกว่ากลุ่มที่ได้รับ minoxidil และกลุ่ม control ระยะเวลาที่เส้นผมเริ่มเจริญและเจริญสมบูรณ์ใช้เวลา 5-13 วัน ส่วนกลุ่มที่ได้รับ minoxidil ใช้เวลา 6-19 วัน กลุ่มที่ได้รับสาร สกัดจากรากของ <i>G. glabra</i> , hair follicles อยู่ในระยะเวลาเจน 76 % และ 66 and 45 % ในกลุ่มที่ได้รับ minoxidil-treated และกลุ่ม control	Upadhyay et al., 2012

ตารางที่ 2.4 สารสกัดพืชที่มีฤทธิ์กระตุ้น dermal papilla และ hair follicle (ต่อ)

ชื่อพุทธศาสตร์สารสำคัญ	รูปแบบที่ใช้	ขนาดที่ใช้	การทดสอบ	ผลการศึกษา	อ้างอิง
				<i>G. glabra</i> , hair follicles อยู่ในระยะอนาเจน 76 % และ 66 and 45 % ในกลุ่มที่ได้รับ minoxidil-treated และกลุ่ม control	
<i>Cuscuta reflexa</i> (Roxb.), <i>Citrullus colocynthis</i> (Schrad.), <i>Eclipta alba</i> (Hassk.)	Extracts	5% (w/w) of all the three proportionate extracts	Wistar strain albino rats	เพิ่มการเจริญของเส้นผมในระยะอนาเจน เพิ่มความยาวของ hair follicle (>0.5mm) ลดเวลาที่เส้นผมเริ่มงอก และเจริญอย่างสมบูรณ์ ทำให้เส้นผมมุ่ม เป็นเงา	Roy et al., 2006
<i>Zizyphus jujube</i>	Essential oil	0.1, 1, 10% <i>Z. jujube</i> essential oil	Female BALB/mice	จำนวนของ hair follicles อยู่ในระยะอนาเจนเมื่อใช้ 1% และ 10%	Yoon et al., 2010

2.6.5 เพิ่มการไหลเวียนเลือดไปเลี้ยงหนังศีรษะ

สารจากธรรมชาติที่มีฤทธิ์กระตุ้นให้เส้นเลือดขยายตัวช่วยเพิ่มการไหลเวียนเลือดไปเลี้ยงหนังศีรษะ ทำให้เส้นผมมีการเจริญ จากการศึกษาของ Semalty et al., (2010) การตั้งตำรับจากสารสกัดที่ได้จากธรรมชาติ เพื่อศึกษาฤทธิ์ในการกระตุ้นการเจริญของเส้นผมในหนู Wistar albino เพศผู้ขนาดที่ใช้คือ 10% ปิโตรเลียมอีเทอร์ พบร่วม ตำรับที่มีส่วนผสมของสารสกัดปิโตรเลียมอีเทอร์ จากลูกชัดใช้เวลา 5 วัน เส้นผมเริ่มงอกและเจริญสมบูรณ์ใช้เวลา 18 วัน และเส้นผมมีความยาวดีที่สุด สารสกัดลูกชัดสามารถกระตุ้นการเจริญของเส้นผมโดยเพิ่มการไหลเวียนเลือดไปเลี้ยงหนังศีรษะ

การศึกษากลไกการเพิ่มการให้เลี้ยงหนังศีรษะ มีการศึกษาน้อย เนื่องจากการศึกษาอาจไม่สะดวกในการติดตามผล

2.7 ทฤษฎีการแก่ (ageing theory)

ภาวะผู้ร่วง จัดได้ว่าเป็นภาวะหนึ่งที่สัมพันธ์กับอายุที่มากขึ้น (Kligman, 1988) ซึ่งเมื่ออายุมากขึ้นทำให้สีของเส้นผมเปลี่ยนแปลง โครงสร้างและคุณสมบัติของเซลล์ต่าง ๆ เปลี่ยน การทำงานของเซลล์ต่าง ๆ ลดลง สาเหตุหนึ่งเกิดจากอนุมูลอิสระ ซึ่งเกิดจากร่างกายมีการสะสม อนุมูลอิสระมากขึ้น จนเกิดเป็นสารหรือโมเลกุลที่มีฤทธิ์ทำลาย อนุมูลอิสระเกิดจากกระบวนการ เมtabolism ของร่างกาย หรือเกิดจากการรับสารจากภายนอก ทำให้เกิดปฏิกิริยา กับไขมันไม่อิ่มตัวภายในเซลล์ ได้แก่ ไมโตคอนเดรีย ไลโซโซม และเยื่อหุ้มนิวเคลียส ทำให้มีการใช้ออกซิเจนมากขึ้น เกิดเป็นอนุมูลอิสระมากขึ้น ก่อให้เกิดการยับยั้งการเกิดปฏิกิริยาต่าง ๆ ส่งผลให้การทำงานของร่างกายลดลง ทำให้เซลล์เสียหาย และทำงานผิดปกติ ดังนั้น ในปัจจุบันจึงมีการนำสารที่มีฤทธิ์ต้านอนุมูลอิสระมาใช้ โดยเฉพาะสารที่มาจากธรรมชาติ เพื่อป้องกันไม่ให้เซลล์ต่าง ๆ ของร่างกายถูกทำลาย ไม่เกิดโรคต่างๆ และที่สำคัญช่วยลดความแก่ และพิกัดตรีผล เป็นตัวรับอายุวัฒน์ที่ใช้ในทางการแพทย์ อายุรเวทนานา ประกอบด้วยวิตามินซี สารประกอบฟื้นอลิก เช่น gallic acid และ ellagic acid สารเหล่านี้มีฤทธิ์ในการต้านอนุมูลอิสระ ป้องกันการเกิดมะเร็ง ทำให้อายุยืนยาว ทำให้สุขภาพร่างกายแข็งแรง ชลอความแก่ อวัยวะและเซลล์ต่าง ๆ ไม่เสื่อมโทรม เซลล์ของเส้นผมไม่ถูกทำลาย และยังช่วยเพิ่มการให้เลี้ยงหนังศีรษะ ป้องกันผมร่วง และกระตุ้นการเจริญของเส้นผม

2.8 การศึกษาการกระตุ้นการเจริญของเส้นผม

การศึกษาการทดสอบการกระตุ้นการเจริญของเส้นผม ทำการศึกษาโดยเซลล์เพาะเลี้ยง (tissue culture) (Harada et al., 2007; Harada et al., 2008; Lee et al., 2010; Roh et al., 2002) การศึกษาในหลอดทดลอง (*in vitro* study) (Kumar et al., 2011) การศึกษาในสัตว์ทดลอง (*in vivo* study) (Rho et al., 2005; Park et al., 2011; Soojin et al., 2011; Kang et al., 2012) และการศึกษาในอาสาสมัคร (human volunteers) (Neste et al., 2000) ในการทดสอบการกระตุ้นการเจริญของเส้นผมในสัตว์ทดลอง มีการใช้สัตว์ทดลองหลายชนิด ได้แก่ หนูถึบจักร หนูตะเภา หนูแมมสเตอร์ แกะ ลิง แต่ที่นิยมคือ ทดสอบในหนูถึบจักร โดยสายพันธุ์ที่นิยมใช้ทดสอบ ได้แก่ หนูถึบจักรเพศผู้หรือเพศเมีย สายพันธุ์ C57BL/6, C56BL/6Mlac เพศเมีย C3H เพศเมีย BALB/c, Albino หนูตะเภา สายพันธุ์ที่นิยมคือ Wistar albino เพศเมีย และหนู Sprague Dawley เพศผู้ ประเมินผลโดยใช้ การถ่ายภาพการมองของเส้นขน การวัดความยาวของเส้นขน การวัดน้ำหนัก

ของเส้นขน ช่วงเวลาที่เส้นผมเริ่มงอกและออกจนสมบูรณ์ การวัดขนาดของต่อมไขมัน ความสามารถในการยับยั้งเอนไซม์ 5α-reductase ความสามารถในการยับยั้ง dihydrotestosterone receptor ขนาดของ hair follicle จากการส่องกล้องจุลทรรศน์ ส่วนการศึกษาที่เป็น *in vitro* ทำการศึกษาฤทธิ์ในการยับยั้งการทำงานของเอนไซม์ 5α-reductase II พบร่วม สารสกัดสมอไทย สารสกัดสมอพีเก็ก (Kumar et al., 2011) และสารสกัดมะขามป้อม (Kumar et al., 2012) เทียบเท่ากับ 12.74 ± 0.84 , 11.58 ± 0.84 และ 18.99 ± 0.40 mg finasteride/g crude extract ตามลำดับ

2.9 สมุนไพรที่ใช้ในการรักษาผมร่วง

จากคำราายาอายุรเวทของอินเดีย และการใช้สมุนไพรของจีน มีสมุนไพรหลายชนิดที่มีการรายงานและมีหลักฐานแสดงถึงฤทธิ์ในการกระตุ้นการเจริญของเส้นผม ผลิตภัณฑ์จากธรรมชาติหลายชนิดมีรายงานถึงประสิทธิภาพในการกระตุ้นการเจริญของเส้นผมได้มากกว่ายาที่ได้จากการสังเคราะห์ และมีการทดสอบฤทธิ์ทางคลินิกของสารสำคัญที่ได้จากการกระตุ้นการเจริญของเส้นผม ผลิตภัณฑ์ที่มีฤทธิ์ทางคลินิกของสารสำคัญที่ได้จากการกระตุ้นการเจริญของเส้นผมได้แก่ finasteride และ minoxidil ทำให้เกิดอาการข้างเคียงจากการใช้ยา และต้องใช้ยาอย่างต่อเนื่อง ทำให้เกิดความไม่สะดวก และไม่ปลอดภัย ดังนั้นการนำสมุนไพรมาใช้ในการป้องกันผมร่วงและกระตุ้นการเจริญของเส้นผมจึงได้รับความนิยมมากขึ้น มีความปลอดภัยมากกว่า ราคาไม่แพง อาการข้างเคียงน้อย หาได้ยาก สมุนไพรที่นำมาใช้ในการป้องกันผมร่วงและกระตุ้นการเจริญของเส้นผมมีด้วยกันหลายชนิด และกลไกการทำงานแตกต่างกัน ดังแสดงในตารางที่ 2.5 ดังนี้

ตารางที่ 2.5 กลไกการกระตุ้นการเจริญของเส้นผม

กลไกการกระตุ้นการเจริญของเส้นผม	ชื่อพุษศาสตร์ / สารสำคัญ	อ้างอิง
ยับยั้งเอนไซม์ 5α - reductase II	<i>Polygonum multiflorum</i> green tea <i>Carthamus tinctorius L.</i> <i>Ocimum basilicum L.</i> <i>Thujae occidentalis semen</i>	Chul-Ho et al., 2010 Kwon et al., 2007 Kumar et al., 2012 Kumar et al., 2011 Park et al., 2003
สารต้านอนุมูลอิสระ	Polyphenol	Kwon et al., 2007
เพิ่มการไหลเวียนเลือดที่หนังศีรษะ	<i>Hibiscus rosa-sinensis</i>	Adhirajan et al., 2012

ตารางที่ 2.5 กลไกการกระตุ้นการเจริญของเส้นผม (ต่อ)

กลไกการกระตุ้นการเจริญของเส้นผม	ชื่อพุษศาสตร์ / สารสำคัญ	อ้างอิง
กระตุ้นการเจริญของรากผม dermal papilla cells	Cysteine	Rho et al., 2005
	<i>Fructus panax ginseng</i>	Park et al., 2011
	<i>Polygonum multiflorum</i>	Soojin et al., 2011
	<i>Ecklonia cava</i>	Kang et al., 2012
กระตุ้นการสร้าง cytokines, growth factors	capsaicin, Isoflavones	Harada et al., 2007
	Raspberry ketone	Harada et al., 2008
	<i>Chamaecyparis obtuse</i>	Lee et al., 2010
	<i>Sophora flavescens</i>	Roh et al., 2002

2.10 สารสกัดพืชที่ใช้ในการศึกษา

2.10.1 สมอไทย มีชื่อวิทยาศาสตร์ว่า *Terminalia chebula* Retz. วงศ์ Combretaceae จัดเป็นไม้ยืนต้นขนาดกลางถึงใหญ่ ใบเดี่ยว สีเขียวคลม ปลายใบหนา ดอกเป็นช่อ มีผลลักษณะเป็นเหลี่ยม ออกเป็นพวง ภายในมีเมล็ดรูปรี มีขนาดใหญ่ ผลสมอไทยมีการนำมาใช้ทาง การแพทย์แผนไทยดังนี้ ผลอ่อนมีรสเปรี้ยว มีฤทธิ์เป็นยาระบาย ช่วยขับเสมหะและแก้ไข้ ผลแก่ มีฤทธิ์เป็นยาfade สามารถใช้อมกลิ้งคอดแก้เจ็บคอ ผลสมอไทยมีสาร gallic acid ในปริมาณสูง จึงนิยมใช้ สารนี้เป็นสารเครื่องหมายในการควบคุมมาตรฐานสารสกัด (Ponnusakar et al., 2011)

2.10.2 สมอพิกา มีชื่อวิทยาศาสตร์ว่า *Terminalia bellirica* (Gaertn.) Roxb. วงศ์ Combretaceae เป็นไม้ยืนต้นสูง 15-30 เมตร เป็นไม้ผลัดใบ ใบเดี่ยว เรียงสลับ ใบเป็นรูปวงรีกว้าง ถึงเกือบคลมแגםไข่ โคนใบกลมกว้าง ปลายใบกลมถึงเว้าตื้น ดอกออกที่ซอกใบ ผลเป็นรูปทรงสวยงาม มีสันเหลี่ยม ผลแก่มีรสเปรี้ยว ฝาดหวาน เป็นยาระบาย บำรุงธาตุ แก้โรคเกี่ยวกับตา แก้ไข้ แก้ริดสีดวงทวารหนัก แก้ท้องร่วง และแก้เสมหะติดลำคอ สารเคมีที่พบในสมอพิกาได้แก่ gallic acid และ gallate เช่น methyl gallate, 1,6-di-o-galloyl- β -D-glucose, 3,4,6-tri-o-galloyl- β -D-glucose, 1,3,4,6-tetra-o-galloyl- β -D-glucose สารกลุ่ม chebulic acid และ chebulic ellagitannins เช่น chebulic acid และสารกลุ่ม ellagic acid และอนุพันธุ์ (Pfundstein et al., 2010)

2.10.3 มะขามป้อม มีชื่อวิทยาศาสตร์ว่า *Phyllanthus emblica* L. 属 Euphorbiaceae เป็นไม้ยืนต้น สูง 10-12 เมตร เปลือกต้นสีเทาอมน้ำตาล แตกเป็นร่องตามยาว กิ่งก้านแข็ง เหนียว ในเป็นใบเดี่ยวออกเรียงสลับในรูปแบบเดียว กัน รูปขอบขนาน ปลายใบเป็นติ่งแหลม โคนใบมนหรือเว้า เข้า ขอบใบเรียบ แผ่นใบเรียบ สีเขียว ดอกออกเป็นช่อ ดอกสีเหลืองอ่อนออกเขียว กลีบดอกมี 5-6 กลีบ

มะขามป้อมมีคุณสมบัติต้านไวรัส (Ryu et al., 2010) ต้านแบคทีเรีย (Matito et al., 2003) ยับยั้งปฏิกิริยาออกซิเดชัน (Poltanov et al., 2009) ใช้ทาฝีและจุดด่างดำ (Jayaweera, 1980) ลดการแดงของผิวนานั้นที่เกิดจากแสงแดดโดยการลดอนุมูลอิสระ และจับกับโลหะเหล็กและทองแดงได้ดี (Chaudhuri et al., 2003) ใช้เป็นยาшибายบรรเทาอาการท้องผูก (Thakur et al., 1989) บรรเทาอาการปวดฟัน ช่วยควบคุมระดับน้ำตาลในเลือดโดยได้จากใบและเมล็ด (Sabu and Kuttan, 2002) บรรเทาอาการท้องเสีย โดยผสมเกลือและน้ำ ช่วยขับปัสสาวะ แก้ไข้และบรรเทาอาการปวดศีรษะ ช่วยบำรุงเส้นผม (Stuart, 1911) ต้านการอักเสบ (Sultana et al., 2004) ลดการคลื่นไส้และอาเจียน (Treadway, 1994) ช่วยให้เลือดกำเดาหยุดไหล บรรเทาอาการคัน รักษาโรคเลือดออกตามไรฟัน ใช้น้ำมันหอมระเหยจากใบเป็นน้ำหอม และทำให้ผิวขาวหรือลดจุดด่างดำที่เพิ่มขึ้นตามอายุ (Chaudhuri et al., 2004)

ผลมะขามป้อม เป็นหนึ่งในสมุนไพรที่นิยมใช้เพื่อชะลอความแก่ (rejuvenation herb) ในการแพทย์ไทยได้นำผลมะขามป้อมมาใช้เพื่อบำรุงหัวใจ ขับปัสสาวะ ช่วยระบบย่อยอาหาร อาการปวดท้อง แก้ไข้ บำรุงและกระตุ้นการอกรออกของเส้นผม ผลของมะขามป้อมมีสารประกอบพื้นอิสิกปริมาณสูง ได้แก่ สารกลุ่ม hydrolysable tannins เช่น emblicanin A, emblicanin B, punigluconin, pednuculagin (Ghosal et al., 1996) สารกลุ่ม flavonoids (kaempferol-3-o-alpha-L-(6"methyl) rhamnoside, kaempferol-3-o-alpha-L-(6"ethyl) rhamnoside), alkaloids (phyllantidine และ phyllantine), gallic acid, ellagic acid, 1-o-galloyl-beta-D-glucose, 3,6-di-o-galloyl-D-glucose, chebulinic acid, quercetin, chebulagic acid, corilagin และ isostrictinin (Zhang et al., 2003) โดยสารที่พบในปริมาณสูง คือ gallic acid และ ellagic acid (Krishnaveni and Mirunalini, 2011)

2.10.4 ตรีผล (Triphala) เป็นพิกัดยาอินเดียที่ประกอบด้วย การนำผลของพืช 3 ชนิดที่มีสรรพคุณเหมือนกันมาปรุงเป็นเครื่องยา ได้แก่ ผลสมอไทย ผลสมอพิภาค และผลมะขามป้อม ในอัตราส่วน 1:1:1 โดยน้ำหนัก เป็นสูตรสำหรับอายุวัฒน์ที่ใช้ทางอายุรเวชอินเดีย กระตุ้นการทำงานของร่างกาย ระบบภูมิคุ้มกัน (Jagetia et al., 2002) มีรายงานการศึกษาว่า สำหรับตรีผลเป็นแหล่งของ vitamin C, ellagic acid, gallic acid, chebulinic acid, bellericanin, β -sitosterol และ flavonoids (Jagetia et al., 2002) ตรีผลามีฤทธิ์ต้านอนุมูลอิสระ (Takagi and Sanasshiro.,

1996) ต้านการเกิดภูมิคุ้มกันบกพร่อง (El-Mekkawey and Merelhy, 1995) บรรเทาอาการผิดปกติของระบบย่อยอาหาร ช่วยลดอาการท้องผูกเรื้อรัง (Mukherjee et al., 2008) ลดระดับน้ำตาลในเลือด (Sabu and Kuttan, 2002) มีผลต่อหัวใจและหลอดเลือด ควบคุมความดันโลหิต ควบคุมคอเลสเตอรอล (Mukherjee et al., 2006) ลดอาการปวดศีรษะ และปรับสภาพผิวพรรณ ต้านการแก่ (Nadkarni AK, 1976) (Rastogi and Mehrotra, 1993) นอกจากนี้ในตำราแพทย์แผนไทยและตำรับอายุรเวทของอินเดียยังมีการนำพิกัดยานี้สำหรับใช้ปรับปรุงเส้นผนวกและกระตุ้นการออกของเส้นผน จากการค้นคว้าพบว่า ยังไม่พบรายงานการใช้สารสกัดตรีผลลูกที่กักเก็บในนีโอโซม

2.11 ฤทธิ์ทางชีวภาพของพิกัดตรีผลลูกสำหรับส่งเสริมการเจริญของเส้นผน

การคุ้ยแลดูเส้นผนของสตรีตามภูมิปัญญาไทยในอดีตที่ผ่านมา มีหลายวิธี หนึ่งในวิธีดังกล่าวคือ การใช้สมุนไพรในพิกัดตรีผลลูกซึ่งถือปฏิบัติกันมาว่า ให้นำผลสมอไทยและมะขามป้อมมาล้างด้วยน้ำให้สะอาด จากนั้นแบ่งมาโดยใช้สัดส่วนที่เท่ากันแล้วนำมาหยอดในน้ำมันมะพร้าว 2 ส่วน จนเหลืองกรอบแล้วตั้งไว้ให้เย็นจึงนำมากรองผ่านผ้าขาวบางแล้วเก็บในภาชนะที่แห้ง เมื่อจะใช้จะแบ่งมาหมักผสมทึบไว้ 10 -15 นาที ก่อนสะผัดจะทำให้ผนนุ่ม滑溜 มีน้ำหนักเพิ่มขึ้นและน้ำส้มผัก ส่วนการแพทย์อายุรเวทจะนำสมุนไพรพิกัดตรีผลลามาบดเป็นผงแล้วเติมน้ำอุ่นลงไปให้มีลักษณะกึ่งแข็งกึ่งเหลวแล้วทาลงหนังศีรษะโดยตรง ปล่อยทิ้งไว้สักพักแล้วล้างออก นอกจากนี้แล้วพิกัดตรีผลลูกยังมีคุณสมบัติเป็นสารชะล้างได้ด้วยโดยเฉพาะอย่างยิ่งบริเวณหนังศีรษะและเส้นผนที่มีความมันมากกว่าปกติ

จากการศึกษา Kumar et al., (2011 และ 2012) ได้มีการคัดกรองสมุนไพรที่มีศักยภาพในการนำมาพัฒนาเป็นผลิตภัณฑ์ส่งเสริมการเจริญของเส้นผน พบว่า สมุนไพรที่เป็นส่วนประกอบในพิกัดตรีผลลูกเมื่อนำมาสกัดด้วยเอทานอล 95% ซึ่งเป็นสารสกัดที่สามารถใช้ในเครื่องสำอางได้ มีประสิทธิภาพในการยับยั้งเอนไซม์ 5 α -reductase ได้ดีมาก โดยค่าดังกล่าวเทียบสมมูลกับฤทธิ์ของยา finasteride ซึ่งใช้เป็นยามาตรฐานในการรักษาภาวะผู้ชายในเพศชายที่มีกำเนิดไข่ในปัจจุบันดังนี้ สารสกัดสมอไทยเทียบเท่ากับ 12.74 ± 0.84 mg finasteride/g crude extract สารสกัดสมอพิเกตเทียบเท่ากับ 11.58 ± 0.84 mg finasteride/g crude extract และสารสกัดมะขามป้อมเทียบเท่ากับ 18.99 ± 0.40 mg finasteride/g crude extract ซึ่งผลดังกล่าวแสดงคล้องและยืนยันว่าการใช้สมุนไพรในทางการแพทย์แผนไทยสามารถยับยั้งการหลุดร่วงของเส้นผนได้ ดังนั้น การใช้สารสกัดที่มีอยู่ในตำรับพิกัดตรีผลลูกซึ่งมีความเป็นไปได้สูงมากที่จะนำมาพัฒนาเป็นเครื่องสำอางเพื่อลดการหลุดร่วงและกระตุ้นการเจริญของเส้นผน และเพิ่มทางเลือกสำหรับผู้บริโภคต่อไป

นอกจากนี้แล้วสารสกัดตรีผลลูกยังมีคุณสมบัติอื่น ๆ ที่ใช้บำรุงเส้นผนและหนังศีรษะได้ เช่น ฤทธิ์การต้านอนุมูลอิสระ ฤทธิ์ยับยั้งแบคทีเรียก่อโรคบางชนิด เช่น *Staphylococcus aureus* และ *Pseudomonas aeruginosa* (Ahmad et al., 1998) และฤทธิ์ช่วยในการสมานแผล (Kumar et al.,

2008) โดยมีการทดลองเตรียมขี้ผึ้งที่ผสมสารสกัดตรีผลา 10% พบร่วงเพิ่มอัตราการปิดของแผล เพิ่มปริมาณการสังเคราะห์เส้นใยคอลลาเจนและลดการแสดงออกของเอนไซม์ metalloproteinase ในสัตว์ทดลองได้อย่างมีนัยสำคัญทางสถิติ ($p<0.05$) (Kumar et al., 2008)

2.12 การนำส่งผ่านทางรูขุมขน และปัจจัยที่มีผลต่อการนำส่งสารผ่านทางรูขุมขน

ในการพัฒนาผลิตภัณฑ์ที่ส่งเสริมการเจริญของเส้นผม สามารถทำได้โดยการนำส่งผ่านทางรูขุมขน ต้องคำนึงถึงปัจจัยต่าง ๆ ที่มีผลต่อการซึมผ่านทางรูขุมขน ดังนี้

2.12.1 คุณสมบัติและสภาพของรูขุมขน

2.12.1.1 ชนิดของเส้นผม พบร่วง เส้นผ่าศูนย์กลางของเส้นผมจะมีผลต่อการส่งผ่านของสารที่มีขนาดประมาณ $10-70 \mu\text{m}$ หากเส้นผ่าศูนย์กลางมีขนาดใหญ่จะสามารถเพิ่มการนำส่งสารได้ดี นอกจากนี้ยังพบว่า ชนิดเส้นผมที่เป็น terminal hair มีอัตราการซึมผ่านของสารมากกว่า vellus hair (Toll et al., 2004)

2.12.1.2 วงจรชีวิตของเส้นผมมีผลต่อการซึมผ่านของสาร พบร่วง ระยะการเจริญของเส้นผมที่เหมาะสมในการนำส่ง DNA ไปสู่รูขุมขน คือระยะ anagen (Domashenko et al., 2000)

2.12.1.3 รูเปิดของรูขุมขน มี 2 ชนิด คือ รูขุมขนแบบเปิดและแบบปิด โดยรูขุมขนแบบปิดสารจะไม่สามารถซึมผ่านได้ต้องมีการเปิดรูของรูขุมขนก่อน อาจใช้การเปิดรูขุมขน (stripping technique) (Ladmann et al., 2001)

2.12.2 สมบัติของสาร

2.12.2.1 ขนาดอนุภาค อนุภาคของสารหรือยาต้องมีขนาดเหมาะสม หากมีขนาดที่ใหญ่เกินไปจะค้างอยู่บนผิวนัง หากมีขนาดเล็กเกินไปจะแทรกผ่านชั้นสตรารัตัมคอร์เนียมลงไปยังชั้นผิวนังที่ลึกกว่า ขนาดของอนุภาคที่เหมาะสมเท่านั้นที่จะอยู่ในบริเวณ hair follicles โดยพบร่วงขนาด 320 nm สามารถซึมผ่านเข้าสู่ hair follicular ได้ (Lademann et al., 2007)

2.12.2.2 ประจุของอนุภาค (Jung et al., 2006) ได้ศึกษาการนำส่งลิโพโซมที่มีประจุผ่านทางรูขุมขน พบร่วง ลิโพโซมที่มีประจุบวก (cationic liposome) หรือมีทั้งประจุบวกและประจุลบ (amphoteric liposome) สามารถซึมผ่านลงไปในรูขุมขนได้กว่าลิโพโซมที่มีประจุลบ (anionic liposome)

2.12.2.3 ความสามารถการละลายในไขมันและน้ำของสาร (Ogiso et al., 2002) ได้ศึกษาเปรียบเทียบการซึมผ่านของยาที่ละลายในน้ำและที่ละลายในไขมัน พบร่วง ยาที่ละลายในน้ำสามารถซึมผ่านเข้าไปในรูขุมขนโดยผ่านทาง outer root sheath เพื่อลงไปยังชั้นหนังแท้ (dermis) โดยระยะเวลาในการซึมผ่านของยาที่ละลายในน้ำจะเกิดขึ้นอย่างช้า ๆ เมื่อเทียบกับยาที่ละลายใน

ไขมันซึ่งชีมผ่านทาง lipoidal pathway ซึ่งเป็นเส้นทางที่ขับไขมันออกจากต่อมไขมัน ดังนั้นยาที่คลายไขมันจะชีมผ่านทั้ง inner และ outer root sheath

การนำน้ำ/oil มาช่วยในการนำส่งสารสกัดจะช่วยให้สารสกัดสามารถชีมผ่านชั้นผิวนังได้ดีขึ้น เนื่องจากส่วนประกอบของน้ำ/oil มีทั้งส่วนที่ชอบน้ำและชอบไขมัน อนุภาคมีประจุ และอนุภาคมีขนาดเล็ก

2.13 ข้อจำกัดของการใช้สารสกัดจากธรรมชาติ และการใช้ในรูปแบบน้ำ/oil

การใช้สารสกัดที่ได้จากการลอกเปลือกต้นไม้ หรือสารสกัดที่ได้จากการบดต้มตุ๋น ทำให้เกิดความไม่สะอาด มีปัญหาเรื่องการซึมผ่านผิวนัง เนื่องจากสารสกัดสามารถคลายน้ำได้ทำให้การซึมผ่านผิวนังได้น้อย และผิวนังมีโครงสร้างเป็น lipid bilayer สารที่สามารถซึมผ่านผิวนังได้ดีจะต้องมีทั้งส่วนที่ชอบน้ำและชอบไขมัน สารสกัดมีปริมาณจำกัดทำให้การนำส่งไม่ถึงเป้าหมายที่ต้องการ และสารสกัดที่ได้ไม่คงตัวเมื่อสัมผัสน้ำแข็ง ซึ่งระบบการนำส่งสารผ่านผิวนังมีหลายระบบด้วยกัน ได้แก่ liposomes, neosomes, phytosomes, nanoemulsion/microemulsion, nanostructured lipid carriers และ solid lipid nanoparticle การศึกษานี้เลือกใช้น้ำ/oil เพื่อนำส่งสารสกัดไปยังเป้าหมาย ซึ่งมีข้อดี ดังนี้ น้ำ/oil เหมาะสมสำหรับการนำมาใช้ในทางเครื่องสำอาง และใช้ในการนำส่งสารสกัดที่ได้จากการลอกเปลือกต้นไม้ สามารถนำส่งสารสกัดทั้งที่สามารถคลายน้ำและละลายในไขมัน เพิ่มความคงตัวของสารสกัด เพิ่มการซึมผ่านผิวนัง สามารถกักเก็บสารที่มีค่าการละลายแตกต่างกันได้ เพิ่มชีวประสีทิธิผลของยา ระดับยาอยู่ในกระแสเลือดนานขึ้น สารลดแรงตึงผิวที่ใช้ในการเตรียมน้ำ/oil สามารถเข้ากับสารในร่างกาย ถ่ายตัวได้ และไม่ก่อให้เกิดการแพ้ สามารถควบคุมคุณสมบัติต่าง ๆ เช่น ขนาดของอนุภาค จำนวนชั้น ประจุที่ผิวของอนุภาค ปริมาตรของอนุภาค และความเข้มข้นของยาได้ มีการควบคุมการปลดปล่อยสาร

2.14 ระบบนำส่งน้ำ/oil

ระบบนำส่งน้ำ/oil เป็นระบบนำส่งที่เหมาะสมในการนำมาใช้ในทางเครื่องสำอาง และนำส่งสารสกัดที่ได้จากการลอกเปลือกต้นไม้ และทำให้สารสกัดมีความคงตัว

2.14.1 นีโอโซม (niosomes)

นีโอโซม (niosomes หรือ non-ionic surfactant vesicle) มีลักษณะเป็นถุงกลมขนาดเล็กคล้ายกระเพาะ เก็บกักสารต่างๆ ไว้ภายใน เรียกอนุภาคนีโอโซมว่า เวสซิเคิล (vesicle) มีลักษณะโครงสร้างของผนังเซลล์เป็นผนังสองชั้น (bilayer membrane) ซึ่งเกิดจากการจัดเรียงตัวได้เอง (self assembly) ของโมเลกุลของสารที่มีคุณสมบัติมีข้าว ไม่มีข้าวอญูในโมเลกุลเดียวกัน (amphiphile) เกิดการจัดเรียงตัวโดยนำส่วนที่มีข้าวเข้าหากัน การซ้อนกันเป็นผนังสองชั้นนี้อาจเกิดได้

มากกว่าหนึ่งชั้น จัดอยู่ในรูปแบบ lipid-based formulation ชนิดหนึ่ง เช่นเดียวกับลิโพโซม นีโอโซม สามารถกักเก็บสารได้ทั้งที่มีข้าวและไม่มีข้าว สารที่มีคุณสมบัติมีข้าว (polar substance) จะถูกกักเก็บในบริเวณส่วนที่มีข้าว (polar head group) ส่วนสารที่มีคุณสมบัติไม่มีข้าว (non-polar substance) จะถูกกักเก็บไว้บนบริเวณส่วนไม่มีข้าว (lipid bilayer)

2.14.2 องค์ประกอบของนีโอโซม

2.14.2.1 สารลดแรงตึงผิวนิดไม่มีประจุ (non-ionic surfactant) นีโอโซม เกิดจากการจัดเรียงตัวของสารลดแรงตึงผิวนิดไม่มีประจุ ตัวอย่างสารลดแรงตึงผิวนิดไม่มีประจุที่นิยมใช้ ได้แก่ glucosyl dialkyl ethers, crown ethers, Ester linked surfactant, polyoxyethylenealkyl ethers (เช่น Tween[®]) และ sorbitan esters (เช่น Span[®]) เป็นต้น สารลดแรงตึงผิวเหล่านี้สามารถจัดเรียงตัวรวมกันได้เอง มีลักษณะทรงกลม จัดเรียงตัวเป็นชั้นเดียวหรือหลายชั้นก็ได้

2.14.2.2 สารเพิ่มความแข็งแรงของผนังนีโอโซม ที่ผิวของอนุภาคหรือผนังอนุภาคจะมีการเสริมความแข็งแรงโดยการใช้คอลเลสเตอรอล และสารประเภท “poly (oxyethylene) cholestryl ether” ซึ่งมีชื่อทางการค้าว่า “Solulan C24[®]” เป็นต้น มีรายงานพบว่า นีโอโซมที่มีองค์ประกอบของ Solulan C24[®] ซึ่งเป็นสารที่มีส่วนที่ขอบน้ำขนาดใหญ่ จะสามารถอยู่ในกระแสเลือดได้นานและเพิ่มการสะสมของยาหรือนำส่งยาเข้าสู่เซลล์มะเร็งได้ดีขึ้น (Uchegbu et al., 1995) คอลเลสเตอรอลมีผลยับยั้งการเปลี่ยนสถานะของผนังอนุภาคเนื่องจากหากอุณหภูมิสูง ผนังอนุภาคนีโอโซมจะอยู่ในลักษณะผลึกเหลว (liquid crystal) มากกว่าสถานะเจล ดังนั้นการใช้สารในกลุ่มคอลเลสเตอรอลทำให้ผนังอนุภาคยังคงอยู่ในสถานะเจลที่มีการลื่นไหลได้ (Cable, 1989)

2.14.2.3 สารเพิ่มความคงตัว องค์ประกอบที่สำคัญของนีโอโซมประกอบด้วยสารลดแรงตึงผิวนิดไม่มีประจุ และสารเพิ่มความแข็งแรงในผนังนีโอโซมเป็นหลัก อย่างไรก็ตามยังอาจมีสารที่ทำให้เกิดประจุของอนุภาคได้ เพื่อให้ผิวอนุภาคเกิดมีแรงผลักกันทางประจุไฟฟ้าเพื่อเพิ่มความคงตัวให้กับอนุภาค (electrostatic stabilization) เช่น dicetyl phosphate และ phosphatidic acid ที่มีประจุลบ และ stearylamine และ stearyl pyridinium chloride ที่มีประจุเป็นบวก เป็นต้น โดยทั่วไปนิยมสารเพิ่มประจุความเข้มข้น 2.5-5% (w/w) หากใช้ในปริมาณมากเกินไปอาจจะไปยับยั้งการเกิดนีโอโซมได้ นอกจากนี้ยังมีสารเพิ่มความคงตัวที่เป็นสารพอลิเมอร์ชีลีอบที่ผิวเพื่อทำให้ผนังของอนุภาคนีโอโซมไม่รวมตัวกัน (steric stabilization) โดยพบว่าพอลิเมอร์ชนิดที่มีหมู่ poly (oxyethylene) สามารถป้องกันการเกาะกลุ่มของอนุภาคได้ ทำให้ระบบมีความคงตัวมากขึ้น (Beugin-Deroo et al, 1998)

2.14.3 การเตรียมนีโอโซม

การเตรียมนีโอโซมมีหลายวิธี โดยทั่วไปแล้วกระบวนการเตรียมนีโอโซนมักใช้พลังงาน

มาเกี่ยวข้อง เช่น ความร้อนและแรงเขย่า เป็นต้น วิธีการเตรียมมีผลต่อลักษณะของนีโอโซม โดยนีโอโซมอาจมีลักษณะเป็นถุงอนุภาคชั้นเดียวหรือหลายชั้นก็ได้ ซึ่งนีโอโซมอาจมีขนาดเล็กได้ถึงระดับนาโนเมตร นอกจากวิธีการเตรียมมีผลต่อจำนวนชั้นของอนุภาค ยังมีผลต่อขนาด การกระจายตัวของขนาดอนุภาค ประสิทธิภาพในการกักเก็บยา และความสามารถในการซึมผ่านเมมเบรนของอนุภาค วิธีการเตรียมนีโอโซมมีหลายวิธี ดังนี้ 1) การเตรียมนีโอโซมโดยการฉีดสารละลายอีเธอร์ (ether injection method) 2) การเตรียมนีโอโซมโดยทำให้เกิดฟิล์มและเขย่าด้วยมือ (hand-shaking method) 3) การเตรียมนีโอโซมโดยการใช้คลื่นเสียง (Sonication method) 4) การเตรียมนีโอโซมโดยการใช้เครื่องไมโครฟลูอิดไดเซอร์ (microfluidizer) 5) การเตรียมนีโอโซมโดยการใช้แรงดันผ่านแผ่นกรองที่มีรูพรุนขนาดเล็ก (multiple membrane extrusion method) 6) การเตรียมนีโอโซมโดยวิธีการกลับภูมิภาค (reverse phase evaporation technique: REV) 7) การเตรียมนีโอโซมโดยกักเก็บยาจากความแตกต่างของสภาพความเป็นกรดด่าง 8) การเตรียมนีโอโซมโดย “The Bubble Method” 9) การเตรียมนีโอโซมจากโปรนีโอโซม (proniosomes) การศึกษานี้ใช้วิธีการเตรียมนีโอโซมแบบ ethanol injection ดัดแปลงมาจากวิธี ether injection เนื่องจากเป็นวิธีการเตรียมที่ง่าย ไม่ยุ่งยาก ใช้เวลาไม่น้อยในการเตรียม เครื่องมือที่ใช้ไม่ซับซ้อน ซึ่งสามารถถ่ายทอดให้กับผู้ประกอบการได้ง่าย

2.15 ปัจจัยที่มีผลต่อการตั้งตัวรับนีโอโซม

2.15.1 ตัวยาสำคัญ

การกักเก็บตัวยาสำคัญในอนุภาคนีโอโซมจะทำให้ขนาดอนุภาคใหญ่ขึ้น ซึ่งอาจเกิดจากการจับกันของตัวยากับส่วนหัวของสารลดแรงตึงผิว การเพิ่มประจุและแรงผลักกันภายในชั้นของสารลดแรงตึงผิว นอกจากนี้ ความชอบน้ำหรือไขมันของตัวยาสำคัญยังมีผลต่อการกักเก็บยาภายในอนุภาคนีโอโซมด้วย

2.15.2 ปริมาณและชนิดของสารลดแรงตึงผิว

การเลือกชนิดสารลดแรงตึงผิวจะคำนึงถึงในเรื่องความปลอดภัยและความคงตัวของระบบ พบว่าสารลดแรงตึงผิวนิด ether type surfactants ที่มีหนึ่งสายโซ่ไฮโดรคาร์บอน (alkyl ether chain) จะมีความเป็นพิษมากกว่าชนิดที่มีสองสายโซ่ไฮโดรคาร์บอน (dialkyl ether chain) และพบว่าสารลดแรงตึงผิวนิด ester type surfactant (เช่น Span[®]) จะมีความคงตัวทางเคมีและความเป็นพิษน้อยกว่าชนิด ether type surfactants เนื่องจากหมู่อ่อนเหลวของสารลดแรงตึงผิวนิด ester type surfactant จะสามารถถลายน้ำได้โดยเนื่องจากมีอ่อนเหลวเรสเกิดเป็นไตรกลีเซอไรด์และกรดไขมันภายในร่างกาย (Hunter et al., 1988) Span[®] ที่มีค่าความชอบน้ำ ต่อไขมัน (Hydrophilic - lipophilic Balance; HLB) ระหว่าง 4-8 สามารถเกิดเป็นถุงอนุภาคได้

(Yoshioka et al., 1994) แต่สารลดแรงตึงผิวที่มีค่า HLB ระหว่าง 14-17 ไม่เหมาะสมที่จะนำมาใช้ในการเตรียมนีโอโโซม ค่าเฉลี่ยของขนาดอนุภาคนีโอโโซมจะเพิ่มขึ้นตามความชอบน้ำหรือการเพิ่มขึ้นของค่าความชอบน้ำต่อไขมันของสารลดแรงตึงผิว เนื่องจากค่าพลังงานอิสระที่ผิวลดลงตามการเพิ่มขึ้นของความชอบไขมันของสารลดแรงตึงผิว นอกจากนี้ยังพบว่าค่าความชอบน้ำต่อไขมันมีผลต่อประสิทธิภาพการกักเก็บยาโดยการลดลงของค่าดั้งกล่าวจาก 8.6 ไปยัง 1.7 มีผลทำให้ประสิทธิภาพการกักเก็บยาลดน้อยลงตามลำดับ (Shahiwala and Misra, 2002) ส่วนใหญ่สารลดแรงตึงผิวที่นำมาใช้เตรียมนีโอโโซมจะมีความยาวของสายโซ่carbon 12-18 คาร์บอนอะตอม (Nasseri and Florence, 2003; Ozer et al., 1991) มีการศึกษาพบว่าสารลดแรงตึงผิวที่มีสายคาร์บอนยาว 18 อะตอม (stearyl chain) จะแสดงความสามารถในการกักเก็บยาได้มากกว่าที่มีสายคาร์บอนยาว 12 อะตอม (lauryl chain) ถุงอนุภาคที่เกิดจาก Span ที่มีน้ำหนักโมเลกุลสูงจะมีโอกาสเกิดการรั่วน้ำอย่างมากคงตัวมากขึ้นต่อการเปลี่ยนแปลงความดันออสโมติก (Bouwstra et al., 1997)

โดยทั่วไปปริมาณของสารลดแรงตึงผิวต่อไขมันมากที่สุดในการเตรียมระบบนำส่งนีโอโโซม คือ 10-30 mM เมื่อสัดส่วนของสารลดแรงตึงผิวต่อไขมันมากขึ้นจะส่งผลเพิ่มความสามารถในการกักเก็บยา ซึ่งจะมีผลทำให้ระบบมีความหนืดเพิ่มขึ้นด้วย (Uchegbu and Vyas, 1998) การจัดเรียงตัวเป็นชั้นของอนุภาคนีโอโโซมอาจจะอยู่ในสถานะของเหลวหรือเจล ชั้นกับอุณหภูมิ ชนิดของไขมัน หรือสารลดแรงตึงผิว และองค์ประกอบอื่น เช่น คอเลสเตอรอล เป็นต้น ดังนั้น อุณหภูมิการเปลี่ยนแปลงสถานะ (T_c) ซึ่งเป็นอุณหภูมิการเปลี่ยนสถานะของสารลดแรงตึงผิว จึงมีผลต่อประสิทธิภาพในการกักเก็บตัวยาด้วย เช่น Span[®] 60 ที่มีค่าอุณหภูมิการเปลี่ยนแปลงสถานะสูงจะช่วยทำให้การกักเก็บสารตื้อขึ้น

2.16 การประเมินคุณลักษณะของนีโอโโซม

2.16.1 ความสามารถในการกักเก็บยา

ทำการแยกสารสกัดที่ไม่ถูกกักเก็บภายในอนุภาคนีโอโโซมออกด้วยถุงไอลีซิสแล้ว วิเคราะห์ปริมาณสารสกัดที่ถูกกักเก็บไว้ภายในอนุภาคนีโอโโซม โดยการทำให้ออนุภาคนีโอโโซมแตกด้วย dimethylsulphoxide หรือ 50% (v/v) *n*-propanol หรือ 0.1% (w/v) Triton[®] X-100 หรือ 2.5% (w/v) sodium lauryl sulfate (Balasubramaniam et al., 2002) วิเคราะห์หาปริมาณสารสกัดที่ถูกกักเก็บในอนุภาคนีโอโโซม คำนวณดังสมการที่ 2.1

$$\text{ร้อยละการกักเก็บยา} = \frac{\text{ปริมาณของสารสกัดที่ถูกกักเก็บในนีโอโซม}}{\text{ปริมาณของสารสกัดทั้งหมดที่ใช้}} \times 100 \quad (2.1)$$

ปริมาณของสารสกัดทั้งหมดที่ใช้

ความสามารถในการกักเก็บสารสกัดที่ขอบน้ำและไม่ขอบน้ำขึ้นอยู่กับวิธีการเตรียม โดยพบว่า การเตรียมนีโอโซมด้วยวิธีการฉีดสารละลายอีเออร์ จะสามารถกักเก็บยาได้มากกว่าการเตรียมโดยวิธีการทำให้เกิดฟิล์มและเขย่าด้วยมือ นอกจากนี้ ยังพบว่าประสิทธิภาพการกักเก็บยาจะลดลงเมื่อมีการใช้คอเลสเตอรอลมากขึ้นในนีโอโซมที่ใช้สารลดแรงตึงผิวนิด glycerol surfactant (Baillie et al., 1985)

2.16.2 ขนาดอนุภาคและการกระจายขนาดอนุภาค

โดยทั่วไปอนุภาคนีโอโซมมีลักษณะเป็นทรงกลม จึงมีการวัดขนาดอนุภาคจากเส้นผ่านศูนย์กลางซึ่งทำได้โดยการใช้กล้องจุลทรรศน์ เช่น กล้องจุลทรรศน์อิเล็กตรอนแบบส่องผ่าน (Transmission Electron Microscopy; TEM) และกล้องจุลทรรศน์ชนิด freeze fracture electron microscopy เป็นต้น ปัจจุบันมีเครื่องมือที่ใช้แสงเลเซอร์ในการวัดขนาดและการกระจายขนาดอนุภาค โดยเทคนิคการระเจิงของแสง (dynamic light scattering) (เช่น เครื่อง Zetasizer ของบริษัท Malvern instrument) และเทคนิคการเดี้ยวเบนของแสง (laser diffraction) (เช่น เครื่อง Mastersizer[®] ของบริษัท Malvern instrument) เป็นต้น ซึ่งทำให้วัดได้อย่างสะดวกและรวดเร็ว การวัดขนาดอนุภาคและการกระจายขนาดอนุภาคสามารถนำมาใช้ในการประเมินความคงตัวของSEMB ได้ โดยอาจกักเก็บยาเตรียมในสภาพแช่แข็งที่ -20 °C เป็นเวลา 24 ชั่วโมง สลับกับการให้ความร้อนเพื่อทำให้ยาเตรียมเปลี่ยนสถานะเป็นของเหลวที่อุณหภูมิห้อง (freeze thawing) แล้วทำการวัดขนาดและการกระจายขนาดอนุภาคเพื่อประเมินความคงตัวของยาเตรียม โดยพิจารณาจากการรวมตัวกันของอนุภาคทำให้ขนาดอนุภาคใหญ่มากขึ้น

2.16.3 ประจุไฟฟ้าที่ผิวอนุภาค (surface charge)

นีโอโซมอาจมีองค์ประกอบเป็นสารอิเล็กโทรไลต์ที่เพิ่มประจุบนผิวอนุภาค ศักย์ไฟฟ้าที่พื้นผิว (zeta potential) เป็นค่าที่บ่งบอกความคงตัวของนีโอโซมได้ ซึ่งสามารถคำนวณได้จากสมการที่ 2.2

$$f = \mu E \pi \kappa / \Sigma \quad (2.2)$$

เมื่อกำหนดให้

f	คือ ค่าศักยไฟฟ้า (Zeta potential)
μE	คือ การเคลื่อนที่อิเล็กโทรโพเรติก (Electrophoretic mobility)
κ	คือ ความหนืดของตัวรับ
Σ	คือ ค่าคงที่ไดอิเลคทริก (dielectric constant)

การลดประจุไฟฟ้าที่ผิวจะเพิ่มอัตราเร็วในการเกิดการจับกลุ่มอย่างหลวมและรวมตัวกันของอนุภาคได้ ปัจจุบันสามารถวัดค่าศักยไฟฟ้าที่ผิวน้ำภาคได้ง่ายและรวดเร็วด้วยการใช้เครื่องมือ เช่น เครื่อง Zetasizer ของบริษัท Malvern เป็นต้น

2.16.4 การศึกษาการลดปล่อยยาออกจากถุงอนุภาค

การศึกษาการลดปล่อยยาทำได้โดยการใช้วิธีถุงไอลชิส ที่เขย่าด้วยอัตราคงที่ควบคุมอุณหภูมิ และทำการสูตรด้วยตัวอย่างที่เวลาต่าง ๆ เพื่อวิเคราะห์หาปริมาณยาที่ถูกปล่อยออกมากด้วยวิธีที่เหมาะสม

2.16.5 การตรวจสอบการจัดเรียงตัวเป็นชั้น

นีโอโซมและจำนวนชั้นที่จัดเรียงตัวเป็นถุงอนุภาค เกิดจากการจัดเรียงตัวของสารลดแรงตึงผิว สามารถตรวจสอบได้โดยการตัดแบ่งนีโอโซม (cross section) ภายใต้กล้องจุลทรรศน์โพลาไรท์ (light polarization microscopy) จำนวนชั้นที่จัดเรียงตัวสามารถตรวจสอบได้โดยการใช้เครื่องมือ NMR spectroscopy, small angle X-ray scattering และ electron microscopy เป็นต้น

2.16.6 ความคงตัวและความเป็นพิษของนีโอโซม

นีโอโซมเป็นระบบนำส่งยาที่อยู่ในรูปแบบสารแขวนลอย จึงมักเกิดปัญหาด้านความไม่คงตัวทางกายภาพได้ เช่น การเกาะกลุ่มกันของอนุภาค การรวมตัวกัน และการร้าวของผนังอนุภาค เป็นต้น ปัญหานี้อาจแก้ไขโดยการเติมสารเพิ่มความคงตัว นอกจากนี้ยังมีปัจจัยอื่นที่ต้องคำนึงถึง ได้แก่ คุณสมบัติของสารที่เก็บกักภายในถุงอนุภาค ปริมาณสารลดแรงตึงผิว และไขมัน รวมทั้ง อุณหภูมิ

การศึกษาความคงตัวของนีโอโซม อาจทำโดยการเก็บรักษาตัวรับในสภาวะปกติหรือสภาวะเร่งเป็นระยะเวลานาน แล้วนำมาวิเคราะห์ หากปริมาณสารสำคัญในตัวรับ มีการศึกษาความคงตัวของนีโอโซมนิต Sucrose stearate พบว่า ขนาดอนุภาคนีโอโซมไม่เปลี่ยนแปลง อย่างไรก็ตาม ความสามารถในการกักเก็บยาลดลงร้อยละ 10 เมื่อเก็บที่อุณหภูมิ 2-8 องศาเซลเซียส เป็นเวลานาน

90 วัน (Abd-Elbary et al., 2008) สารลดแรงตึงผิวที่นำมาใช้เตรียมน้ำอโ袖จากก่อพิษต่อร่างกายได้อย่างไรก็ตามรูปแบบยาเตรียมนี้ไม่ก่อให้เกิดอาการข้างเคียง (Azmin et al., 1985) และพบว่าเมื่อทดสอบความเป็นพิษในหนู รูปแบบยาเตรียมนี้ลดพิษหรืออาการข้างเคียงที่เกิดจากตัวยาได้ (Rogerson et al., 1987)

2.17 โครงสร้างของผิวนัง

ผิวนังเป็นอวัยวะที่มีขนาดใหญ่ที่สุดของร่างกาย (Escobar et al., 2008; Potts et al., 1991; Potts et al., 1992) โดยคิดเป็นน้ำหนักประมาณร้อยละ 16 ของน้ำหนักตัว มีหน้าที่ปกคลุมห่อหุ้มร่างกายทั้งหมด ซึ่งภายในมีปลายประสาทรับความรู้สึกมากมาย เพื่อรับรู้การสัมผัส การกด ความเจ็บ และอุณหภูมิร้อนเย็น ผิวนังมีหน้าที่สำคัญในการควบคุมอุณหภูมิของร่างกาย ชั้น stratum corneum เป็นชั้นนอกสุดของผิวนัง ทำหน้าที่ในการควบคุมอัตราการซึมผ่าน ขับเหงื่อ และไขมัน ชั้นนี้ประกอบด้วยเซลล์แบบที่ตายแล้ว เคราติน เซลล์เคราตินที่ตายแล้ว เป็นชั้นที่มีโครงสร้างการจัดเรียงอย่างเป็นระเบียบ และมีความสำคัญมากที่สุดของชั้นหนังกำพร้า ชั้นหนังกำพร้า (epidermis) ประกอบด้วยเซลล์ตายซึ่งมีลักษณะแบบเรียบ สกログไปจะเป็นเซลล์ที่ยังมีชีวิตและมีขนาดใหญ่กว่า ยิ่งลึกเซลล์จะยิ่งมีลักษณะกลมและใหญ่มากขึ้น โดยชั้นในสุดจะมีการสร้างเซลล์เติบโต ตันขึ้นสู่ชั้นบนเรื่อยๆ และเมื่อขึ้นสู่ชั้นบน เซลล์จะค่อยๆ ปรับตัวองให้แบบราบลงและขับน้ำออก ทำให้เซลล์แห้ง ชั้นหนังพราวเป็นชั้นที่บางที่สุดของผิวนัง โดยหนาเฉลี่ยเพียง 0.25 mm และส่วนที่หนาที่สุดจะหนาเพียง 1 mm เท่านั้น คือ ผ้ามือ ผ้าเท้า และบางสุดที่เปลือกตา หนังกำพร้ายังเป็นตัวสร้างผนน และเล็บ ชั้นหนังกำพร้าสามารถแบ่งออกได้เป็นชั้นย่อย 5 ชั้น ชั้นที่มีความสำคัญและเป็นชั้นที่ต้องการให้ตัวรับน้ำอโ袖ซึมผ่าน คือ ชั้น stratum corneum หรือ horny layer เป็นเซลล์ไม่มีสี ไม่มีนิวเคลียส เป็นเซลล์ที่ตายแล้ว ไม่มีกระบวนการเมตาโบลิซึมเกิดขึ้น มีความชื้นต่ำ เรียก corneal cell หรือ corneocytes ส่วนประกอบใหญ่ คือ เคราติน (keratin) ซึ่งประกอบด้วย insoluble cysteine-rich disulfide crosslinked protein ร้อยละ 65 เป็นโปรตีนที่แปรสภาพมาจากเซลล์ชั้นอื่นที่อยู่ลึกลงไป ไม่คล้ายหน้า ทนต่อสารเคมี จึงทำหน้าที่สำคัญในการป้องกันผิวนังจากสารพิษ เซลล์เหล่านี้ถูกเชื่อมให้ต่อกันได้ด้วย waxlike substances คล้ายการเรียกว่า skin fat ซึ่งได้จากการสลายตัวของเซลล์ในกระบวนการผลัดเปลี่ยนเซลล์ผิว (keratinization) ของเซลล์ชั้นล่าง skin fat นี้ ประกอบด้วยกรดไขมัน (15-25%), ceramides (40-50%), cholesterol (20-25%), cholesterol sulphate (5-10%) (Gray et al., 1982; Long et al., 1985; Wertz et al., 1985)

2.18 โครงสร้างและชนิดของเส้นผม

2.18.1 โครงสร้างของเส้นผม

เส้นผมของมาจากการเซลล์ที่เรียกว่า เดอร์มัล แปปิลลา (dermal papilla) ซึ่งจะเจริญพัฒนาไปเป็นเซลล์ hair follicle และแบ่งตัวสร้างเส้นผม สีผม ความหยิกของผม ฯลฯ หนังศีรษะของคนเรามีต่อมผม ประมาณ 80,000 ถึง 1,200,000 ต่อม พันธุกรรมเป็นตัวกำหนดจำนวนชนิด และสีของเส้นผม หน้าที่หลักของ เส้นผม คือ ป้องกันผิวหนัง หรือศีรษะไม่ให้เสียความร้อนมากเกินไป เส้นผมแต่ละเส้นออกจากเดอร์มัล แปปิลลา ไปเป็นเซลล์ที่เรียกว่า แมทริกซ์ (matrix) ซึ่งเป็นเนื้อเยื่อที่ผลิตเซลล์ผม เมื่อเซลล์นี้แบ่งตัวมากขึ้น จะตันเซลล์นี้ขึ้นไปข้างบนจนอยู่เหนือผิวหนัง เซลล์ผมที่ถูกผลักขึ้นมาเรื่อย ๆ จะค่อย ๆ ตาย ขณะเดียวกันก็ผลิตสารเคราติน (keratin) พอกพูนขึ้น สารเคราตินนี้จะเรียกว่าเป็นเส้นขนาน แต่ละเส้นของเคราตินจะถูกยึดติดกันด้วยพันธะไดซัลไฟด์บอนด์ (disulfide bond) เมื่อสารเคราตินถูกผลักให้สูงขึ้น ๆ จะมีการเรียงตัวแบ่งออกเป็น 3 ชั้นชัดเจนขึ้น ชั้นแกนกลางเรียกว่า เมดูลลา (medulla) ชั้นถัดออกไปเรียกว่า คอร์เทกซ์ (cortex) ส่วนชั้นผิวนอกสุด เรียกว่า คิวติเคิล (cuticle)

2.18.2 ชนิดของเส้นผม (hair)

2.18.2.1 lanugo hair เป็นผมเส้นเล็ก ๆ ไม่มีสี เช่น ผมชุดแรกเกิดในทารก ช่วงอายุครรภ์ระหว่าง 16 – 20 สัปดาห์ ปกติจะร่วงหลุดไป 4 สัปดาห์ก่อนคลอด

2.18.2.2 vellus hair เป็นขนอ่อนๆ ก็อตชันแนน lanugo hair มักไม่มีสี เส้นเล็กขนาดเส้นผ่าศูนย์กลางไม่เกิน 30 μm ความยาวไม่เกิน 2 cm ไม่มีแกนกลางของผม เช่น ขนบริเวณหัวหน่าว รักแร้ หนวด เครา แขน และขา

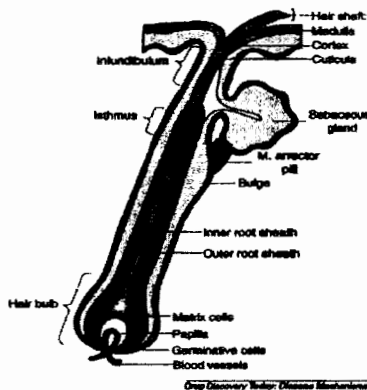
2.18.2.3 terminal hair ขนและผมเส้นใหญ่ หยาบ และยาวกว่า vellus hair มีสีตามเชื้อชาติของแต่ละคน เช่น ผมบริเวณศีรษะ คิว แขน และขา

2.18.3 โครงสร้างของเส้นผม (hair follicle) ดังแสดงในภาพที่ 2.5 เส้นผมประกอบด้วย

2.18.3.1 เส้นผม (hair shaft) ประกอบด้วย medulla อยู่ตรงกลาง ล้อมรอบด้วย cortex และ cuticle หุ้มอยู่

2.18.3.2 กระเพาะผม (hair bulb) เป็นส่วนต่ำสุดของต่อมผม โป่งออกเป็นกระเพาะผม มีกลุ่มเซลล์ที่แบ่งตัวอย่างรวดเร็ว คือ matrix ซึ่งมีหน้าที่สร้างเส้นผมและขน

2.18.3.3 dermal papilla คือ ส่วนของหนังแท้ที่ประกอบด้วยเส้นประสาท และหลอดเลือด ยื่นเข้าไปหล่อเลี้ยงเซลล์ผมบริเวณ hair bulb ซึ่งขนาดของ dermal papilla มีความสัมพันธ์กับขนาดของเส้นผม ถ้า dermal papilla มีขนาดใหญ่ เส้นผมจะมีขนาดใหญ่ด้วย



ภาพที่ 2.5 โครงสร้างของเส้นผม

ที่มา: Alexa et al., 2008

การศึกษาของ Rho et al., (2005) ทดสอบโดยใช้สารสกัด *Asiasari radix* ทำหลังของหนู C57BL/6 พบร่วมความสามารถต้านการเจริญของเส้นผม โดยกระตุ้นจากระยะเทโลเจนให้เข้าสู่ระยะอนาเจนเร็วขึ้น เพิ่มความเข้มของสีและขนาดของเส้นผม การศึกษาของ Park et al., (2011) พบร่วมสารสกัด *Fructus panax ginseng* กระตุ้นการเจริญของ hair follicles และกระตุ้นการเจริญของเส้นผมจากระยะเทโลเจนให้เข้าสู่ระยะอนาเจนเร็วขึ้นในหนู C57BL/6 และการศึกษาของ Roy et al., 2006 พบร่วมการใช้สารสกัดของ *Cuscuta reflexa* (Roxb.), *Citrullus colocynthis* (Schrad.) และ *Eclipta alba* (Hassk.) ช่วยเพิ่มการเจริญของเส้นผมในระยะอนาเจน เพิ่มความยาวของ hair follicle (>0.5 mm.) และทำให้เส้นผมเจริญอย่างรวดเร็ว

2.19 ช่องทางการซึมผ่านของสารทางผิวน้ำ

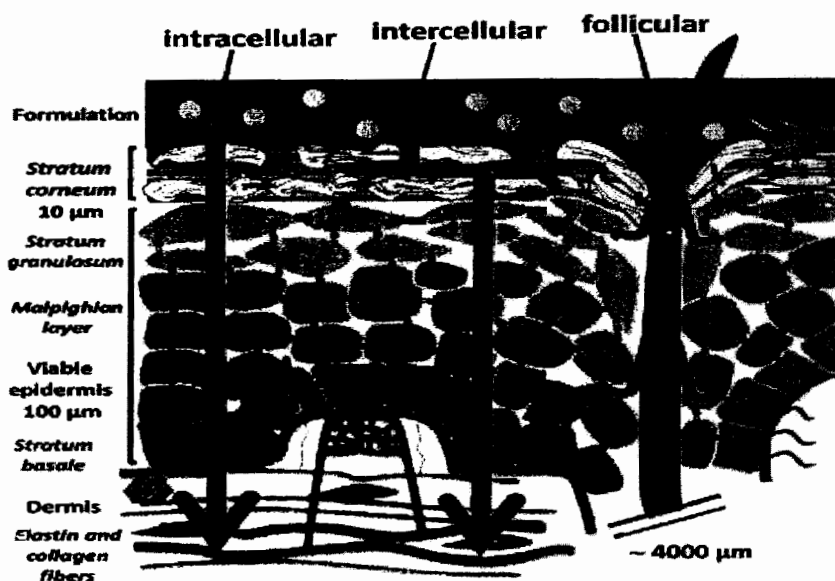
ชั้นผิวน้ำประกอบด้วย hair follicle ต่อมเหงื่อ (sweat gland) ซึ่งเป็นช่องทางของสารที่จะกระจายเข้าสู่ชั้นหนังแท้ ยาที่ต้องซึมผ่านชั้นผิวน้ำจะถูกจำกัดโดยชั้น stratum corneum โดยช่องทางการซึมผ่านผิวน้ำประกอบด้วย 3 ช่องทาง (Bolzinger et al., 2012) ดังแสดงในภาพที่ 2.6 คือ

2.19.1 ผ่านเซลล์ของผิวน้ำ (transcellular, transcorneocytes หรือ intracellular route) โดยเซลล์ของ stratum corneum มีเส้นใยโปรตีนเป็นองค์ประกอบหลัก ซึ่งมีหัวส่วนที่มีช้า และส่วนที่ไม่มีช้า ดังนั้นสารที่จะแพร่ผ่านได้ต้องจะละลายได้ทั้งในน้ำและน้ำมัน

2.19.2 ผ่านทางช่องว่างระหว่างเซลล์ (intercellular route) ซึ่งในระหว่างเซลล์ในชั้น stratum corneum ประกอบด้วยของเหลวที่เป็นไขมัน สารที่จะซึมผ่านได้ต้องจะละลายได้บ้างในไขมัน แต่ต้องไม่ละลายในไขมันดีจันเกินไป มิฉะนั้นตัวยาจะถูกจับไว้ในชั้นผิวน้ำ ไม่ปล่อยให้ยาผ่าน

ไปยังผิวหนังชั้นลึกไป สารที่ผ่านผิวได้ดีควรจะมีค่าสัมประสิทธิ์การแบ่งวัตภาก (partition coefficient) ใกล้เคียงกัน

2.19.3 ผ่านทางรูเปิดหรือท่อบนผิวหนัง (trans appendageal) ได้แก่ ต่อมไขมัน รูขุมขน และต่อมเหงื่อ hair follicles เป็นช่องทางที่จะนำยาหรือสารไปยังตำแหน่งออกฤทธิ์ และเป็นช่องทางที่นำสินใจมากที่สุดในการรักษาโรคทางผิวหนัง และ hair follicles ยังเป็นเป้าหมายการซึมผ่านของของยาหรือสารที่มีอนุภาคขนาดเล็ก (nanoparticles และ microparticles) (Jacobi et al., 2005) เนื่องจาก hair follicles ประกอบด้วยเส้นเลือดขนาดเล็กและมีช่องทางผ่านเข้าต่อมไขมัน ที่จะผ่านเข้าสู่เส้นผม ดังนั้น สารที่ซึมผ่าน hair follicle จะสามารถผ่านเข้าเซลล์เนื้อเยื่อและระบบไหลเวียนเลือด หลีกเลี่ยงการผ่านชั้น stratum corneum เช่น การศึกษาของ Hanna et al., (2010) โดยใช้กาแฟในรูปแบบแคปซูล พบว่า หลังจากใช้ท่า 5 นาที มีการตรวจประดับกาแฟในกระแสเลือด



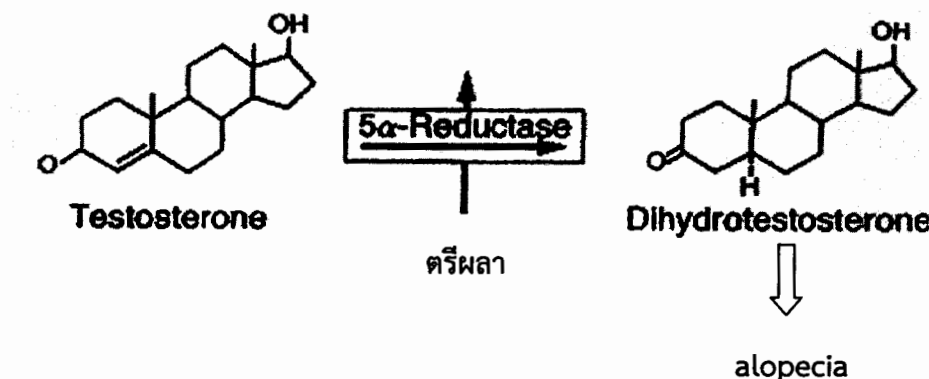
ภาพที่ 2.6 ช่องทางการซึมผ่านของยาทางผิวหนัง

ที่มา: Bolzinger et al., 2012

2.20 การศึกษากลไกการคัดซึมของสารสกัดตรีผล

มีรายงานการศึกษาฤทธิ์ของสารสกัด สมอไทย สมอพิเกา และมะขามป้อม สามารถยับยั้ง 5α-reductase II ได้ (Kumar et al., 2011; Kumar et al., 2012) ดังนั้น นีโโโซเมที่กักเก็บตรีผลาน่าจะมีฤทธิ์ในการยับยั้งเอนไซม์ 5α-reductase II ได้เช่นกัน และอีกกลไกคือ ฤทธิ์ในการยับยั้งการเกิดอนุมูลอิสระ (antioxidant) และคาดว่าจะนำส่งสารผ่านทางรูขุมขน ซึ่งต้องมีขนาดของอนุภาค

ที่เหมาะสมคือ 100 – 400 nm ซึ่งกลไกที่คาดว่าจะเป็นการออกฤทธิ์ของสารสกัดตรีผลา ดังแสดงในภาพที่ 2.7



ภาพที่ 2.7 กลไกที่คาดว่าจะเป็นการออกฤทธิ์ของสารสกัดตรีผลา

2.21 การทดสอบการระคายเคืองผิวน้ำ

การระคายเคืองผิวน้ำเป็นอาการข้างเคียงหนึ่งที่อาจพบจากการใช้ผลิตภัณฑ์ที่มีส่วนประกอบของตัวยาสำคัญ สารช่วยต่อต้าน DHT ในตัวรับ การเกิดการระคายเคืองผิวน้ำขึ้นอยู่กับหล่ายปัจจัย เช่น ความเข้มข้นของยา ระยะเวลาที่สัมผัส ความถี่ในการสัมผัส ตำแหน่งของผิวน้ำ อัตราการซึมผ่าน และความเป็นพิษของสารที่ใช้ (Shisombat et al., 2007)

ระบบเนื้อโขม ประกอบด้วยสารลดแรงตึงผิวนิดไม่มีประจุ และคอเลสเตอรอล ซึ่งอาจส่งผลต่อการระคายเคืองผิวน้ำ และสารสกัดตรีผลา เป็นสารสกัดของผลไม้ 3 ชนิด ซึ่งมีฤทธิ์เป็นกรด อาจเกิดการระคายเคืองผิวน้ำได้ ในการทดสอบการระคายเคืองผิวน้ำนิยมทำในกระต่ายขาว สายพันธุ์ New Zealand

บทที่ 3

ระเบียบวิธีวิจัย

งานวิจัยนี้ เป็นการศึกษาการวิจัยเชิงทดลอง (experimental research) เพื่อศึกษาถึงการออกฤทธิ์ของสารสกัดตรีผลในการยับยั้งการหลุดร่วงของเส้นผม พัฒนาตำรับน้ำโอมที่บรรจุสารสกัดตรีผลฯ ศึกษาถูกต้องด้านการออกของเส้นผมและการระคายเคืองต่อผิวหนังของผลิตภัณฑ์ในสัตว์ทดลอง ดังรายละเอียดต่อไปนี้

3.1 วัสดุและสารเคมี

3.1.1 พิชที่ใช้ในการศึกษา

ผลแห้งของสมอไทย (*T. chebula*) สมอพิเก็ก (*T. bellirica*) และมะขามป้อม (*P. emblica*) (บริษัท ออร์แกนิก ไวต้า จำกัด จังหวัดเชียงใหม่)

3.1.2 การเตรียมตำรับน้ำโอม

span[®] 20 (Sigma-Aldrich, Inc., USA), dimethylsulphoxide, cholesterol, ethanol absolute (Carlo Erba Reagenti SpA, Italy), 95% ethanol (Italmar Co. Ltd., Thailand)

3.1.3 การวิเคราะห์ปริมาณสารประกอบพื้นอลิก

gallic acid, ellagic acid (ACROS organics, USA), folin-ciocalteu's reagent (Carlo Erba Reagenti SpA, dialysis tubing cellulose (cellu Sep T4® MW cut off 12,000-14,000, Membrane Filatratoin Product, Inc., USA),

3.1.4 การวิเคราะห์ฤทธิ์ด้านออกซิเดชัน

2,2-diphenyl-1-picrylhydrazyl (Sigma-Aldrich, Inc., USA), 2,2-azino-bis(3-ethylbenzthiazoline-6-sulphonic acid (ABTS) (Wako Pure Chemical Industries, Ltd., Japan), potassium persulfate, vitamin C, vitamin E, methanol, acetic glacial acid glacial (Carlo Erba Reagenti SpA, MI, Italy), gallic acid, ellagic acid (ACROS organics, USA), ferrous sulphate (J.T. Baker Inc, USA), sodium acetate-3-hydrate, sodium acetate 3-hydrate (VWR International Ltd, England)

3.1.5 การวิเคราะห์สารเครื่องหมาย gallic acid และ ellagic acid ด้วยวิธี HPLC

gallic acid, ellagic acid (ACROS organics, USA), acetonitrile (RCI Labscan limited, Thailand), orthophosphoric acid (VWR International Ltd, England)

3.1.6 การทดสอบฤทธิ์ในการยับยั้งการทำงานของ 5α -reductase

testosterone, β -Nicotinamide adenine dinucleotide 2'-phosphate reduce (Sigma-Aldrich Inc., St. Louis, MO, USA), dithiothreitol, propyl *p*-hydroxybenzoate (ACROS organics, USA), finasteride (S. tong chemicals co., LTD, Thailand), dichloromethane (Carlo Erba Reagenti SpA, MI, Italy)

3.1.7 การศึกษาการปลดปล่อยสารเครื่องหมายจากระบบนำส่งนีโอโซม

dialysis tubing cellulose (cellu Sep T4® MW cut off 12,000-14,000, Membrane Filtration Product, Inc., USA), polyethylene glycol 400 (Witthayasom Co. Ltd, Thailand), dipotassium peroxodisulphate, di-potassium hydrogen phosphate anhydrous, sodium chloride, potassium dihydrogenphosphate, Disodium Hydrogenphosphate (Carlo Erba Reagenti SpA, MI, Italy), potassium chloride (VWR International Ltd, England)

3.1.8 การศึกษาการซึมผ่านผิวหนัง

Franz diffusion cell (Crown glass company, Inc., USA), ผิวหนังบริเวณท้องของ ลูกสุกรแรกเกิด (คณะเกษตรศาสตร์ มหาวิทยาลัยอุบลราชธานี)

3.1.9 การทดสอบประสิทธิภาพการกระตุ้นการเจริญของเส้นขนในหมูถีบจักร minoxidil (Regaine®, Johnson & Johnson), zolitin® (Virbac, Thailand), หมูสายพันธุ์ C57BL/6Mlac (ศูนย์สัตว์ทดลองแห่งชาติ มหาวิทยาลัยมหิดล)

3.1.10 การทดสอบการระคายเคืองผิวหนังในกระต่าย

sodium lauryl sulfate (Carlo Erba Reagenti SpA, Milan, Italy) กระต่ายขาวสายพันธุ์ New Zealand (ศูนย์สัตว์ทดลองแห่งชาติ มหาวิทยาลัยมหิดล)

3.2 วิธีดำเนินการวิจัย

3.2.1 การเตรียมสารสกัดพืช

ในการสกัดพืชใช้วิธีการหมัก ซึ่งดัดแปลงจาก Kumar et al., (2011) พืชที่ใช้ในงานวิจัยนี้ คือ ผงแห้งของผล มะขามป้อม สมอไทย และสมอพิเกก นำผงแห้งมาสกัดด้วยตัวทำละลาย ethyl alcohol 95% โดยวิธีการหมัก (maceration) โดยใช้อัตราส่วนผงแห้ง 1 ส่วน ต่อตัวทำละลาย 4 ส่วน จำนวน 3 รอบ ๆ ละ 24 ชั่วโมง จากนั้นนำส่วนที่ได้จากการหมักมากรองด้วยผ้าขาวบาง

และกระดาษกรอง ขนาด $0.22 \mu\text{m}$ ตามลำดับ จากนั้นระเหยตัวทำละลายออกโดยใช้เครื่อง rotary evaporator (BUCHI R205, Switzerland) จนได้สารสกัดทวยาของพืชแต่ละชนิด และทำการเตรียมสารสกัดตระผลโดยนำสารสกัดทวยาของผลไม้ทั้ง 3 ชนิดมาผสมกันในอัตราส่วน 1:1:1 โดยน้ำหนัก บรรจุสารสกัดในขวดสีชา และปิดผนึก และเก็บไว้ในอุณหภูมิ 4°C เพื่อรอการศึกษาต่อไป

3.2.2 การวิเคราะห์ปริมาณสารประกอบฟีโนอลิกโดยรวม

การวิเคราะห์ปริมาณสารประกอบฟีโนอลิกโดยรวม (total phenolic compounds) ทดสอบด้วยวิธี Folin-Ciocalteu (Onanong et al., 2011) โดยการเตรียมสารละลาย folin-ciocalteu reagent สารละลาย sodium carbonate (Na_2CO_3) สารตัวอย่างที่จะทดสอบ เติมสารละลาย folin-ciocalteu reagent ทึ้งไว้ 5 นาที จากนั้นเติมสารละลาย Na_2CO_3 เก็บให้พ้นแสง 40 นาที วัดการดูดกลืนแสง โดยใช้เครื่อง Spectrophotometer (Biomate 3, Genesys 10, USA) ที่ความยาวคลื่น 725 nm สร้างกราฟมาตรฐาน gallic acid และ ellagic acid เพื่อเทียบหาปริมาณของสารประกอบฟีโนอลิกที่สมมูลกับ gallic acid (mg GAE/g sample) และที่สมมูลกับ ellagic acid (mg EAE/g sample)

3.2.3 การวิเคราะห์ปริมาณสารเครื่องหมายในสารสกัด

ในการวิเคราะห์หาปริมาณสารสำคัญจากพืช เลือกใช้ gallic acid และ ellagic acid เป็นสารเครื่องหมาย (marker) สำหรับควบคุมมาตรฐานสารสกัด วิเคราะห์ปริมาณด้วยเครื่อง High Performance Liquid Chromatograph (HPLC) (Thermo Dionex UV/Vis, USA) column: Novapack[®] C18 ($150 \text{ nm} \times 3.9 \text{ mm}$, id $5 \mu\text{m}$) วิเคราะห์ด้วยระบบ gradient elution ของ mobile phase; solvent A: acetonitrile, solvent B: 0.1% v/v phosphoric acid in DI อัตราเร็ว (flow rate) 0.8 mL/min และตรวจด้วยความยาวคลื่น 254 nm โดยการสร้างกราฟ มาตรฐานของความสัมพันธ์ระหว่างความเข้มข้นของสารละลาย gallic acid และ ellagic acid กับพื้นที่ใต้พิก แล้วหาสมการเส้นตรง และหาสัมประสิทธิ์สหสัมพันธ์ (R^2) จากนั้นนำสารสกัดพีชมาวิเคราะห์ การเตรียมสารตัวอย่างเพื่อวิเคราะห์ ละลายสารสกัดด้วยตัวทำละลายที่ใช้สกัด จากนั้นนำไปกรองผ่านกระดาษกรอง ขนาด $0.22 \mu\text{m}$ แล้วนำพื้นที่ใต้พิก คำนวณหาปริมาณสารเครื่องหมาย จากพื้นที่ใต้พิกที่เป็นสารมาตรฐาน โดยมีระบบ gradient elution ของ mobile phase แสดงดังตารางที่ 3.1

ตารางที่ 3.1 ระบบ gradient elution ของวัตถุการเคลื่อนที่

เวลา (min)	0.1% v/v phosphoric acid in deionized (%)
0	90
5	90
6	70
14	60
22	60
30	90
55	90

3.2.4 การทดสอบฤทธิ์ต้านอนุมูลอิสระของสารสกัด

3.2.4.1 การทดสอบด้วยวิธี ABTS⁺

การทดสอบฤทธิ์ต้านอนุมูลอิสระด้วยวิธี 2,2 - azinobis (3-ethylbenzthiazoline-6-sulphonic acid; ABTS ดัดแปลงวิธีศึกษาโดย Roberta et al., (1999) โดยการเตรียม ABTS reagent 1 ml โดยซึ่ง K₂S₂O₈ 0.66 mg เติมน้ำกลิ้น (deionization water; DI) 1 ml เติมลงใน ABTS 3.60 mg ทึ้งไว้ 12 – 16 ชั่วโมง เติมน้ำกลิ้น จนครบ 100 ml นำไปวัดค่าการดูดกลืนแสงให้ได้ 0.7±0.02 ที่ความยาวคลื่น 734 nm เตรียมตัวอย่างสารสกัดแต่ละชนิดให้ได้ 20 μl เติมน้ำกลิ้น 100 μl เติม ABTS⁺ reagent 2,000 μl ทึ้งไว้ให้เกิดปฏิกิริยา 6 นาที นำไปวัดค่าการดูดกลืนแสง โดยใช้เครื่อง Spectrophotometer (Biomate 3, Genesys 10, USA) ที่ความยาวคลื่น 734 nm สร้างกราฟมาตรฐานของวิตามินซี คำนวนหา vitamin C equivalent antioxidant capacity (VEAC) จากกราฟมาตรฐาน

3.2.4.2 การทดสอบด้วยวิธี DPPH[·]

การทดสอบฤทธิ์ต้านอนุมูลอิสระด้วยวิธี D P P H[·] ดัดแปลงวิธีศึกษาโดย Kriengsak et al., (2006) ละลาย 2,2-diphenyl-1-picrylhydrazyl (DPPH) ด้วย methanol ให้ได้ความเข้มข้น 0.069 mg/ml เตรียมสารสกัดพืชแต่ละชนิด โดยละลายใน methanol จำนวนเดิม methanol ทึ้งไว้ในที่มีดให้เกิดปฏิกิริยา 30 นาที นำไปวัดค่าการดูดกลืนแสง โดยใช้เครื่อง Spectrophotometer (Biomate 3, Genesys 10, USA) ที่ความยาวคลื่น 517 nm สร้างกราฟมาตรฐานวิตามินซี และนำค่าที่ได้มาแทนในสมการที่ 3.1

$$\% \text{ inhibition} = \frac{\text{Abs control} - \text{Abs sample} \times 100}{\text{Abs control}} \quad (3.1)$$

เมื่อกำหนดให้

% inhibition คือ ร้อยละการยับยั้ง

Abs control คือ ค่าการดูดกลืนแสงของสารเปรียบเทียบ

Abs sample คือ ค่าการดูดกลืนแสงของสารตัวอย่าง

3.2.4.3 การทดสอบด้วยวิธี FRAP

การทดสอบฤทธิ์ต้านอนุมูลอิสระด้วยวิธี FRAP ดัดแปลงวิธีศึกษาโดย Ronald et al., (2005) โดยการเตรียม FRAP reagent เตรียม acetate buffer pH 3.6 โดยใช้ sodium acetate-3-hydrate 1.5 g ละลายใน glacial acetic acid 8 ml ปรับปริมาตรด้วยน้ำกลั่นให้ครบ 500 ml การเตรียม 20 mM ferric chloride โดยใช้ ferric chloride 0.054 g ละลายในน้ำกลั่น ปรับปริมาตรให้ครบ 10 ml การเตรียม 10 mM TPTZ (TPTZ 62.4 mg โดยละลายใน 40 mM HCl ปรับปริมาตรให้ครบ 20 ml ด้วย 40 mM HCl อัตราส่วนในการเตรียม FRAP reagent คือ 10:1:1, acetate buffer: ferric chloride: TPTZ เก็บให้พันแสง การเตรียมสารมาตรฐาน ferrous sulfate 5 mM โดยใช้ ferrous sulfate 0.6950 g ละลายในน้ำกลั่น ปรับปริมาตรด้วยน้ำกลั่นให้ครบ 50 ml เตรียมสารสกัดพืชแต่ละชนิด จากนั้นนำมาเติม FRAP reagent, DI และ ferrous sulfate ในอัตราส่วน 10:1:1 ทึ้งไว้ในที่มีด 8 นาที นำไปวัดค่าการดูดกลืนแสง โดยใช้เครื่อง Spectrophotometer (Biomate 3, Genesys 10, USA) ที่ความยาวคลื่น 593 nm สร้างกราฟ มาตรฐานของ ferrous sulfate

3.2.5 การทดสอบประสิทธิภาพในการยับยั้ง 5 α -reductase II

เตรียม rat microsomal suspension ตามวิธีที่ได้อธิบายโดย Kumar et al., (2011) โดยตัดตับของหนู Sprague Dawley ให้เป็นชิ้นเล็ก ๆ จากนั้นเติม sucrose 0.32 M และ 1 mM dithiothreitol ใน 0.02 M phosphate buffer pH 6.5 ปั่นเหวี่ยงที่ความเร็ว 4500 \times g, 0 °C 30 นาที 2 รอบ เก็บ supernatants และเก็บไว้ที่ -50 °C การทดสอบการยับยั้ง 5 α -reductase โดยเตรียมสารละลาย 3.0 ml ซึ่งประกอบด้วย 0.2 ml ของสารสกัดใน 50% ethanol, 1.0 ml 0.02 mM phosphate buffer pH 6.5, 0.3 ml 500 ppm testosterone ใน 50% ethanol และ 1.0 ml microsomal suspension การเริ่มปฏิกิริยาโดยเติม 0.5 ml 0.77 mg/ml NADPH ใน phosphate buffer ทึ้งไว้ให้เกิดปฏิกิริยาที่อุณหภูมิ 37 °C เป็นเวลา 30 นาที หยุดการเกิดปฏิกิริยา โดยเติม 5 ml dichloromethane จากนั้นเติม 0.5 ml 100 ppm propyl p-hydroxybenzoate

ใน 50% ethanol เตรียมตัวอย่างโดยการเขย่า 1 นาที ปั่นเหวี่ยงที่ความเร็ว $400 \times g$ 10 นาที จากนั้นแยกเอาส่วนตัวทำละลายจำนวน 4 ml ระเหยให้แห้งโดยใช้เครื่อง rotary evaporator (BUCHI R205, Switzerland) ละลายส่วนที่เหลือด้วย 5.0 ml methanol จากนั้นวิเคราะห์ด้วย HPLC (Hypersil®-ODS column (Thermo Scientific, USA) 250×4.6 mm, i.d. diameter 5 μm) ใช้ testosterone เป็นสารมาตรฐาน วัดภาคเคลื่อนที่คือ 65% methanol อัตราเร็ว 1 ml/min ตรวจวัดด้วยความยาวคลื่นที่ 242 nm ควบคุมอุณหภูมิคลัมเบอร์ที่ $40^{\circ}C$ จากนั้นคำนวณร้อยละการยับยั้ง ดังสมการที่ 3.5

$$\% \text{ inhibition} = [(r_{\text{sample}} - r_{\text{rxn}})/r_{\text{ctrl}} - r_{\text{rxn}}] \times 100 \quad (3.2)$$

เมื่อกำหนดให้

$\% \text{ inhibition}$	คือ ร้อยละการยับยั้ง
r_{sample}	คือ อัตราส่วนพื้นที่ได้พิก testosterone/internal standard) ของตัวอย่าง
r_{rxn}	คือ อัตราส่วนพื้นที่ได้พิก testosterone/internal standard) ของปฏิกิริยาที่เกิดสมบูรณ์ (complete reaction)
r_{ctrl}	คือ อัตราส่วนพื้นที่ได้พิก testosterone/internal standard) ของปฏิกิริยาที่ไม่มีเอนไซม์ (enzyme blank)

ใช้ finasteride เป็นสารมาตรฐาน คำนวณปริมาณสารที่ทำให้ความเข้มข้นของ finasteride ที่ลดลงร้อยละ 50 (IC_{50}) จาก testosterone ที่เหลืออยู่ในตัวอย่าง ให้อยู่ในหน่วย มิลลิกรัมต่อกรัมสารสกัดหยาบ (mg finasteride/g crude extract)

3.2.6 การเตรียมนีโอโซมที่บรรจุสารสกัดตรีกา

การเตรียมนีโอโซมโดยใช้วิธี ethanol injection โดยดัดแปลงวิธีการเตรียมจาก Maitani et al., (2001) ดังนี้คือ ชั้งคอเลสเทอรอล สารสกัด และสารลดแรงตึงผิวนิดไม่มีประจุ ละลายด้วย เอทานอล จากนั้นฉีดสารละลายผ่านเข็มเบอร์ 21 ลงในน้ำร้อนปริมาตร 20 ml ที่อุณหภูมิ $60^{\circ}C$ คนที่ความเร็ว 500 รอบต่อนาที จากนั้นปล่อยให้หมุนเป็นเวลา 30 นาที ลดขนาดของนีโอโซม 5 นาที ด้วยเครื่อง probe sonicator (VC 50T, USA)

3.2.7 การประเมินคุณสมบัติของนีโอโซม

3.2.7.1 การวัดขนาดอนุภาคและการกระจายขนาดอนุภาคนีโอโซม

นำนีโอโซม 100 μl เจือจางในน้ำประศจากไอลอน 900 μl แล้วนำไปวัดขนาดอนุภาคนีโอโซม ค่าการกระจายอนุภาค และค่าประจุไฟฟ้าที่ผิวอนุภาค โดยใช้เครื่องวัดขนาดอนุภาค (Malverns/Zetasizer NanoZS, England) โดยการวัด 3 ชี้ (n=3) การคำนวณหาขนาดเส้นผ่านศูนย์กลางของอนุภาคได้จากการของสโตกและไอสไตน์ (stokes-Einstein) (Washinton, 1992; Finsey, 1994; Allen, 1997) ดังสมการที่ 3.3

$$d = \frac{kT}{3\pi\rho D} \quad (3.3)$$

เมื่อกำหนดให้

d คือ เส้นผ่านศูนย์กลางของอนุภาคทรงกลม

D คือ ค่าสัมประสิทธิ์การแพร่

ρ คือ ค่าความหนืดของสารตัวกลางที่อนุภาคแขวนลอยอยู่

k คือ ค่าคงที่ของโบลท์zman (Boltzmann's constant)

T คือ ค่าองศาสัมบูรณ์

3.2.7.2 การวัดประจุไฟฟ้าที่ผิวอนุภาค

นำนีโอโซม 100 μl เจือจางในน้ำประศจากไอลอน 900 μl จากนั้นนำไปวัดค่าประจุไฟฟ้าที่ผิวอนุภาค โดยใช้เครื่องวัดขนาดอนุภาค (Malvern/Zetasizer NanoZS, England) วัด 3 ชี้ (n=3) จากนั้นคำนวณค่าประจุไฟฟ้าที่ผิวอนุภาคด้วยสมการของ Helmholtz Smoluchowski

3.2.7.3 การวิเคราะห์หาร้อยละการกักเก็บสารสกัดพีชในนีโอโซม (% entrapment efficiency; EE)

การวิเคราะห์ร้อยละการกักเก็บสารสกัดพีชในนีโอโซมใช้วิธี direct method ซึ่งประกอบด้วย 2 ส่วน คือ ส่วนของสารสกัดที่ถูกกักเก็บในนีโอโซม โดยปีเปตันีโอโซม 1,000 μl ใส่ในถุงไดอะไลซิส เติม release media ทึ้งไว้ 18 ชั่วโมง จากนั้นปีเปตันีโอโซม 100 μl เติม dimethylsulphoxide 900 μl เพื่อทำให้นีโอโซมแตก นำไปทบทวนสารประกอบพีนอลิก โดยเทียบกับสารมาตรฐาน gallic acid และ ellagic acid ส่วนที่ 2 คือ การหาปริมาณของสารสกัดทั้งหมดที่ใช้ โดยปีเปตันีโอโซม 100 μl เติม dimethylsulphoxide 900 μl วิเคราะห์ปริมาณ gallic

acid โดยเทียบกับสารมาตรฐาน gallic acid และ ellagic acid คำนวณหาร้อยละการกักเก็บสารสกัดในนีโโโซม จากสมการที่ 3.4 และ 3.5

1) จากการคำนวณ total phenolic content

$$\begin{aligned} \text{ร้อยละการกักเก็บสารประกอบพื้นอลิกโดยรวม} &= \frac{\text{ปริมาณสารประกอบพื้นอลิกโดยรวมที่ถูกกัก}}{\text{กักในนีโโโซม}} \times 100 / \text{ปริมาณของสารประกอบ} \\ &\quad \text{พื้นอลิกโดยรวมทั้งหมด} \end{aligned} \quad (3.4)$$

2) จากการวิเคราะห์ด้วย HPLC

$$\text{ร้อยละการกักเก็บ} = \frac{\text{ปริมาณของสารเครื่องหมายที่ถูกกักเก็บในนีโโโซม}}{\text{ปริมาณของสารเครื่องหมายทั้งหมด}} \times 100 \quad (3.5)$$

3.2.8 การศึกษาปัจจัยที่มีผลต่อการเตรียมตำรับนีโโโซม

ในการพัฒนานีโโโซมเพื่อบรุจสารสกัดตรีผลา ในช่วงแรกจะเป็นการศึกษาปัจจัยที่มีผลต่อการเตรียมนีโโโซมเบื้องต้น โดยการศึกษาที่ละตัวแปร (one variable at a time) ได้แก่ ชนิดสารลดแรงตึงผิว ปริมาณไขมันทั้งหมด ปริมาณคอเลสเทอรอล และปริมาณสารสกัด ซึ่งมีผลต่อขนาดอนุภาค การกระจายอนุภาค ค่าประจุไฟฟ้าที่ผิวนุภาค และร้อยละการกักเก็บสารสกัด จากนั้นนำปัจจัยที่ศึกษาเบื้องต้นหาสภาวะที่เหมาะสมในการเตรียมนีโโโซมด้วยวิธีการตอบสนองพื้นผิว (response surface methodology; RSM) โดยทำการศึกษาปัจจัยที่ละตัวแปร และศึกษาโดยวิธี RSM

3.2.8.1 การศึกษาปัจจัยที่ละตัวแปร

1) ชนิดสารลดแรงตึงผิว

ในการศึกษาจะใช้สารลดแรงตึงผิวนิดไม่มีประจุจำนวน 2 ชนิด คือ Span[®] 20, Span[®] 60 โดยใช้ความเข้มข้น 15 mM โดยกำหนดให้ปริมาณคอเลสเทอรอลคงที่เท่ากับ 15 mM และสารสกัดพืช เท่ากับร้อยละ 0.5

2) ปริมาณไขมันทั้งหมด (total lipid content)

ปริมาณไขมันทั้งหมดคือ ปริมาณของสารลดแรงตึงผิว และ คอเลสเทอรอล โดยศึกษาปริมาณไขมันทั้งหมดอยู่ช่วง 0.5 – 50 mM ปริมาณสารลดแรงตึงผิว และ ปริมาณคอเลสเทอรอล แสดงดังตารางที่ 3.2 โดยกำหนดให้สารสกัดคงที่ เท่ากับร้อยละ 0.5

ตารางที่ 3.2 ปริมาณสารลดแรงตึงผิว และปริมาณคอเลสเทอรอล จากการคำนวนปริมาณไขมันทั้งหมด

ปริมาณไขมันทั้งหมด (mM)	ปริมาณสารลดแรงตึงผิว		ปริมาณคอเลสเทอรอล	
	(mM)	(mg)	(mM)	(mg)
0.5	0.25	1.73	0.25	1.93
1.0	0.50	3.46	0.50	3.86
10	5.00	34.60	5.00	38.66
25	12.50	86.50	12.50	96.66
50	25.00	173.00	25.00	193.32

3) ปริมาณคอเลสเทอรอล (cholesterol content)

ปริมาณคอเลสเทอรอลที่มีผลต่อขนาดอนุภาคนีโอโซม และร้อยละการกักเก็บสารสกัดพืช โดยกำหนดให้ปริมาณสารสกัดคงที่ เท่ากับร้อยละ 0.5 และปริมาณไขมันทั้งหมดเท่ากับ 50 mM ปริมาณคอเลสเทอรอล และปริมาณสารลดแรงตึงผิว แสดงดังตารางที่ 3.3

ตารางที่ 3.3 ปริมาณคอเลสเทอรอล และปริมาณสารลดแรงตึงผิว ที่มีผลต่อขนาดอนุภาคนีโอโซม และร้อยละการกักเก็บสารสกัดพืช

ปริมาณคอเลสเทอรอล (%)	ปริมาณสารลดแรงตึงผิว		ปริมาณคอเลสเทอรอล	
	(mM)	(mg)	(mM)	(mg)
0	50	346.0	0	0.00
15	42.5	294.1	7.5	57.99
30	35	242.2	15	115.99
45	27.5	190.3	22.5	173.99
60	20	138.4	30	231.99

4) ปริมาณสารสกัดพืช (plant extract content)

ปริมาณสารสกัดที่มีผลต่อขนาดอนุภาคนีโอโซม และร้อยละการกักเก็บสารสกัด โดยกำหนดให้ ปริมาณไขมันทั้งหมดคงที่ เท่ากับ 50 mM ปริมาณคอเลสเทอรอล เท่ากับร้อยละ 15 (7.5 mM เท่ากับ 57.99 mg) และสารลดแรงตึงผิว เท่ากับ 42.5 mM (294.1 mg) ปริมาณสารสกัดที่ศึกษา แสดงดังตารางที่ 3.4

ตารางที่ 3.4 ปริมาณสารสกัดที่มีผลต่องานดอนุภาคนีโอโซเม และร้อยละการกักเก็บสารสกัดพืช

ปริมาณสารสกัดตระผลา	
(%)	(mg)
0.01	2
0.10	20
0.25	50
0.50	100
1.00	200

3.2.8.2 การศึกษาสภาวะที่เหมาะสมสำหรับเตรียมนีโอโซเมด้วยวิธีตอบสนองพื้นผิว

เมื่อได้ปัจจัยที่มีผลต่อการเตรียมตารับนีโอโซเมแล้ว นำปัจจัยตัวแปรต้นที่ศึกษาคือ ปริมาณไขมันทั้งหมด ปริมาณคอเลสเทอรอล และปริมาณสารสกัด มาหาสภาวะที่เหมาะสมในการเตรียมนีโอโซเม โดยกำหนดปัจจัยตัวแปรตามที่ต้องการคือ 1) ร้อยละการกักเก็บสารสกัดในนีโอโซเม (% entrapment efficiency) 2) ขนาดอนุภาคของนีโอโซเม (size) ด้วยวิธีการตอบสนองพื้นผิว โดยใช้โปรแกรม Design-Expert® version 7 (Stat – Ease, USA)

3.2.9 การศึกษาการปลดปล่อยสารเครื่องหมาย gallic acid และ ellagic acid จากระบบนำส่งนีโอโซเม

นำนีโอโซเมที่กักเก็บสารสกัด ปริมาตร 1 ml บรรจุลงในถุงไคลอไรซีส (Cellu Sep T4® MW cut off 12,000-14,000, Membrane Filtration Product, Inc., USA) ทำการศึกษาโดยใช้สารละลายน้ำตัวกลาง (release medium) คือ 30% polyethylene glycol 400 ใน phosphate buffer pH 7.4 ปริมาตร 50 ml เขย่าด้วย incubators shaker ที่อุณหภูมิ 32 °C อัตราเร็ว 150 รอบต่อนาที ทำการเก็บตัวอย่างปริมาตร 1 ml ที่เวลา 15 นาที 1, 3, 6, 12 และ 24 ชั่วโมง เติม 30% polyethylene glycol 400 ใน phosphate buffer pH 7.4 1 ml ทุกครั้ง แล้วนำสารละลายน้ำไปกรอง และวิเคราะห์หาปริมาณ gallic acid และ ellagic acid ด้วยเครื่อง HPLC ($n=4$)

3.2.10 การศึกษาการซึมผ่านผิวของ gallic acid และ ellagic acid จากระบบนำส่งนีโอโซเม

3.2.10.1 การวิเคราะห์หาปริมาณ gallic acid และ ellagic acid ที่ซึมผ่านผิวหนัง ใส่สารสกัดตระผลาที่ละลายด้วย 30% polyethylene glycol 400 ใน

phosphate buffer pH 7.4 และสารสกัดตรีผลล้าที่กักเก็บในนีโอโซมลงใน donor chamber และปิด donor chamber ด้วยหนังสูตรแรกเกิด จากนั้นนำไปทดสอบด้วยเครื่อง Franz diffusion cells (Crown glass company, Inc., USA) (Aranya et al., 2012) โดยใช้ 30% polyethylene glycol 400 ใน phosphate buffer pH 7.4 ปริมาตร 14 ml ที่อุณหภูมิ 37 °C เก็บตัวอย่างปริมาตร 300 μl ที่เวลา 1, 3, 6, 12 และ 24 ชั่วโมง เติม 30% polyethylene glycol 400 ใน phosphate buffer pH 7.4 300 μl ทุกครั้ง แล้วนำสารละลายกรองและวิเคราะห์หาปริมาณ gallic acid และ ellagic acid ด้วยเครื่อง HPLC ($n=3$)

3.2.10.2 การวิเคราะห์หาปริมาณ gallic acid และ ellagic acid ที่ซึมผ่านไปในชั้น stratum corneum

ล้างหนังหมุด้านบนผิวด้วย phosphate buffer pH 7.4 จำนวน 5 ครั้ง จากนั้น ทำ tape striping ด้วยเทบีส (3M #600 ขนาด 3/4", 1" x 36 หลา, 3M, ประเทศไทย) ขนาด 2x2 cm จำนวน 20 ครั้ง โดยครั้งแรกที่ strip ให้ทึบไป จากนั้นนำไปสกัดด้วย 30% polyethylene glycol 400 ใน phosphate buffer pH 7.4 วิเคราะห์ปริมาณสารสำคัญด้วย HPLC

3.2.10.3 การวิเคราะห์หาปริมาณ gallic acid และ ellagic acid ที่ซึมผ่านไปในชั้น epidermis และ dermis

ตัดหนังหมุดเมื่อขนาดเล็ก เพื่อเพิ่มพื้นที่การละลาย จากนั้นนำไปสกัดใน 30% polyethylene glycol 400 ใน phosphate buffer pH 7.4 และวิเคราะห์ปริมาณสารสำคัญด้วย HPLC

3.2.11. ทดสอบความคงตัวของตารับนีโอโซม

การศึกษาคุณสมบัติทางกายภาพและทางเคมีของตารับนีโอโซม โดยนำตารับที่เตรียมได้เก็บไว้ที่อุณหภูมิ 4, 25 และ 45 °C จากนั้นวัดคุณสมบัติทางกายภาพของสูตรตารับนีโอโซม ได้แก่ การดัดขนาดอนุภาค การกระจายอนุภาค ค่าประจุไฟฟ้าที่ผิวอนุภาค และร้อยละการกักเก็บสารสกัดในวันที่ 1, 7, 15, 30, 60 และที่ 90 วัน

3.2.12 ทดสอบฤทธิ์ในการกระตุ้นการออกของเส้นผมในหนูถีบจักร

3.2.12.1 ศึกษาฤทธิ์กระตุ้นการเจริญของเส้นขนจากภาพถ่าย (Photographic evaluation)

โดยprotocol ได้รับการรับรองจากคณะกรรมการสัตว์ทดลอง มหาวิทยาลัย อุบลราชธานี หนูที่ใช้ในการศึกษาคือ หนูถีบจักร สายพันธุ์ C57BL/6Mlac เพศผู้ อายุประมาณ 6 สัปดาห์ จำนวน 30 ตัว เลี้ยงในอุณหภูมิ 23 ± 2 °C ความชื้นสัมพัทธ์ร้อยละ 35-60 ระยะเวลาที่สัมผัสแสงคือ มีแสงสว่าง 12 ชั่วโมง และไม่มีแสง 12 ชั่วโมง แบ่งหนูเป็น 6 กลุ่มๆ ละ 5 ตัว ดังนี้ คือ

กลุ่มที่ 1 negative control : blank niosomes
 กลุ่มที่ 2 positive control : 2% minoxidil solution
 กลุ่มที่ 3 กลุ่มทดสอบ 1% triphala in propylene glycol, ethanol, DI
 กลุ่มที่ 4 กลุ่มทดสอบ 1% triphala niosomes
 กลุ่มที่ 5 กลุ่มทดสอบ 2.5 % triphala niosomes
 กลุ่มที่ 6 กลุ่มทดสอบ 5 % triphala niosomes
 สลบหนูถีบจักร จำนวน 30 ตัว ก่อนด้วย Zoletil® 100 (tiletamina 250 mg และ Zolazepam 250 mg) ขนาดที่ใช้ 50-75 mg/kg และโภนขนบริเวณ หลังให้มีพื้นที่กว้างขนาด 2 cm ยาว 4 cm ทำการทดสอบลงบริเวณหลังหนูประมาณ 0.1 ml โดยใช้ swaps ช่วยในการหาให้ทั่วบริเวณที่ทดสอบ โดยหนูในกลุ่มควบคุมจะแบ่งพื้นที่เป็น ซ้ายและขวา โดยข้างซ้ายไม่ทำการได ส่วนข้างขวา即 blank niosomes สำหรับกลุ่มทดสอบจะทำการเต็มพื้นที่ทดสอบ จากนั้นสังเกตความเข้มของสีชนิดเดียวกันในสัปดาห์ที่ 0, 1, 2, 3 และ 4 ให้ระดับสเกลการเจริญของเส้นขนตามเกณฑ์การเจริญของเส้นขน (Naphatsorn et al., 2012) โดยนำภาพถ่ายมาเปรียบกับสเกลที่กำหนดเพื่อคำนวณหาร้อยละพื้นที่การออกของเส้นขนในสัตว์ทดลองและหาค่าเฉลี่ย ($n=5$)

3.2.12.2 ศึกษาการเจริญของเส้นผมจากเนื้อเยื่อสัตว์ทดลอง (Histological evaluation)

เมื่อเสร็จสิ้นการศึกษาในหัวข้อ 3.2.12.1 ทำการกรุณยาตด้วยการรมอีเทอร์ และตัดผิวนังของหนูให้มีขนาดความหนา 5 cm จากนั้นจึงแช่ใน 10% neutral formalin แล้วตราชด้วย paraffin wax ตัดขนาดให้ได้ 5 μm และย้อมด้วยสี hematoxylin และ eosin (H&E) จากนั้นนำไปส่องด้วยกล้องจุลทรรศน์ที่กำลังขยาย 40 และ 100 เท่า เพื่อศึกษาเนื้อเยื่อของผิวนัง (Soojin et al., 2011)

เกณฑ์การประเมินผลใช้วิธีการให้คะแนนตามการออกของเส้นขน โดยจะพิจารณาจากขนที่ออกขึ้นมา แสดงดังตารางที่ 3.5 ดังนี้

ตารางที่ 3.5 เกณฑ์การให้คะแนนการอกรของเส้นขน (hair growth score) ของหนูถีบจักรสายพันธุ์ C57BL/6Mlac

คะแนน	การอกรของเส้นขนเมื่อเทียบกับพื้นที่ที่ทดสอบ
0	ไม่พบการอกรของเส้นขน
1	เส้นขนงอกน้อยกว่าร้อยละ 20
2	เส้นขนงอกมากกว่าร้อยละ 20 แต่น้อยกว่าร้อยละ 40
3	เส้นขนงอกมากกว่าร้อยละ 40 แต่น้อยกว่าร้อยละ 60
4	เส้นขนงอกมากกว่าร้อยละ 60 แต่น้อยกว่าร้อยละ 80
5	เส้นขนงอกมากกว่าร้อยละ 80

ที่มา: Naphatsorn et al., 2012

3.2.13 ทดสอบการระคายเคืองผิวหนัง (skin irritation) ในกระต่ายขาว

โดยประโยชน์ได้รับการรับรองจากคณะกรรมการสัตว์ทดลอง มหาวิทยาลัย อุบลราชธานี ทดสอบการระคายเคืองผิวหนังในกระต่ายด้วยเทคนิค closed patch test (Schmitt et al., 2008) นำกระต่ายขาวสายพันธุ์ New Zealand จำนวน 3 ตัว เพศผู้ 2 ตัว และเพศเมีย 1 ตัว โภนขนบริเวณหลังของกระต่ายให้มีขนาดประมาณ 6 cm^2 ทำการตัดผ้าทำแพลงให้ได้ขนาด $1 \times 1 \text{ cm}$ กำหนดให้กระต่าย 1 ตัว ทาตารับทั้งหมด 6 กลุ่มทดลอง คือ

กลุ่มที่ 1 คือ กลุ่มควบคุมผลลบ (negative control: gauze pad)

กลุ่มที่ 2 คือ กลุ่มควบคุมผลลบ (negative control: blank niosomes)

กลุ่มที่ 3 คือ กลุ่มควบคุมผลบวก (positive control: 5% sodium lauryl sulphate)

กลุ่มที่ 4 คือ กลุ่มทดสอบ 1% triphala niosomes

กลุ่มที่ 5 คือ กลุ่มทดสอบ 2.5% triphala niosomes

กลุ่มที่ 6 คือ กลุ่มทดสอบ 5% triphala niosomes

นำตารับทั้ง 6 กลุ่ม ปริมาณกลุ่มละ 0.1 ml ทาลงบนหลังกระต่าย ปิดทับด้วย gauze pad ที่เตรียมไว้แล้วปิดด้วยแผ่นพลาสติกที่ไม่ก่อให้เกิดการระคายเคืองผิว นำกระต่ายกลับเข้ากรงเหมือนเดิมทั้ง 4 ชั่วโมง ลังบริเวณผิวกระต่ายด้วยน้ำสะอาด ประเมินอาการแดง (erythema) และอาการบวม (edema) ด้วยการสังเกต (visual scoring) ที่เวลา 1, 24, 48 และ 72 ชั่วโมง และให้คะแนนตามเกณฑ์ในการประเมินการระคายเคืองผิว แสดงดังตารางที่ 3.6 แล้วนำผล

การทดสอบที่ได้ไปคำนวณ ตามสมการที่ 3.6 เพื่อประเมินการระคายเคืองผิวตามเกณฑ์ primary irritation index แสดงดังตารางที่ 3.7

ตารางที่ 3.6 เกณฑ์ในการประเมินการระคายเคืองผิว

ระดับการระคายเคืองผิว	สเกล
ไม่เกิดการระคายเคืองผิวนั้ง	0
อาจจะเกิดการระคายเคืองผิวนั้ง	$\pm 1/2$
มีอาการแดงและบวมเล็กน้อย	1
มีอาการแดงชัดเจนและอาการบวมเล็กน้อย	2
มีอาการแดงระดับปานกลางถึงรุนแรงและการบวมปานกลาง ขนาด ประมาณ 1 mm	3
มีอาการแดงรุนแรงและมีอาการบวมมากกว่า 1 mm	4

ที่มา: Kirwin C.J., 1984

ตารางที่ 3.7 ตัวนิยมการระคายเคืองผิว (primary irritation index)

ระดับการระคายเคืองผิว	primary irritation index
ไม่เกิดการระคายเคือง	0.0 – 0.4
เกิดการระคายเคืองเล็กน้อย	0.5 – 1.9
เกิดการระคายเคืองปานกลาง	2.0 – 4.9
เกิดการระคายเคืองรุนแรง	5.0 – 8.0

ที่มา: Kirwin C.J., 1984

$$\text{Primary Dermal Irritation Index (PDI)} = \frac{\text{PDI for 1, 24, 48 and 72 hour}}{4} \quad (3.6)$$

4

เมื่อกำหนดให้

Primary Dermal Irritation Index (PDI) คือ ระดับการระคายเคืองผิว
PDI คือ ระดับการระคายเคืองผิวที่เวลา 1, 24, 48 และ 72 ชั่วโมง

3.2.14 การวิเคราะห์ข้อมูล

การวิเคราะห์ข้อมูล ข้อมูลจากการทดลองที่ได้จะแสดงในรูป ค่าเฉลี่ย \pm ส่วนเบี่ยงเบนมาตรฐาน จากการทดลองอย่างน้อย 3 ชั้้า ได้แก่ การวิเคราะห์ปริมาณสารประกอบฟีโนลิก การตรวจวิเคราะห์ปริมาณสารเครื่องหมายในสารสกัด การทดสอบฤทธิ์ต้านอนุมูลอิสระของสารสกัด การทดสอบฤทธิ์ในการยับยั้ง 5 α -reductase การศึกษาปัจจัยที่มีผลต่อการเตรียมตัวรับ การวัดขนาดอนุภาคนีโอโซม ประจุไฟฟ้าที่ผิวน้ำภาค การวิเคราะห์หาร้อยละการกักเก็บสารสกัดพีซีในนีโอโซมจากการคำนวณ total phenolic content การวิเคราะห์หาร้อยละการกักเก็บสารเครื่องหมายในนีโอโซมจากการวิเคราะห์ด้วย HPLC การศึกษาการซึมผ่านผิวนังของสารเครื่องหมาย gallic acid และ ellagic acid จากระบบนำส่งนีโอโซม การทดสอบการระคายเคืองผิวนัง (skin irritation) ในกระต่าย และการทดสอบความคงตัวของตัวรับนีโอโซม

การหาสภาวะที่เหมาะสมสำหรับเตรียมนีโอโซม โดยวิเคราะห์ข้อมูลด้วย ANOVA ด้วยโปรแกรมสำเร็จรูป Design – Expert version 7.0 วิเคราะห์ความแตกต่างทางสถิติด้วยวิธี Duncan test โดยกำหนดระดับนัยสำคัญที่แสดงความแตกต่างที่ $p < 0.05$ ทดสอบความสัมพันธ์ของข้อมูลด้วยการวิเคราะห์ค่าสัมประสิทธิ์สหสัมพันธ์ (R^2) และวิเคราะห์ความน่าเชื่อถือของสมการทางคณิตศาสตร์ที่คำนวณได้โดยใช้วิธี Student – Fisher's test

การทดสอบฤทธิ์ในการกระตุ้นการออกของเส้นขนในหนูถีบจักร สายพันธุ์ C57BL/6Mlac แสดงในรูป ค่าเฉลี่ย \pm ค่าความคลาดเคลื่อนจากส่วนกลาง (standard error of measurement; S.E.M)

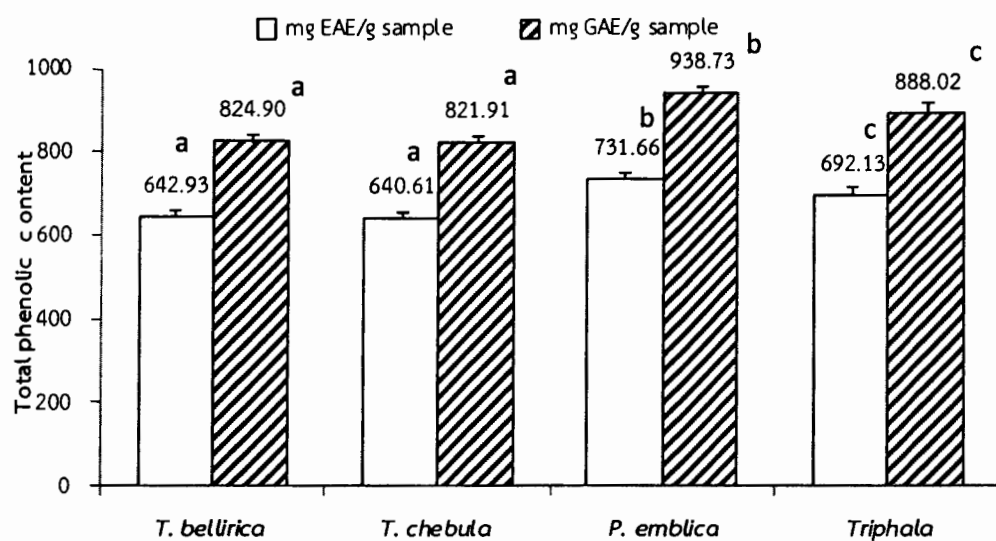
การศึกษาเนื้อเยื่อผิวนังของหนูถีบจักร สายพันธุ์ C57BL/6Mlac โดยวิเคราะห์ด้วย Dunn's Multiple Comparison Test วิเคราะห์ความแตกต่างทางสถิติด้วยวิธี Kruskal-Wallis โดยกำหนดระดับนัยสำคัญที่แสดงความแตกต่างที่ $p < 0.05$

บทที่ 4

ผลการศึกษา และการอภิปรายผล

4.1 การวิเคราะห์ปริมาณสารประกอบฟีนอลิก (total phenolic content)

สารประกอบฟีนอลิกเป็นสารที่มีฤทธิ์ทางชีวภาพหลายอย่าง เช่น ฤทธิ์ต้านการกลایพันธุ์ ต้านการเกิดมะเร็ง ต้านการอักเสบ และต้านอนุมูลอิสระ จากรายงานการวิจัยก่อนหน้านี้ พบว่า สารประกอบฟีนอลิกเป็นกลุ่มสารที่พบมากที่สุดในสารสกัดตรีผล (Singh et al., 2008) การศึกษาในครั้งนี้จึงได้วิเคราะห์สารประกอบฟีนอลิกในสารสกัดทั้ง 3 ชนิด และในสารสกัดรวม 3 ชนิด ในอัตราส่วน 1:1:1 โดยนำหนัก ที่เรียกว่าสารสกัดตรีผล วิเคราะห์ด้วยวิธี Folin-Ciocalteu สร้างกราฟมาตรฐาน gallic acid และ ellagic acid เพื่อเทียบหาปริมาณของสารประกอบฟีนอลิกที่สมมูล กับ gallic acid mg GAE/g sample และที่สมมูลกับ ellagic acid mg EAE/g sample ผลการวิเคราะห์แสดงดังภาพที่ 4.1



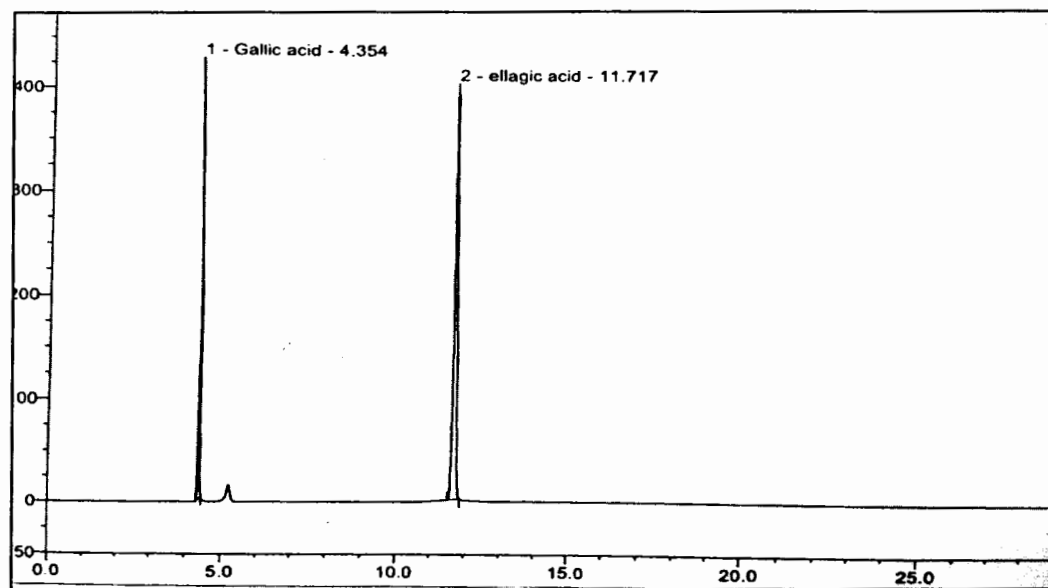
ภาพที่ 4.1 ปริมาณสารประกอบฟีนอลิกที่พบในสารสกัด *T. bellirica*, *T. chebula*, *P. emblica* และ *triphalal*, ^{*}p<0.05, ^ap<0.01, ^bp<0.001, ^cNS not significant

ปริมาณสารประกอบฟีนอลิกในสารสกัด *T. bellirica*, *T. chebula* และ *P. emblica* มีปริมาณเพิ่มขึ้นตามลำดับ คือ 640 ± 11.69 , 642.93 ± 15.23 , 731.66 ± 13.72 mg EAE/g sample และ 821.91 ± 15.00 , 824.90 ± 19.55 , 938.73 ± 17.60 mg GAE/g sample โดย *P.emblica* มีปริมาณฟีนอลิกแตกต่างจาก *T. bellirica*, *T. chebula* อย่างมีนัยสำคัญทางสถิติ ($p < 0.001$) แต่ไม่แตกต่างจากสารสกัดตรีผลฯ ($p > 0.073$) ซึ่งในสารสกัดตรีผลามีปริมาณสารประกอบฟีนอลิกในปริมาณใกล้เคียงกับสารสกัดเดี่ยว คือ 692.13 ± 23 mg EAE/g sample และ 888.02 ± 29.52 mg GAE/g sample ตามลำดับ

สารสกัดมะขามป้อมมีปริมาณสารประกอบฟีนอลิกมากที่สุด ซึ่งแตกต่างจากการศึกษาที่รายงานโดย Kumar et al., (2011) พบว่า สมอพิเกก และสมอไทย มีปริมาณสารประกอบฟีนอลิก 370.85 ± 26.80 และ 286.04 ± 3.37 mg GAE/g sample ตามลำดับ ทั้งนี้อาจเนื่องมาจากแหล่งที่มาของสมุนไพรและวิธีการสกัดสารแตกต่างกัน ทำให้ปริมาณสารที่วิเคราะห์แตกต่างกัน

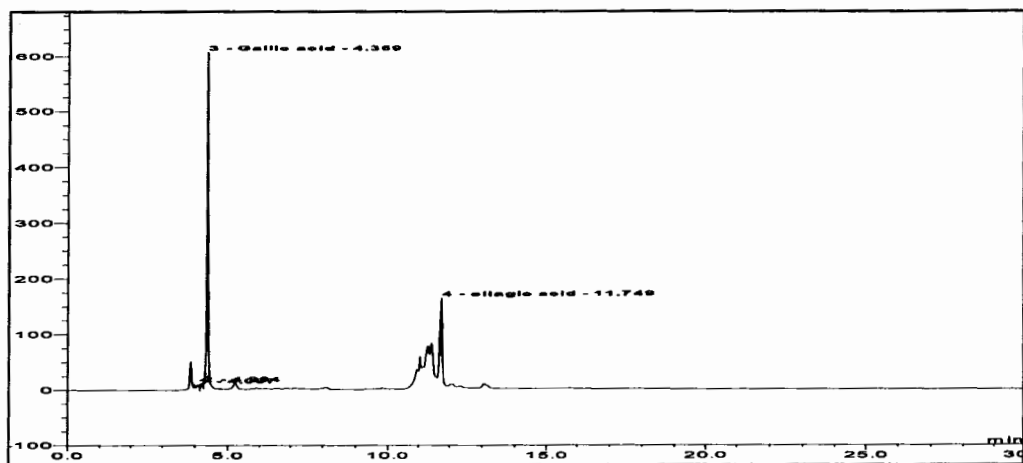
4.2 การตรวจวิเคราะห์ปริมาณสารเครื่องหมาย (marker) ในสารสกัด

การนำสารสกัดตรีผลามาเตรียมตัวรับ จำเป็นต้องควบคุมคุณภาพของสารเครื่องหมาย ซึ่งมีฤทธิ์ในการกระตุ้นการเจริญของเส้นผม โดยในการศึกษาครั้งนี้เลือก gallic acid และ ellagic acid เป็นสารเครื่องหมาย และตรวจวิเคราะห์โดยใช้เทคนิค HPLC ศึกษาสภาวะที่เหมาะสมในการวิเคราะห์โดยวิเคราะห์ด้วยระบบ gradient elution สร้างกราฟมาตรฐานของความสัมพันธ์ระหว่างความเข้มข้น gallic acid และ ellagic acid กับพื้นที่ได้พิก สมการเส้นตรง และหาสัมประสิทธิ์สหสัมพันธ์ (R^2) ผลการศึกษาลายพิมพ์ครามาทอกرافีของสารมาตรฐาน gallic acid และ ellagic acid, *T. chebula*, *T. bellirica*, *P. emblica* และ Triphala extract แสดงดังภาพที่ 4.2 – 4.4 และผลการศึกษาปริมาณ gallic acid และ ellagic cid ที่พบในสารสกัดแต่ละชนิด แสดงดังภาพที่ 4.5

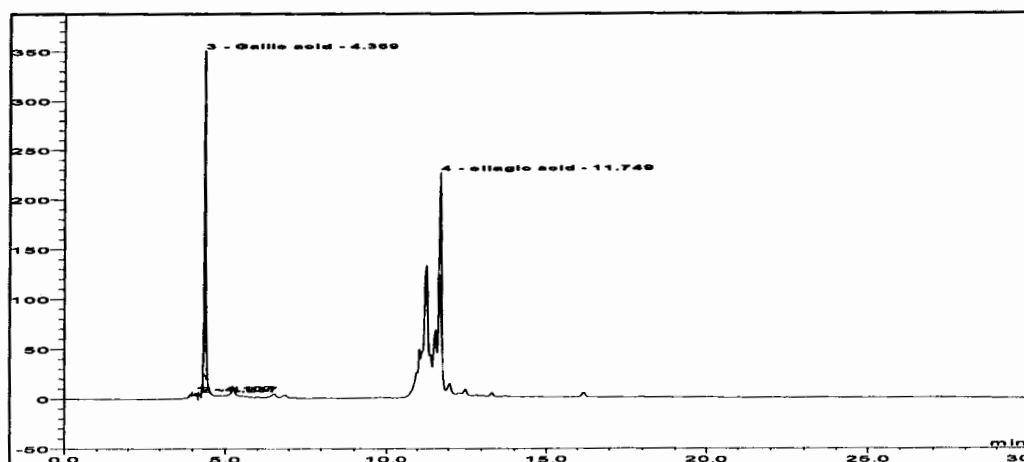


ภาพที่ 4.2 โครมาโทแกรมสารมาตรฐาน gallic acid และ ellagic acid

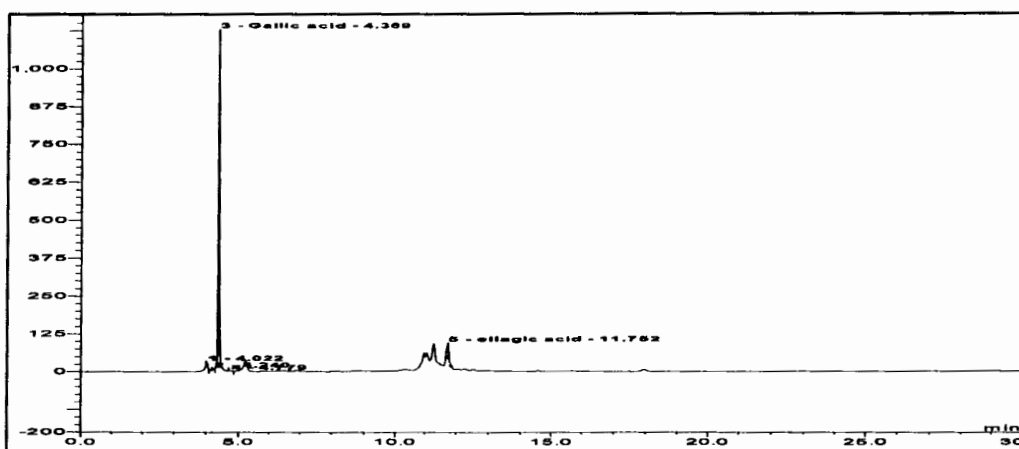
A.



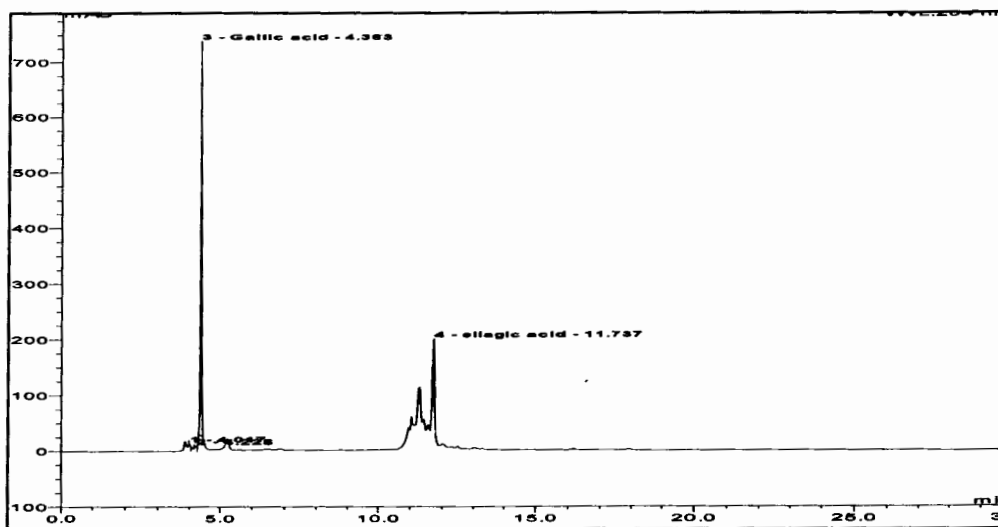
B.



C.

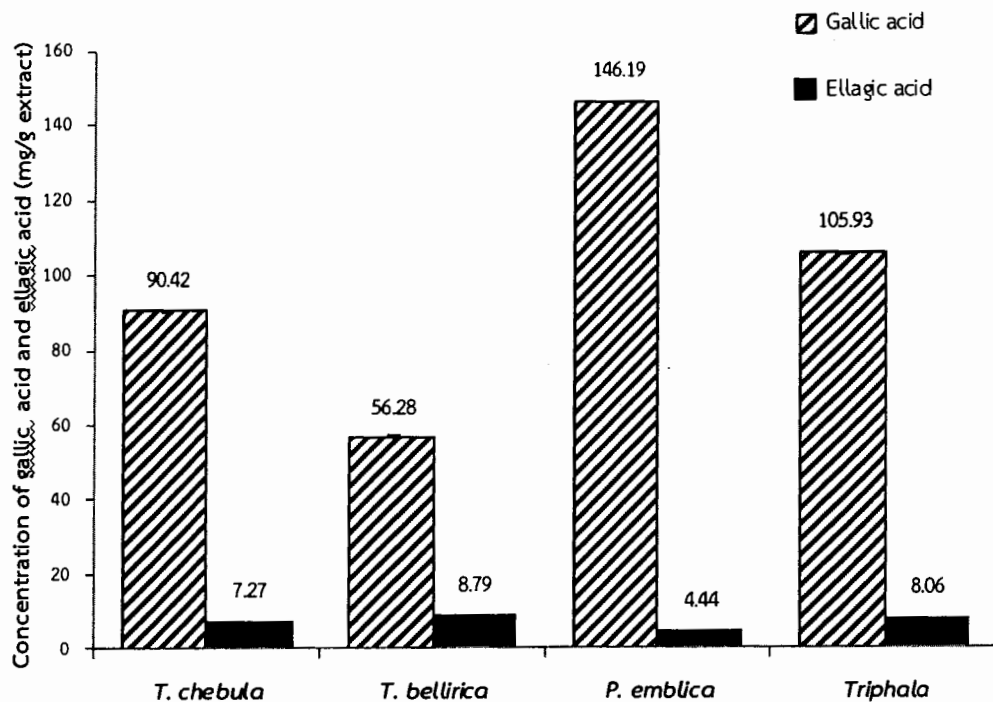


ภาพที่ 4.3 โครมาโทแกรม (A) *T. chebula*, (B) *T. bellirica*, (C) *P. emblica*



ภาพที่ 4.4 โคมาโทแกรมสารสกัดตรีผล

ภาพที่ 4.2 โคมาโทแกรมสารมาตรฐาน gallic acid และ ellagic acid โดยใช้ gallic acid และ ellagic acid ความเข้มข้นอยู่ในช่วง 0.045 – 1.56 และ 0.002 – 2 $\mu\text{g}/\text{ml}$ ค่าสมการเชิงเส้นตรง เท่ากับ $y=0.5044x + 0.157$ และ $y = 3.6417x + 0.0687$ ค่าสัมประสิทธิ์สหสัมพันธ์ (R^2) เท่ากับ 0.9982 และ 0.9985 มีค่า retention time ของ gallic acid และ ellagic acid เท่ากับ 4.4 และ 11.7 ตามลำดับ



ภาพที่ 4.5 ปริมาณ gallic acid และ ellagic acid ที่พบในสารสกัดแต่ละชนิด

โครงมาโทกราฟของสาร gallic acid และ ellagic acid ที่เป็นสารมาตรฐาน และที่พบในสารสกัด *T. bellirica*, *T. chebula*, *P. emblica* และสารสกัด triphala มี retention time เท่ากับ 4.3 และ 11.7 ตามลำดับ ปริมาณสารเครื่องหมายที่พบในสารสกัดทั้ง 3 ชนิด พบว่า *T. bellirica*, *T. chebula*, *P. emblica* มีปริมาณสาร gallic acid และ ellagic acid เท่ากับ 56.28 ± 1.07 , 90.42 ± 0.77 , 146.19 ± 0.24 และ 8.79 ± 0.01 , 7.27 ± 0.00 , 4.44 ± 0.01 mg/g extract ตามลำดับ และในสารสกัด triphala มีปริมาณ gallic acid และ ellagic acid เท่ากับ 105.93 ± 0.39 และ 8.06 ± 0.03 mg/g extract ตามลำดับ

ผลการศึกษา พบว่า สารสกัดทั้ง 3 ชนิด และสารสกัดตรีพลา มีปริมาณ gallic acid ตั้งแต่ $56.28 - 146.19$ mg/g extract และ ellagic acid $4.44 - 8.06$ mg/g extract ซึ่งมีปริมาณ gallic acid สูงกว่าปริมาณ ellagic acid สอดคล้องกับการศึกษาของ Mahdi et al., (2009) ที่พบว่า ปริมาณ gallic acid ในผลไม้ 3 ชนิด *P. emblica* มีปริมาณ gallic acid มากที่สุด (ร้อยละ 1.79 - 2.1) รองลงมา คือ *T. bellirica* (ร้อยละ 0.79-1.01) และ *T. chebula* (ร้อยละ 0.28-0.80) ตามลำดับ

4.3 การทดสอบฤทธิ์ต้านอนุมูลอิสระของสารสกัด

สาเหตุที่สำคัญประการหนึ่งของการเกิดผิวร่วง เกิดจากการมีอายุมากขึ้น ซึ่งจะทำให้ระบบการทำางานเซลล์ต่าง ๆ ทำงานได้ลดลง สาเหตุหนึ่งเกิดจากสารอนุมูลอิสระที่เกิดขึ้นภายในร่างกาย และจากการศึกษา พบว่า สารสกัดทั้งสามอย่าง สมอพิเกก และมะขามป้อม ประกอบด้วย gallic acid และ ellagic acid ที่มีฤทธิ์ต้านอนุมูลอิสระสูง (antioxidation) และคาดว่าฤทธิ์ต้านอนุมูลอิสระของสารทั้ง 2 ชนิดที่พบในสารสกัดตระผลอาจช่วยกระตุ้นการเจริญของเส้นผม โดยช่วยชะลอการแก่ของเซลล์ (Nadkarni, 1976) การศึกษาฤทธิ์ต้านอนุมูลอิสระในครั้นี้ทำการศึกษา 3 วิธี คือ ABTS⁺, DPPH[·] และ FRAP ผลการศึกษาฤทธิ์ต้านอนุมูลอิสระของสารสกัดทั้ง 3 ชนิด และในสารสกัดตระผล โดยเปรียบเทียบกับสารเครื่องหมาย 2 ชนิด คือ gallic acid และ ellagic acid แสดงดังตารางที่ 4.1

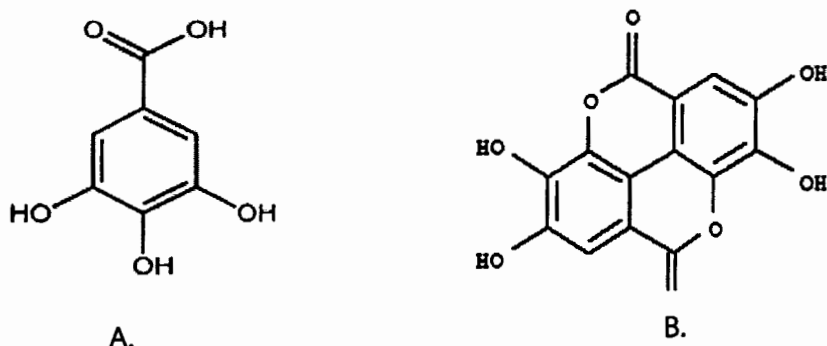
ตารางที่ 4.1 การทดสอบฤทธิ์ต้านอนุมูลอิสระของสารสกัด

Antioxidant	ABTS ⁺	DPPH [·]	FRAP
	(mg vitC/g sample)	(mg vit C/g sample)	(μmol Fe ²⁺ /g sample)
Gallic acid	2,123.50±21.02	2,393.95±66.30	163.75±6.17
Ellagic acid	1,758.32±71.66	3,166.65±84.94	161.07±1.65
<i>T. chebula</i>	264.09±7.54	370.00±5.02	37.17±0.62
<i>T. bellirica</i>	287.50±3.68	406.09±10.23	54.54±1.30
<i>P. emblica</i>	410.53±8.15	642.67±3.58	66.13±2.44
Triphala	318.06±3.59	484.27±12.98	56.11±0.41

ผลการทดสอบฤทธิ์ต้านอนุมูลอิสระของสารสกัดแต่ละชนิด โดยเปรียบเทียบกับสารเครื่องหมาย gallic acid และ ellagic acid ทดสอบ 3 วิธี โดยสารสกัดทั้ง 3 ชนิด พบว่า *T. chebula*, *T. bellirica* และ *P. emblica* มีฤทธิ์ต้านอนุมูลอิสระสูงขึ้น ตามลำดับ ส่วนในสารสกัดตระผล พบว่า มีฤทธิ์ใกล้เคียงกับสารสกัดเดี่ยวแต่ละชนิด

ฤทธิ์ต้านอนุมูลอิสระของสารประกอบฟีโนอลิก ขึ้นอยู่กับ 3 ปัจจัย คือ จำนวน hydroxyl group ในโมเลกุล ระดับการเชื่อมของ galloyl units และจำนวนการหมุนของกลุ่ม galloyl อิสระ (Hatano et al., 1990; Pulido et al., 2000) จากผลการศึกษา พบว่า สารสกัดทั้ง 3 ชนิด และสารสกัดตระผลมีฤทธิ์ต้านอนุมูลอิสระสูง เนื่องจากสารสกัดแต่ละชนิดประกอบด้วย gallic acid และ ellagic

acid ซึ่งเป็นสารที่อยู่ในกลุ่มพีนอลิก เป็นสารที่มีฤทธิ์ต้านอนุมูลอิสระ ทั้ง gallic acid และ ellagic acid มีจำนวน hydroxyl group แสดงดังภาพที่ 4.6 ซึ่งฤทธิ์ต้านอนุมูลอิสระทั้ง gallic acid และ ellagic acid เกิดจากที่ hydroxyl group ทำหน้าที่เป็นตัวรับอิเล็กตรอน และให้อิเล็กตรอนกับอนุมูลอิสระ (Sepulveda et al., 2011) และฤทธิ์ต้านอนุมูลอิสระมีความสอดคล้องกับปริมาณสารประกอบพีนอลิกที่พบในสารสกัดทั้ง 3 ชนิด และในสารสกัดตรีผลฯ ดังนั้น ฤทธิ์ต้านอนุมูลอิสระของสารสกัดตรีผลฯ น่าจะเป็นอีกคุณสมบัติหนึ่งที่ช่วยในการกระตุ้นการเจริญของเส้นผม



ภาพที่ 4.6 สูตรโครงสร้าง (A) gallic acid และ (B) ellagic acid

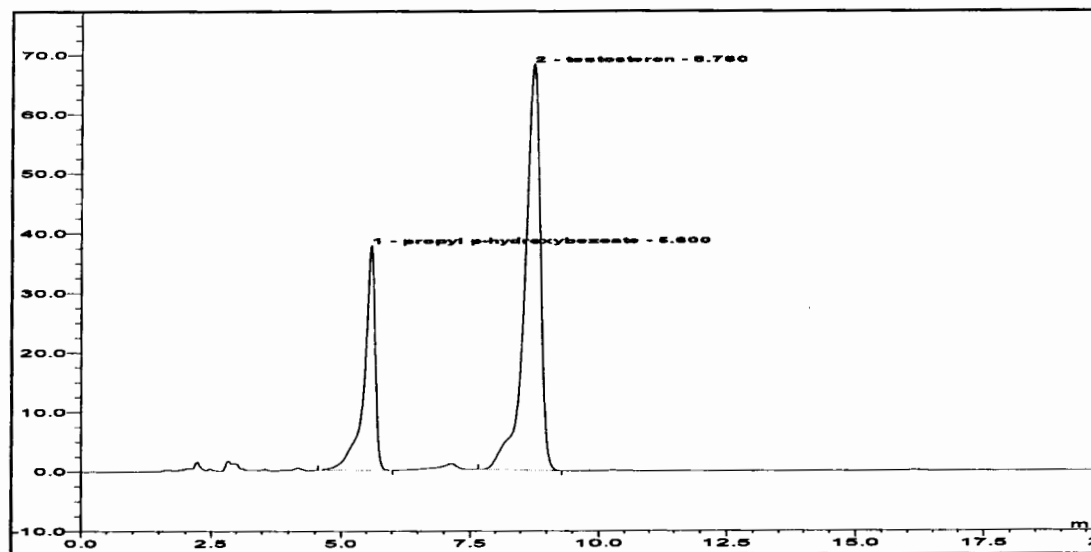
ที่มา: Salcedo et al., 1838

4.4 การทดสอบฤทธิ์ในการยับยั้ง 5 α -reductase

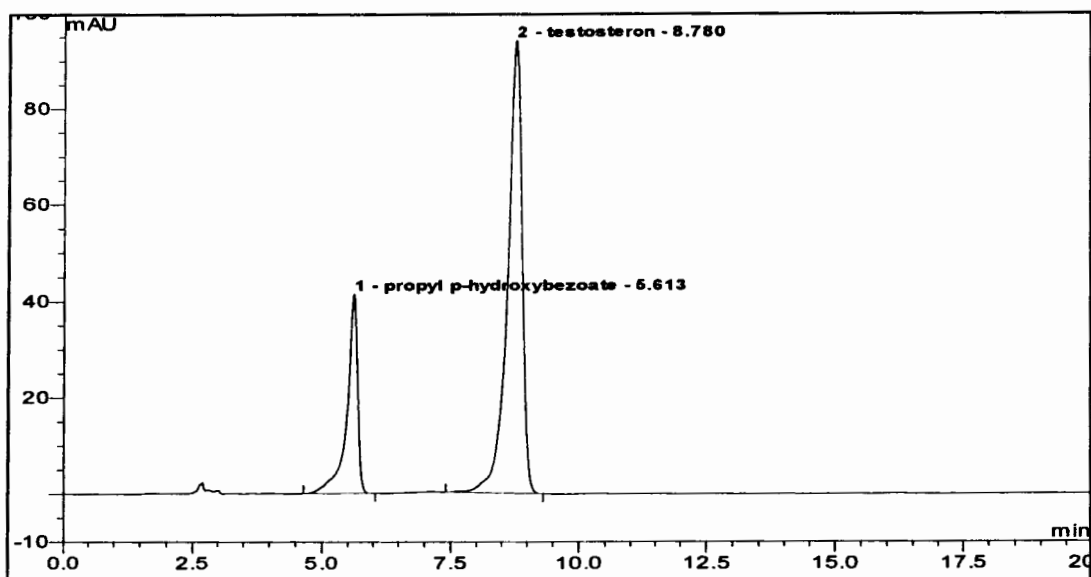
การเกิดผื่นร่วมมีหลายประการ ที่มีการศึกษากันมาก คือ เกิดจากการทำงานของเอนไซม์ 5 α -reductase ซึ่งทำหน้าที่ในการเปลี่ยน testosterone ให้เป็น dihydrotestosterone และ DHT เป็น androgen ที่มีฤทธิ์แรง เป็นสาเหตุสำคัญที่ทำให้ผู้ร่วง โดยทำให้ hair follicle มีขนาดเล็ก ทำให้เส้นผมที่เจริญขึ้นมาใหม่ ไม่แข็งแรง และในที่สุดจะทำให้เส้นผมร่วงได้ หากมีสารที่สามารถยับยั้งการทำงานของเอนไซม์ดังกล่าว จะทำให้ dihydrotestosterone ลดลง ช่วยลดการหลุดร่วงของเส้นผม การศึกษาประสิทิภพในการยับยั้งการทำงานของเอนไซม์ 5 α -reductase เป็นการศึกษาแบบ *in vitro* ของ Matsuda et al., (2001) โดยมีหลักการคือ นำสารสกัดมาทำปฏิกิริยา กับ testosterone และเอนไซม์ 5 α -reductase (rat microsomal suspension) ได้จาก การสกัดตับของหนู Sprague-Dawley วิเคราะห์ปริมาณ testosterone ด้วยเทคนิค HPLC คำนวณปริมาณการยับยั้ง (% inhibition) จากอัตราส่วนของพื้นที่ใต้พิก testosterone ต่อ internal standard จากนั้นคำนวณความสามารถในการยับยั้งเอนไซม์ 5 α -reductase จากกราฟมาตรฐาน finasteride โดยรายงานผลในรูปแบบ finasteride equivalent anti-5 α -reductase activity;

FEA (mg finasteride/g sample) ผลการศึกษาลายพิมพ์โครมาโทกราฟี complete reaction control, enzyme blank, finasteride, *T. chebula*, *T. bellirica*, *P. emblica* และ Triphala extract แสดงดังภาพที่ 4.7 - 4.10 และฤทธิ์ในการยับยั้งการทำงานเอนไซม์ 5 α -reductase แสดงดังภาพที่ 4.11

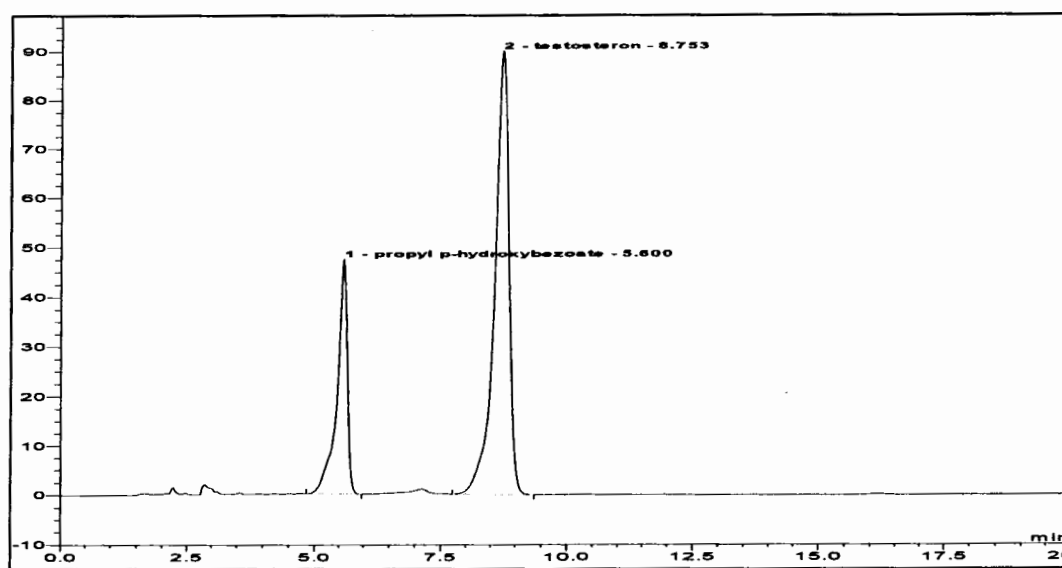
A.



B.

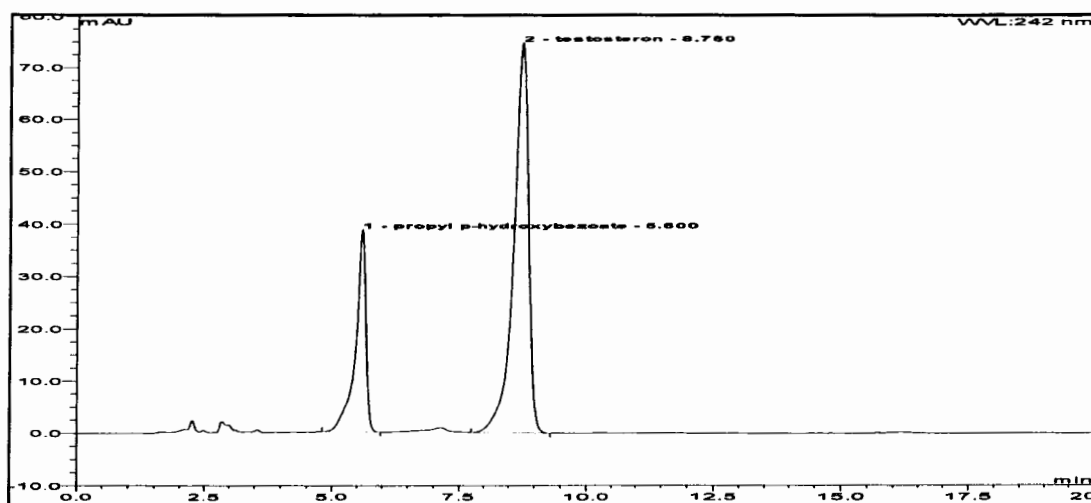


ภาพที่ 4.7 โครมาโทแกรม (A) complete reaction control และ (B) enzyme blank

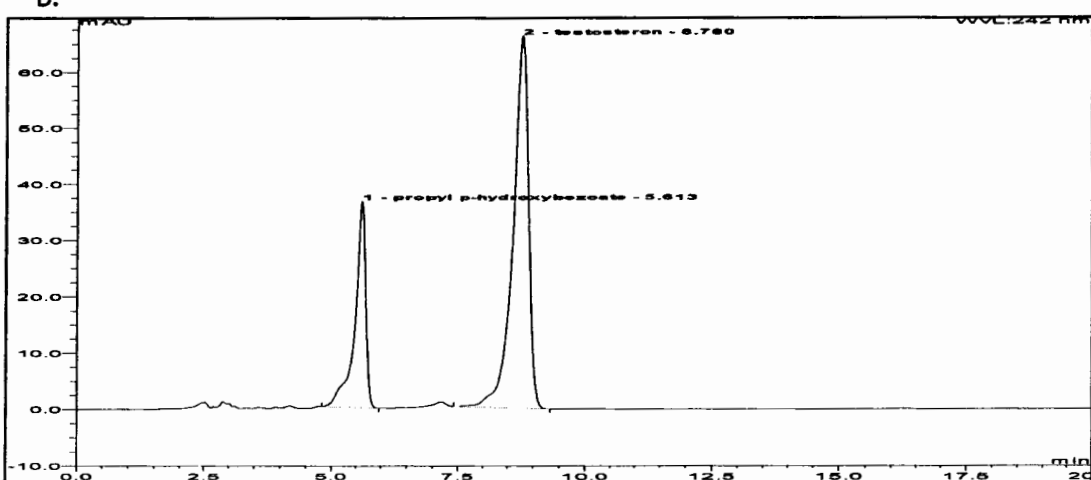


ภาพที่ 4.8 โครงมาโทแกรม $0.5 \mu\text{M}$ finasteride

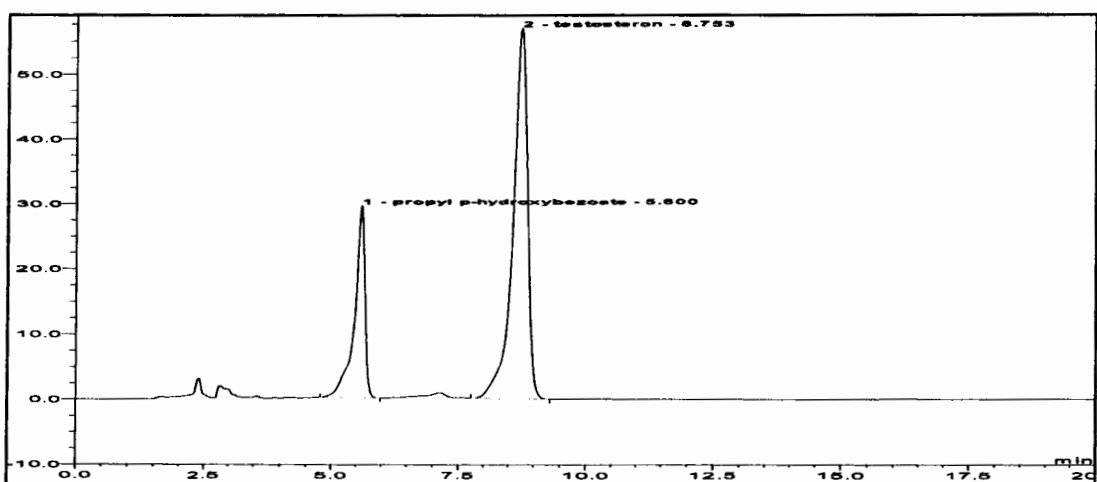
A.



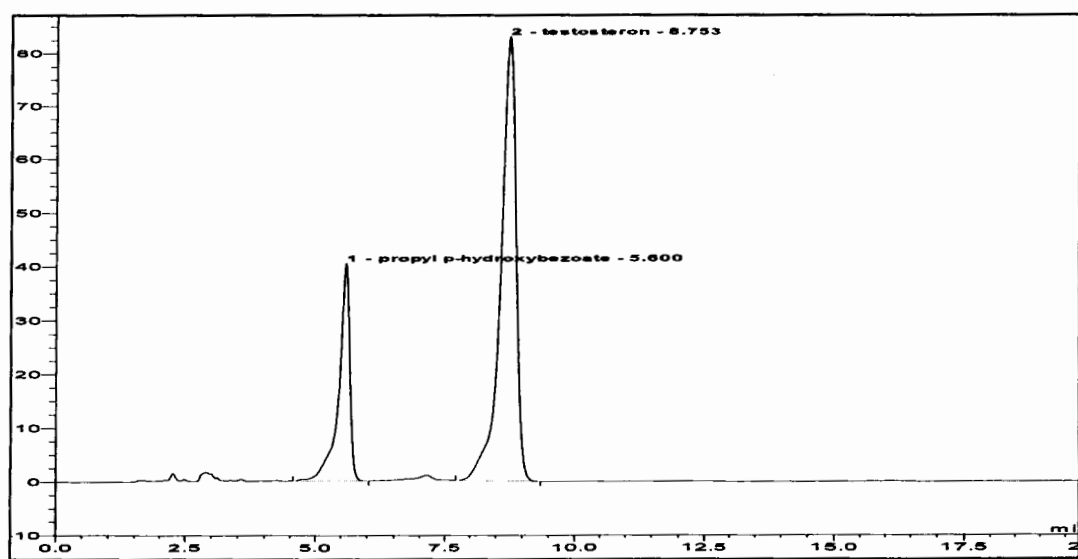
B.



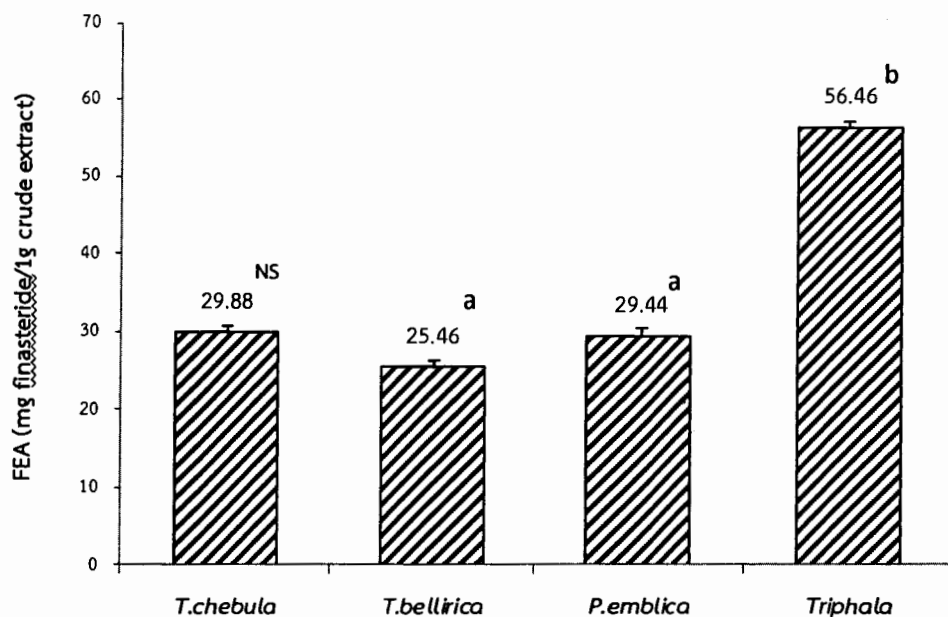
C.



ภาพที่ 4.9 โครมาโทแกรม (A) *T. chebula*, (B) *T. bellirica* และ (C) *P. emblica*



ภาพที่ 4.10 โครงมาโทแกรมสารสกัดตรีผลฯ



ภาพที่ 4.11 ฤทธิ์ในการยับยั้งการทำงานเอนไซม์ 5 α -reductase ของสารสกัดชนิดต่าง ๆ

* $p<0.05$, ^a $p<0.01$, ^b $p<0.001$, NS not significant

ผลการศึกษาฤทธิ์ในการยับยั้งการทำงานเอนไซม์ 5 α -reductase โดยโครงมาโทแกรม propyl p -hydroxybenzoate (internal standard) และ testosterone มี retention time นาทีที่ 5.5 และ 8.7 ตามลำดับ ผลการศึกษานี้สอดคล้องกับที่มีรายงานการศึกษา มี IC₅₀ ของ finasteride เท่ากับ 0.31 μ M การศึกษา (Kumar et al., 2011) เท่ากับ 0.39 μ M และการศึกษา (Park et al., 2003) เท่ากับ 0.34 μ M การศึกษาฤทธิ์ของสารสกัดในการยับยั้งการทำงานของเอนไซม์ 5 α -reductase โดยเทียบกับกราฟมาตรฐาน finasteride ในหน่วย finasteride equivalent 5 α -reductase inhibition activity (FEA) หากสารที่มีค่า FEA สูง แสดงว่าสารนั้นมีฤทธิ์ในการยับยั้งการทำงานของเอนไซม์ได้สูง เช่นกัน ผลการศึกษาพบว่า *P. emblica* แตกต่างจาก *T. bellirica* อย่างมีนัยสำคัญทางสถิติ ($p<0.05$) แต่ไม่ต่างจาก *T. chebulla* ($p>0.05$) แต่สารสกัด triphala มีฤทธิ์ในการยับยั้งมากที่สุดแตกต่างจากสารสกัดทั้ง 3 ชนิด อย่างมีนัยสำคัญทางสถิติ ($p<0.001$)

จากการศึกษา ประสีธิภาพในการยับยั้งการทำงานเอนไซม์ 5 α -reductase ของสารสกัดทั้ง 3 ชนิด และสารสกัดตรีผลฯ พบว่า สารสกัดทั้ง 3 ชนิดมีฤทธิ์ในการยับยั้งการทำงานเอนไซม์ 5 α -reductase ไม่แตกต่างกัน แต่สารสกัดตรีผลฯ มีฤทธิ์ในการยับยั้งมากที่สุด ซึ่งสารที่คาดว่าจะมีฤทธิ์ในการยับยั้งการทำงานเอนไซม์ 5 α -reductase ที่พบในสารสกัดตรีผลฯ คือ gallic acid และ ellagic acid โดยสารทั้ง 2 ชนิดมีกลุ่มแคทีคอล (catechol) อยู่ในสูตรโครงสร้าง แต่ฤทธิ์ในการยับยั้งเอนไซม์ดังกล่าวเป็นแบบอ่อน ($IC_{50} > 100 \mu M$) (Richad et al., 2002) ดังนั้น สารสกัดตรีผลฯ อาจจะมีสารชนิดอื่น ๆ ที่ช่วยในการเสริมฤทธิ์ในการยับยั้งการทำงานเอนไซม์ 5 α -reductase

การศึกษานี้แตกต่างจากการศึกษาของ Kumar et al., (2011; 2012) พบว่า *T. bellirica*, *T. chebula* และ *P. emblica* มีฤทธิ์ในการยับยั้ง 5 α -reductase เท่ากับ 11.58 ± 0.84 , 12.74 ± 0.84 และ 18.99 ± 0.40 mg finasteride/g crude extract ตามลำดับ ทั้งนี้เนื่องจากแหล่งที่มาของสารแตกต่างกัน และส่วนประกอบในสารสกัดตระผลา อาจมีสารชนิดอื่น ๆ ที่ไม่ได้ศึกษา ช่วยในการเสริมฤทธิ์การยับยั้งการทำงานเอนไซม์ 5 α -reductase ทำให้สารสกัดตระผลามีฤทธิ์มากที่สุด ดังนั้น ผลการศึกษาในครั้งนี้เป็นการสนับสนุนการใช้สารสกัดตระผลามากกว่าการใช้สารสกัดเดี่ยว ๆ และผลดังกล่าว่น่าจะช่วยลดการหลุดร่วงของเส้นผม กระตุ้นการเจริญของเส้นผมได้

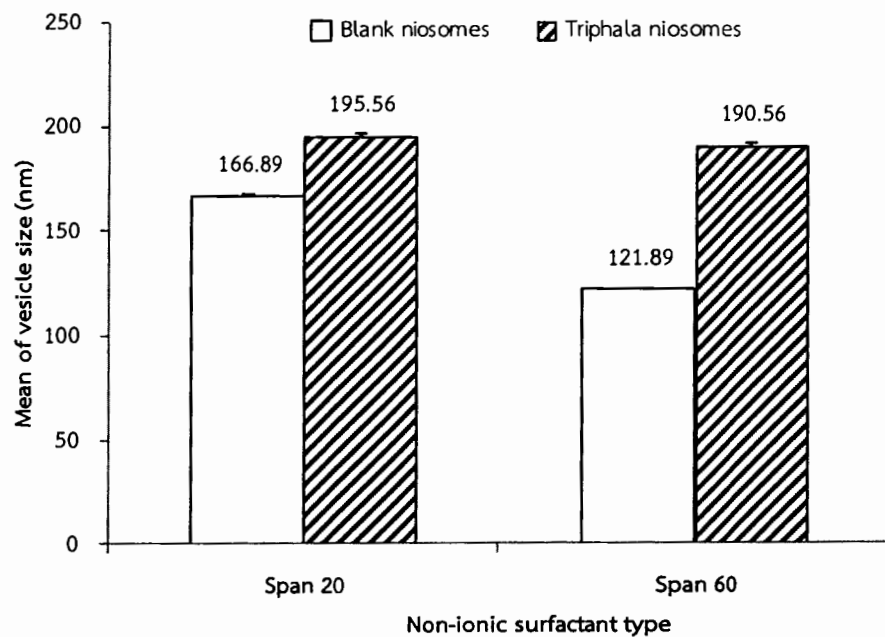
4.5 การศึกษาปัจจัยที่มีผลต่อการเตรียมตำรับนีโอลิซัม

สารสกัดจากรถมชาติ เป็นสารที่มีประโยชน์ แต่หากนำมาใช้ในรูปแบบตามธรรมชาติ จะมีปัญหาเรื่องความไม่สะดวกในการนำมาใช้ การซึมผ่านผิวหนังได้น้อย สารสกัดมีปริมาณจำกัด ดังนั้น การเตรียมสารสกัดให้ออยู่ในรูปอนุภาคนีโอลิซัม จะช่วยในการกักเก็บสารสกัดทั้งที่ละลายน้ำ และไม่ละลายน้ำ ช่วยให้สามารถซึมผ่านผิวหนังได้ดีขึ้น และช่วยนำส่งสารสกัดไปยังตำแหน่งการออกฤทธิ์ ซึ่งเป็นการเพิ่มประสิทธิภาพฤทธิ์ของสารสกัด ระบบนำส่งนีโอลิซัมเป็นระบบที่พัฒนามาจากลิโพโซม ซึ่งมีข้อดีมากกว่าหلامยประการ เช่น ระบบนีโอลิซัมมีความคงตัวทางเคมีสูง มีความปลอดภัย เนื่องจากสารลดแรงตึงผิวนิดไม่มีประจุสามารถถลายตัวในร่างกายได้ ตันทุนในการเตรียมไม่สูง เนื่องจากสารลดแรงตึงผิวนิดไม่มีประจุรากคุกกว่า phospholipid สามารถกักเก็บได้ทั้งสารที่ละลายน้ำและไม่ละลายน้ำ การเตรียมนีโอลิซัมสามารถเตรียมได้หลายวิธี ดังนั้นเพื่อเป็นการพัฒนาสูตรตำรับนีโอลิซัมเพื่อให้ได้ขนาดอนุภาคที่เหมาะสม และสามารถกักเก็บสารสกัดให้ได้มากที่สุด จำเป็นต้องศึกษาปัจจัยต่าง ๆ ที่เป็นส่วนประกอบในการเตรียมตำรับนีโอลิซัม แบ่งการศึกษาเป็น 2 ช่วง โดยช่วงแรกเป็นการศึกษาที่ละตัวแปร จากนั้นนำปัจจัยที่ศึกษาเบื้องต้นหาสภาวะที่เหมาะสมในการเตรียมนีโอลิซัมด้วยวิธีการตอบสนองพื้นผิว (response surface methodology; RSM)

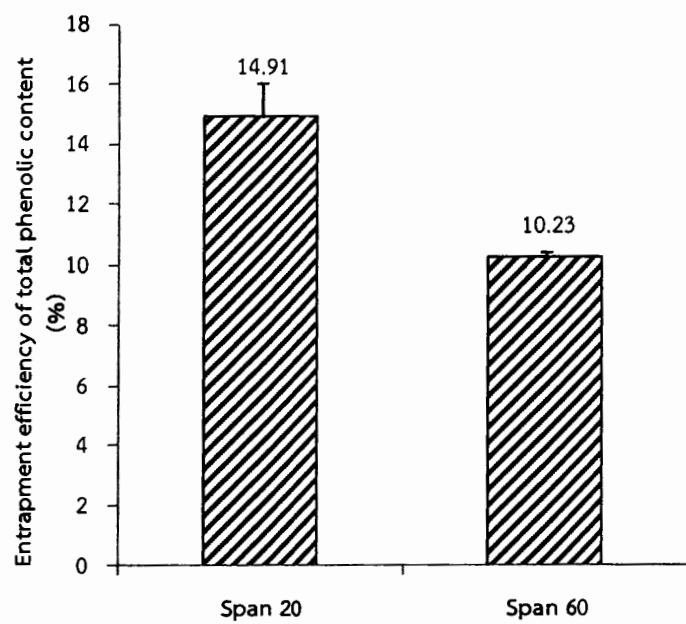
4.5.1 การศึกษาปัจจัยที่ละตัวแปร

4.5.1.1 ชนิดสารลดแรงตึงผิว (surfactant type)

จากการศึกษาเบื้องต้น ใช้สารลดแรงตึงผิวในกลุ่ม tween และ span เป็นส่วนประกอบในการเตรียมนีโอลิซัม พบว่า span ให้คุณสมบัติของอนุภาคนีโอลิซัมดีกว่า ดังนั้น จึงเลือกใช้ span นำมาศึกษาต่อ และการศึกษาในครั้งนี้เลือกใช้ span^{®20} และ span^{®60} ผลการศึกษานิดของสารลดแรงตึงผิวที่ส่งผลต่อขนาดอนุภาคนีโอลิซัม และความสามารถในการกักเก็บสารสกัด แสดงดังภาพที่ 4.12 และ 4.13



ภาพที่ 4.12 ขนาดอนุภาคนิโอโซมที่เกิดจากสารลดแรงตึงผิวนิดไม่มีประจุ



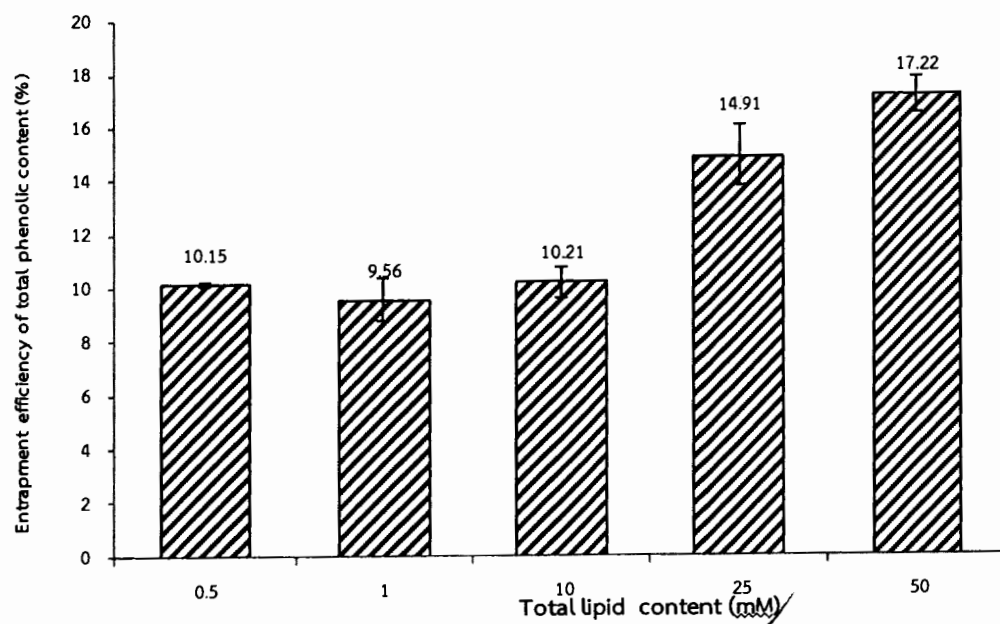
ภาพที่ 4.13 ร้อยละการกักเก็บสารสกัดที่เกิดจากสารลดแรงตึงผิวนิดไม่มีประจุ

จากการศึกษาปัจจัยในเรื่องขนาดของสารลดแรงตึงผิวนิดไม่มีประจุ ส่งผลต่อขนาดของอนุภาคน้ำอโ袖ม และร้อยละการกักเก็บสารสกัด พบว่า span[®] 20, span[®] 60 มีขนาดอนุภาคน้ำอโ袖มเท่ากับ 195.56 ± 3.21 และ 190.56 ± 3.17 nm เมื่อเทียบกับน้ำอโ袖มเปล่า Span[®] 20 และ Span[®] 60 เท่ากับ 166.89 ± 2.09 และ 121.89 ± 1.22 nm ตามลำดับ ขนาดของสารลดแรงตึงผิวที่มีผลต่อร้อยละการกักเก็บสารเครื่องหมายพบว่า Span[®] 20 ร้อยละการกักเก็บมากที่สุด

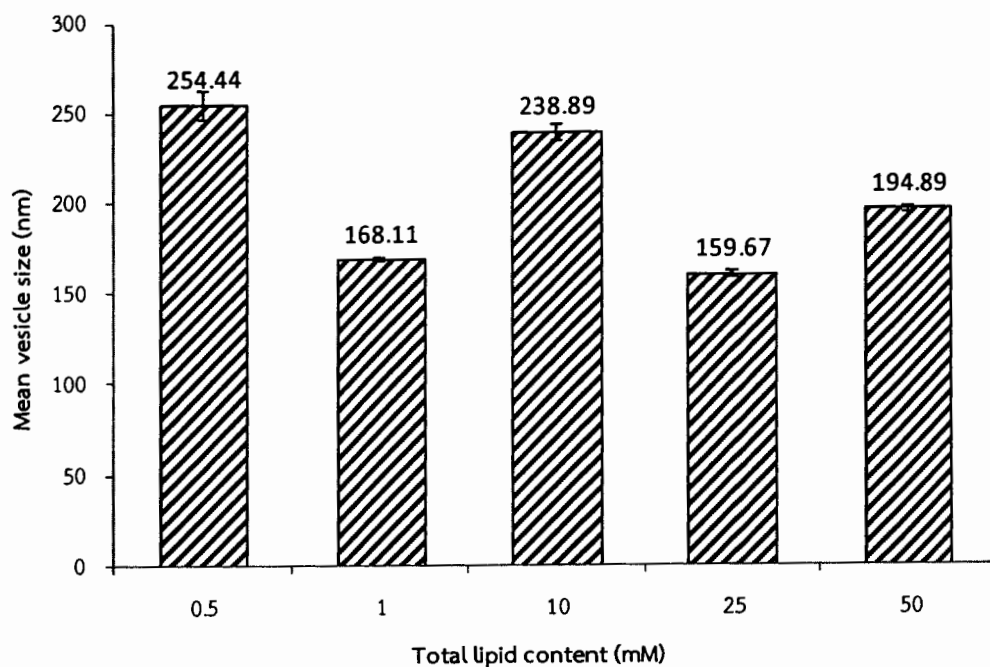
จากการศึกษานิดสารลดแรงตึงผิวนิดไม่มีประจุต่อน้ำอนุภาคน้ำอโ袖มและร้อยละการกักเก็บสารสกัด พบว่า หั้ง Span[®] 20 และ Span[®] 60 ที่มีสารสกัดตรีฟล่า (0.5%) มีขนาดน้ำอโ袖มเพิ่มขึ้นเมื่อเทียบกับน้ำอโ袖มเปล่า (blank niosomes) หั้งนี้เนื่องจากสารสกัดตรีฟล่าประกอบด้วย gallic acid และ ellagic acid ซึ่ง gallic acid จะถูกกักเก็บไว้ในส่วนของ polar head group ส่วน ellagic acid ถูกกักเก็บไว้ในส่วน lipid bilayer ทำให้น้ำอนุภาคน้ำอโ袖มมีขนาดใหญ่ขึ้น ส่วนร้อยละการกักเก็บสารสกัด พบว่า Span[®] 20 สามารถกักเก็บสารสกัดได้ดีกว่า Span[®] 60 หั้งนี้เนื่องจาก Span[®] 20 มีค่า Hydrophilic-lipophilic balance (HLB) สูงกว่า Span[®] 60 คือ 8.6 และ gallic acid เป็นสารที่สามารถละลายน้ำได้ ถูกกักเก็บในส่วน polar head group การเพิ่ม hydrophobicity ของ Span[®] 60 จึงไม่มีผลต่อการกักเก็บสารสกัด

4.5.1.2 ปริมาณไขมันทั้งหมด (total lipid content)

ปริมาณไขมันที่เป็นส่วนประกอบของอนุภาคน้ำอโ袖ม ประกอบด้วย คอเลสเตอรอล และสารลดแรงตึงผิวนิดไม่มีประจุ ผลการศึกษาปริมาณของไขมันทั้งหมดที่ส่งผลต่อขนาดอนุภาคน้ำอโ袖ม และความสามารถในการกักเก็บสารสกัด แสดงดังภาพที่ 4.14 และ 4.15



ภาพที่ 4.14 ร้อยละการกักเก็บสารสกัดที่เกิดจากปริมาณไขมันทั้งหมด



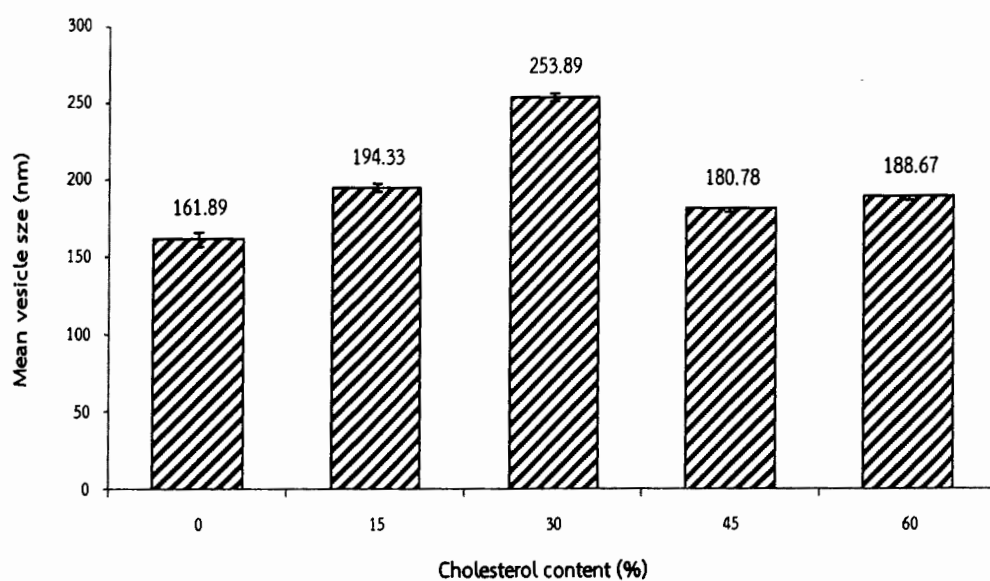
ภาพที่ 4.15 ขนาดอนุภาคน้ำอ่อนตัวที่เกิดจากปริมาณไขมันทั้งหมด

ปริมาณไขมันทั้งหมด ประกอบด้วยสารลดแรงตึงผิวและคอเลสเตอรอล ที่มีผลต่อร้อยละการกักเก็บ พบร้า ปริมาณไขมันทั้งหมด 1, 0.5, 10, 25 และ 50 mM สามารถกักเก็บได้เพิ่มขึ้น ตามลำดับ ส่วนปริมาณไขมันที่ส่งผลต่อขนาดอนุภาคนีโวโชม พบร้า ปริมาณไขมัน 25, 1, 50, 10 และ 0.5 mM ให้ขนาดอนุภาคนีโวโชมเพิ่มขึ้น ตามลำดับ

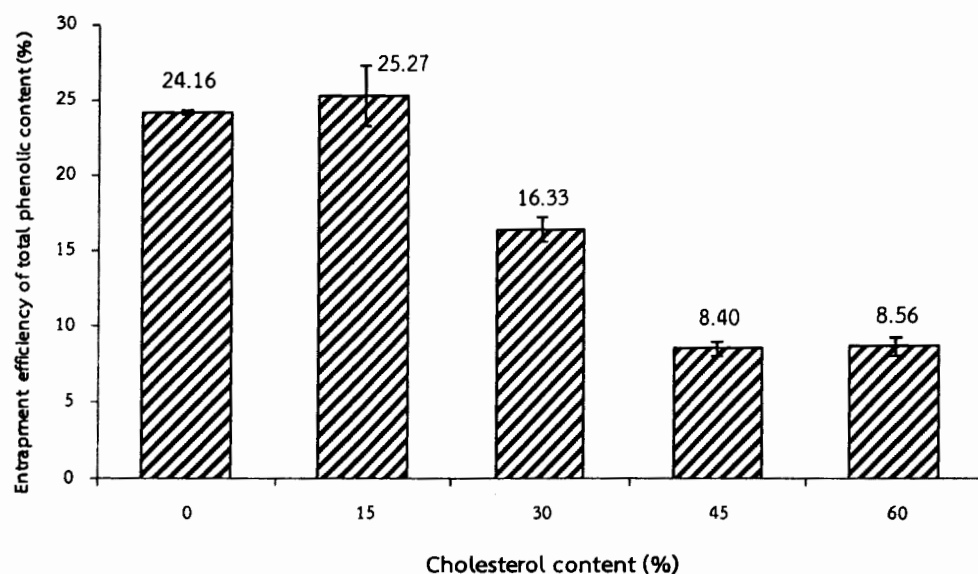
การเพิ่มปริมาณไขมันทั้งหมดจาก 0 - 10 mM จะทำให้ขนาดอนุภาคนีโวโชมเพิ่มขึ้น เนื่องจากคอเลสเตอรอลจะเข้าไปแทรกในส่วน lipid bilayer ของอนุภาคนีโวโชม และการกักเก็บสารสกัดจะถูกกักเก็บในส่วนของ lipid bilayer และ polar head group ทำให้ขนาดอนุภาคนีโวโชมใหญ่ขึ้น แต่ร้อยละการกักเก็บสารสกัดไม่แตกต่างกัน ทั้งนี้เนื่องจากปริมาณคอเลสเตอรอลยังมีปริมาณต่ำ ทำให้ผนังอนุภาคนีโวโชมไม่แข็งแรง จึงทำให้การกักเก็บสารสกัดได้น้อย และเมื่อเพิ่มปริมาณไขมันทั้งหมด 25 - 50 mM ขนาดอนุภาคนีโวโชมใหญ่ขึ้น และการกักเก็บสารสกัดเพิ่มขึ้น เนื่องจากจำนวนอนุภาคของนีโวโชนมีมากขึ้น สำหรับการกักเก็บสาร (Uchegbu and Vyas, 1998)

4.5.1.3 ปริมาณคอเลสเตอรอล (cholesterol content)

ปริมาณคอเลสเตอรอลเป็นส่วนประกอบอนุภาคนีโวโชม โดยทำให้อนุภาคนีโวโชมมีความคงตัวได้ดีขึ้น ทำให้ผนังอนุภาคนีโวโชมมีความแข็งแรง การศึกษาปริมาณคอเลสเตอรอลที่ส่งผลต่อขนาดอนุภาคนีโวโชมและความสามารถในการกักเก็บสารสกัด แสดงดังภาพที่ 4.16 และ 4.17



ภาพที่ 4.16 ขนาดอนุภาคน้ำอิฐมที่เกิดจากปริมาณคอเลสเทอรอลต่าง ๆ



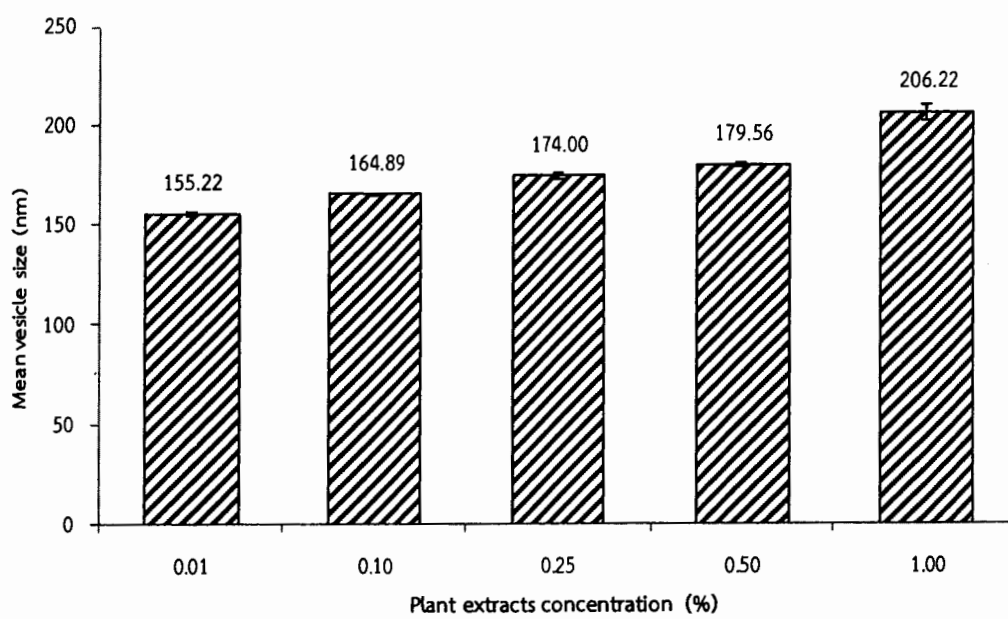
ภาพที่ 4.17 ร้อยละการกักเก็บสารสกัดที่เกิดจากปริมาณคอเลสเทอรอลต่าง ๆ

จากการศึกษาปริมาณคอเลสเทอรอลที่มีผลต่อขนาดอนุภาคนีโอโซม พบร่วมกับคอลเลสเทอรอลร้อยละ 0, 45, 60, 15 และ 30 ทำให้ขนาดอนุภาคนีโอโซมเพิ่มขึ้น ตามลำดับ ส่วนปริมาณคอเลสเทอรอลที่มีผลต่อร้อยละการกักเก็บสารสกัด พบร่วมกับคอลเลสเทอรอลร้อยละ 45, 60, 30, 0 และ 15 สามารถกักเก็บสารเครื่องหมายได้เพิ่มขึ้น ตามลำดับ

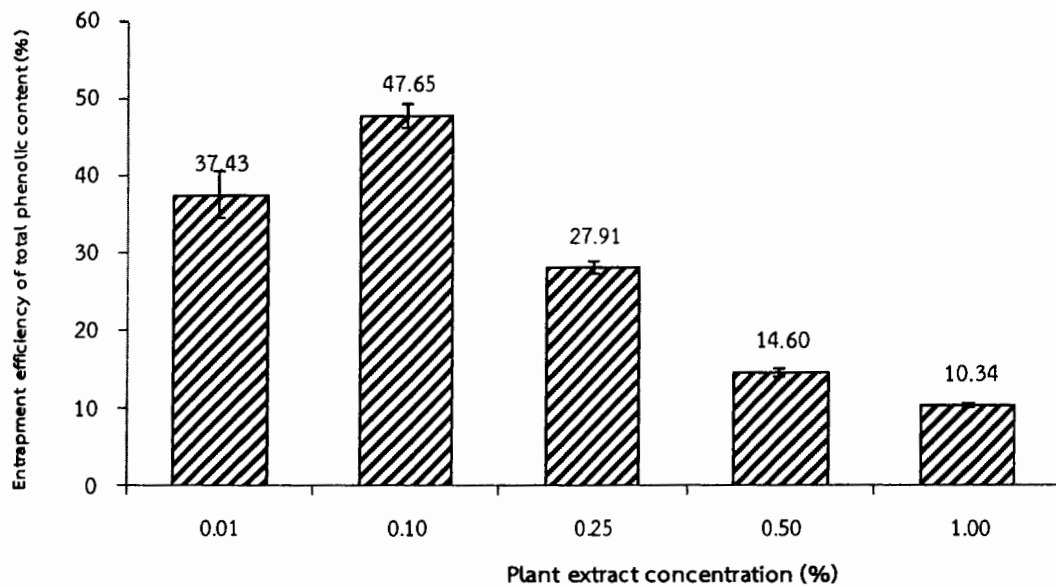
จากการศึกษาการเพิ่มปริมาณคอเลสเทอรอล ตั้งแต่ร้อยละ 0 – 30 จะทำให้ขนาดนีโอโซมเพิ่มขึ้น เนื่องจากคอเลสเทอรอลที่เพิ่มขึ้นจะเข้าไปแทรกในส่วน lipid bilayer และการกักเก็บสารสกัดที่ lipid bilayer และ polar head group ทำให้อนุภาคนีโอโซมมีขนาดใหญ่ขึ้น ร้อยละการกักเก็บสารสกัดเพิ่มขึ้น เนื่องจากคอเลสเทอรอลที่เข้าไปแทรกในส่วน lipid bilayer ทำให้ lipid bilayer มีความเป็น hydrophobicity และทำให้อนุภาคมีความคงตัวเพิ่มขึ้น (Berndsdorff et al., 1997; Gregoriadis and Davis, 1979) จึงสามารถกักเก็บสารสกัดได้มากขึ้น แต่เมื่อเพิ่มปริมาณคอเลสเทอรอลตั้งแต่ร้อยละ 45 – 60 กลับพบว่า ขนาดอนุภาคนีโอโซมไม่แตกต่างกัน แต่ร้อยละการกักเก็บสารสกัดลดลง ทั้งนี้เนื่องจากปริมาณคอเลสเทอรอลที่เพิ่มขึ้นจะเข้าไปแทรกในส่วน lipid bilayer เกิดการแข่งขันกันระหว่างคอเลสเทอรอลกับสารสกัดในการแทรกเข้าไปในพื้นที่ว่างของ lipid bilayer และการเพิ่มปริมาณคอเลสเทอรอลเกินขีดจำกัด อาจไปรบกวนโครงสร้างเคมีเบรนที่เป็นเส้นตรงปกติของอนุภาคได้ (EL-Samaligy et al., 2006) ทำให้อนุภาคนีโอโซมไม่เพิ่มขึ้นเมื่อมีการเพิ่มปริมาณคอเลสเทอรอล

4.5.1.4 ปริมาณสารสกัด (plant extract content)

เมื่อศึกษาส่วนประกอบในการเตรียมอนุภาคนีโอโซมทั้งชนิดสารลดแรงตึงผิวนิดไม่มีประจุ ปริมาณไขมันทั้งหมด และปริมาณคอเลสเทอรอล ส่วนที่สำคัญคือ การศึกษาปริมาณสารสกัดที่สามารถกักเก็บได้ในระบบนีโอโซม ซึ่งตามปกติอนุภาคนีโอโซมสามารถกักเก็บสารสกัดได้ทั้งชนิดที่ละลายน้ำ และไม่ละลายน้ำ ผลการศึกษาปริมาณสารสกัดที่ส่งผลต่อขนาดอนุภาคนีโอโซม และความสามารถในการกักเก็บสารสกัด แสดงดังภาพที่ 4.18 และ 4.19



ภาพที่ 4.18 ขนาดอนุภาคน้ำโสมที่เกิดจากปริมาณสารสกัดความเข้มข้นต่าง ๆ



ภาพที่ 4.19 ร้อยละการกักเก็บสารสกัดที่เกิดจากปริมาณสารสกัดความเข้มข้นต่าง ๆ

จากการศึกษาปริมาณสารสกัดที่มีผลต่อน้ำดื่มน้ำภาคนีโอลิซม พบร้า สารสกัดร้อยละ 0.01, 0.10, 0.25, 0.5 และ 1.0 ให้น้ำดื่มน้ำภาคนีโอลิซมเพิ่มขึ้น ตามลำดับ ปริมาณสารสกัดที่มีผลตอร้อยละการกักเก็บสารสกัด พบร้า สารสกัดร้อยละ 1.0, 0.5, 0.25, 0.01 และ 0.10 สามารถกักเก็บสารสกัดได้เพิ่มขึ้น ตามลำดับ

จากการศึกษาการเพิ่มร้อยละของสารสกัดตั้งแต่ 0.01 – 0.10 พบร้า ขนาดอนุภาคนีโอลิซมเพิ่มขึ้น ร้อยละการกักเก็บสารสกัดมากขึ้น ทั้งนี้เนื่องจากสารสกัดที่ประกอบด้วย gallic acid ถูกกักเก็บในส่วน polar head group ส่วน ellagic acid ถูกกักเก็บในส่วน lipid bilayer ทำให้อนุภาค นีโอลิซมมีขนาดเพิ่มขึ้น แต่มีอัตราปริมาณร้อยละของสารสกัดตั้งแต่ 0.25 – 1.00 กลับพบร้า ขนาดอนุภาคนีโอลิซมเพิ่มขึ้น แต่ร้อยละการกักเก็บสารสกัดลดลง ทั้งนี้อาจเนื่องมาจากสารสกัดมีปริมาณของสารสกัดที่ละลายน้ำมาก แต่พื้นที่ในการกักเก็บสารสกัดในส่วนของ polar head group มีพื้นที่จำกัด ทำให้การกักเก็บสารสกัดลดลง ส่วนปริมาณสารสกัดที่ไม่ละลายน้ำมีปริมาณน้อย แต่พื้นที่ในการกักเก็บสารสกัดใน lipid bilayer มีพื้นที่มาก ทำให้ยังสามารถกักเก็บสารสกัดไว้ได้ ซึ่งการศึกษานี้คล้ายกับการศึกษาของ Pham et al., (2012) ศึกษาเปรียบเทียบการเตรียมลิโพโซมและนีโอลิซมเพื่อกักเก็บ caffeine ซึ่งเป็นสารที่ละลายน้ำได้ และ spironolactone ซึ่งเป็นสารที่ละลายน้ำได้น้อย พบร้า ร้อยละการกักเก็บ caffeine อยู่ระหว่าง 2.5 - 9.7

การศึกษาปัจจัยที่มีผลต่อการเตรียมตัวรับนีโอโซม เพื่อให้ได้ขนาดอนุภาคนีโอโซมที่เหมาะสมอยู่ในช่วง 100 - 400 nm ซึ่งเป็นขนาดที่มีความเหมาะสมในการนำส่งทางรูขุมขน และร้อยละการกักเก็บสารสกัดให้ได้ปริมาณมากที่สุด ผลการศึกษาร้อยละการกักเก็บสารสกัดในอนุภาคนีโอโซมจากการศึกษาปัจจัยต่าง ๆ แสดงดังตารางที่ 4.2

ตารางที่ 4.2 ร้อยละการกักเก็บสารสกัดในอนุภาคนีโอโซมจากการศึกษาปัจจัยต่าง ๆ

ปัจจัยที่ศึกษา		ร้อยละการกักเก็บสารสกัด
ชนิดสารลดแรงตึงผิวนิดไม่มีประจุ	span 20	14.91±1.14
	span 60	10.23±0.22
ปริมาณไขมัน (mM)	0.50	9.55±0.37
	1.00	10.15±0.07
	10.00	9.56±0.80
	25.00	10.21±0.58
	30.00	14.91±1.14
	50.00	17.22±0.70
ปริมาณคอเลสเทอรอล (%)	0.00	24.16±0.13
	15.00	25.27±2.04
	30.00	16.33±0.79
	45.00	8.40±0.47
	80.00	8.56±0.67
ปริมาณสารสกัดรีผลา (%)	0.01	37.43±2.97
	0.10	47.65±1.56
	0.25	27.91±0.82
	0.50	14.60±0.48
	1.00	10.34±0.31

ตารางที่ 4.3 ขนาดอนุภาค ค่าการกระจายอนุภาค ค่าประจุไฟฟ้าที่ผิวนุภาค และร้อยละการกักเก็บสารสกัด ที่ได้จากการศึกษาปัจจัยเบื้องต้น

ปัจจัยการศึกษาที่เหมาะสมสำหรับ การเตรียมนีโอโซม	ขนาดอนุภาค	การกระจาย อนุภาค	ค่าประจุไฟฟ้าที่ ผิวนุภาค	ร้อยละการกัก เก็บสารสกัด
	(nm)		(mV)	(%)
ปริมาณไขมันทั้งหมด 30 mM สารสกัดตรีผลา 0.5%	195.56±1.52	0.07±0.03	-38.47±0.98	14.91±1.14
ปริมาณไขมันทั้งหมด 50 mM สารสกัดตรีผลา 0.5 %	194.89±1.70	0.08±0.02	-40.68±0.25	17.22±0.70
ปริมาณไขมันทั้งหมด 50 mM สารสกัดตรีผลา 0.5% คอลเลสเทอโรล 15%	194.33±2.54	0.19±0.03	-38.13±0.76	25.27±2.04
ปริมาณไขมันทั้งหมด 50 mM คอลเลสเทอโรล 15% ปริมาณสารสกัดตรีผลา 0.1%	164.89±0.47	0.20±0.01	-36.68±0.70	47.65±1.56

ผลการศึกษาปัจจัยเบื้องต้น ที่มีผลต่อการเตรียมตำรับนีโอโซมเพื่อให้ได้ขนาดอนุภาคนีโอโซมอยู่ในช่วง 100 – 400 nm และให้ได้ร้อยละการกักเก็บสารสกัดมากที่สุด พบว่า สารลดแรงตึงผิวนิดไม่มีประจุที่เหมาะสม คือ span[®] 20 ปริมาณไขมันทั้งหมด เท่ากับ 50 mM ปริมาณคอลเลสเทอโรลร้อยละ 15 และปริมาณสารสกัดร้อยละ 0.10 ตามลำดับ ได้ขนาดอนุภาค ค่าการกระจายอนุภาค ค่าประจุไฟฟ้าที่ผิวนุภาค และร้อยละการกักเก็บสารสกัด แสดงดังตารางที่ 4.3

ตารางที่ 4.4 ค่าประจุไฟฟ้าของสารสกัดตรีผลความเข้มข้นต่าง ๆ ในน้ำปราศจากไօออน ($n=3$)

ความเข้มข้นสารสกัดตรีผล (mg/ml)	ค่าประจุไฟฟ้าสารสกัดตรีผล (mV)
0.20	-18.90± 4.49
0.40	-19.57±10.21
0.80	-19.23±3.11
1.00	-22.90±7.37
2.00	-22.70±1.85
20.00	-21.27±2.91

เมื่อนำสารสกัดตรีผลวัดค่าประจุไฟฟ้า พบร้า สารสกัดตรีผลมีค่าประจุไฟฟ้าเป็นลบอยู่ในช่วง (-18.90) – (-22.90) mV ซึ่งประจุไฟฟ้าของสารสกัดตรีผลมาเกิดจากการเกิดพันธะไฮโดรเจนจากหมู่ไฮดรอกซี (OH group) ที่อยู่ในโครงสร้างของสาร gallic acid และ ellagic acid และการเพิ่มความเข้มข้นของสารสกัดไม่มีผลต่อค่าประจุไฟฟ้าของสารสกัดตรีผล ดังนั้น เมื่อนำสารสกัดตรีผลมา กักเก็บในนีโอโซม จะทำให้ค่าประจุไฟฟ้าที่ผิวนุภาคนีโอโซมเพิ่มขึ้น เนื่องจากการเกิดพันธะไฮโดรเจนระหว่างสารลดแรงตึงผิวนิดไม่มีประจุ กับคอลเลสเตอรอล (Huh et al., 1996) และพันธะไฮโดรเจนที่เกิดจากสารสกัดตรีผล

4.5.2 การหาสภาวะที่เหมาะสมสำหรับเตรียมนีโอโซมด้วยวิธีตอบสนองพื้นผิว

เมื่อได้ข้อมูลปัจจัยที่มีผลต่อการเตรียมตัวรับนีโอโซมแล้ว จึงนำปัจจัยตัวแปรต้นที่ศึกษาคือ ปริมาณไขมันทั้งหมด คอลเลสเตอรอล และสารสกัดพีช มาหาสภาวะที่เหมาะสมในการเตรียมนีโอโซม โดยกำหนดปัจจัยตัวแปรตามที่ต้องการคือ 1) ร้อยละการกักเก็บสารเครื่องหมายในนีโอโซม (% entrapment efficiency) 2) ขนาดผิวนุภาคนีโอโซม (particle size) ด้วยวิธีการตอบสนองพื้นผิวโดยใช้โปรแกรม Design-Expert[®] version 7 วิธีนี้มีข้อดีกว่าวิธีเดิมคือ สามารถศึกษาตัวแปรหลายๆ ชนิดพร้อมกัน ทราบผลกระทบที่เกิดจากตัวแปรที่ศึกษาร่วมกัน และใช้เวลาไม่นานในการศึกษา โดยการเตรียมสูตรตัวรับนีโอโซมทั้งหมด 20 สูตรตัวรับ แสดงผลค่าตอบสนองเป็นค่าเฉลี่ย ดังแสดงในตารางที่ 4.5 จากนั้นนำเข้าสู่โปรแกรม Design-Expert[®] version 7 ผลการศึกษาสภาวะที่เหมาะสมสำหรับเตรียมนีโอโซมด้วยวิธีตอบสนองพื้นผิว ดังแสดงในตารางที่ 4.6

ตารางที่ 4.5 ขนาดอนุภาคนีโอโซม และร้อยละการกักเก็บสารสกัดที่ได้จากการทดลองด้วยวิธี RSM – CCD, โดยการแสดงผลจากค่าเฉลี่ย

สูตรตัวรับ	ไขมันทั้งหมด	คอเลสเทอรอล	สารสกัดพีช	ขนาดอนุภาค	การกักเก็บสารสกัดพีช
	(mM)	(%)	(%)	(nm)	(%)
1	32.50	25.00	0.20	194.56	22.81
2	32.50	25.00	0.20	194.00	20.83
3	50.00	40.00	0.30	203.56	12.22
4	32.50	25.00	0.20	207.00	19.14
5	32.50	25.00	0.20	195.44	15.71
6	15.00	10.00	0.10	137.44	11.09
7	32.50	0.00	0.20	154.44	18.3
8	32.50	25.00	0.20	204.89	25.23
9	32.50	25.00	0.20	211.00	22.14
10	15.00	40.00	0.30	207.78	10.26
11	50.00	10.00	0.10	168.22	47.54
12	32.50	50.23	0.20	169.67	16.33
13	32.50	25.00	0.03	155.33	38.3
14	32.50	25.00	0.37	207.67	10.16
15	50.00	40.00	0.10	190.00	25.56
16	15.00	40.00	0.10	156.44	19.35
17	61.93	25.00	0.20	245.78	38.34
18	15.00	10.00	0.30	135.00	10.98
19	50.00	10.00	0.30	196.11	34.48
20	3.07	25.00	0.20	126.00	9.36

การพัฒนาตัวรับนีโอโซมเพื่อหาสภาวะที่เหมาะสมของสูตรตัวรับนีโอโซมโดยวิธีตอบสนองพื้นผิวด้วยวิธีการออกแบบส่วนผสมกลาง (Response surface methodology with Central composite design; RSM – CCD) โดยมีตัวแปรอิสระ คือปริมาณไขมันทั้งหมด (X_1), ปริมาณคอเลสเตอรอล (X_2) และปริมาณสารสกัด (X_3) โดย X_1 มีค่าอยู่ระหว่าง 15 – 50 mM, X_2 มีค่าอยู่ระหว่างร้อยละ 10 - 40 และ X_3 มีค่าอยู่ระหว่างร้อยละ 0.1 – 0.3 ค่าของตัวแปรเหล่านี้ได้จากการทดสอบเบื้องต้น และประเมินค่าการตอบสนองจากขนาดอนุภาค (Y_1) และร้อยละการกักเก็บสารสกัด (Y_2) จากการทดลอง พบร่วม สภาวะจากการเตรียมสูตรตัวรับนีโอโซม 20 สูตรตัวรับ โดยมีขนาดอนุภาคนีโอโซมอยู่ระหว่าง 126 - 245 nm และร้อยละการกักเก็บสารสกัดอยู่ระหว่าง 10.26 - 47.54 ดังแสดงในตารางที่ 4.5 และผลการศึกษาสภาวะที่เหมาะสมของสูตรตัวรับนีโอโซมโดยวิธีตอบสนองพื้นผิว ด้วยวิธีการออกแบบส่วนผสมกลาง (Response surface methodology with Central composite design; RSM – CCD) สามารถแสดงความสัมพันธ์ระหว่างปัจจัยของตัวแปรอิสระคือ ปริมาณไขมันทั้งหมดในตัวรับ ร้อยละของคอเลสเตอรอล และความเข้มข้นของสารสกัด กับค่าการตอบสนองเป็นสมการพหุนามกำลังสอง คือ ขนาดอนุภาค และร้อยละการกักเก็บสารสกัด และมีค่า R^2 เท่ากับ 0.8546 และ 0.8971 ตามลำดับ ดังนี้

$$\text{ขนาดอนุภาค} = 201.20 + 23.63X_1 + 10.74X_2 + 13.06X_3 - 7.82X_1X_2 - 0.93X_1X_3 + 4.93X_2X_3 \\ 5.55X_1^2 - 13.97X_2^2 - 7.10X_3^2$$

$$\text{ร้อยละการกักเก็บสารสกัด} = 21.41 + 8.56X_1 - 2.93X_2 - 6.07X_3 - 6.47X_1X_2 - 2.15X_1X_3 - 1.16X_2X_3$$

สมการพหุนามกำลังสอง (quadratic) ที่แสดงข้างต้น เป็นแบบจำลองทางคณิตศาสตร์ที่เหมาะสมที่สุด สามารถพิจารณาได้จากค่า R^2 ค่า R^2_{adj} ค่า p-value ของ Lack of fit แสดงดังตารางที่ 4.6 และ 4.7

ตารางที่ 4.6 ผลการวิเคราะห์ความแปรปรวนของ regression coefficient ของขนาดอนุภาค และร้อยละการกักเก็บสารสกัด

Source	ขนาดอนุภาค		ร้อยละการกักเก็บสารสกัด	
	Regression coefficients	F-value	Regression coefficients	F-value
β_0	201.20		21.41	
Linear				
X_1	23.63	28.53*	8.56	56.57*
X_2	10.74	5.89*	-2.93	6.63*
X_3	13.06	12.38*	-6.07	28.49*
Quadratic				
X_1^2	-5.55	NS 1.66		
X_2^2	-13.97	*		
X_3^2	-7.10	NS 2.72		
Interaction				
$X_1 X_2$	-7.82	NS 1.83	-6.47	18.96 *
$X_1 X_3$	-0.93	NS 0.026	-2.15	NS 2.09
$X_2 X_3$	4.93	NS 0.73	-1.16	NS 0.61
R^2	0.8546		0.8971	
R^2_{adj}	0.7236		0.8496	
C.V. %	-0.0635		0.6873	

หมายเหตุ; NS = not significant

ตารางที่ 4.6 ค่าสัมประสิทธิ์การตัดสินใจ (R^2) และค่าสัมประสิทธิ์การตัดสินใจที่ปรับแล้ว (R^2_{adj}) พบว่า ในทุกค่าการตอบสนองทั้งขนาดอนุภาคนี้โฉม และร้อยละการกักเก็บสารสกัดมีค่ามากกว่า 0.7 แสดงว่า ตัวแปรอิสระมีผลต่อค่าการตอบสนอง และเมื่อพิจารณาค่า F-value ของค่าสัมประสิทธิ์ของตัวแปร ปัจจัยของตัวแปรอิสระที่มีผลต่อขนาดอนุภาคนี้โฉม จากสมการเส้นตรง พบว่า การ

เพิ่มปริมาณไขมันทั้งหมด ปริมาณคอเลสเทอรอล และปริมาณสารสกัด มีผลทำให้อนุภาคนีโอโซมมีขนาดเพิ่มขึ้น อย่างมีนัยสำคัญทางสถิติ ในสมการพหุนามกำลังสอง พบว่า การเพิ่มปริมาณคอเลสเทอรอล มีผลทำให้ขนาดอ่อนภาคนีโอโซมลดลง อย่างมีนัยสำคัญทางสถิติ และผลกระทบที่เกิดจากปัจจัยตัวแปรอิสระต่ออ่อนภาคนีโอโซม พบว่า ไม่แตกต่างกัน ปัจจัยที่มีผลต่อร้อยละการกักเก็บสารสกัด จากสมการเส้นตรง พบว่า ปริมาณไขมันทั้งหมด ปริมาณคอเลสเทอรอล และปริมาณสารสกัด มีผลต่อร้อยละการกักเก็บสารสกัด คือ เมื่อเพิ่มปริมาณไขมันทั้งหมด จะทำให้การกักเก็บสารสกัดเพิ่มขึ้น แต่เมื่อเพิ่มปริมาณคอเลสเทอรอล และปริมาณสารสกัด จะทำให้ร้อยละการกักเก็บสารสกัดลดลง อย่างมีนัยสำคัญทางสถิติ และเมื่อพิจารณาผลผลกระทบจากตัวแปรที่ศึกษา พบว่า เมื่อเพิ่มปริมาณไขมันทั้งหมดและคอเลสเทอรอล จะทำให้ร้อยละการกักเก็บสารสกัดลดลง อย่างมีนัยสำคัญทางสถิติ

ตารางที่ 4.7 ผลการวิเคราะห์ความแปรปรวนของสมการพหุนามกำลังสองของขนาดอ่อนภาค และร้อยละการกักเก็บสารสกัด

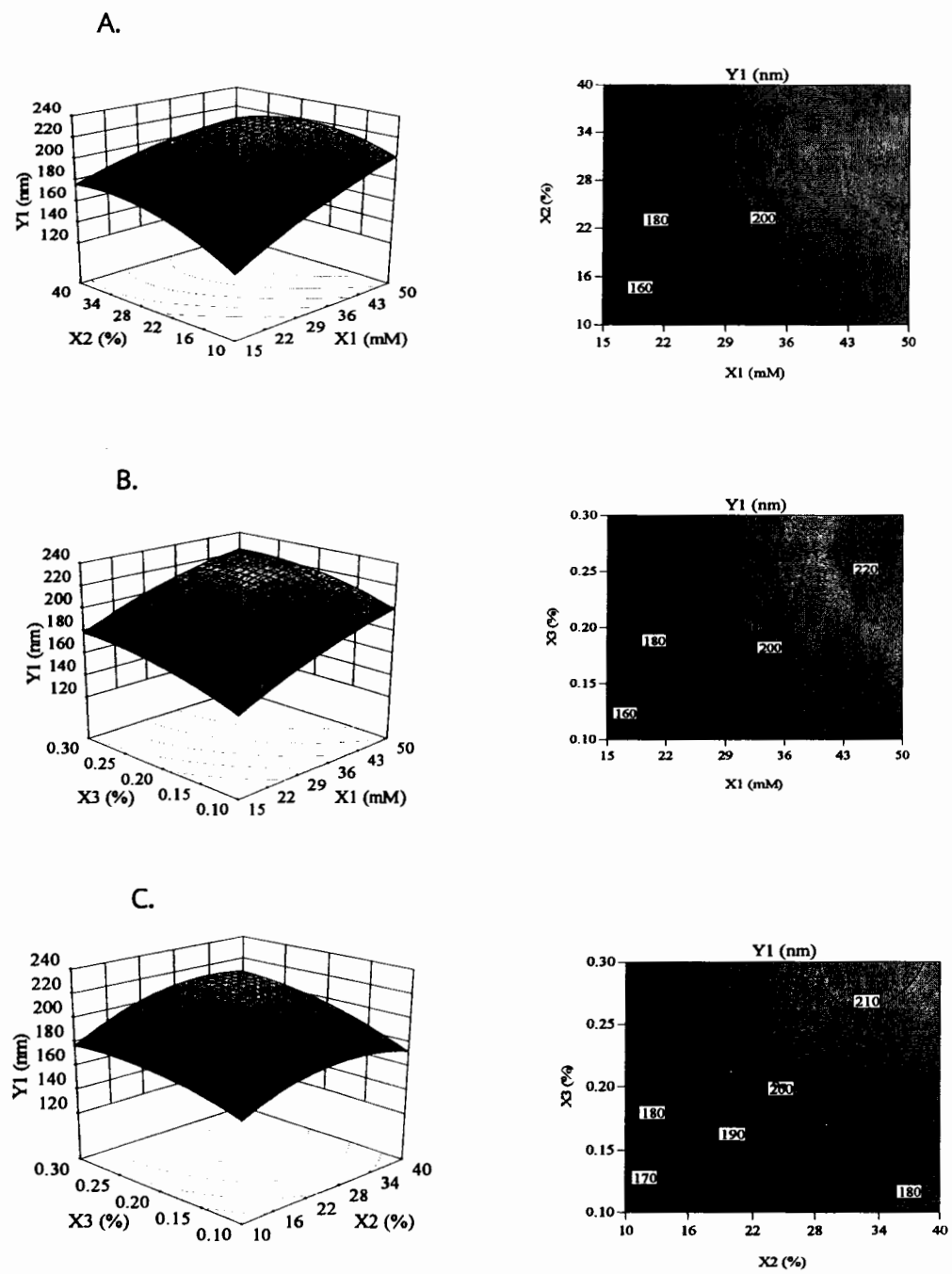
Source	ขนาดอ่อนภาค					ร้อยละการกักเก็บสารสกัดพีช				
	DF	SS	MS	F value	p-value	DF	SS	MS	F value	p-value
Model	9	15701.63	1744.63	6.53	0.0035	6	2003.54	333.92	18.89	<0.0001
A-A	1	7623.96	7623.96	28.53	0.0003	1	999.93		56.57	<0.0001
B-B	1	1574.19	1574.19	5.89	0.0356	1	117.23		6.63	0.0231
C-C	1	2329.79	2329.79	8.72	0.0145	1	503.53		28.49	0.0001
AB	1	489.06	489.06	1.83	0.2059	1	335.15		18.96	0.0008
AC	1	6.94	6.94	0.026	0.8752	1	36.98		2.09	0.1718
BC	1	194.54	194.54	0.73	0.4135	1	10.72		0.61	0.4501
A^2	1	443.28	443.28	1.66	0.2268					
B^2	1	2813.75	2813.75	10.53	0.0068					
C^2	1	726.11	726.11	2.72	0.1303					
Residual	10	2672.52	267.25			13	17.68			
Lack of fit	5	2400.59	480.12	8.83	0.016*	8	175.86	21.98	2.04	0.2246
Pure error	5	271.93	54.39			5	53.94	10.79		
Cor total	19	18374.15				19	2233.34			

เมื่อพิจารณาค่า P-value ของ Lack of fit พบร่วมค่าการตอบสนองขนาดอนุภาคนีโอโซมที่ได้นั้นแตกต่างกันอย่างมีนัยสำคัญทางสถิติ ($p<0.05$) ส่วนค่าการตอบสนองร้อยละการกักเก็บสารสกัดไม่แตกต่างกันอย่างมีนัยสำคัญทางสถิติ ($p>0.05$) แสดงดังตารางที่ 4.7 เมื่อนำมาการทดสอบหมายเหตุที่เหมาะสมที่สุด ภายใต้การกำหนดเงื่อนไข แสดงดังตารางที่ 4.8

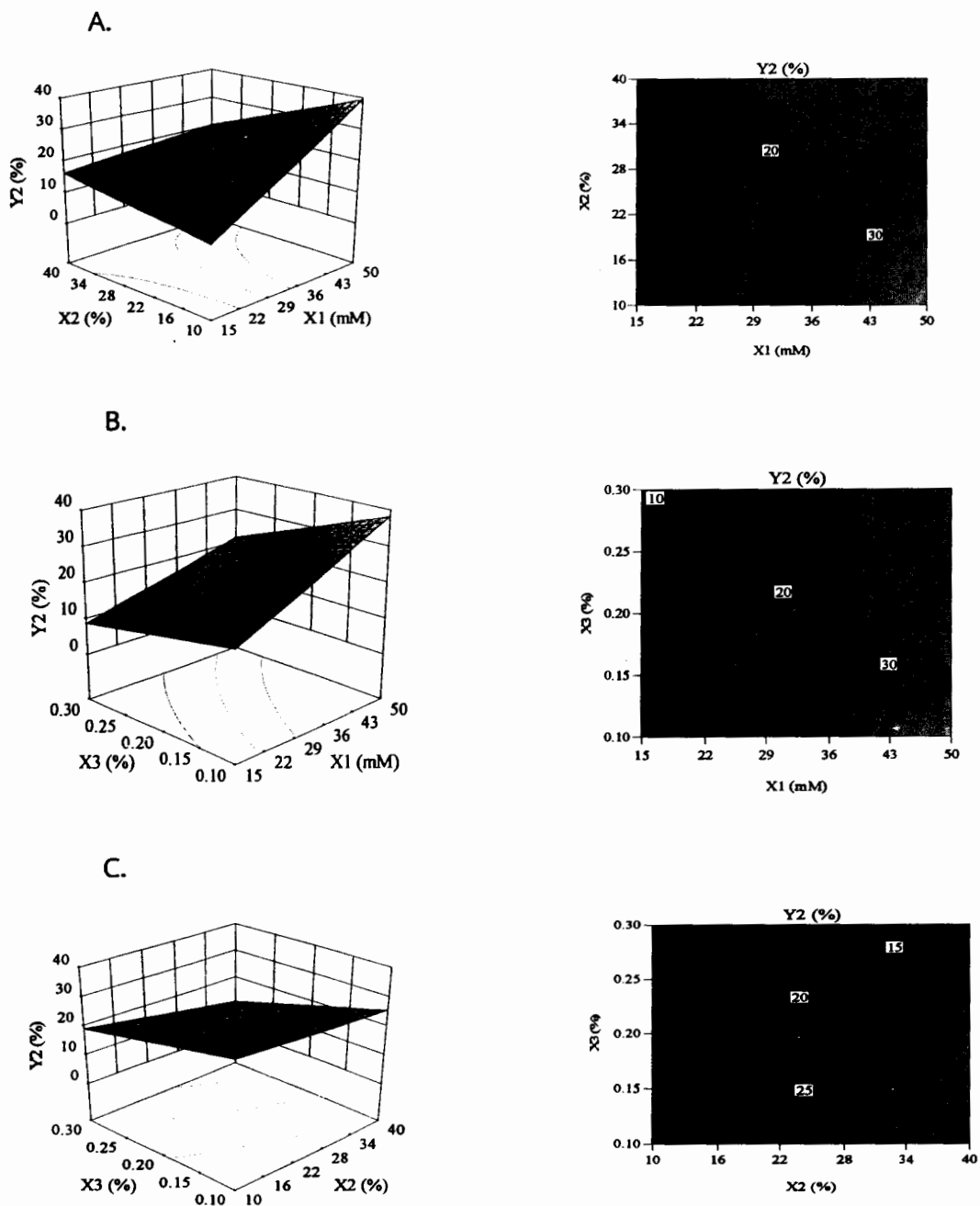
ตารางที่ 4.8 กำหนดเกณฑ์ระดับปัจจัยที่มีผลต่อค่าตอบสนองเพื่อวิเคราะห์หาค่าที่เหมาะสม

ปัจจัยที่ศึกษา	ค่าต่ำสุด	ค่าสูงสุด
<u>ตัวแปรอิสระ</u>		
ปริมาณไขมันทั้งหมด (mM)	15	50
ปริมาณคอเลสเตอรอล (%)	10	40
ปริมาณสารสกัดตรีผลา (%)	0.1	0.3
<u>ตัวแปรตาม</u>		
ขนาดอนุภาคนีโอโซม (nm)	126	245.78
ร้อยละการกักเก็บสารสกัดพืช (%)	9.36	47.54

เมื่อพิจารณาสมการทดสอบตามเงื่อนไขดังกล่าว สรุปได้ว่า สภาพที่เหมาะสมในการเตรียมตัวรับนีโอโซมให้มีขนาดอนุภาคอยู่ในช่วง 100 – 400 nm และให้ปริมาณร้อยละการกักเก็บสารสกัดมากที่สุดคือ ปริมาณไขมันทั้งหมดเท่ากับ 50 mM ปริมาณคอเลสเตอรอลเท่ากับร้อยละ 10 และปริมาณสารสกัดเท่ากับร้อยละ 0.1 ให้ขนาดอนุภาคนีโอโซมเท่ากับ 188.10 ± 16.34 nm และร้อยละการกักเก็บสารสกัดเท่ากับ 46.43 ± 4.20 ซึ่งภาวะที่เหมาะสมนี้ สามารถแสดงเป็นความสัมพันธ์ระหว่างปัจจัยของตัวแปรอิสระกับค่าการตอบสนองเป็นกราฟสามมิติ และกราฟโครงร่าง (contour) แสดงดังภาพที่ 4.20 และ 4.21



ภาพที่ 4.20 กราฟสามมิติและกราฟสองมิติ การตอบสนองของขนาดอนุภาคที่เกิดจากปริมาณคอเลสเทอรอล (X_2) กับปริมาณไขมันหงุดหงิด (X_1), (B) การตอบสนองของขนาดอนุภาคที่เกิดจากปริมาณสารสกัด (X_3) กับปริมาณไขมัน (X_1), (C) การตอบสนองของขนาดอนุภาคที่เกิดจากปริมาณสารสกัด (X_3) กับปริมาณคอเลสเทอรอล (X_2)



ภาพที่ 4.21 กราฟสามมิติและกราฟโครงร่าง (A) การตอบสนองของร้อยละการกักเก็บสารสกัดที่เกิดจากปริมาณคอเลสเทอรอล (X_2) กับปริมาณไขมันทั้งหมด (X_1), (B) การตอบสนองของร้อยละการกักเก็บสารสกัดที่เกิดจากปริมาณสารสกัดพีช (X_3) กับปริมาณไขมันทั้งหมด (X_1), (C) การตอบสนองของร้อยละการกักเก็บสารสกัดที่เกิดจากปริมาณสารสกัดพีช (X_3) กับปริมาณคอเลสเทอรอล (X_2)

ผลการศึกษาสภาวะที่เหมาะสมของสูตร捺าร์บันนีโอโซมโดยวิธีตอบสนองพื้นผิว ด้วยวิธีการออกแบบส่วนผสมกลาง (Response surface methodology with Central composite design; RSM – CCD)

ภาพที่ 4.20 แสดงปริมาณไขมันทั้งหมด ปริมาณคอเลสเตอรอล และปริมาณสารสกัด ที่มีผลต่อขนาดอนุภาคนีโอโซม พบร้า การเพิ่มปริมาณคอเลสเตอรอล ปริมาณไขมันทั้งหมด และการเพิ่มปริมาณสารสกัด ทำให้นีโอโซมมีขนาดเพิ่มขึ้น ซึ่งสอดคล้องกับค่าสัมประสิทธิ์ของตัวแปรในสมการ และผลการวิเคราะห์ค่าความแปรปรวนโดยจุดที่แสดงในกราฟสามมิติและกราฟໂຄรงร่างจะแสดงสภาวะที่เหมาะสมของ捺าร์บันนีโอโซม

ภาพที่ 4.21 แสดงปริมาณไขมันทั้งหมด ปริมาณคอเลสเตอรอล และปริมาณสารสกัด ที่มีผลต่อร้อยละการกักเก็บสารสกัด พบร้า การเพิ่มปริมาณไขมันทั้งหมด ทำให้ร้อยละการกักเก็บสารสกัดเพิ่มขึ้น ส่วนการเพิ่มปริมาณคอเลสเตอรอล และการเพิ่มปริมาณสารสกัด จะทำให้ร้อยละการกักเก็บสารสกัดลดลง ซึ่งสอดคล้องกับค่าสัมประสิทธิ์ของตัวแปรในสมการ และผลการวิเคราะห์ค่าความแปรปรวนโดยจุดที่แสดงในกราฟสามมิติและกราฟໂຄรงร่างจะแสดงสภาวะที่เหมาะสมของ捺าร์บันนีโอโซม

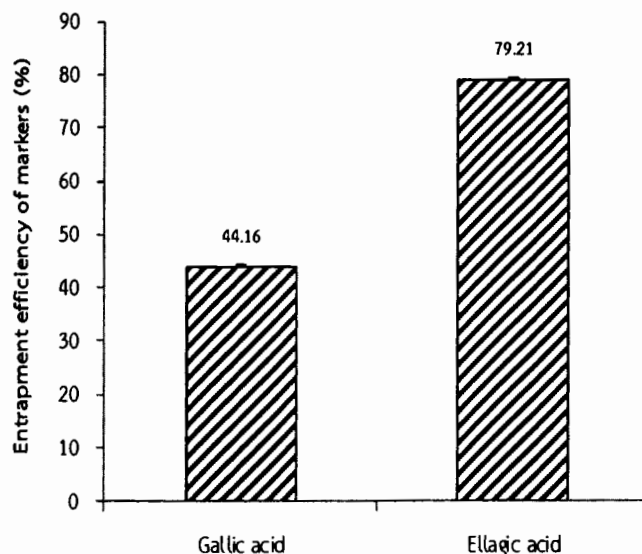
จากนั้นนำสภาวะที่เหมาะสมไปทดลองช้ำ เปรียบเทียบค่าที่ได้จริงกับค่าที่ได้จากการทำนาย ซึ่งผลการทดลอง แสดงตัวตารางที่ 4.9 พบร้า ขนาดอนุภาคนีโอโซม และร้อยละการกักเก็บสารสกัดที่ได้จากการทดลองและค่าที่ได้จากการทำนายมีค่าใกล้เคียงกัน

ตารางที่ 4.9 เปรียบเทียบค่าที่ได้จากการทดลองกับค่าที่ได้จากการทำนายภายใต้สภาวะที่เหมาะสม ($n=3$)

ค่าตอบสนองปัจจัย	ค่าที่ได้จากการทำนาย	ค่าที่ได้จากการทดลอง
ขนาดอนุภาค (nm)	180.10 ± 16.34	163.89 ± 4.43
ร้อยละการกักเก็บสารสกัด (%)	46.43 ± 4.20	47.68 ± 4.68

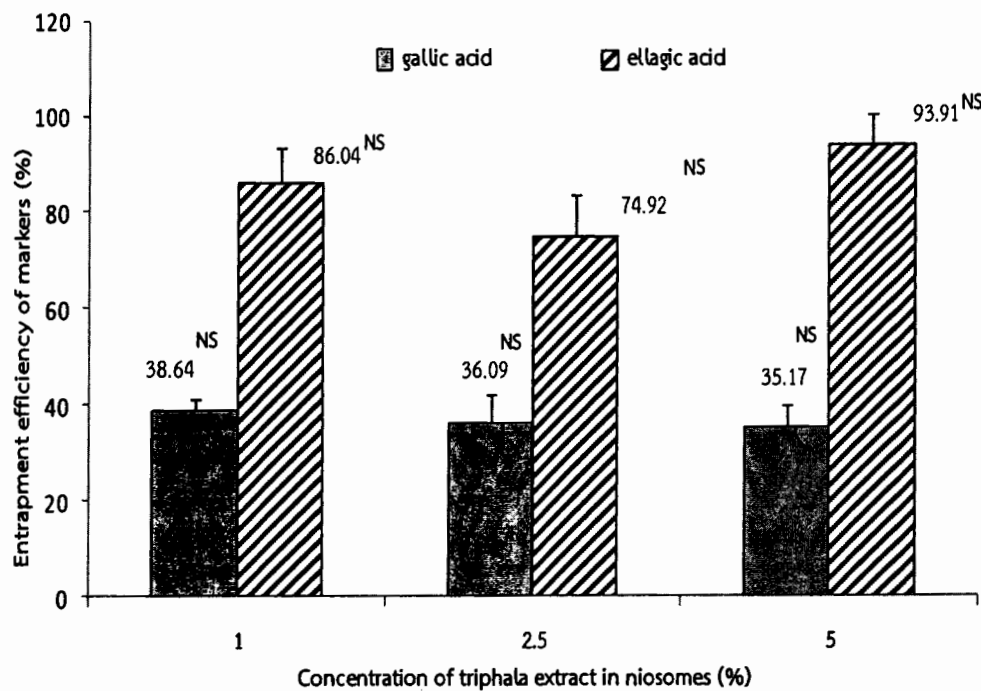
4.6 การวิเคราะห์หาร้อยละการเก็บกักสารเครื่องหมายในนีโอโซม

เมื่อได้สภาวะที่เหมาะสมในการเตรียมตำรับนีโอโซม โดยใช้วิธีการตอบสนองพื้นผิวแล้ว ได้มีการศึกษาวิเคราะห์ปริมาณสารเครื่องหมายที่ตำรับนีโอโซมสามารถกักเก็บได้ คือ gallic acid และ ellagic acid วิเคราะห์ด้วยวิธี HPLC ผลการศึกษาร้อยละการเก็บกักสารเครื่องหมายทั้ง 2 ชนิดในนีโอโซม แสดงดังภาพที่ 4.22 และร้อยละการกักเก็บ gallic acid และ ellagic acid ของสูตรตำรับนีโอโซมความเข้มข้น 1, 2.5 และ 5% แสดงดังภาพที่ 4.23 ซึ่งเป็นสูตรตำรับที่พัฒนาจากการหาสภาวะที่เหมาะสมด้วยวิธีการตอบสนองพื้นผิว เพื่อให้สามารถกักเก็บสารเครื่องหมายให้ได้มากที่สุด และเพื่อนำไปทดสอบ การปลดปล่อยสาร gallic acid และ ellagic acid จากระบบนำส่งนีโอโซมด้วยหนังหมูแรกเกิด การทดสอบประสิทธิภาพในการระตุนการออกของเส้นผมในสัตว์ทดลอง และทดสอบการระคายเคืองผิวหนัง (skin irritation) ในสัตว์ทดลอง



ภาพที่ 4.22 ร้อยละการกักเก็บ gallic acid และ ellagic acid

จากการศึกษาร้อยละการกักเก็บ gallic acid และ ellagic acid พบร้า สามารถกักเก็บได้เท่ากับร้อยละ 44.16 ± 0.03 และ 79.21 ± 0.06 ตามลำดับ ซึ่งการกักเก็บ ellagic acid สูงกว่า gallic acid ประมาณ 2 เท่า ทั้งนี้เนื่องมาจากการที่ ellagic acid เป็นสารที่มีลักษณะทางเคมีที่แตกต่างกัน คือ ellagic acid เป็นสารที่สามารถละลายน้ำได้ จะถูกกักเก็บในส่วนของ polar head group ส่วน gallic acid เป็นสารที่ไม่ละลายน้ำจะถูกกักเก็บในส่วนของ lipid bilayer และปริมาณสารเครื่องหมายทั้ง 2 ชนิดในสารสกัดครีมบาลีมีปริมาณไม่เท่ากัน ทำให้ร้อยละการกักเก็บสารสกัดแตกต่างกันได้



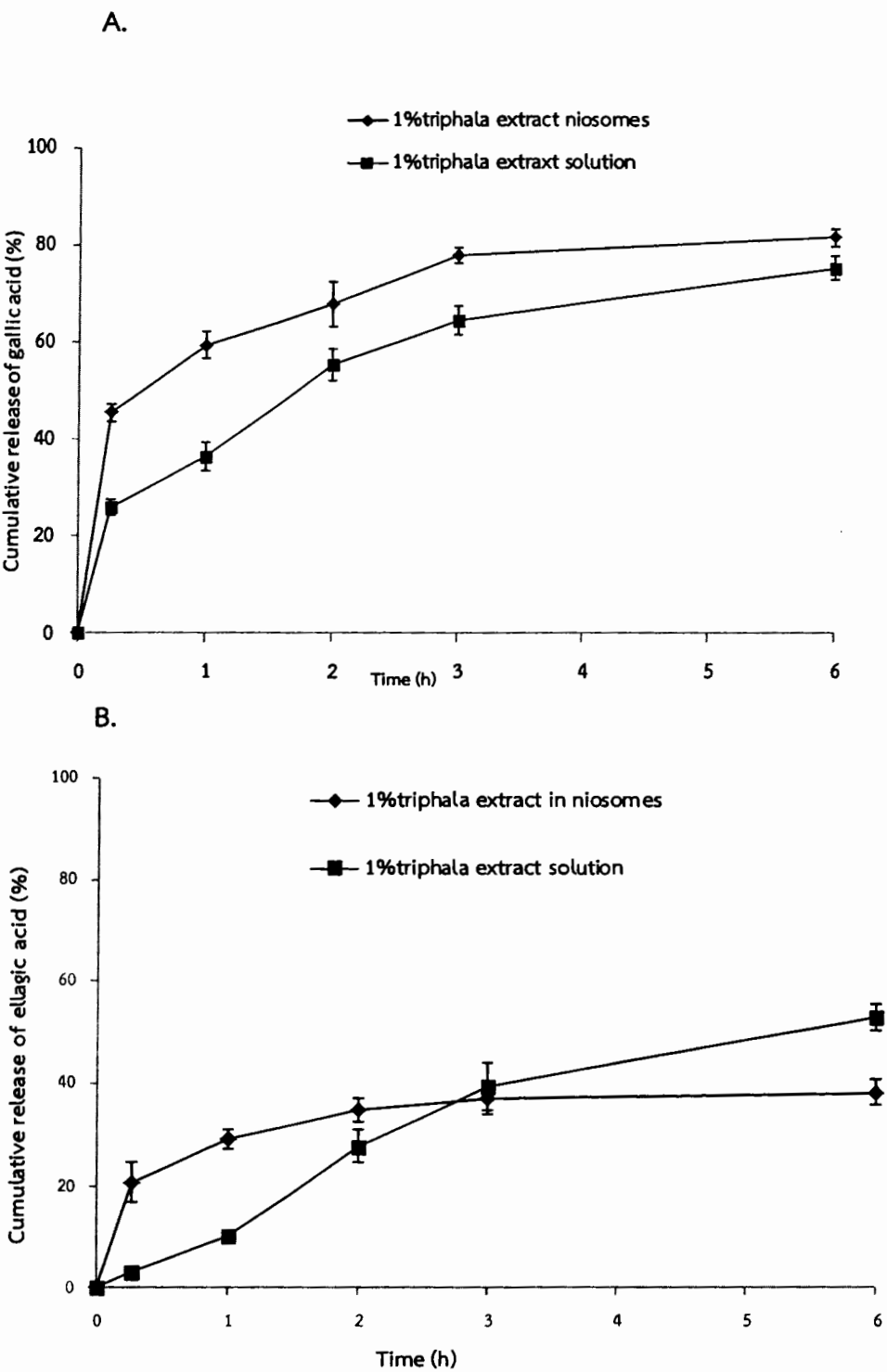
ภาพที่ 4.23 ร้อยละการกักเก็บ gallic acid และ ellagic acid สูตรตำรับนีโอโซมความเข้มข้น 1, 2.5 และ 5%

เมื่อเตรียมนีโอโซม โดยมีร้อยละการกักเก็บ gallic acid และ ellagic acid ของสูตรตำรับนีโอโซมความเข้มข้น 1, 2.5 และ 5% ซึ่งเป็นสูตรตำรับที่พัฒนามาจากการหาสภาวะที่เหมาะสมด้วยวิธีการตอบสนองพื้นผิว เพื่อให้สามารถกักเก็บสารเครื่องหมายได้มากพอด้วยการเตรียมตำรับเพื่อทดสอบในสัตว์ทดลองได้ พบว่า สูตรตำรับนีโอโซมความเข้มข้น 1, 2.5 และ 5 % สามารถกักเก็บ gallic acid และ ellagic acid ได้เท่ากับร้อยละ 38.64 ± 2.19 , 36.09 ± 5.63 , 35.17 ± 4.28 และ 86.04 ± 7.41 , 74.92 ± 8.63 , 93.91 ± 6.64 ตามลำดับ

จากการศึกษาร้อยละการกักเก็บ gallic acid และ ellagic acid ของสูตรตำรับนีโอโซมความเข้มข้น 1, 2.5 และ 5% สามารถกักเก็บสารเครื่องหมาย gallic acid และ ellagic acid ได้ดังนั้น สูตรตำรับทั้ง 3 ความเข้มข้น สามารถนำไปทดสอบประสิทธิภาพในการกระตุ้นการเจริญของเส้นขน และทดสอบการระคายเคืองผิวหนัง (skin irritation) ในสัตว์ทดลอง ศึกษาการปลดปล่อยสาร gallic acid และ ellagic acid จากระบบนำส่งนีโอโซม ศึกษาการซึมผ่านผิวหนังของ gallic acid และ ellagic acid จากระบบนำส่งนีโอโซมด้วยผิวหนังหน้าท้องของสุกรแรกเกิด

4.7 การศึกษาการปลดปล่อยสาร gallic acid และ ellagic acid จากระบบนำส่งนีโอโซม

จากการศึกษาอัตราเร็วในการปลดปล่อยสาร gallic acid และ ellagic acid จากระบบนำส่งนีโอโซม เปรียบเทียบกับสารสกัดที่อยู่ในรูปสารละลาย โดยใช้ถุงไดอะลิซิส (molecular weight cut off 12,000-14,000 Daltons) ทำการศึกษาโดยใช้สารละลายตัวกลาง (release medium) คือ 30% polyethylene glycol 400 ใน phosphate buffer pH 7.4 เพื่อช่วยเพิ่มการละลายของ ellagic acid เขย่าด้วย incubators shaker ที่อุณหภูมิ 32 °C อัตราเร็ว 150 รอบต่อนาที ผลการศึกษาการปลดปล่อยสาร gallic acid และ ellagic acid จากระบบนำส่งนีโอโซม แสดงดังภาพที่ 4.24



ภาพที่ 4.24 การปลดปล่อยสารเครื่องหมายจากระบบนำส่งนิโตริมกับสารละลายน้ำ (A) สารเครื่องหมาย gallic acid, (B) สารเครื่องหมาย ellagic acid

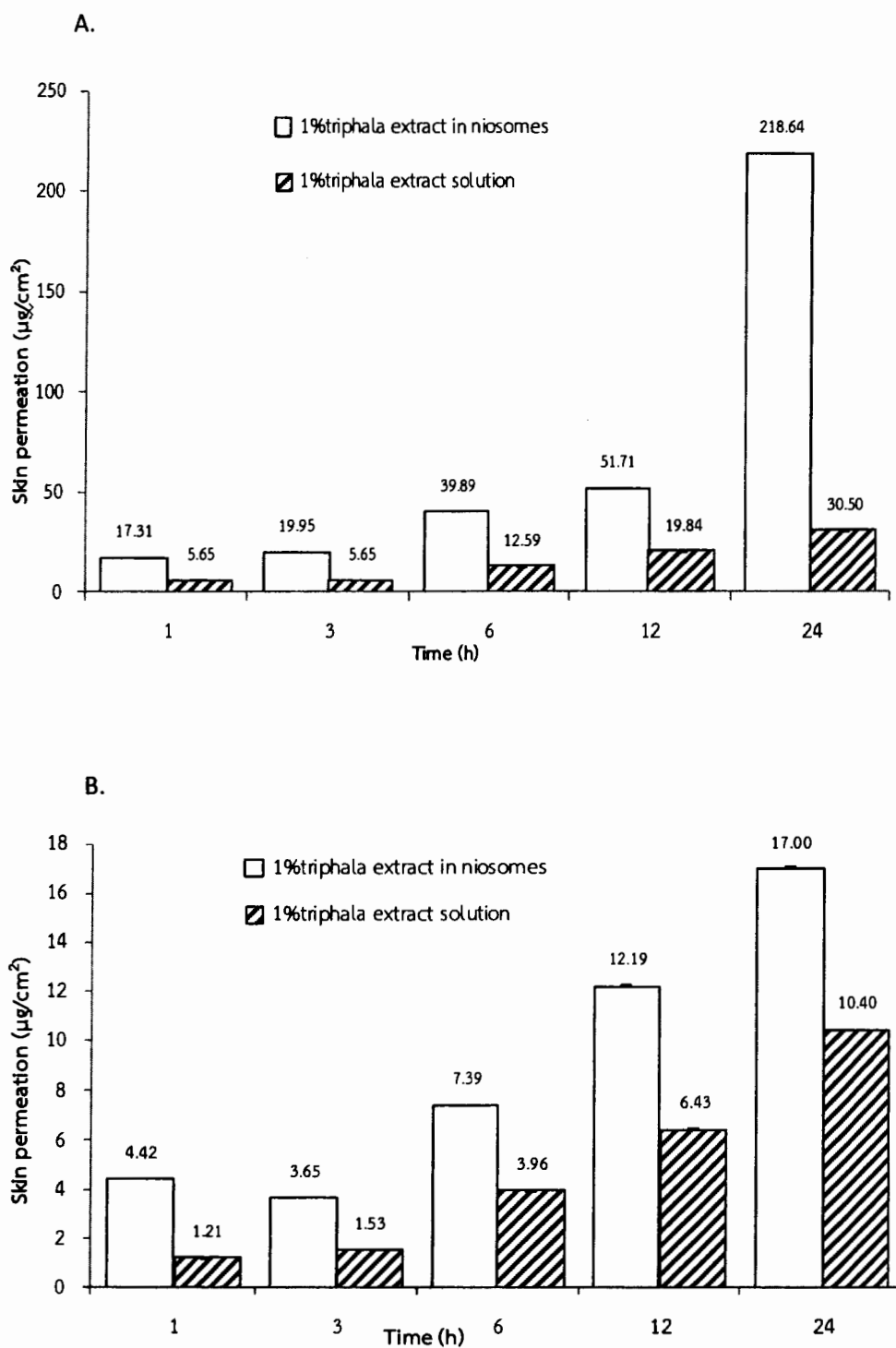
จากการศึกษาการผลิตปลอยสารเครื่องหมายจากระบบนำส่งนีโอโซม พบว่า การผลิตปลอยแบ่งเป็น 2 ช่วง ช่วงแรกใน 15 นาทีแรก อัตราการผลิตปลอยเกิดขึ้นอย่างรวดเร็ว ซึ่งเกิดจากสารเครื่องหมายที่ไม่ถูกกักเก็บในนีโอโซม จึงมีการละลายออกมายอดคลังที่ทำการศึกษาทันที และหลังจาก 15 นาที อัตราการผลิตปลอยจะเกิดอย่างช้า ๆ ซึ่งการผลิตปลอยนี้เกิดจากสารเครื่องหมายที่ถูกกักเก็บในนีโอโซม ในขณะที่การผลิตปลอยสารเครื่องหมายในรูปสารละลาย พบว่า อัตราการผลิตปลอยสารเครื่องหมายเกิดช้าทั้งใน gallic acid และ ellagic acid

เมื่อเปรียบเทียบการผลิตปลอยสารเครื่องหมายที่กักเก็บในนีโอโซม และในรูปสารละลาย พบว่า อัตราการผลิตปลอยสารเครื่องหมายที่กักเก็บในนีโอโซมมีอัตราเร็วกว่าในรูปสารละลายเนื่องจากสารลดแรงตึงผิวช่วยเพิ่มอัตราการละลายของสารเครื่องหมาย gallic acid และ ellagic acid ซึ่งสอดคล้องกับการศึกษาของ Zaki et al., (2014) โดยสารลดแรงตึงผิวนิดไม่มีประจุ (span[®] 20) จะเพิ่มการละลายของยาที่ละลายน้ำได้น้อย และการผลิตปลอยสารสกัดขึ้นกับจำนวน alkyl chain ที่อยู่ในโครงสร้างของสารลดแรงตึงผิว คือ จำนวน alkyl chain สั้น อัตราการผลิตปลอยสูงกว่าจำนวน alkyl chain สายยาว

4.8 การศึกษาการซึมผ่านผิวของ gallic acid และ ellagic acid จากระบบนำส่งนีโอโซม ด้วยหนังสุกร rakgeek

4.9.1 การศึกษาปริมาณ gallic acid และ ellagic acid ที่ซึมผ่านชั้นผิวหนัง

การศึกษาการซึมผ่านผิวหนังมีความสำคัญ เพื่อให้ทราบถึงช่องทางในการซึมผ่านผิวหนังของสารสกัด การศึกษาการซึมผ่านผิวหนังใช้วิธี franz diffusion cell โดยใช้ผิวหนังของสุกร rakgeek เป็นแบบจำลอง เนื่องจากมีโครงสร้างของผิวหนังและความสามารถในการซึมผ่านคล้ายกับผิวหนังชั้น stratum corneum ของมนุษย์ (Michnial-Kohn et al., 2005) โดยใช้ 30% polyethylene glycol 400 ใน phosphate buffer pH 7.4 ปริมาตร 14 ml เป็น receptor medium ที่อุณหภูมิ 37 °C จากนั้นนำไปวิเคราะห์ปริมาณการซึมผ่านผิวหนังด้วยวิธี HPLC ผลการศึกษาปริมาณ gallic acid และ ellagic acid ที่ซึมผ่านชั้นผิวหนัง แสดงดังภาพที่ 4.25

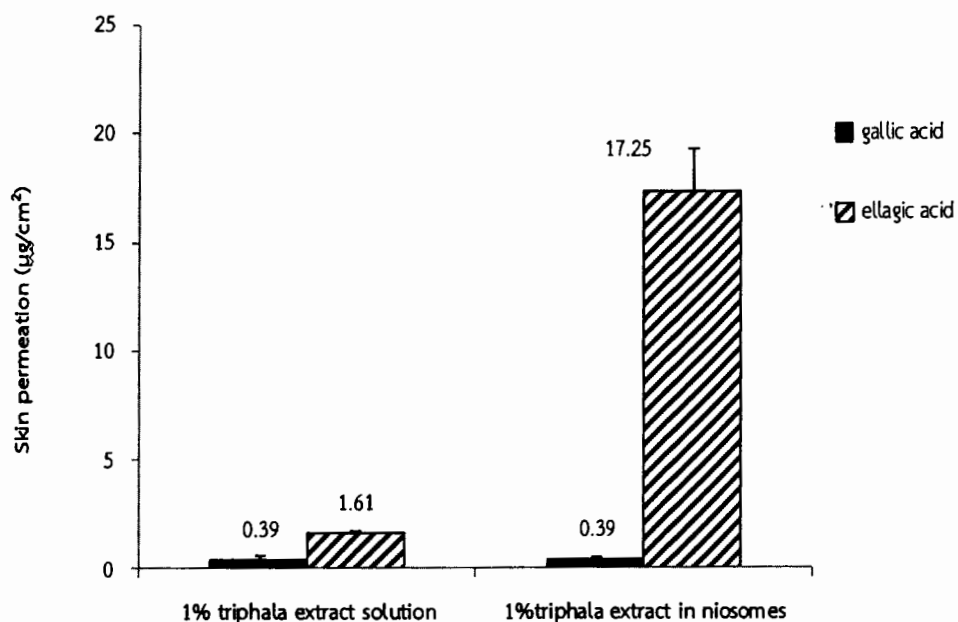


ภาพที่ 4.25 ปริมาณสารเครื่องหมายที่ซึมผ่านชั้นผิวนัง (A) สารเครื่องหมาย gallic acid, (B) สารเครื่องหมาย ellagic acid

จากการศึกษาปริมาณสารเครื่องหมายที่ซึมผ่านผิวนัง พบร้า สารเครื่องหมาย gallic acid ที่ถูกกักเก็บในอนุภาคนิโธzem ที่ 24 ชั่วโมง สามารถซึมผ่านผิวนังได้มากกว่า gallic acid ที่อยู่ในรูปสารละลาย 7 เท่า และดังภาพที่ 4.25 (A) ปริมาณการซึมผ่าน ellagic acid ที่ถูกกักเก็บในอนุภาคนิโธzem ที่ 24 ชั่วโมง ได้มากกว่า ellagic acid ที่อยู่ในสารละลาย 1.7 เท่า และดังภาพที่ 4.25 (B)

4.9.2 ปริมาณ gallic acid และ ellagic acid ที่ซึมผ่านไปในชั้น stratum corneum

การศึกษาปริมาณ gallic acid และ ellagic acid ที่ซึมผ่านไปในชั้น stratum corneum โดย tape striping ผลการศึกษาปริมาณ gallic acid และ ellagic acid ที่ซึมผ่านไปในชั้น stratum corneum แสดงดังภาพที่ 4.26

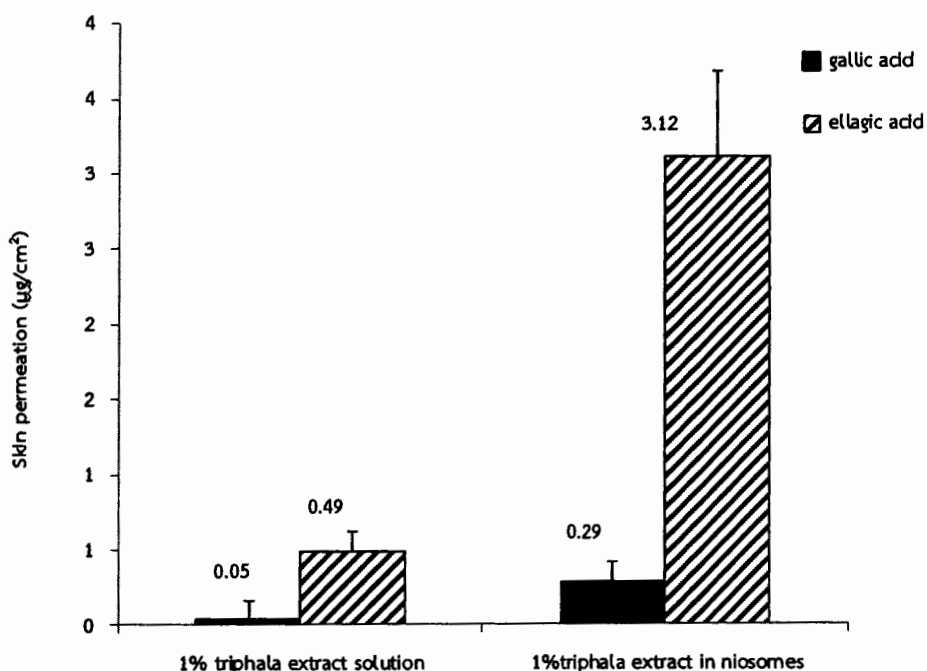


ภาพที่ 4.26 ปริมาณ gallic acid และ ellagic acid ที่ซึมผ่านไปในชั้น stratum corneum

การศึกษาปริมาณ gallic acid และ ellagic acid ที่ซึมผ่านไปในชั้น stratum corneum พบร้า gallic acid และ ellagic acid ที่ถูกกักเก็บในอนุภาคนิโธzem สามารถซึมผ่านชั้น stratum corneum ได้เท่ากับ 0.39 ± 0.11 และ $17.25 \pm 2.11 \mu\text{g}/\text{cm}^2$ ตามลำดับ ซึ่งการซึมผ่าน ellagic acid สูงกว่า gallic acid ประมาณ 43 เท่า

4.9.3 ปริมาณ gallic acid และ ellagic acid ที่ซึมผ่านในชั้น epidermis และ dermis

การศึกษาปริมาณ gallic acid และ ellagic acid ที่ซึมผ่านในชั้น epidermis และ dermis ทำการศึกษาโดยตัดหนังหมูให้มีขนาดเล็ก เพื่อเพิ่มพื้นที่การละลาย ผลการศึกษาปริมาณ gallic acid และ ellagic acid ที่ซึมผ่านในชั้น epidermis และ dermis แสดงดังภาพที่ 4.27



ภาพที่ 4.27 ปริมาณ gallic acid และ ellagic acid ที่ซึมผ่านไปในชั้น epidermis และ dermis

ผลการศึกษาปริมาณ gallic acid และ ellagic acid ที่กักเก็บในอนุภาคน้ำโอม ที่ซึมผ่านไปในชั้น epidermis และ dermis มีค่าเท่ากับ 0.29 ± 0.13 และ $3.12 \pm 0.56 \mu\text{g}/\text{cm}^2$ ตามลำดับ ซึ่งการซึมผ่าน ellagic acid สูงกว่า gallic acid ประมาณ 10 เท่า

อนุภาคน้ำโอมประกอบด้วยโครงสร้างที่เป็น lipid bilayer ประกอบด้วยส่วนที่ขوبน้ำและไม่ขوبน้ำ ส่วนประกอบของน้ำโอมทั้งสารลดแรงตึงผิวนิดไม่มีประจุและคงเหลือรอด จะช่วยในการซึมผ่านผิวหนังของสารเครื่องหมาย (Sarpotdar and Zatz, 1986) ได้ดีขึ้น จากการศึกษาปริมาณ gallic acid และ ellagic acid ที่ซึมผ่านชั้นผิวหนัง พบร่วมกัน gallic acid สามารถซึมผ่านผิวหนังได้ดีกว่า ellagic acid ทั้งนี้เนื่องจาก gallic acid เป็นสารที่ละลายน้ำได้ ถูกกักเก็บในส่วนของ polar head group ของอนุภาคน้ำโอม เมื่อซึมผ่านผิวหนังจะไม่ถูกกักเก็บไว้ และขนาดอนุภาค

นีโอโซมอยู่ในช่วง 0.2 – 7 μm สามารถซึมผ่าน transappendageal ได้ สอดคล้องกับการศึกษาของ Lademann et al., (1999), Lademann et al., (2001), Lademann et al., (2006) และ Schaefer et al., (2001) พบว่า ขนาดอนุภาคนีโอโซมตั้งแต่น้อยกว่า 3 -10 μm สามารถซึมผ่านเข้า transappendageal ผ่านรูขุมขน ซึ่งจะช่วยเพิ่มการนำส่งสารเครื่องหมายไปยังตำแหน่งการออกฤทธิ์ ส่วนปริมาณ gallic acid และ ellagic acid ที่ซึมผ่านไปในชั้น stratum corneum พบว่า ellagic acid จะมีปริมาณมากในชั้น stratum corneum ทั้งนี้เนื่องจาก ellagic acid ถูกกักเก็บในส่วนของ lipid bilayer และเป็นสารที่ขอบไขมัน ซึ่งมีค่าสัมประสิทธิ์การกระจายในน้ำและน้ำมัน (partition coefficient) มากกว่า 1 จะทำให้ ellagic acid ยังคงอยู่ในชั้น stratum corneum ปริมาณมาก ส่วน gallic acid เป็นสารที่ขอบน้ำ จะไม่ถูกกักเก็บในชั้น stratum corneum เช่นเดียวกับปริมาณ ellagic acid และ ellagic acid ที่ซึมผ่านไปในชั้น epidermis และ dermis พบว่า ellagic acid ยังคงพบปริมาณมากในชั้น epidermis และ dermis ส่วน gallic acid พบริมาณน้อย เนื่องจากซึมผ่านเข้าชั้น hypodermis และ hair follicle

4.9 การทดสอบความคงตัวของตัวรับนีโอโซม

จากการทดสอบความคงตัวของตัวรับนีโอโซม โดยเก็บไว้ที่อุณหภูมิ 4, 25 และ 45 °C เป็นระยะเวลา 3 เดือน และนำมาประเมินคุณสมบัติทางกายภาพของตัวรับนีโอโซม ได้แก่ การวัดขนาดอนุภาค การวัดการกระจายขนาดอนุภาค ค่าประจุไฟฟ้าที่ผิวนุภาค และความสามารถในการกักเก็บสารสกัด เพื่อศึกษาความคงตัว และการกักเก็บรักษาตัวรับนีโอโซม ผลการศึกษาความคงตัวของตัวรับนีโอโซม แสดงดังตารางที่ 4.10 ร้อยละการกักเก็บสารสกัด แสดงดังตารางที่ 4.11 ความคงตัวของสูตรตัวรับนีโอโซมความเข้มข้น 1, 2.5 และ 5 % เป็นการพัฒนาสูตรตัวรับเพื่อนำไปทดสอบฤทธิ์ในการกระตุ้นการเจริญของเส้นขนในหนู C57BL/6Miac และร้อยละการกักเก็บสารสกัด แสดงดังตารางที่ 4.12 และ 4.13

ตารางที่ 4.10 คุณสมบัติทางกายภาพของคำรับน้ำโซเมเมื่อเก็บไว้ที่ 4, 25 และ 45 °C

ระยะเวลาการทดสอบ (วัน)	คุณสมบัติทางกายภาพ	อุณหภูมิที่ทดสอบ		
		4 °C	25 °C	45 °C
1	ขนาดอนุภาค (nm)	166.22±2.84	166.22±2.84	166.22±2.84
	การกระจายอนุภาค	0.20±0.04	0.20±0.04	0.20±0.04
	ค่าประจุไฟฟ้าที่ผิวอนุภาค (mV)	34.41±0.26	34.41±0.26	34.41±0.26
7	ขนาดอนุภาค (nm)	170.07±2.15	174.41±2.07	168.85±3.43
	การกระจายอนุภาค	0.19±0.03	0.25±0.02	0.21±0.02
	ค่าประจุไฟฟ้าที่ผิวอนุภาค (mV)	36.60±1.64	36.51±0.91	36.25±1.16
15	ขนาดอนุภาค (nm)	173.48±3.86	178.19±2.06	164.11±2.58
	การกระจายอนุภาค	0.18±0.02	0.23±0.03	0.17±0.02
	ค่าประจุไฟฟ้าที่ผิวอนุภาค (mV)	35.00±0.97	35.20±1.64	35.97±0.99
30	ขนาดอนุภาค (nm)	172.89±3.42	168.07±2.41	161.52±2.90
	การกระจายอนุภาค	0.19±0.03	0.23±0.02	0.17±0.04
	ค่าประจุไฟฟ้าที่ผิวอนุภาค (mV)	37.36±1.10	36.07±1.36	32.21±1.75
60	ขนาดอนุภาค (nm)	178.63±2.81	168.37±2.84	158.37±2.87
	การกระจายอนุภาค	0.23±0.02	0.22±0.03	0.15±0.04
	ค่าประจุไฟฟ้าที่ผิวอนุภาค (mV)	35.11±2.32	37.62±1.31	33.80±1.45
90	ขนาดอนุภาค (nm)	200.93±6.21	170.19±3.36	166.78±2.73
	การกระจายอนุภาค	0.30±0.03	0.22±0.11	0.11±0.04
	ค่าประจุไฟฟ้าที่ผิวอนุภาค (mV)	36.18±2.56	37.71±0.79	35.24±1.54

ตารางที่ 4.11 ร้อยละการกักเก็บปริมาณ total phenolic content เมื่อเก็บไว้ที่ 4, 25 และ 45 °C เป็นเวลา 90 วัน

ระยะเวลาการทดสอบ (วัน)	ร้อยละการกักเก็บสารสกัดพีช		
	4 °C	25 °C	45 °C
1	48.84±2.00	48.84±2.00	48.84±2.00
30	52.47±4.03	51.97±5.85	54.35±4.79
60	51.03±3.51	52.73±6.78	46.75±5.76
90	52.01±4.43	52.59±3.10	44.24±2.89

ผลการทดสอบความคงตัวของตัวรับนีโอโซมเมื่อเก็บไว้ที่ 90 วัน ที่ 4, 25 และ 45 °C โดยประเมินคุณสมบัติทางกายภาพของตัวรับนีโอโซม ในด้าน ขนาดอนุภาค การกระจายขนาดอนุภาค และค่าประจุไฟฟ้าที่ผิวอนุภาค แสดงดังตารางที่ 4.10 และร้อยละการกักเก็บสารสกัดของตัวรับนีโอโซม แสดงดังตารางที่ 4.11

ผลการทดสอบความคงตัวของตัวรับนีโอโซมที่บรรจุสารสกัดตรีพลา ภายใต้สภาวะที่ควบคุมที่ อุณหภูมิ 4, 25 และ 45 °C เป็นระยะเวลา 90 วัน โดยประเมินคุณสมบัติทางกายภาพของตัวรับนีโอโซม พบว่า นีโอโซมมีลักษณะสีน้ำนมขาว สีไม่เปลี่ยนแปลง ไม่มีการแตกตะbonของสารสกัด แสดงว่าอุณหภูมิและความชื้นไม่มีผลต่อความคงตัวทางกายภาพของตัวรับนีโอโซม และเมื่อนำไปปั่นขนาดอนุภาค ค่าการกระจายขนาดของอนุภาค และค่าประจุไฟฟ้าที่ผิวอนุภาค โดยขนาดอนุภาค ของนีโอโซมคราวมีขนาดใกล้เคียงกัน เพื่อป้องกันการเกาะกลุ่มกันของอนุภาค ค่าการกระจายขนาด ของอนุภาคเป็นค่าที่บวกถึงขนาดของอนุภาคในตัวรับว่ามีค่าใกล้เคียงกันมากน้อยเพียงใด และค่าประจุไฟฟ้าที่ผิวอนุภาคเป็นค่าที่บวกถึงความคงตัวของตัวรับนีโอโซม ค่านี้จะวัดปริมาณของ อิเล็กตรอนที่ผิวบริเวณ shear plane ถ้าค่านี้มากกว่า 30 mV หมายความว่าตัวรับมีความคงตัวดี และถ้าค่านี้สูงถึง 60 mV หมายความว่าตัวรับมีความคงตัวดีมาก (Mehnert and Mader, 2001) จากผลการทดสอบพบว่า ทุกอุณหภูมิที่ทดสอบ มีขนาดอนุภาคอยู่ในช่วง 150 - 200 nm ค่าการ กระจายขนาดของอนุภาค 0.203 ± 0.042 และค่าประจุไฟฟ้าที่ผิวของอนุภาคเฉลี่ยตลอดระยะเวลา 3 เดือน พบว่า ทุกอุณหภูมิมีค่ามากกว่า -30 mV แสดงว่าระบบนีโอโซมมีความคงตัวดี การฟอร์มตัว ของสารลดแรงตึงผิวเกิดเป็นอนุภาค โดยมีการแทรกตัวของคอลเลสเทอโรล ที่ผนังของอนุภาค ทำให้ อนุภาคมีความแข็งแรงมากขึ้น เนื่องจากการเกิดพันธะไฮโดรเจนระหว่าง span[®] 20 กับ คอลเลสเทอโรล จะทำให้ไอออนประจุตรงกันข้ามในระบบเกิดการดูดซับที่ผิวของอนุภาค จึงทำให้ แสดงประจุลบที่ผิวของอนุภาค ทำให้ผนังของอนุภาคนีโอโซมมีความแข็งแรง อนุภาคนีโอโซมมีความ คงตัว และตัวรับนีโอโซมทุกอุณหภูมิสามารถกักเก็บสารสกัดได้มากกว่าร้อยละ 45

ตารางที่ 4.12 คุณสมบัติทางกายภาพสารสกัดตรีผลานีโวโชムความเข้มข้นต่าง ๆ เมื่อเก็บไว้ที่ 25 °C

ระยะเวลา การทดสอบ (วัน)	คุณสมบัติทาง กายภาพ	น้ำใจนเปล่า	ความเข้มข้นสารสกัดตรีผลานีโวโชุม		
			1%	2.5%	5%
1	ขนาดอนุภาค (nm)	172.89±1.31	232.33±1.75	413.89±6.97	6722.22±669.22
	การกระจายอนุภาค	0.141±0.01	0.274±0.02	0.355±0.08	0.253±0.07
	ค่าประจุไฟฟ้าที่ผิว อนุภาค (mV)	-31.36±0.26	-37.1±1.06	-38.17±0.21	-39.09±0.73
30	ขนาดอนุภาค (nm)	167.67±1.63	254.67±6.09	459.22±5.29	5686.56±429.95
	การกระจายอนุภาค	0.242±0.01	0.253±0.01	0.362±0.02	0.232±0.03
	ค่าประจุไฟฟ้าที่ผิว อนุภาค (mV)	-37.62±0.23	-37.5±0.65	-33.28±0.18	-36.01±0.37
60	ขนาดอนุภาค (nm)	171.89±2.49	255.33±2.96	451.78±4.58	7096.22±313.91
	การกระจายอนุภาค	0.165±0.01	0.212±0.01	0.384±0.02	0.252±0.04
	ค่าประจุไฟฟ้าที่ผิว อนุภาค (mV)	-33.53±0.39	-37.73±0.47	-37.91±1.47	-35.23±0.41
90	ขนาดอนุภาค (nm)	181.53±1.50	622.78±53.97	2703.33±79.36	5727.11±151.89
	การกระจายอนุภาค	0.255±0.05	0.367±0.04	0.396±0.04	0.825±0.18
	ค่าประจุไฟฟ้าที่ผิว อนุภาค (mV)	-37.21±2.85	-40.59±0.56	-49.68±1.17	-38.84±2.12

ตารางที่ 4.13 ร้อยละการกักเก็บ gallic acid และ ellagic acid ของสารสกัดตรีผลานีโวโชุม^{ความเข้มข้นต่าง ๆ}

สารสกัดตรีผลานีโวโชุม (%)	gallic acid	ellagic acid
1.0	38.64±2.19	86.04±7.41
2.5	36.09±5.63	74.92±8.63
5.0	35.17±4.28	93.91±6.64

ผลการทดสอบความคงตัวของตารับนีโอโซมความเข้มข้น 1, 2.5 และ 5% เมื่อเก็บไว้ที่ 90 วัน ที่ 25 °C โดยประเมินคุณสมบัติทางกายภาพ ได้แก่ ขนาดอนุภาค การกระจายขนาดอนุภาค และการค่าประจุไฟฟ้าที่ผิวนุภาค แสดงตั้งตารางที่ 4.12 และร้อยละการกักเก็บสารเครื่องหมาย gallic acid และ ellagic acid แสดงตั้งตารางที่ 4.13

การเพิ่มปริมาณสารสกัดตรีผลา ทำให้ขนาดอนุภาคนีโอโซมมีแนวเพิ่มขึ้น แต่ร้อยละการกักเก็บสารเครื่องหมายไม่ต่างกัน สูตรตารับที่มีความคงตัวมากที่สุดคือ นีโอโซมความเข้มข้น 1% รองลงมา คือ 2.5 และ 5 % ตามลำดับ โดยขนาดอนุภาคนีโอโซมอยู่ในช่วง 0.2–7 μm ขนาดอนุภาค นีโอโซมนี้สามารถที่จะซึมผ่านเข้าสู่ transappendageal เข้าสู่ hair follicle ได้ ซึ่งผลการศึกษานี้ สอดคล้องกับการศึกษาของ Lademann et al., (1999), Lademann et al., (2001), Lademann et al., (2006) และ Schaefer et al., (2001) ศึกษาขนาดอนุภาคนีโอโซมเพื่อนำส่งเข้าสู่ transappendageal พบร่วม ขนาดอนุภาคนีโอโซมตั้งแต่น้อยกว่า 3-10 μm สามารถผ่านเข้า transappendageal ได้ ทั้งนี้ขนาดอนุภาคนีโอโซมจะผ่านเข้าถึง hair follicle ลึก ๆ ได้ ขึ้นอยู่กับ ช่วงการทำงานของ hair follicle เช่น เส้นผมกำลังออก และมีการผลิตน้ำมัน จะมีส่วนช่วยในการซึมผ่านของอนุภาคได้ การนำส่งทาง transappendageal มีข้อดี คือ สารสกัดสามารถเข้าถึงตำแหน่ง การออกฤทธิ์ที่ hair follicle ได้โดยตรง ช่วยเพิ่มประสิทธิภาพสารสกัด และเพิ่มประสิทธิภาพในการรักษา และค่าประจุไฟฟ้าที่ผิวนุภาคยังมากกว่า -30 mV แต่สูตรตารับนีโอโซมความเข้มข้นร้อยละ 5 เริ่มมีคงตัวตั้งแต่เดือนที่สองเป็นต้นไป เริ่มมีการแตกตะกอนของสารสกัด ทั้งนี้เนื่องจากปริมาณสารสกัดที่มากเกิน ทำให้อนุภาคนีโอโซมกักเก็บได้ไม่ทั่งหมด และทำให้ค่าการกระจายขนาดอนุภาคมี หลากหลายด้วยขนาด ดังนั้น ตารับนีโอโซมที่ควรนำไปพัฒนาเป็นเครื่องสำอางเพื่อส่งเสริมการเจริญของเส้นผม คือ นีโอโซมความเข้มข้น 1 และ 2.5 % ส่วนร้อยละการกักเก็บ gallic acid มากกว่าร้อยละ 35 ทั้ง 3 สูตรตารับ และการกักเก็บ ellagic acid มากกว่าร้อยละ 80

4.10 การทดสอบฤทธิ์ในการกระตุ้นการอกของเส้นผมในหนูถีบจักรสายพันธุ์ C57BL/6Mlac

การทดสอบฤทธิ์ของตัวรับนีโอโโซมที่บรรจุสารสกัดตรีผลาเพื่อกระตุ้นการเจริญของเส้นผมในสัตว์ทดลอง การศึกษานี้ผ่านการอนุมัติโดยคณะกรรมการจริยธรรมการวิจัยในสัตว์ทดลอง มหาวิทยาลัยอุบลราชธานี เลขที่ใบอนุญาต ID #6 /2556 /Thesis โดยทดสอบในหนูถีบจักรสายพันธุ์ C57BL/6Mlac อายุ 7 สัปดาห์ เพศผู้ ซึ่งเป็นสายพันธุ์ที่นิยมนำมาทดสอบการเจริญของเส้นผมเนื่องจากหนูสายพันธุ์นี้มีขนสีดำ ทำให้สังเกตการเจริญของเส้นขนได้ง่าย มีวงชีวิตการเจริญของเส้นขนคล้ายกับในมนุษย์ อายุหนูอยู่ในช่วง 7-8 สัปดาห์ เป็นช่วงที่มีวงชีวิตการเจริญของเส้นขนอยู่ในระยะเทโอลเจน เป็นช่วงที่เหมาะสมในการศึกษาฤทธิ์ในการกระตุ้นการเจริญของเส้นผมจากระยะเทโอลเจน เข้าสู่ระยะอนาคต และการศึกษาส่วนใหญ่ทำการทดสอบที่ 4 สัปดาห์ (Kumar et al., 2011; Kumar et al., 2012; Lee et al., 2010) เนื่องจากเส้นขนในสัตว์ทดลองออกเต็มพื้นที่ทดสอบ การศึกษาประสิทธิภาพในการกระตุ้นการอกของเส้นผมในสัตว์ทดลอง เป็นการเปรียบเทียบสารสกัดตรีผลาที่กักเก็บในอนุภาคนีโอโโซมกับผลิตภัณฑ์ที่มีในห้องทดลอง โดยใช้ 2% minoxidil solution เป็นกลุ่มควบคุมผลบวก (positive control) และการศึกษานี้เป็นการศึกษาประสิทธิภาพของสารสกัดตรีผลาที่กักเก็บในอนุภาคนีโอโโซม ไม่ใช่เป็นการศึกษากลไกการออกฤทธิ์ของสารสกัดตรีผลา โดยแบ่งกลุ่มการทดลองออกเป็น 6 กลุ่ม คือ กลุ่มควบคุมผลลบ (negative control) กลุ่มควบคุมผลบวก (positive control) กลุ่มทดสอบ 3 กลุ่ม คือ สูตรตัวรับสารสกัดตรีผลานีโอโโซมความเข้มข้น 1, 2.5 และ 5 % และสารละลายสารสกัดตรีผลาความเข้มข้น 1 % โดยกลุ่มควบคุมลบแบ่งพื้นที่ทดสอบบนหลังของหนูเป็นช้ายและขวา ด้านซ้ายไม่ทาสาร ส่วนด้านขวาหนานีโอโโซมเปล่าในกลุ่มควบคุมบวกและกลุ่มทดสอบ โดยทาสารทดสอบเต็มพื้นที่ทดสอบ การศึกษาประสิทธิภาพในการกระตุ้นการเจริญของเส้นขนในสัตว์ทดลอง และสังเกตความเข้มของสีขนที่เกิดขึ้นใหม่ ศึกษาเนื้อเยื่อผิวนังของหนู เพื่อประเมินระยะการเจริญของเส้นขน (hair cycle) และจำนวน hair follicle ที่พบในผิวนัง โดยทำการทดลอง 4 สัปดาห์ ผลการศึกษาประสิทธิภาพในการกระตุ้นการอกของเส้นขนในสัตว์ทดลอง แสดงดังภาพที่ 4.28

(ก) Negative control 1(g): ไม่ทำการได้ 2(g): ทราย blank niosomes



(ข) Positive control



(ค) 1% Triphala solution



สัปดาห์ที่ 0

สัปดาห์ที่ 1

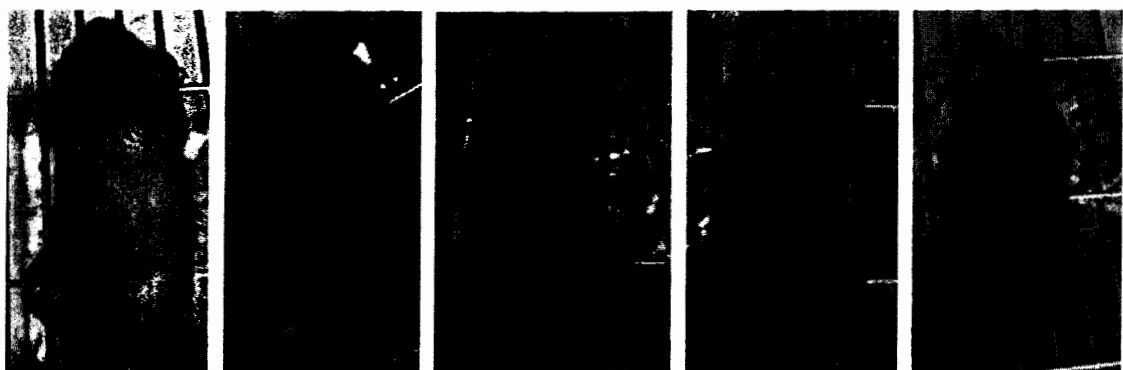
สัปดาห์ที่ 2

สัปดาห์ที่ 3

สัปดาห์ที่ 4

ภาพที่ 4.28 ภาพถ่ายการเจริญของเส้นขนในหนูญี่ปุ่นจักรเพศผู้ สายพันธุ์ C57BL/6Mlac

(ก) 1% Triphala niosomes



(จ) 2.5 % Triphala niosomes



(ฉ) 5% Triphala niosomes



สัปดาห์ที่ 0

สัปดาห์ที่ 1

สัปดาห์ที่ 2

สัปดาห์ที่ 3

สัปดาห์ที่ 4

ภาพที่ 4.28 ภาพถ่ายการเจริญของเส้นขนในหนูนูเก็บจักษณ์สายพันธุ์ C57BL/6Mlac (ต่อ)

จากผลการทดลองการศึกษาประสิทธิภาพของตัวรับนีโอโซมที่บรรจุสารสกัดตรีผลาเพื่อกระตุ้นการเจริญของเส้นผมในสัตว์ทดลอง พบร้า ในสัปดาห์ที่ 0 ไม่มีการเจริญของเส้นขนในทุกกลุ่มการทดลอง

ในสัปดาห์ที่ 1 พบร้า หนูถีบจักรในกลุ่มที่ทาตัวรับความเข้มข้น 5% เริ่มมีการออกของเส้นขนน้อยกว่าร้อยละ 20 ของพื้นที่ทดสอบ โดยมีขนสีดำเริ่มงอก และเริ่มมีขนสีดำ ในบริเวณพื้นที่ทดสอบส่วนในกลุ่มทดสอบอื่น ๆ ยังไม่พบการออกของเส้นขน

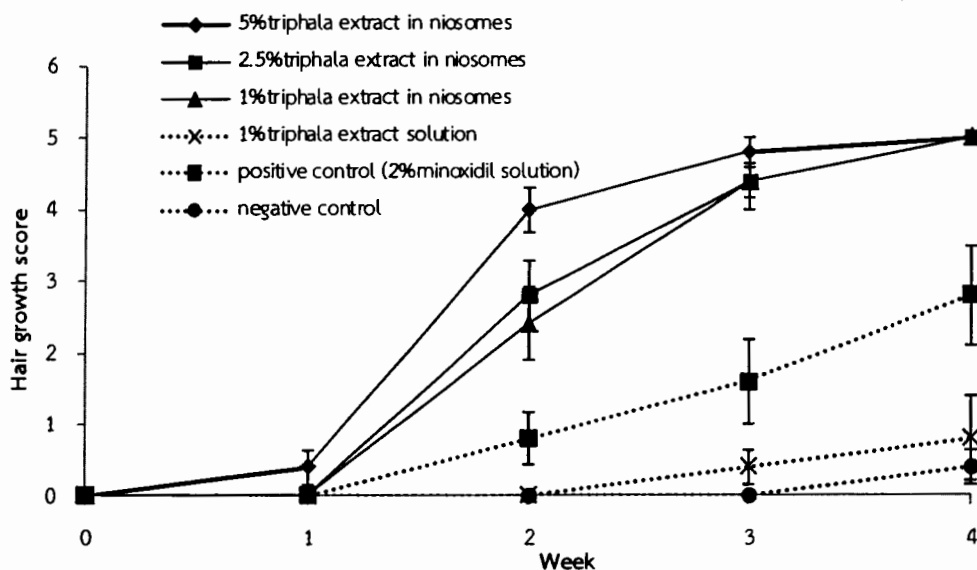
ในสัปดาห์ที่ 2 พบร้า กลุ่มควบคุมพอลบและกลุ่มที่ทาด้วยสารละลายความเข้มข้น 1 % ของสารสกัดตรีผลายังไม่พบการออกของเส้นขน กลุ่มที่ทาด้วย 2% minoxidil solution พบรการออกของเส้นขนน้อยกว่าร้อยละ 20 ของพื้นที่ทดสอบ กลุ่มที่ทาด้วยสารสกัดตรีผลานีโอโซมความเข้มข้น 1 และ 2.5 % พบรการออกของเส้นขน ร้อยละ 20 – 40 ของพื้นที่ทดสอบ ส่วนกลุ่มที่ทาด้วยสารสกัดตรีผลานีโอโซมความเข้มข้น 5% พบรการออกของเส้นขนร้อยละ 60 – 80 ของพื้นที่ทดสอบ โดยเส้นขนที่ออกสามารถสังเกตเห็นได้อย่างชัดเจน และขนมีสีดำเข้ม

ในสัปดาห์ที่ 3 พบร้า กลุ่มที่ทาด้วย 2% minoxidil solution พบรการออกของเส้นขนร้อยละ 20 – 40 ของพื้นที่ทดสอบ กลุ่มที่ทาด้วยสารละลาย 1% ของสารสกัดตรีผลายังพบการออกของเส้นขนน้อยกว่าร้อยละ 20 ของพื้นที่ทดสอบ กลุ่มที่ทาด้วยสารสกัดตรีผลานีโอโซมความเข้มข้น 1, 2.5 และ 5 % พบรการออกของเส้นขนร้อยละ 60 – 80 ของพื้นที่ทดสอบ โดยเส้นขนที่ออกสามารถสังเกตเห็นได้อย่างชัดเจน และขนมีสีดำเข้ม เมื่อเปรียบเทียบกับกลุ่มควบคุมซึ่งยังไม่พบการออกของเส้นขน

ในสัปดาห์ที่ 4 พบร้า กลุ่มควบคุมพบรการออกของเส้นขนน้อยกว่าร้อยละ 20 ของพื้นที่ทดสอบ กลุ่มที่ทาด้วย 2% minoxidil solution พบรการออกของเส้นขนร้อยละ 20 – 40 ของพื้นที่ทดสอบ กลุ่มที่ทาด้วยสารละลาย 1% ของสารสกัดตรีผลายังพบการออกของเส้นขนน้อยกว่าร้อยละ 20 ของพื้นที่ทดสอบ ส่วนกลุ่มที่ทาด้วยสารสกัดตรีผลานีโอโซมความเข้มข้น 1, 2.5 และ 5 % พบรการออกของเส้นขนเต็มพื้นที่ทดสอบ เส้นขนมีสีดำเข้ม มีการออกของเส้นขนมากกว่าร้อยละ 80 ของพื้นที่ทดสอบ

ผลการสังเกตการออกของเส้นขนในหนูถีบจักรเพศผู้ สายพันธุ์ C57BL/6Mlac ในกลุ่มที่ทดสอบด้วยสารสกัดตรีผลานีโอโซมความเข้มข้น 5% พบร้า อัตราการออกของเส้นขนสูงกว่าสารสกัดตรีผลายความเข้มข้น 1 และ 2.5% เนื่องจากสารสกัดตรีผลายความเข้มข้น 5% มีขนาดอนุภาคนีโอโซม $6.27 \pm 0.66 \text{ } \mu\text{m}$ ซึ่งขนาดอนุภาคนีสามารถซึมผ่านเข้าทาง transappendageal สอดคล้องกับการศึกษาของ Lademann et al., (1999); Lademann et al., (2001); Lademann et al., (2006); Schaefer et al., (2001) ผ่านเข้าสู่ hair follicle โดยเข้าไปกระตุ้น hair bulb โดยตรง

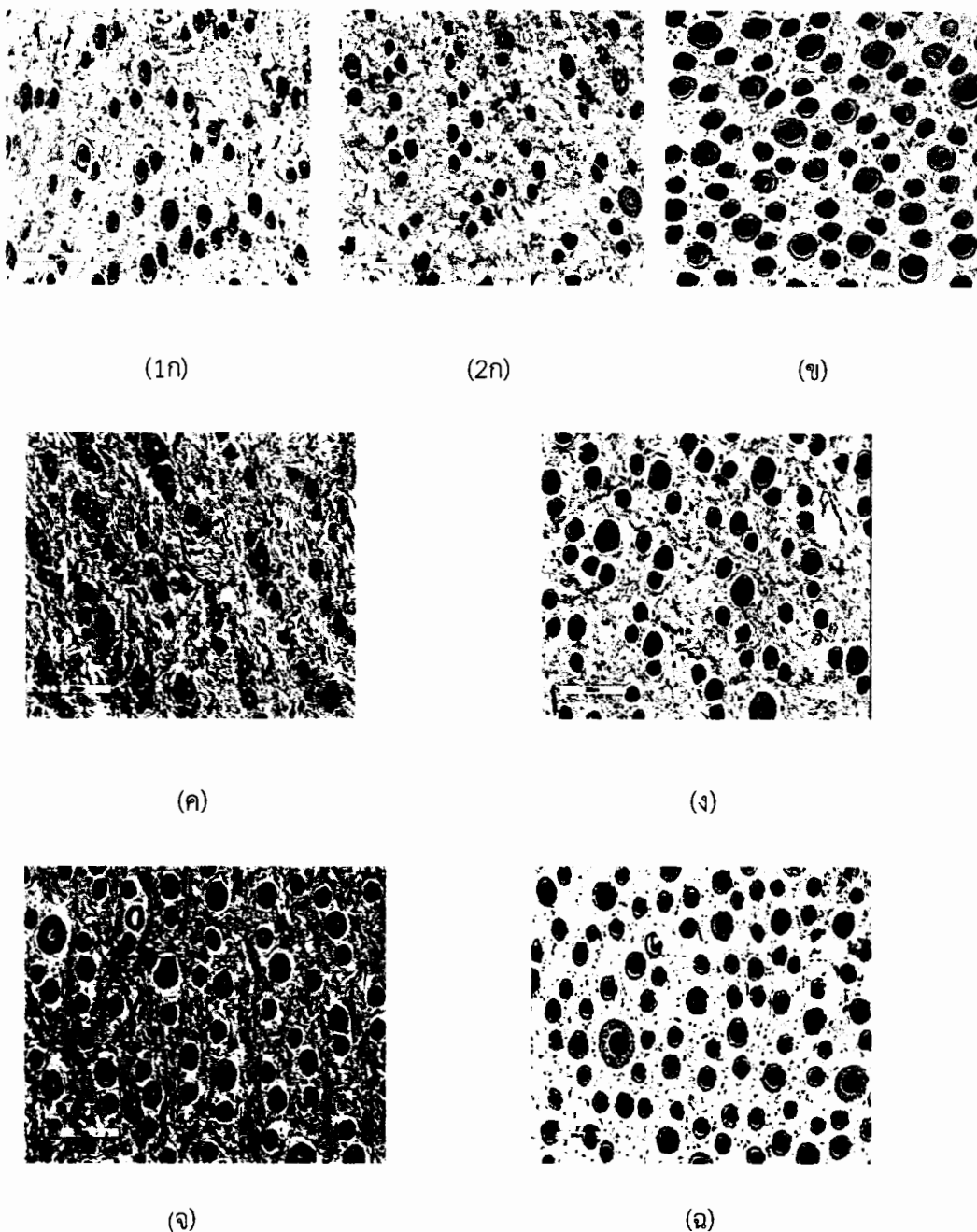
และเมื่อนำมาประเมินตามเกณฑ์การเจริญของเส้นขน แสดงดังในภาพที่ 4.29 และผลการศึกษาเนื้อเยื่อผิวนังของหนูถีบจักรสายพันธุ์ C57BL/6Mlac เพื่อศึกษาระยะการเจริญ จำนวนและขนาดของ hair follicle แสดงดังภาพที่ 4.30 – 4.31



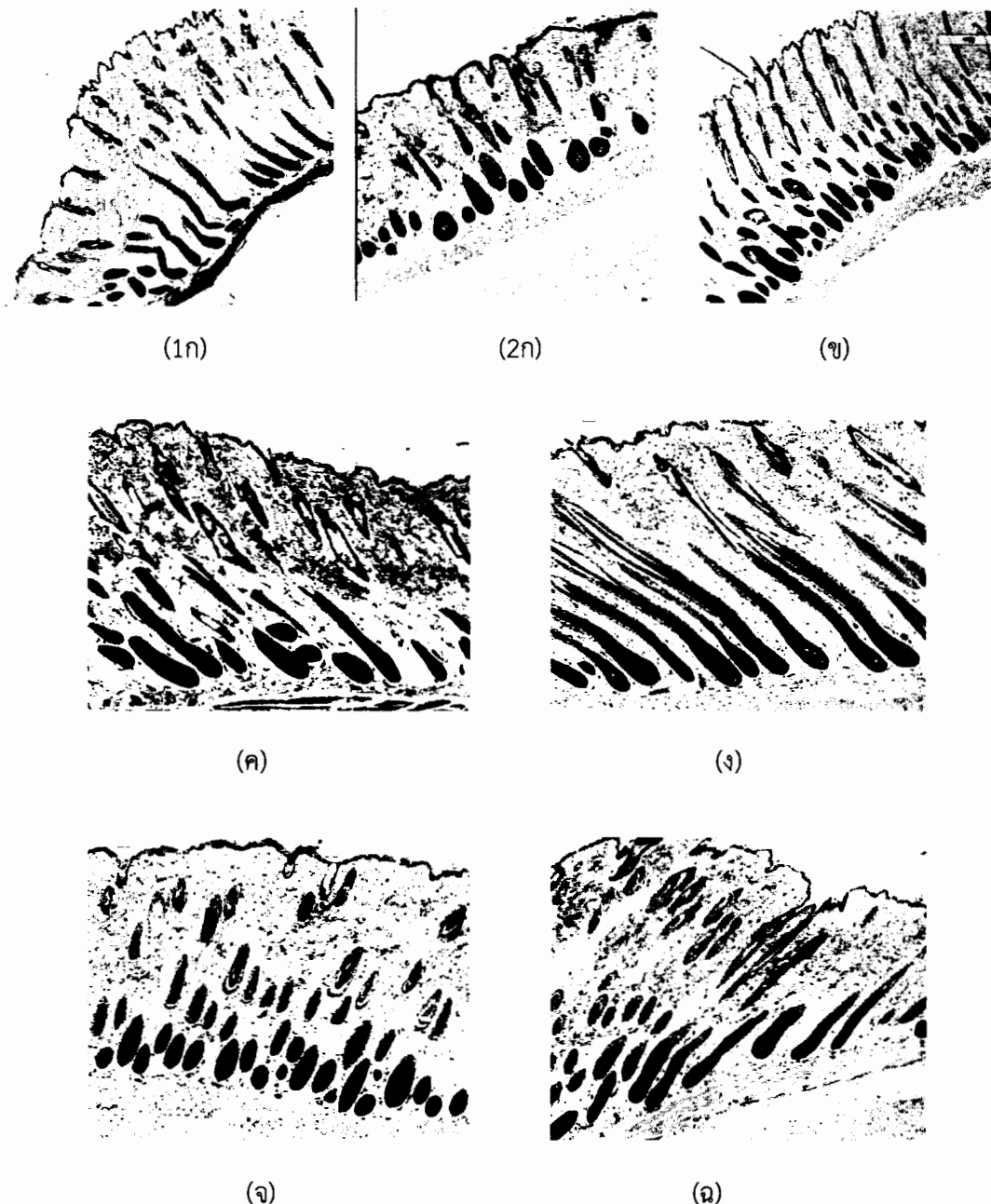
ภาพที่ 4.29 การเจริญของเส้นขนในหนู C57BL/6Mlac mice ประเมินตามเกณฑ์การเจริญของเส้นขน หมายเหตุ: mean±S.E.M, n=5

ผลการศึกษาประสิทธิภาพการกระตุ้นการเจริญของเส้นขนประเมินตามเกณฑ์การเจริญของเส้นขนของตัวบันโน่โฉมที่บรรจุสารสกัดตรีผลความเข้มข้น 1, 2.5 และ 5% (triphala niosomes) สารละลาย 1 % สารสกัดตรีผล (1% triphala solution) กลุ่มควบคุมบวก (positive control) และกลุ่มควบคุมลบ (blank niosomes) ในหนูถีบจักรสายพันธุ์ C57BL/6Mlac เพศผู้ พบว่า สารสกัดตรีผลสามารถให้ความเข้มข้น 1, 2.5 และ 5 % สามารถกระตุ้นการเจริญของเส้นขนเพิ่มขึ้นตามลำดับ เมื่อเปรียบเทียบกับกลุ่มควบคุมบวกและกลุ่มควบคุมลบ

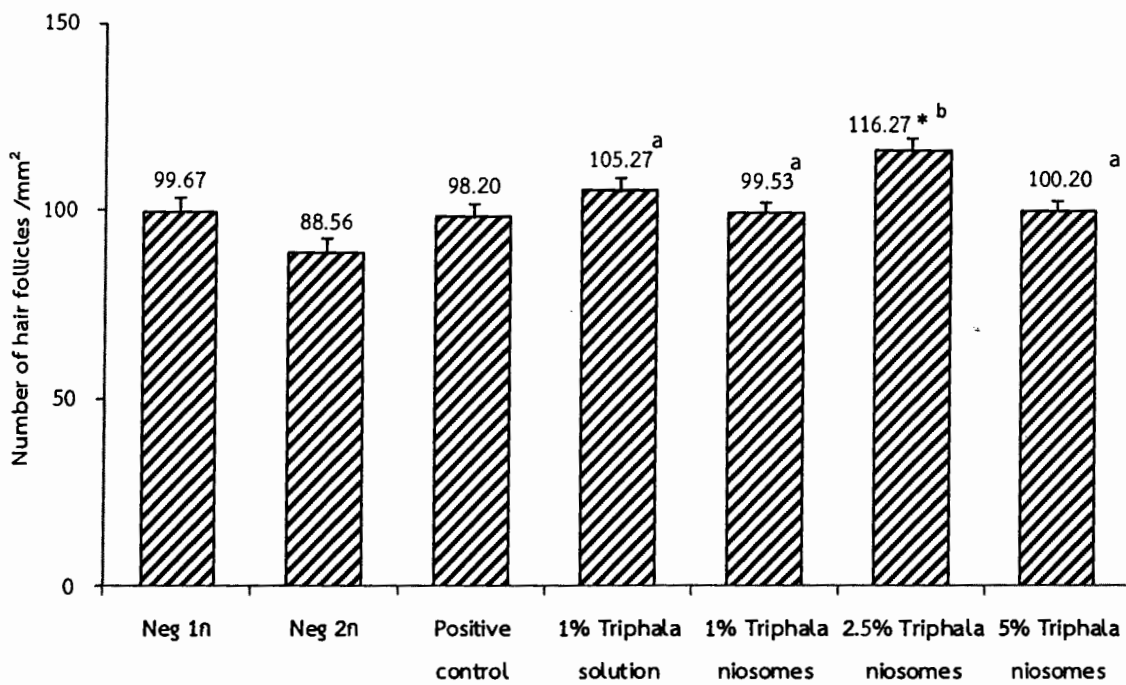
จากการศึกษาประสิทธิภาพการกระตุ้นการเจริญของเส้นขนประเมินตามเกณฑ์การเจริญของเส้นขน เส้นกราฟที่บ่งบอกการเจริญของเส้นขนตามปกติคือ เส้นกราฟในหนูที่ไม่ได้ทาสารใด ๆ ส่วนการเจริญของเส้นขนในหนูที่ทาด้วย 2% minoxidil solution การเจริญของเส้นขนจะเป็นแบบคงที่ ไม่เปลี่ยนแปลง แต่ในกลุ่มหนูที่ทาด้วยสารสกัดตรีผลสามารถให้ความเข้มข้น 1, 2.5 และ 5 % จะกระตุ้นการเจริญของเส้นขน โดยจะเพิ่มอัตราการเจริญของเส้นขน ซึ่งการศึกษานี้สอดคล้องกับการศึกษาของ Kumar et al., (2012)



ภาพที่ 4.30 ภาพตัดขวางผิวหนังหมูถึบจักรเมื่อ (ก) กลุ่มควบคุม (1ก; ไม่ทำการใด 2ก; นีโอโซเมเปล่า) (บ) 2% minoxidil solution (ค) 1% Triphala solution (ง) 1% Tirphala niosomes (จ) 2.5% Tirphala niosomes (ก) 5% Tirphala niosomes ภายใต้กล้องจุลทรรศน์กำลังขยาย 10x ในสัปดาห์ที่ 4 ของ การทดลอง



ภาพที่ 4.31 ภาพตัดตามยาวผิวหนังของหนูถีบจักรเมื่อ (ก) กลุ่มควบคุม (1ก; ไม่ทาสารใด 2ก; นีโอโซเมเปล่า) (ข) 2% minoxidil solution (ค) 1% Triphala solution (ง) 1% tirphala niosomes (จ) 2.5% Tirphala niosomes (ฉ) 5% Tirphala niosomes ภายใต้กล้องจุลทรรศน์กำลังขยาย 4x ในสัปดาห์ที่ 4 ของการทดลอง



ภาพที่ 4.32 จำนวน hair follicle ในหนูถีบจักรเพศผู้ สายพันธุ์ C57BL/6Mlac เมื่อทดสอบด้วยสารทดสอบต่าง ๆ $\text{mean} \pm \text{SEM}$, ($n=5$)

* แตกต่างจากกลุ่มควบคุมอย่างมีนัยสำคัญทางสถิติที่ $p < 0.05$ ($n=5$)

a; ไม่แตกต่างกันอย่างมีนัยสำคัญทางสถิติ $p > 0.05$ ($n=5$)

b; แตกต่างกันอย่างมีนัยสำคัญทางสถิติที่ $p < 0.05$ ($n=5$)

ภาพที่ 4.30, 4.31 และภาพที่ 4.32 ภาพตัดตามขวาง ภาพตัดตามยาวผิวนังหู และจำนวน hair follicle ของกลุ่มทดสอบในหนูถีบจักร สายพันธุ์ C57BL/6Mlac เพื่อศึกษาโครงสร้างของเนื้อเยื่อผิวนังเมื่อทดสอบด้วย (ก) กลุ่มควบคุม (1g; ไม่ทำสารใด 2g; นีโวโน้มเบล่า) (ข) 2% minoxidil solution (ค) 1% triphala solution (ง) 1% tirphala niosomes (จ) 2.5% tirphala niosomes (ฉ) 5% tirphala niosomes โดยการศึกษาภาพตัดขวางสามารถบอกรាជนาว hair follicle ที่พบได้ เมื่อส่องภายใต้กล้องจุลทรรศน์กำลังขยาย 10x ส่วนภาพตัดตามยาวผิวนังสามารถบอกระยะการเจริญของเส้นขนได้ เมื่อส่องด้วยกล้องจุลทรรศน์กำลังขยาย 4x ในสัปดาห์ที่ 4 ของการทดลอง พบร้า จำนวน hair follicle ในกลุ่มที่ทดสอบด้วย 2.5% tirphala niosomes พบมากที่สุด รองลงมาคือ 1% triphala solution, 5% tirphala niosomes, 1% tirphala niosomes และ 2% minoxidil solution ตามลำดับ เมื่อเทียบกับกลุ่มควบคุม พบร้า กลุ่มที่ทดสอบด้วย 2.5%

tirphala niosomes มีจำนวน hair follicle แตกต่างกันอย่างมีนัยสำคัญทางสถิติ ($p<0.05$) และเมื่อเทียบกับกลุ่มที่ทดสอบด้วย 2% minoxidil solution พบว่า กลุ่มที่ทดสอบด้วย 2.5% tirphala niosomes มีจำนวน hair follicle แตกต่างกันอย่างมีนัยสำคัญทางสถิติ ($p<0.05$) และผลการศึกษาภาพตัดตามยาวของผิวหนัง พบว่า ระยะการเจริญของเส้นขนในกลุ่มที่ทดสอบด้วยสารสกัดตรีฟลาโนโอลความเข้มข้น 1, 2.5 และ 5% อูฐในระยะอนาเจน เนื่องจากมีจำนวน hair follicle เพิ่มขึ้น เมื่อเปรียบเทียบกับกลุ่มควบคุมผลลัพธ์

กลุ่มหนูที่ทดสอบด้วยสารสกัดตรีฟลาโนโอลความเข้มข้น 1, 2.5 และ 5% สามารถกระตุ้นการเจริญของเส้นขนได้ เนื่องจาก สารสกัดตรีฟลาโน่าจะไปเพิ่มการทำงานของ hair follicle และกระตุ้นระยะเทโลเจนให้เข้าสู่ระยะอนาเจน และเอนไซม์ 5 α -reductase ในเซลล์รากผมเป็นสาเหตุหนึ่งที่ทำให้เซลล์รากผมมีขนาดเล็กลง (Sinclair., 2004) และจากการศึกษาดูหอด้วยการยับยั้งการทำงานของเอนไซม์ 5 α -reductase พบว่า สารสกัดตรีฟลาสามารถยับยั้งการทำงานของเอนไซม์ดังกล่าวได้ ทำให้ระดับเอนไซม์ 5 α -reductase ในเซลล์รากผมลดลง ทำให้ปริมาณ DHT ลดลง จะทำให้ hair follicle มีขนาดใหญ่ขึ้น และทำให้เส้นขนที่เจริญขึ้นมาใหม่มีขนาดใหญ่ขึ้น แข็งแรงขึ้น สอดคล้องกับการศึกษาของ Kumar et al., (2012) การอธิบายนี้ สามารถอธิบายได้จากความสัมพันธ์ระหว่างค่า FEA กับฤทธิ์ในการกระตุ้นการเจริญของเส้นขน คือ สารสกัดที่มีค่า FEA สูง จะเพิ่มจำนวนของ hair follicle และนำไปสู่การเพิ่มการเจริญของเส้นขน

4.11 ทดสอบการระคายเคืองผิวหนัง (skin irritation) ในกระต่ายขาวสายพันธุ์ New Zealand

การทดสอบการระคายเคืองผิวหนังในกระต่ายขาวสายพันธุ์ New Zealand โดยการศึกษานี้ผ่านการอนุมัติโดยคณะกรรมการจิยธรรมการวิจัยในสัตว์ทดลอง มหาวิทยาลัยอุบลราชธานี เลขที่ใบอนุมัติ ID #6 /2556 /Thesis การระคายเคืองผิวหนังเป็นอาการข้างเคียงหนึ่งที่อาจพบจากการใช้ผลิตภัณฑ์ที่มีส่วนประกอบของตัวยาสำคัญ สารช่วยต่าง ๆ ในตัวรับ การเกิดการระคายเคืองผิวหนังขึ้นอยู่กับหลายปัจจัย เช่น ความเข้มข้นของยา ระยะเวลาที่สัมผัส ความถี่ในการสัมผัส ตำแหน่งของผิวหนัง อัตราการซึมผ่าน และความเป็นพิษของสารที่ใช้ (Jeeratikorn et al., 2007) การทดสอบการระคายเคืองผิวหนังในการศึกษานี้ จำเป็นต้องทดสอบ เนื่องจากสารเครื่องหมาย gallic acid และ ellagic acid ที่ใช้ในการศึกษา มีฤทธิ์เป็นกรด และเป็นการศึกษาความปลอดภัยขนาดของสารสกัดที่ใช้ในการทดสอบการกระตุ้นการเจริญของเส้นผม การทดสอบการระคายเคืองผิวหนังในสัตว์ทดลองด้วยเทคนิค closed patch test (Schmitt et al., 2008) โดยแบ่งกลุ่มทดสอบออกเป็น 6 กลุ่ม ผลการทดสอบการระคายเคืองผิวหนังในสัตว์ทดลอง แสดงดังตารางที่ 4.14 และ 4.15

ตารางที่ 4.14 ระดับความแย่งชิงผิวในกระต่ายขาวสายพันธุ์ New Zealand

กลุ่มทดสอบ	ระยะเวลาที่ทดสอบจนถึงการแสดงการระคายเคือง							
	1 ชั่วโมง		24 ชั่วโมง		48 ชั่วโมง		72 ชั่วโมง	
	อาการ แดง	อาการ บวม	อาการ แดง	อาการ บวม	อาการ แดง	อาการ บวม	อาการ แดง	อาการ บวม
gauze pad	0	0	0	0	0	0	0	0
5% sodium lauryl sulphate	1.7	0	2.0	0	1.0	0	1.0	0
blank niosomes	0	0	0	0	0	0	0	0
1% triphala niosomes	0	0	0	0	0	0	0	0
2.5% triphala niosomes	0	0	0	0	0	0	0	0
5% triphala niosomes	0	0	0	0	0	0	0	0

ตารางที่ 4.15 ระดับการระคายเคืองผิวในกระต่ายขาวสายพันธุ์ New Zealand

กลุ่มทดสอบ	Primary irritation index	ระดับการระคายเคืองผิว
gauze pad	0.00	ไม่ระคายเคือง
5% sodium lauryl sulphate	1.42	ระคายเคืองเล็กน้อย
blank niosomes	0.00	ไม่ระคายเคือง
1% triphala in niosomes	0.00	ไม่ระคายเคือง
2.5% triphala in niosomes	0.00	ไม่ระคายเคือง
5% triphala in niosomes	0.00	ไม่ระคายเคือง

จากผลการศึกษาการระคายเคืองผิวหนัง พบร่วมกับไม่พบการระคายเคืองผิวหนังในสูตรสำหรับนีโอโฉมที่ทำการทดสอบเมื่อเปรียบเทียบกับ positive control (5% sodium lauryl sulphate) โดยมีค่าคะแนนการระคายเคืองผิวหนังเท่ากับ 0.00 หมายความว่า ไม่เกิดการระคายเคืองผิวหนัง

จากการทดสอบการระคายเคืองผิวหนังในกระต่าย ไม่พบการระคายเคืองจากคำรับที่ทดสอบทั้งนี้เนื่องจากส่วนประกอบของคำรับนีโอโฉมประกอบด้วยสารลดแรงดึงผิวนิดไม่มีประจุ ซึ่งเป็นสารที่ไม่เป็นพิษต่อร่างกาย และยังสามารถถลอกตัวในร่างกายได้ ส่วนสารเครื่องหมาย gallic acid และ ellagic acid ถูกกักเก็บในส่วนของ polar head group และ lipid bilayer ของอนุภาคนีโอโฉม ซึ่งจะไม่สัมผัสกับผิวหนังโดยตรง จะช่วยลดอาการไม่พึงประสงค์ และการระคายเคืองผิวหนังได้

บทที่ 5

สรุปผลการศึกษา ข้อเสนอแนะ

5.1 สรุปผลการศึกษา

5.1.1 การวิเคราะห์ปริมาณสารประกอบพื้นอลิก

สารสกัดทั้ง 3 ชนิด คือ สมอพีเกก สมอไทย และมะขามป้อม มีปริมาณสารประกอบพื้นอลิก เท่ากับ 640 ± 11.69 , 642.93 ± 15.23 , 731.66 ± 13.72 mg EAE/g sample และ 821.91 ± 15.00 , 824.90 ± 19.55 , 938.73 ± 17.60 mg GAE/g sample ตามลำดับ และเมื่อวิเคราะห์ปริมาณสารประกอบพื้นอลิกจากการนำสารสกัดทั้ง 3 ชนิดมารวมกันในรูปของสารสกัดตรีผลา พบว่า มีปริมาณสารประกอบพื้นอลิก เท่ากับ 692.13 ± 23 mg EAE/g sample และ 888.02 ± 29.52 mg GAE/g sample ตามลำดับ

5.1.2 การตรวจวิเคราะห์ปริมาณสารเครื่องหมาย (marker) ในสารสกัด

การตรวจวิเคราะห์ปริมาณสารเครื่องหมาย gallic acid และ ellagic acid ในสารสกัดทั้ง 3 ชนิด พบว่า สารสกัดสมอพีเกก สมอไทย และมะขามป้อม มีปริมาณสาร gallic acid และ ellagic acid เท่ากับ 56.28 ± 1.07 , 90.42 ± 0.77 , 146.19 ± 0.24 และ 8.79 ± 0.01 , 7.27 ± 0.00 , 4.44 ± 0.01 mg/g extract ตามลำดับ และในสารสกัดตรีผลามีปริมาณ gallic acid และ ellagic acid เท่ากับ 105.93 ± 0.39 และ 8.06 ± 0.03 mg/g extract ตามลำดับ ซึ่งสารสกัดทั้ง 3 ชนิด และสารสกัดตรีผลา มีปริมาณ gallic acid สูงกว่า ellagic acid

5.1.3 การทดสอบฤทธิ์ต้านอนุมูลอิสระของสารสกัด

การทดสอบฤทธิ์ต้านอนุมูลอิสระของสารสกัดทั้ง 3 ชนิด และสารสกัดตรีผลา โดยทดสอบ 3 วิธี คือ DPPH⁺, ABTS⁺ และ FRAP พบว่า ให้ผลการศึกษาเหมือนกัน คือ สารสกัดมะขามป้อมมีฤทธิ์ต้านอนุมูลอิสระมากที่สุด สารสกัดตรีผลามีฤทธิ์ต้านอนุมูลอิสระใกล้เคียงกับสารสกัดมะขามป้อม และฤทธิ์ต้านอนุมูลอิสระมีความสัมพันธ์กับปริมาณสารประกอบพื้นอลิก โดยสารที่มีปริมาณสารประกอบพื้นอลิกสูงจะมีฤทธิ์ต้านอนุมูลอิสระสูง เช่นกัน ซึ่งการศึกษานี้ให้ผลการศึกษาสอดคล้องกัน และฤทธิ์ต้านอนุมูลอิสระของสารสกัดตรีผลาเป็นอีกฤทธิ์หนึ่งที่อาจจะไปกระตุ้นการเจริญของเส้นผม ด้วยการป้องกันข้อขาว และการเปลี่ยนแปลงอายุของเส้นผม (Chao-Chum et al., 2014)

5.1.4 ทดสอบฤทธิ์ในการยับยั้ง 5 α -reductase

การทดสอบฤทธิ์ในการยับยั้งเอนไซม์ 5 α -reductase พบว่าสารสกัดมะขามป้อมแตกต่างจากสารสกัดสมอพิเกกอย่างมีนัยสำคัญทางสถิติ ($p<0.05$) แต่ไม่ต่างจากสารสกัดสมอไทย ($p>0.05$) ส่วนฤทธิ์ในการยับยั้ง 5 α -reductase ของสารสกัดตรีผลตามแต่กต่างจากสารสกัดทั้ง 3 ชนิด อย่างมีนัยสำคัญทางสถิติ ($p<0.001$) สารสกัดตรีผลมีฤทธิ์ในการยับยั้งเอนไซม์ 5 α -reductase มากกว่าสารสกัดเดี่ยว เนื่องจากสารสกัดตรีผลอาจมีสารอื่น ๆ ที่มีฤทธิ์เสริมการยับยั้งการทำงานของเอนไซม์ 5 α -reductase ที่ยังไม่ได้ศึกษา ซึ่งผลการศึกษานี้สนับสนุนการใช้สารสกัดตรีผลอาที่เห็นอกว่าการใช้สารสกัดเดี่ยว และฤทธิ์ดังกล่าวจะทำให้ปริมาณ DHT ลดลง ซึ่งจะช่วยลดการหลุดร่วงของเส้นผมได้

5.1.5 การหาสภาวะที่เหมาะสมสำหรับเตรียมนีโอโซเมด้วยวิธีตอบสนองพื้นผิว

ผลการศึกษาสภาวะที่เหมาะสมสำหรับการเตรียมนีโอโซเมด้วยวิธีตอบสนองพื้นผิว โดยกำหนดตัวแปรอิสระคือ ปริมาณไขมันทั้งหมด ปริมาณคอเลสเทอรอล และปริมาณสารสกัด ตัวแปรตอบสนอง คือ ขนาดอนุภาคนีโอโซเม และร้อยละการกักเก็บสารสกัด พบว่า ต้องใช้ปริมาณไขมันทั้งหมดเท่ากับ 50 mM ปริมาณคอเลสเทอรอลเท่ากับร้อยละ 10 และปริมาณสารสกัดเท่ากับร้อยละ 0.1 ได้ค่าการตอบสนองขนาดอนุภาคนีโอโซเมเท่ากับ $188.10 \pm 16.34 \text{ nm}$ และร้อยละการกักเก็บสารสกัดเท่ากับ 46.43 ± 4.20 ซึ่งค่าที่ได้จากการทำนายด้วยวิธีตอบสนองพื้นผิวมีค่าใกล้เคียงกับค่าที่ได้จากการทดลองจริง คือ ขนาดอนุภาคนีโอโซเมเท่ากับ 163.89 ± 4.43 และร้อยละการกักเก็บสารสกัดเท่ากับ 47.68 ± 4.68 ดังนั้น การหาสภาวะที่เหมาะสมสำหรับการเตรียมนีโอโซเมด้วยวิธีการตอบสนองพื้นผิว เป็นวิธีที่มีความน่าเชื่อถือ และมีข้อดีคือ สามารถศึกษาตัวแปรหลาย ๆ ตัวพร้อมกันและทราบผลกระทบที่เกิดจากตัวแปรที่ทำการศึกษา

5.1.6 การวิเคราะห์หาร้อยละการเก็บกักสารเครื่องหมายในนีโอโซเม

ผลการวิเคราะห์ร้อยละการกักเก็บสารเครื่องหมาย gallic acid และ ellagic acid ในอนุภาคนีโอโซเม พบว่า สามารถกักเก็บ gallic acid และ ellagic acid ได้เท่ากับร้อยละ 44.16 ± 0.03 และ 79.21 ± 0.06 ตามลำดับ ในนีโอโซเมที่บรรจุสารสกัดตรีผลความเข้มข้น 1, 2.5 และ 5 % สามารถกักเก็บ gallic acid ได้มากกว่าร้อยละ 35 และ ellagic acid ได้มากกว่าร้อยละ 80 ซึ่ง gallic acid จะถูกกักเก็บในส่วน polar head group และ ellagic acid จะถูกกักเก็บไว้ที่ lipid bilayer ในอนุภาคนีโอโซเม ซึ่งสารเครื่องหมายทั้ง 2 ชนิด มีฤทธิ์ในการยับยั้งการทำงานของเอนไซม์ 5 α -reductase ทำให้ testosterone ไม่สามารถเปลี่ยนเป็น DHT ทำให้ปริมาณ DHT ลดลง ซึ่งจะช่วยลดการหลุดร่วงของเส้นผมได้

5.1.7 การศึกษาการปลดปล่อยสาร gallic acid และ ellagic acid จากระบบนำส่งนีโอโซม

ผลการการศึกษาการปลดปล่อยสาร gallic acid และ ellagic acid จากระบบนำส่งนีโอโซม พบว่า การปลดปล่อยสาร gallic acid และ ellagic acid ที่ถูกกักเก็บในอนุภาคนีโอโซมจะถูกปลดปล่อยได้ดีกว่าในรูปสารละลาย และการปลดปล่อยเป็นแบบค่อยๆ ปลดปล่อยสารเครื่องหมายออกมา ส่วน gallic acid และ ellagic acid ที่อยู่ในรูปสารละลายจะถูกปลดปล่อยออกมากอย่างรวดเร็ว จึงสรุปได้ว่า ตัวรับนีโอโซมที่กักเก็บสารสกัดตระพลาไม้มีการปลดปล่อยสารเครื่องหมายแบบออกฤทธิ์เนิน ซึ่งมีข้อดีคือ ลดจำนวนครั้งในการใช้ และลดอาการไม่พึงประสงค์ที่อาจเกิดการระคายเคืองผิวนัง

5.1.8 การศึกษาการซึมผ่านผิวนังของ gallic acid และ ellagic acid จากระบบนำส่งนีโอโซมด้วยหนังสุกรแรกเกิด

ผลการศึกษาปริมาณสารเครื่องหมาย gallic acid และ ellagic acid ที่ซึมผ่านชั้นผิวนังที่ 24 ชั่วโมง พบว่า gallic acid ที่กักเก็บในนีโอโซม สามารถซึมผ่านชั้นผิวนังได้มากกว่า gallic acid ที่อยู่ในรูปสารละลาย และ ellagic acid ที่ถูกกักเก็บในนีโอโซมสามารถซึมผ่านชั้นผิวนังได้มากกว่า ellagic acid ที่อยู่ในรูปสารละลาย

ผลการศึกษาปริมาณ gallic acid และ ellagic acid ที่ซึมผ่านไปในชั้น stratum corneum พบว่า ellagic acid ที่ถูกกักเก็บในนีโอโซม สามารถซึมผ่านเข้าไปในชั้น stratum corneum ได้มากกว่า gallic acid และซึมผ่านได้มากกว่า ellagic acid ที่อยู่ในรูปสารละลาย

ผลการศึกษาปริมาณ gallic acid และ ellagic acid ที่ซึมผ่านในชั้น epidermis และ dermis พบว่า ellagic acid ที่ถูกกักเก็บในนีโอโซม สามารถซึมผ่านเข้าไปในชั้น epidermis และ dermis ได้มากกว่า gallic acid และซึมผ่านได้มากกว่า ellagic acid ที่อยู่ในรูปสารละลาย

ซึ่งสามารถสรุปได้ว่า ระบบนำส่งนีโอโซมสามารถนำส่งสารเครื่องหมาย gallic acid และ ellagic acid ได้ทั้งทางผิวนัง และทางรูขุมขน (transfollicular) ซึ่งเป็นข้อดีของการนำส่งสารเครื่องหมายไปยังตำแหน่งการออกฤทธิ์โดยตรง และช่วยเพิ่มประสิทธิภาพในการออกฤทธิ์ของสารเครื่องหมาย

5.1.9 การทดสอบความคงตัวของตัวรับนีโอโซม

การทดสอบความคงตัวของตัวรับนีโอโซมเมื่อเก็บไว้ที่ 4, 25 และ 45 °C เป็นระยะเวลา 90 วัน พบว่า อนุภาคนีโอโซมที่กักเก็บสารสกัดตระพลาไม้มีความคงตัวดี โดยมีขนาดอนุภาคนีโอโซมทุกอุณหภูมิอยู่ในช่วง 150 - 200 nm ค่าการกระจายขนาดอนุภาคเฉลี่ยเท่ากับ 0.203 ± 0.042 และค่าประจุไฟฟ้าที่ผิวนภาคเฉลี่ยตลอดระยะเวลา 90 วัน ทุกอุณหภูมิมีค่ามากกว่า -30 mV และร้อยละการกักเก็บสารสกัดมากกว่าร้อยละ 45

ผลการศึกษาความคงตัวของสารสกัดตรีผลล่าที่กักเก็บในนีโอโซมความเข้มข้น 1, 2.5 และ 5% พบว่า ขนาดอนุภาคนีโอโซมอยู่ในช่วง $0.2 - 7 \mu\text{m}$ ค่าประจุไฟฟ้าที่ผิวนูภาคมากกว่า -30 mV แต่สารสกัดตรีผลล่าที่กักเก็บในนีโอโซมความเข้มข้น 5% เริ่มไม่คงตัวในเดือนที่ 2 เป็นต้นไป โดยเริ่มมีการแตกตะกอนของสารสกัด และขนาดอนุภาคมีขนาดใหญ่ขึ้น ส่วนร้อยละการกักเก็บสารเครื่องหมายสามารถกักเก็บสารเครื่องหมาย gallic acid ได้มากกว่าร้อยละ 35 และ ellagic acid ได้มากกว่าร้อยละ 80 ดังนั้น สารสกัดตรีผลล่าที่กักเก็บในนีโอโซมความเข้มข้น 1 และ 2.5 % เป็นสูตรต่ำรับที่ควรจะพัฒนาในทางเครื่องสำอางที่ลดการหลุดร่วงของเส้นผม และช่วยกระตุ้นการเจริญของเส้นผมต่อไป

5.1.10 การทดสอบฤทธิ์ในการกระตุ้นการอกรของเส้นผมในสัตว์ทดลอง

การทดสอบฤทธิ์ในการกระตุ้นการอกรของเส้นขนในหนูถีบจักรเพศผู้ สายพันธุ์ C57BL/6Mlac แบ่งกลุ่มการทดลองเป็น 6 กลุ่ม โดยใช้ 2% minoxidil solution เป็นกลุ่มควบคุม ผลบวก ทำการศึกษา 4 สัปดาห์ สังเกตการอกรของเส้นขนจากภาพถ่าย โดยการให้คะแนนการอกรของเส้นขน ในสัปดาห์ที่ 1, 2, 3 และ 4 พบว่า กลุ่มการทดลองที่ทดสอบด้วยสารสกัดตรีผลล่าที่กักเก็บในนีโอโซมความเข้มข้น 1, 2.5 และ 5% พบรการอกรของเส้นขนมากกว่าร้อยละ 80 ในสัปดาห์ที่ 4 ทั้งนี้ เนื่องจากสารสกัดตรีผลล่าเพิ่มอัตราการอกรของเส้นขน ทำให้เส้นขนยาวเร็วขึ้น ซึ่งยาวเร็วกว่ากลุ่มควบคุม และผลการศึกษาเนื้อเยื่อผิวนังของหนูถีบจักร สายพันธุ์ C57BL/6Mlac เมื่อสิ้นสุดการสังเกตการอกรของเส้นขนในสัปดาห์ที่ 4 พบว่า กลุ่มที่ทดสอบด้วยสารสกัดตรีผลล่าที่กักเก็บในนีโอโซมความเข้มข้น 2.5% มีจำนวนและขนาดของ hair follicles เพิ่มขึ้น แตกต่างจากกลุ่มควบคุมอย่างมีนัยสำคัญทางสถิติ ($p < 0.05$) ส่วนระยะการอกรเส้นขนสามารถบอกรได้จากภาพเนื้อเยื่อตัดตามยาว พบว่า ระยะการอกรของเส้นขนในกลุ่มที่ทดสอบทั้งหมดอยู่ในระยะอนาเจน เนื่องจากพบการอกรของเซลล์รากขนจำนวนมาก ดังนั้น จึงสามารถสรุปได้ว่า สารสกัดตรีผลล่าที่กักเก็บในนีโอโซมสามารถกระตุ้นการอกรของเส้นขนได้ โดยกระตุ้นการเจริญของเส้นขนจากระยะเทโพเจนให้เข้าสู่ระยะอนาเจน กระตุ้นการทำงานของเซลล์รากขนในระยะอนาเจน เพิ่มขนาดของเซลล์รากขน ทำให้เส้นขนทึ่งอกขึ้นมาใหม่มีขนาดใหญ่ขึ้น และแข็งแรงขึ้น

5.1.11 ทดสอบการระคายเคืองผิวนัง (skin irritation) ในสัตว์ทดลอง

ผลการทดสอบการระคายเคืองผิวนังในกระต่ายขาวสายพันธุ์ New Zealand แบ่งกลุ่มการทดสอบเป็น 6 กลุ่ม โดยใช้ 5% sodium lauryl sulphate เป็นกลุ่มควบคุม สังเกตการระคายเคืองผิวนังที่ 1, 24, 48 และ 72 ชั่วโมง พบว่า สารสกัดตรีผลล่าที่กักเก็บในนีโอโซมความเข้มข้น 1, 2.5 และ 5 % ไม่พบรการระคายเคืองผิวนัง ทั้งนี้เนื่องจากสารเครื่องหมาย gallic acid และ ellagic acid บางส่วนถูกกักเก็บในอนุภาคโซโนม ทำให้สารเครื่องหมายทั้ง 2 ชนิด ไม่สัมผัสกับผิวนังโดยตรง จึงไม่เกิดการระคายเคืองผิวนัง นอกจากนี้สารลดแรงตึงผิวนิดไม่มีประจุที่เป็นส่วนประกอบของอนุภาค นีโอโซม เป็นสารที่ไม่เป็นพิษ สามารถถลายน้ำในร่างกายได้

จากผลการศึกษาในครั้งนี้ สารสกัดตรีผลาช่วยลดการหลุดร่วงของเส้นผมได้ โดยยับยั้งการทำงานของเอนไซม์ 5α -reductase ซึ่งเป็นเอนไซม์ที่เปลี่ยน testosterone ให้เป็น DHT ทำให้ปริมาณ DHT ลดลง ซึ่งจะช่วยลดการหลุดร่วงของเส้นผมได้ และถูกใช้ในการต้านอนุมูลอิสระของสารสกัดตรีผลา อาจมีส่วนช่วยชะลอการแก่ของเซลล์ ช่วยลดการหลุดร่วงของเส้นผมได้เช่นกัน สารสกัดตรีผลาสามารถเตรียมให้กักเก็บในนีโอโซมได้ จากการศึกษาสภาวะที่เหมาะสมด้วยวิธีการตอบสนองพื้นผิว ทำให้ได้สภาวะที่เหมาะสมในการเตรียมสารสกัดตรีผลาที่กักเก็บในนีโอโซม ได้ขนาดอนุภานนีโอโซมที่เหมาะสมในการนำส่งทางรูขุมขน และได้ร้อยละการกักเก็บสารเครื่องหมาย gallic acid มากกว่าร้อยละ 35 และ ellagic acid มากกว่าร้อยละ 80 ซึ่งสารเครื่องหมายทั้ง 2 ชนิด มีฤทธิ์ในการยับยั้งการทำงานเอนไซม์ 5α -reductase ทราบฤทธิ์ของสารสกัดตรีผลาที่กักเก็บในนีโอโซมที่สามารถกระตุ้นการออกของเส้นผมได้โดยสารสกัดตรีผลาทำให้ระยะเทโโลเจนเข้าสู่ร่างกายผ่านเจน กระตุ้นการทำงานของ hair follicle ในระยะผ่านเจน เพิ่มจำนวนและขนาดของ hair follicle ทำให้เส้นผมที่อกขึ้นมาใหม่มีขนาดใหญ่ขึ้น และแข็งแรงขึ้น และสารสกัดตรีผลาที่กักเก็บในนีโอโซมมีความปลอดภัย ไม่เกิดการระคายเคืองผิวนัง ดังนั้น สารสกัดตรีผลาที่กักเก็บในนีโอโซมควรจะนำไปพัฒนาต่อในทางอุตสาหกรรม เพื่อลดการหลุดร่วงของเส้นผม กระตุ้นการออกของเส้นผม และเป็นอีกทางเลือกหนึ่งสำหรับผู้ที่มีปัญหาผมร่วง

5.2 ข้อเสนอแนะ

5.2.1 การศึกษาการปลดปล่อยสารสกัดจากระบบน้ำส่งนีโอโซมครัวทำด้วยวิธี franz diffusion cell เนื่องจากตัวรับที่พัฒนาขึ้นเป็นรูปแบบนำเสนอส่งทางผิวนัง ส่วนการศึกษาการปลดปล่อยด้วย dialysis bag สารสกัดจะแพร่ในทุกทิศทางที่สัมผัสกับ release medium

5.2.2 ควรมีการศึกษาสารชนิดอื่น ๆ ในสารสกัดตรีผลา เพื่อนำไปใช้ประโยชน์ต่อไป

5.2.3 ควรทำการศึกษาเปรียบเทียบประสิทธิภาพของตัวรับนีโอโซมที่บรรจุสารสกัดตรีผลาเพื่อกระตุ้นการเจริญของเส้นผมในอาสาสมัครที่มีปัญหาผมร่วงต่อไป

เอกสารอ้างอิง

เอกสารอ้างอิง

- อรัญญา มโนสร้อย และคณะ. “การประยุกต์เทคโนโลยี nanoในการนำส่งสารผ่านทางราก”, สถาบันวิจัยและพัฒนาวิทยาศาสตร์และเทคโนโลยี: มหาวิทยาลัยเชียงใหม่, 2008.
- อรุณ รนเขตไฟศาล. “ระบบนำส่งนีโอโซมในทางเภสัชกรรม”, วารสารเภสัชศาสตร์อีสาน. 8(2) : 12-26, 2555.
- Abd-Elbary, A., El-laithy, H.M. and Tadros, M.I. “Sucrose stearate-based proniosome-derived niosomes for the nebulisable delivery of cromolyn sodium”, *International Journal Pharm.* 357(1-2): 189-198, 2008.
- Abramowicz, M. “Propecia and rogaine extra strength for alopecia”, *The Medical Letter*. 40: 25–27, 1998.
- Abell, E. “Histologic response to topically applied minoxidil in male-pattern alopecia”, *Clinical Dermatology*. 6: 191–4, 1988.
- Adhirajan, N., and et al. “In vivo and in vitro evaluation of hair growth potential of *Hibiscus rosa-sinensis* Linn.” *Journal Ethnopharmacol.* 88(2-3): 235–239, 2003.
- Ahmad I, Mehmood Z, Mohammad F. “Screening of some Indian medicinal plants for their antimicrobial properties”, *Journal of Ethnopharmacology*. 62(2): 183-193, 1998.
- Alexa, P., and et al. “Hair follicles,their disorders and their opportunities”, *Drug Discovery Today: Disease Mechanisms*. 5(2): 173-180, 2008.
- Allen, T. “Photon correlation spectroscopy in particle size measurement”, 1. Allen T., Chapman & Hall. London. 426, 1997.
- Andrea, C.L., and et al. “Transfollicular drug delivery”, *Pharmaceutical Research*. 12(2): 179-186, 1995.
- Aranya, M., and et al. “Transfollicular enhancement of gel containing cationic niosomes loaded with unsaturated fatty acid in rice (*Oryza sativa*) bran semi-purified fraction”, *European Journal of Pharmaceutics and Biopharmaceutics*. 81(2): 303-313, 2012.
- Arora, S., Kaur, K. and Kaur, S. “Indian medicinal plants as a reservoir of protective phytochemicals”, *Teratogenic Carcinogen Mutagen*. 23(1): 295-300, 2003.

ເອກສາຮ້ອງອົງ (ຕ່ອ)

- Azmin, M.N., and et al. "The effect of non-ionic surfactant vesicle (níosome) entrapment on the absorption and distribution of methotrexate in mice", **Journal of Pharmacy and Pharmacology.** 37(4): 237-242, 1985.
- Babu, D., Gurumurthy, P. and Cherian, S. "Antioxidant and free radical scavenging activity of triphala determined by using different in vitro models", **Journal Medicinal Plant Research.** 7(39): 2898 – 2905, 2013.
- Baden, P., and Kobilus, J. "Effect of minoxidil on cultured keratinocytes", **Journal of Investigative Dermatological.** 81(6): 558-60, 1983.
- Bahulikar, S., Kashalkar, V., and Pundlik, D. "HPLC in standardization of herbal drugs: studies on Triphala powder", **Asian Journal of Chemistry.** 15: 229 – 234, 2003.
- Baillie A.J., and et al. "The preparation and properties of niosomes- Non-ionic surfactant vesicles", **Journal of Pharmacy and Pharmacology.** 37(12): 863-868, 1985.
- Balakrishnan, P., and et al. "Formulation and in vitro assessment of minoxidil niosomes for enhanced skin delivery", **International Journal of Pharmaceutics.** 377(2): 1–8, 2009.
- Barry, B. "Novel mechanisms and devices to enable successful transdermal drug delivery", **European Journal of Pharmaceutical Science.** 14: 101 – 114, 2001.
- Basketter, A., et al. "Determination of skin irritation potential in the human 4-h patch test", **Contact Dermatitis.** 51(1): 1–4, 2004.
- Basketter, D., Jirova, D. and Kandárová, H. "Review of skin irritation/corrosion Hazards on the basis of human data: a regulatory perspective", **Interdisciplinary Toxicology.** 5(2): 98–104, 2012.
- Balasubramaniam, A., Kumar, V.A., and Pillai, K.S. "Formulation and *in vivo* evaluation of niosome encapsulated daunorubicin hydrochloride", **Drug Development and Industrial Pharmacy.** 28(10): 1181-1193, 2002.
- Bertolino, A.P. "Alopecia areata: A clinical overview", **Postgraduate Medical Journal.** 107(7): 81-90, 2002.

เอกสารอ้างอิง (ต่อ)

- Bernsdorff, C., and et al. "Effect of hydrostatic pressure on water on penetration and rotation dynamics in phospholipids-cholesterol bilayer", **Biophysical Journal.** 72: 1264-1277, 1997.
- Beugin-Deroo, S., Ollivon, M., and Lesieur, S. "Bilayer stability and impermeability of nonionic surfactant vesicles sterically stabilized by PEG- cholesterol conjugates", **Journal Colloid Interface Science.** 202: 324-333, 1998.
- Bolzinger, M., and et al. "Penetration of drugs through skin, a complex rate-controlling membrane", **Current Opinion in Colloid & Interface Science.** 17: 156-165, 2012.
- Bouwstra, J.A., VanHal, D.A. and Hofland, H.J. "Preparation and characterization of nonionic surfactant vesicles", **Colloids and Surfaces A: Physicochemical and Engineering Aspects.** 71-80, 1997.
- Cable, C. "An examination of the effects of surface modifications on the physicochemical and biological properties of non-ionic surfactant vesicles", Doctor's Thesis: The University of Strathclyde Glasgow, 1989.
- Chao-Chum.Y., Chin-Chian, C. and Wen-Chich, C. "Aging and anti-aging in hair and hair loss", Research and clinical intervention. 231-246, 2014.
- Chaudhuri, R. K. "Standardised extract of Phyllanthus emblica: A skin lightener with anti-aging benefits", In **Proceedings PCIA Conference**, Guangzhou, China, 2004.
- Chaudhuri, R.K. Gutierrez, G. and Serrar, Mustafa. "Low Molecular-Weight Tannins of Phyllanthus emblica: A New Class of AntiAging Ingredients", In **Proceedings Active Ingredients Conference**, Paris, 2003.
- Chul-Ho, C., Jong-Sup, B. and Yong-Ung, K. "5-Reductase Inhibitory Components as Antiandrogens From Herbal Medicine", **Journal of Acupuncture and Meridian Studies.** 3(2): 116-118, 2010.
- Datta, K., and et al. "Eclipta alba extract with potential for hair growth promoting activity", **Journal of Ethnopharmacology.** 124: 450–456, 2009.

ເອກສາຮອ້າງອີງ (ຕ່ອ)

- Deepali, J., and et al. "Effect of *Tectona grandis* Linn. seeds on hair growth activity of albino mice", **International Journal of Ayurveda Research.** 1(4), 2010.
- Diani, A.R., and et al. "Hair growth effects of oral administration of finasteride, a steroid 5-alpha-reductase inhibitor, alone and in combination with topical minoxidil in the balding stump-tail macaque", **Journal of Clinical Endocrinology and Metabolism.** 74: 345–350, 1992.
- Drake, L., and et al. "The effect of finasteride on scalp skin and serum androgen level in men with androgenetic alopecia", **Journal American Academy Dermatology.** 41: 555-63, 1999.
- Domashenko, A., and et al. "Efficient delivery of transgenes to human hair follicles progenitor cells using topical lipoplex", **Nature Biotechnology.** 18(4): 420-423, 2000.
- El- Mekkaway, M., and Merelhy, M. "Inhibitory effects of Egyptian folk medicines on human immunodeficiency virus (HIV) reverse transcriptase", **Chemical and Pharmaceutical Bulletin.** 43: 641-648, 1995.
- EL-Samalig, M. S., Afifi, N.N., and Mahmoud, E.A. "Increasing bioavailability of silymarin using a buccal liposomal delivery system: preparation and experimental design investigation", **International Journal of Pharmacology.** 308: 140-148, 2006.
- Escobar, R. J., and et al. "The tape stripping technique as a method for drug quantification in skin", **Journal of Pharmacy and Pharmaceutical Sciences.** 11(1): 104-130, 2008.
- Finsey, R. "Particle sizing by quasi-elastic light scattering", **Advanced Colloid Interface Science:** 52: 79-143, 1994.
- Gray, M., and et al. "Lipid composition of the superficial stratum corneum cells of the epidermis", **British of Journal Dermatology.** 106: 59–63, 1982.
- Gregoriadis, A., and Davis, C. "Stability of liposomes in vivo and in vitro is promoted by their cholesterol content in the presence of blood cells", **Biochemistry and Biophysical research communication.** 90: 1287-1293, 1979.

เอกสารอ้างอิง (ต่อ)

- Ghosal, S., Tripathi, V.K., and Chanhau, S. "Active constituent of *Emblica officinalis*: part 1 the chemistry and antioxidant effect of two new hydrolysable tannins, emblicanin A and B", **Indian Journal of Chemistry.** 35: 941-948, 1996.
- Gormley, J. "Finasteride : A clinical review", **Biomed and Pharmacotherapy.** 49: 319 – 324, 2010.
- Hanna, W., and Krzysztof, C. "Targeting to the hair follicles: Current status and potential", **Journal of Dermatological Science.** 57: 83–89, 2010.
- Harada, N., and et al. "Administration of capsaicin and isoflavone promotes hair growth by increasing insulin-like growth factor-I production in mice and in humans with alopecia", **Growth Hormone & IGF Research.** 17: 408-415, 2007.
- Harada, N., and et al. "Effect of topical application of raspberry ketone on dermal production of insulin-like growth factor-I in mice and on hair growth and skin elasticity in human", **Growth Hormone & IGF Research.** 18: 335-344, 2008.
- Huh N.W., and et al. "The interaction of polyphenols with bilayer: conditions for increasing bilayer adhesion", **Biophysical Journal.** 71: 3261-3277, 1996.
- Hunter, C.A., and et al. "Vasicular systems (níosomas and liposomas) in experimental murine visceral leishmaniasis for delivery of sodium stibogluconate", **Journal of Pharmacy and Pharmacology.** 40: 161- 165, 1988.
- Jacobi, U. and et al. "Follicles play a role as penetration pathways in in vitro studies on porcine skin? An optical study", **Laser Physics 2005.** 15: 1594-98, 2005.
- Jagetia, G.C., and et al. "The evaluation of the radioprotective effect of Triphala (an Ayurvedic rejuvenating drug) in the mice exposed to radiation", **International Journal of Phytomedicine.** 9: 99–108, 2002.
- Jayaweera, D.M. "Medicinal Plants used in Ceylon Part 2", **National Science Council of Sri Lanka.** Colombo, 1980.
- Jose, E., and et al. "Nanocarrier Systems for Transdermal Drug Delivery"

เอกสารอ้างอิง (ต่อ)

- Jung, S., and et al. "Innovative liposomes as a transfollicular drug delivery system : penetration into porcine hair follicles", **Journal of Investigative Dermatology.** 126(8): 1728-1732, 2006.
- Junlatat, J., and Sripanidkulcha, B. "Hair growth promotion, cytotoxicity and skin permeability evaluations of *Carthamus tinctorius* floret extract"
- Kang, J., and et al. "Effect of Dieckol, a component of *Ecklonia cava*, on the Promotion of Hair Growth", **International Journal Molecular Science.** 13: 6407-6423, 2012.
- Kaufman, D., and et al. "Finasteride in treatment of men with androgenetic alopecia", **Journal American Academy Dermatology.** 39: 578-89, 1998.
- Kim, H.J., and et al. "Influence of Amla (*Emblica Officinalis* Gaertn) on hypercholesterolemia and lipid peroxidation in cholesterol-fed rats", **Journal Nutritional Science and Vitaminology.** 51: 413-418, 2005.
- Kirwin, C.J. "Eye and skin local toxicity testing in toxicology: principle and practice", vol 2 edited by Sperling F. a Wiley-Interscience publication. 169-175, 1984.
- Kligman, A.M. "The comparative histopathology of male-pattern baldness and senescent baldness", **Clinical Dermatology.** 6(4): 108–118, 1988.
- Krishnaveni, M., and Mirunalini, S. "Amla-the role of Ayurvedic therapeutic herb in cancer", **Asian Journal of Pharmaceutical and Clinical Research.** 4(3): 13-17, 2011.
- Kriengsak, T., and et al. "Comparison of ABTS, DPPH, FRAP, and ORAC assays for estimating antioxidant activity from guava fruit extracts", **Journal of Food Composition and Analysis.** 19(-): 669–675, 2006.
- Krause, K. and Foitzik, K. "Biology of the hair follicle:the basics", **Seminar in Cutaneous Medicine and Surgery.** 25(1): 2–10, 2006.
- Kumar, N., and et al. "Effects of Ionizing Radiation on Microbial Decontamination, Phenolic Contents, and Antioxidant Properties of Triphala", **Journal of food science.** 74: 3, 2009.

ເອກສາຮອ້າງອີງ (ຕ່ອ)

- Kumar, T., and et al. "Screening of steroid 5 α -reductase inhibitory activity and total phenolic content of Thai plants", **Journal of Medicinal Plants Research.** 5(7): 1265-1271, 2011.
- Kumar, T., and et al. "5 α -reductase inhibition and hair growth promotion of some Thai plants traditionally used for hair treatment", **Journal of Ethnology and pharmacology.** 139: 765–771, 2012.
- Kwon, O.S., and et al. "Human hair growth enhancement in vitro by green tea epigallocatechin-3-gallate (EGCG)", **International Journal of Phytomedicine.** 14: 551-555, 2007.
- Lacy, C.F., and et al. "Drug Information Handbook with International Trade Names Index", 17th ed. LexiComp Inc., United States: 652–653, 2008.
- Ladmann, J., and et al. "Investigation of follicular penetration of topically applied substances", **Skin Pharmacology and Applied Skin Physiology.** 14(1): 17-22, 2001.
- Ladmann, J., and et al. "Hair follicles-A long-term reservoir for drug delivery", **Skin Pharmacology and Physiology.** 19(4): 232-236, 2006.
- Ladmann, J., and et al. "Penetratation of Titanium Dioxide Microparticles in a Sunscreen Formulation into the Horny Layer and the Folliculare Orifice", **Skin Pharmacology and Applied Skin Physiology.** 12(5): 247-256, 1999.
- Lademann, J., and et al. "Nanoparticles – an efficient carrier for drug delivery into the hair follicles", **European of Journal Pharmaceutical and Biopharmaceutics.** 66(2): 159–164, 2007.
- Lee, G., and et al. "The essential oils of *Chamaecyparis obtusa* promote hair growth through the induction of vascular endothelial growth factor gene", **Fitoterapia.** 81: 17–24, 2010.
- Long, A., and et al. "Human stratum corneum polar lipids and desquamation", **Archives in Dermatology Research.** 277: 284-87, 1985.

เอกสารอ้างอิง (ต่อ)

- Nadkarni, A.K. "Indian Materia Medica, 3rd ed. Mumbai, India: Popular Press Ltd., 1976
- Naik, G.H., Priyadarshini, K.I. and Mohan, H. "Free radical scavenging reactions and phytochemical analysis of triphala, an ayurvedic formulation", **Current Science.** 90(8): 1100–5, 2006.
- Namdeo, A., and Jain, K. "Niosomal delivery of 5-fluorouracil", **Journal of Microencapsulation.** 16(6): 731-740, 1999.
- Naphatson, K., and et al. "5 α -reductase inhibition and hair growth promotion of some Thai plants traditionally used for hair treatment", **Journal of Ethnopharmacology.** 139(3): 765-771, 2012.
- Neste, V., and et al. "Finasteride increase anagen hair in men with androgenetic alopecia", **British Journal of Dermatology.** 143: 804-810, 2000.
- Nasseri, B., and Florence, A.T. "Microtubules formed by capillary extrusion and fusion of surfactant vesicles", **International Journal of Pharmaceutic.** 266: 91-98, 2003.
- Ogiso, T., and et al. "Transfollicular Drug Delivery: Penetration of Drugs Through Human Scalp Skin and Comparison of Penetration Between Scalp and Abdominal Skins *In Vitro*", **Journal of Drug Targeting.** 10(5): 369-378, 2002.
- Olsen, A., and et al. "A randomized clinical trial of 5% topical minoxidil versus 2% topical minoxidil and placebo in the treatment of androgenic alopecia in men", **Journal of the American Academy of Dermatological.** 47: 377-85, 2002.
- Olsen, A. "Androgenetic alopecia. In: Olsen EA (ed). Disorders of hair growth: Diagnosis and treatment", New York: McGraw-Hil. 257–287, 1993.
- Olsen, A., and Weine, R.S. "Topical minoxidil in male pattern baldness: Effect of discontinuation of treatment", **Journal of the American Academy of Dermatological.** 17: 97-101, 1987.
- Onanong, K., and et al. "Phenolic compounds and antioxidant activities of edible flowers from Thailand", **Journal of functional foods.** 3(-): 88 –99, 2011.

ເອກສາຣ້ອ້າງອີງ (ຕ່ອ)

- Ozer, A.Y., Hincal, A.A. and Bouwstra, J.A. “A novel drug delivery system nonionic surfactant vesicles”, **European Journal of Pharmaceutics and Biopharmaceutics.** 37: 75-79, 1991.
- Park, S., Shin, W. and Ho, J. “*Fructus panax ginseng* extract promotes hair regeneration in C57BL/6 mice”, **Journal of Ethnopharmacology.** 138: 340–344, 2011.
- Park, H., Zhang, N. and Park, D. “Topical application of *Polygonum multiflorum* extract induces hair growth of resting hair follicles through upregulating Shh and β -catenin expressin in C57BL/6 mice”, **Journal of Ethnopharmacology.** 135: 369-375, 2011.
- Park, W., and et al. “The extract of *Thujae occidentalis* semen inhibited 5 α -reductase and androchronogenetic alopecia of B6CBAF1/j hybrid mouse”, **Journal of Dermatological Science.** 31: 91-98, 2003.
- Pfundstein, B., and et al. “Polyphenolic compounds in the fruits of Egyptian medicinal plants (*Terminalia bellerica*, *Terminalia chebula* and *Terminalia horrida*): characterization, quantitation and determination of antioxidant capacities”, **Phytochemistry.** 71(10): 1132-1148, 2010.
- Pham, T.T. and et al. “Liposome and noisome preparation using a membrane contactor for scale-up”, **Colloids and Surfaces B: Biointerfaces.** 94: 12-21, 2012.
- Pinto, A.S., Couri, G. and Goncalves, E.B. “Replacement of methanol by ethanol on gallic acid determinationby rhodanine and its impacts on the tannase assay”, **Electronic Journal of environmental agricultural and food chemistry.** 5: 1560 – 1568, 2006.
- Poltanov, E. A., and et al. “Chemical and antioxidant evaluation of Indian gooseberry (*Emblica officinalis* Gaertn., syn. *Phyllanthus emblica* L.) supplements”, **Journal of Phytotherapy Research.** 23: 1309–1315, 2009.
- Ponnusankar, S., and et al. “Cytochrome P450 inhibition assay for standardized extract of *Terminalia chebula* Retz”, **Phytotherapy Research.** 25(1): 151-154, 2011.

เอกสารอ้างอิง (ต่อ)

- Potts, O., and Francoeur, L. "The influence of stratum corneum morphology on water permeability", **Journal of Investigative Dermatology.** 96: 495-499, 1991.
- Potts, O., and Guy, H. "Predicting skin permeability", **Pharmaceutical Research.** 9(5): 663-669, 1992.
- Rastogi, R.P. and Mehrotra, B.N. "Compendium of Indian Medicinal Plants, Vol. 1-3. New Delhi, India", **Publications and Information Directorate,** 1993.
- Richard. A., and et al. "Structure-activity relationships for inhibition of human 5 α -reductases by polyphenols", **Biochemical Pharmacology.** 63: 1165-1176, 2002.
- Roberta, R., and et al. "Antioxidant activity applying an improved ABTS radical cation decolorization assay", **Free radical biology and medicine.** 26(-): 1231-1237, 1999.
- Rho, S.S., and et al. "The hair growth promoting effect of *Asiasari radix* and its molecular regulation", **Journal of Dermatology science.** 38(2): 89-97, 2005.
- Rho, S.S., and et al. "The hair growth promoting effect of *Sophora flavescens* extract and its molecular regulation", **Journal of Dermatology science.** 38(1): 43-49, 2002.
- Robinson, K., Whittle, E., and Basketter, A. "A two-center study of the development of acute irritation responses to fatty acids", **American Journal Contact Dermatology.** 10: 136-145, 1999.
- Ronald, L.P., and et al. "Standardized Methods for the Determination of Antioxidant Capacity and Phenolics in Foods and Dietary Supplements", **Journal of agricultural and food chemistry,** 2005.
- Roh, S., and et al. "The hair growth promoting effect of *Sophora flavescens* extract and its molecular regulation", **Journal of Dermatological Science.** 30: 43-49, 2002.
- Rogerson, A., Cummings, J., and Florence, A.T. "Adriamycin-loaded niosomes- drug entrapment , stability and release" **Journal of Microencapsulation.** 4: 321-328, 1987.

เอกสารอ้างอิง (ต่อ)

- Roy R.K., Thakur, M., and Dimix, V.K. “Effect of Cuscuta reflexa Roxb. On hair growth in albino rats”, **Indian drug.** 43(12); 951-956, 2006.
- Ryu, Y. B., and et al. “Inhibition of neuraminidase activity by polyphenol compounds isolated fromthe roots of Glycyrrhiza uralensis”, **Bioorganic and Medicinal Chemistry Letters.** 20: 971–974, 2002.
- Sabu, M.C., and Kuttan, R. “Antidiabetic activity of medicinal plants and its relationship with their antioxidant property”, **Journal of Ethnopharmacology.** 81: 155–160, 2002.
- Salcedo, L.L., and et al. “Antiradical activity of gallic acid in lipid interphase”, **Biochemical et Biophysical Acta.** 2656-2661, 1838.
- Sarportar, P., and Zatz, J. “Percutaneous absorption enhancement by nonionic surfactants. Drug Dev”, **Indian Journal Pharmaceutical.** 12: 1625–1647, 1986.
- Satturwar, M., and et al. “Formulation and Evaluation of Ketoconazole Niosomes”, **Indian Journal Pharmaceutical.** 64(21): 145-153, 2002.
- Schaefer, H. and et al. “The role of follicular penetration”, **Skin Pharmacology and Applied Skin Physiology.** 14(1): 23-27, 2001.
- Schmitt, D., and et al. “Toxicologic evaluation of modified gum acacia: Mutagenicity, acute and subchronic toxicity”, **Food and Chemical Toxicological.** 46(3): 1048-1054, 2008.
- Semalty, M., amd et al. “In vivo hair growth activity of herbal formulations”, **International Journal of Pharmacology.** 6(1) : 53-57, 2010.
- Sepulveda, L., and et al. “Ellagic acid :Biological properties and biotechnological development for production processes”, **African Journal of Biotechnology.** 10(22): 4518-4523, 2011.
- Shahiwala, A., and Misra, A. “Studies in topical application of niosomally entrapped nimesulide”, **Journal of Pharmaceutical Science.** 5: 220-225, 2002.
- Shisombat N., and et al. “Skin Irritation test of Curcuminoids Facial Mask Containing Chitosan As A Binder”, 140-47, 2007.

เอกสารอ้างอิง (ต่อ)

- Singh, P., Govindarajan, R. and Rawat, A.S. "High Performance Liquid Chromatography as a tool for the Chemical Standardisation of Triphala – an Ayurvedic Formulation", **Phytochemical Analysis.** 19: 164 – 168, 2008.
- Sinclair, D. "Male androgenic alopecia", **Journal of Men'Health and Gender.** 1: 319-327, 2004.
- Soojin, P., Weon, S.S. and Jinnyoung, H. "Fructus panax ginseng extract promotes hair regeneration in C57BL/6 mice", **Journal of Ethnopharmacology.** 138(2): 340-344, 2011.
- Stuart, G.A. "Chinese Materia Medica Vegetable Kingdom", **American Presbyterian Mission Press, Shanghai.** 558, 1911.
- Sukirti, U., Ashoke, K., and Vijender, S. "Hair Growth Promotant Activity of Petroleum Ether Root Extract of *Glycyrrhiza Glabra L* (Fabaceae) in Female Rats", **Tropical Journal of Pharmaceutical Research.** 11(5): 753-758, 2012.
- Sultana, S., and et al. "Emblia officinalis thioacetamide-induced oxidative stress and early promotional primary hepatocarcinogenesis", **Journal of Pharmacy and Pharmacology.** 1573–1579, 2004.
- Takagi, N., and Sanasshiro, T. "Health foods containing antioxidant and antiallergy food materials", Jpn. Tokk. KohoTrancik J, Spindler R, Rose S et al. Incidence of androgenic alopecia in males 15-17 years of age. Post presented at 3rd Intercontinental Meeting of the Hair Research Societies. 13-15, 1996.
- Thakur, R.S., Puri, H.S., and Husain, A. "Major Medicinal Plants of India", Central Institute of Medicinal and Aromatic Plants, Lucknow, India, 1989.
- Toll, R., and et al. "Penetration profile of microspheres in follicular targeting of terminal hair follicles", **Journal of Investigative Dermatology.** 123(1): 168-176, 2004.
- Trancik, R.J., and et al. "Incidence of androgenetic alopecia in males 15-17 years of age", Poster presented at 3rd Intercontinental Meeting of the Hair Research Societies, June 13-15, Tokyo, Japan, 2001.

ເອກສາຣອ້າງອີງ (ຕ່ອ)

- Treadway, L. "Amla Traditional food and medicine. *HerbalGram*; 31: 26. *HerbalGram*", **The Journal of the American Botanical Council.** 31: 26, 1994.
- Uchegbu, I.F., and Florence, A.T. "Nonionic surfactant vesicles (Niosomes) - physical and pharmaceutical chemistry", **Advance College Interface Science.** 58: 1-55, 1995.
- Uchegbu, I.F., and Vyas, S.P. "Non-ionic surfactant based vesicles (niosomes) in drug delivery", **International Journal Pharmaceutical** 172: 33-70, 1998.
- Uno, H., Cappas, A. and Brigham, P. "Action of topical minoxidil in the bald stumptailed macaque", **Journal of the American Academy of Dermatology.** 16: 657-668, 1987.
- Vora, B., Khopade, A. and Jane, N. "Proniosome base on transdermal delivery of levonorgestrel for effective contraception", **Journal of Controlled Release.** 54(2): 149-165, 1998.
- Vyas, P., and Khar, R. "Niosomes Targeted and Controlled Drug delivery", 249-279, 2008.
- Washington, C. "Photon correlation spectroscopy, in particle size analysis in pharmaceutics and orther industries", **Ellis Horwood.** New York. 135, 1992.
- Wertz, W., and et al. "The composition of ceramides from human stratum corneum and from comedones", **Journal of Investigative Dermatology.** 84: 410-12, 1985.
- Yoshioka, T., Sternberg, B., and Florence, A.T. "Preparation and properties of vesicles (niosomes) of sorbitan monoesters (Span-20, span-40, span-60 and span-80) and a sorbitan triester (span-85)", **International Journal of Pharmaceutics.** 105: 1-6, 1994.
- Yoon, J., Al-Reza, S., and Kang, S. "Hair growth promoting effect of Zizyphus jujube essential oil", **Food and Chemical Toxicology.** 48: 1350-1354, 2010.
- Zaccheo, T., Giudici, D. and Salle, D.E. "Effect of the dual 5a-reductase inhibitor Pnu 157706 on the growth of dunning R3327 prostatic carcinoma in the rat", **Journal of Steroid Biochemistry and Molecule Biological.** 64(3-4): 193-198, 1998.

ເອກສາຣອ້າງອີງ (ຕ່ອ)

- Zaki R.M., and et al. "Formulation and in vitro evaluation of diacerein loaded niosomes", **International Journal of Pharmacy and Pharmaceutical Science.** 6(2): 515-521, 2014.
- Zhang, L.Z., and et al. "Studies on chemical constituents in fruits of Tibetan medicine *Phyllanthus emblica*", **Zhougno Zhoug Yao ZaZhi.** 28: 940-943, 2003.

ภาคผนวก

การคำนวณการเตรียมตำรับนีโอโซม

ตำรับนีโอโซมประกอบด้วย

- 1) 50 mM total lipid (span20, cholesterol)
- 2) 10% cholesterol
- 3) 0.10% plant extract

วิธีการคำนวณ

50 mM total lipid (100% =50 mM)

$$\begin{aligned} \text{Cholesterol } 10\%, & \quad 100\% = 50 \text{ mM} \\ 10\% & = 50 \times 10/100 \\ & = 5 \text{ mM} \end{aligned}$$

หมายความว่า 50 mM total lipid ใช้ cholesterol เท่ากับ 5 mM, span 20 เท่ากับ 45 mM

1) Span 20

$$\begin{aligned} \text{Span 20 มี MW=346 mg., 10 mM ใช้ span20} & = 346 \text{ mg} \\ 45 \text{ mM ใช้ span20} & = 346 \times 45/25 \\ & = 1,557 \text{ mg} \\ \text{เตรียม 100 ml ใช้ span 20} & = 1,557 \text{ mg} \\ \text{เตรียม 20 ml ใช้ span 20} & = 1,557 \text{ mg } \times 20/100 \\ & = 311.40 \text{ mg} \end{aligned}$$

2) 10% cholesterol

$$\begin{aligned} \text{Cholesterol มี MW=386.65 mg., 10 mM ใช้ cholesterol} & = 386.65 \text{ mg} \\ 5 \text{ mM ใช้ cholesterol} & = 386.65 \times 5/10 \\ & = 193.32 \text{ mg} \\ \text{เตรียม 100 ml ใช้ cholesterol} & = 193.32 \text{ mg} \\ \text{เตรียม 20 ml ใช้ cholesterol} & = 193.32 \times 20/100 \\ & = 38.66 \text{ mg} \end{aligned}$$

3) 0.10% plant extract

plant extract.,	เตรียม 100 ml ให้ plant extract	=100 mg
เตรียม 20 ml ให้ plant extract	= $100 \times 20 / 100$	
		=20 mg

ประวัติผู้วิจัย

ชื่อ	นางสาวนิสสา รามฤทธิ์
ประวัติการศึกษา	มัธยมศึกษาปีที่ 6 โรงเรียนเพญพิทยาคม ระดับปริญญาตรี เกษสัชศาสตรบัณฑิต สาขาเภสัชศาสตร์ คณะเภสัชศาสตร์ มหาวิทยาลัยขอนแก่น จังหวัดขอนแก่น
ประวัติการทำงาน	พ.ศ. 2549 – ปัจจุบัน ภาควิชาเทคนิคเภสัชกรรม วิทยาลัยการสาธารณสุขสิรินธร จังหวัดอุบลราชธานี 187 หมู่ 3 ตำบลเมืองครึ่ค อำเภอวารินชำราบ จังหวัดอุบลราชธานี
ตำแหน่ง	อาจารย์
สถานที่ทำงานปัจจุบัน	ภาควิชาเทคนิคเภสัชกรรม วิทยาลัยการสาธารณสุขสิรินธร จังหวัดอุบลราชธานี 187 หมู่ 3 ตำบลเมืองครึ่ค อำเภอวารินชำราบ จังหวัดอุบลราชธานี โทรศัพท์ (045) 288041

